

II бөлім

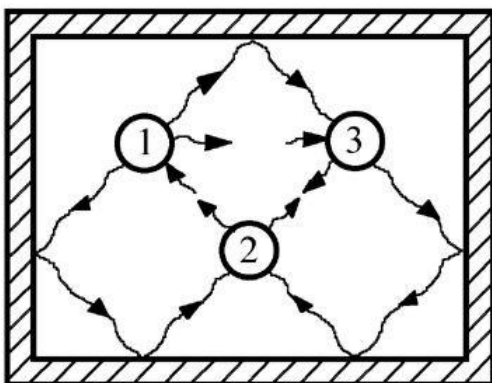
Квантлық физиканың тийкарлары

2-1-1. Жыллылық нурланыуы нызамлары

Жыллылық нурланыуы. Қыздырылған денелерде ишки энергияның бир бөлеги нурланыу энергиясына айлана алады. Сонлықтан қыздырылған денелер жийиликлердің үлкен диапазонындағы электромагнит толқынларының дереги болып табылады. Бундай нурланыуды жыллылық нурланыуы деп атайды.

Экспериментлер жыллылық нурланыуының үзликсиз спектрге ийе екенлигин көрсетеди. Бул қыздырылған денениң жийиликлер ямаса толқын узынлықларының қалеген диапазонында базы бир муғдардағы нурланыу энергиясын нурландыратуғынлығын аңлатады. Денениң нурланыу энергиясының спектр бойынша тарқалыуы температурадан ғарезли. Барлық денелер ушын температураның жоқарылауы менен нурланыу энергиясының максимумы спектрдің қысқа толқынлы участкасына қарай жылжыйды хәм нурланыудың улыұмалық энергиясының мәниси үлкейеди. Мысалы орайлық жылыту тармағына тутастырылған батареялар (температурасы $T \approx 350$ K) көзге көринбейтуғын инфрақызыл участкада энергияның пигине ийе болатуғын болса, Қуяштың бети ($T \approx 6 \cdot 10^3$ K) энергиясының тийкарғы бөлегин жақтылық диапазонында нурландырады. Ядролық партланыуда болса (температурасы $T \approx 10^6$ K) энергияның үлкен бөлеги қысқа толқынлы рентген хәм гамма-нурланыуы менен алып кетиледи.

Егер қыздырылған бир неше денени нурланыуды пүткиллей өткермейтуғын қабық пенен (қуты менен) қапласақ (1-сүўрет), онда бир қанша ўақыт өткеннен кейин "нурландырыушы денелер + қуўыслықтағы (қутыдағы) нурланыу" арасында термодинамикалық тең салмақлық орнайды. Бундай жағдайда барлық денелердің температуралары теңлеседи, ал денелер хәм нурланыу арасындағы энергияның тарқалыуы ўақыттың өзгериуи менен өзгериссиз қалады. Системаның усындай тең салмақлық қалы орнықты хал болып табылады. Бундай орнықты халды сырттан тәсир түсирип өзгертсек те тең салмақлық хал қайтадан орнайды. Термодинамикалық тең салмақлық қабықта да орнайды. Қабықтың дийўаллары қалеген материалдан соғылыуы мүмкин хәм оның температурасы өзгериссиз етип услап турылады.



1-сүўрет.

Жыллылық нурланыуының нурланып атырған дене менен тең салмақтықта тура алыу қабилетлиги денелердің басқа жыллылық нурланыуынан айырмашылыққа ийе. Сонлықтан нурландырыушы дене менен тең салмақтықта туратуғын нурланыу тең салмақтық нурланыу деп аталады.

Тең салмақтық нурланыуға усы нурланыу менен тең салмақтықта турған дененің температурасын белгилеу мүмкин. Бундай жағдайда тең салмақтық термодинамиканың ызымларын жыллылық нурланыуына да пайдаланыу мүмкиншилиги пайда болады. Бул өз гезегінде тең салмақтық жыллылық нурланыуы ушын уақытқа байланыссы өзгермейтуғын ишки энергия, басым, энтропия хәм басқа да термодинамикалық характеристикаларды анықлау хәм есаплау мүмкин дегенди билдиреди.

Тең салмақтық жыллылық нурланыуы бир текли, яғный оның энергиясының тығызлығы қуыслықтың барлық ноқатларында бирдей. Бундай нурланыу изотроп хәм поляризацияланған емес – бундай нурланыу барлық тәрептерге бирдей болып тарқалады, E хәм H векторларының тербеліу бағытлары да хәр қыйлы.

Жыллылық нурланыуының характеристикалары. Жыллылық нурланыуының спектраллық қурамын тәриплеу ушын қыздырылған дененің бетинің бир бирлиги тәрепинен бир уақыт бирлиги ишінде нурланатуғын жийиликлердің киши диапазоны болған ω шамасынан $\omega + d\omega$ шамасы арасындағы нурланыу энергиясын қараймыз. Дененің бир бирлик майданынан барлық тәрептерге қарай нурланып атырған нур энергиясының ағымы dR шамасының мәніси спектраллық диапазонның кеңлигине пропорционал, яғный $dR = r d\omega$. Жийиликлердің бир бирлик диапазонына сәйкес келиуши r энергиясын дененің спектраллық шығарыушылық қабилетлиги ямаса жарқынлықтың энергиялық спектраллық тығызлығы деп атайды. Тәжірийбелер хәр бир дене ушын спектраллық шығарыушылық қабилетликтің жийиликтің белгилі бир функциясы екенлиги көрсетеди. Бул функцияның түри дененің температурасы T өзгергенде өзгереді. Буннан кейин берілген температурада жийиликтің базы бир функциясы болған усындай функционаллық ғәрезлик $r = r(\omega, T)$ түріндегі ғәрезлигинің орнына жыллылық нурланыуы теориясында қабыл етилген $r(\omega, T) \equiv r_{\omega, T}$ белгилеуін пайдаланамыз.

Дененің майдан бирлигинен жийиликлер диапазонының барлығынан нурланатығын энергияның улыұмалық ағысы

$$R = \int_{-\infty}^{\infty} r_{\omega, T} d\omega \quad (2.1.1)$$

формуласының жәрдемінде бериледи хәм бул шаманы дененің интеграллық шығарыушылық (нурландырыушылық) қабилетлиги ямаса оның энергиялық жарқынлығы деп атайды. SI бирликлер системасында энергиялық жарқынлық Вт/м² бирликлерінде, ал спектраллық шығарыушылық қабилетлик Дж/м² бирликлеріне ийе.

Дененің шығарыушылық (нурландырыушылық) қабилетлигин нурланыу ушын толқын узынлығы болған λ шамасының функциясы деп қарау мүмкин. λ менен жийилик ω жақтылықтың ваккумдеги тезлиги c арқалы былайынша байланысқан: $\lambda = 2\pi c / \omega$. Бундай жағдайда төмендегідей теңликке ийе боламыз:

$$r_{\omega, T} d\omega = r_{\lambda, T} d\lambda. \quad (2.1.2)$$

Буннан шығарыушылық қабилетлик бойынша жийиликлер шкаласындағы хәм толқын узынлықлары шкаласындағы байланыстырыушы формуланы аламыз

$$r_{\lambda,T} = r_{\omega,T} (d\omega/d\lambda) = r_{\omega,T} (2\pi c/\lambda^2). \quad (2.1.3)$$

(2.1.3)-аңлатпада туўынды $(d\omega/d\lambda)$ алдынағы "минус" белгиси жазылмады. Бул "минус" белгиси толқын λ узынлығының үлкейиуи менен жийилик ω ның кемейетуғынлығын ғана аңлатады.

Денелер тәрәпинен бетке келип түсип атырған нурланыўды жутыў процессин тәриплеў ушын денениң спектраллық жутыў қабилетлиги болған $a_{\omega,T}$ шамасын киргиземиз. Буның ушын жийиликлердин ω дан $\omega + d\omega$ ға шекемги киши интервалын айырып аламыз хәм денениң бетине келип түсиўши $d\Phi_{\omega}$ ағысын қараймыз. Егер усы ағыстың бир бөлеги болған $d\Phi_{\omega}'$ ағысы дене тәрәпинен жутылатуғын болса, онда денениң ω жийилигиндеги жутыўшылық қабилетлигин өлшем бирлигине ийе емес төмендегидей шаманың жәрдемінде анықлаймыз

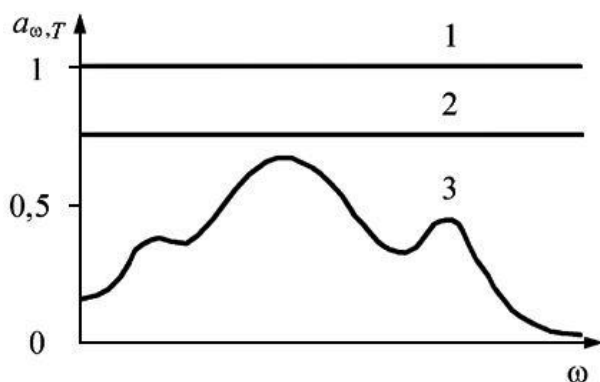
$$a_{\omega,T} = d\Phi_{\omega}' / d\Phi_{\omega}. \quad (2.1.4)$$

Бул шама жийилиги ω шамасына тең келип түсиўши нурланыўдың жутылған үлесин береді.

Тәжирийбелер қәлеген денениң темпертурасына байланыслы хәр қыйлы жийиликтеги нурларды хәр қыйлы етип жутатуғынлығын көрсетеди. Сонлықтан денениң жутыўшылық қабилетлиги $a_{\omega,T}$ жийилик ω ның функциясы болып табылады. Ал бул функцияның түри денениң температурасы A ның өзгериўи менен өзгериске ушырайды.

Өзиниң анықламасы бойынша денениң жутыў қабилетлигиниң шамасы 1 ден үлкен бола алмайды. Жутыў қабилетлиги бирден кем хәм жийиликлердин барлық диапазонында бирдей болған денени сур дене деп атайды.

Жыллылық нурланыўы теориясында абсолют қара дене айрықша орынды ийелейди. Абсолют қара дене деп барлық жийиликлерде хәм барлық температураларда жутыўшылық қабилетлиги бирге тең денени Г.Кирхгоф абсолют қара дене деп атаўды усында. Хәқыйқый денелер болса өзлерине келип түскен нурланыўдың тек бир бөлимин ғана шағылыстырады (2.1.2-сүўрет). Хәтте қара күйе де өзиниң қәсийетлери бойынша абсолют қара денеге тек оптикалық диапазонда ғана жақынлайды.



1.2-сүўрет.

Хәр қыйлы денелердин жутыўшылық қабилетлиги.

1 – абсолют қара дене;

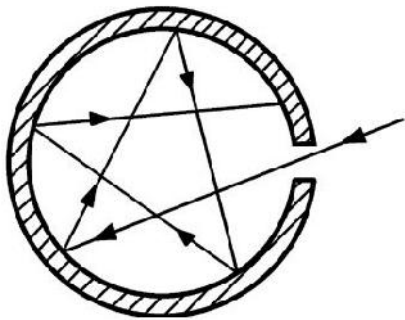
2 – сур дене;

3 – хәқыйқый дене.

Абсолют қара дене жыллылық нурланыўы теориясында эталон дене болып табылады. Тәбиятта абсолют қара дене болмаса да, жутыўшылық қабилетлиги бирден айырмасы жүдә киши болған модельди аңсат жүзеге келтириў мүмкин.

Абсолют қара дененің усындай моделин жабық қуыслық түрінде соғып алыуға болады (2.1.3-сұрет). Бул қуыслық диаметрі усы қуыслықтың диаметрінен әдеуір киши болған кишкене тесикшеге ийе. Усының менен бир қатарда қуыслықтың қалеген формаға ийе хәм қалеген материалдан исленген болыуы мүмкин.

Киши тесикше оған келип түсиуши нурланыудың дерлик толық жутылыуына алып келеди. Тесикшениң диаметрі қаншама киши болған сайын оның жутыушылық қабилетлиги бирге умтылады. Хәқыйқатында да тесикше арқалы қуыслыққа кирген нурланыу қуыслықтың дийуалларына келип түседі хәм бул дийуалларда шалама-шекки жутылады. Егер тесикшениң диаметрі киши болса нурланыу усы тесикшеден шығаман дегенше ишки дийуалларда көп санлы шағылысыуларға ушырайды. Усының нәтийжесинде келип түсиуши нурлар дерлик толығы менен жутылады.

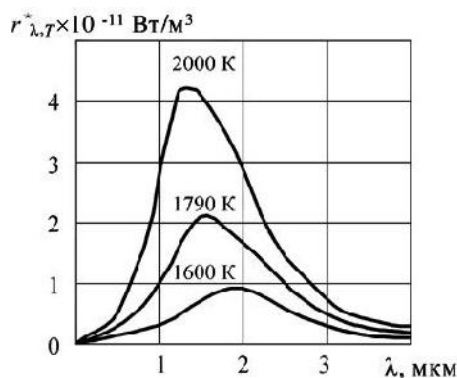


1.3-сұрет.

Абсолют қара дененің модели.

Биз жоқарыда қарап өткен моделде тесик арқалы ишке кириуши толқынды қайтып шықпайды хәм сонлықтан келип түскен нурлар толығы менен жутылады деп есаплай аламыз. Сонлықтан киши тесикшеге абсолют қара дененің қәсийетлери бериледи.

Егер қуыслықтың ишки дийуалларын T температурада услап турсақ, онда тесикше нурланады. Бул нурланыуды температурасы T ға тең болған абсолют қара дененің нурланыуы деп есаплауға болады. Бул нурланыу энергиясының спектр бойынша тарқалыуын изертлеу арқалы абсолют қара дененің нур шығарыушылық уқыплығы болған $r_{\omega, T}^*$ хәм $r_{\lambda, T}^*$ шамаларын экспериментте анықлау мүмкин (Ленгли, Э.Прингсгейм, О.Люммер, Ф.Курлбаум хәм басқалар). Хәр қыйлы температураларда өткерилген усындай экспериментлердің нәтийжелери 1.4-сұретте келтирилген.



1.4-сұрет.

Абсолют қара дене ушын нур шығарыушылық уқыплығы $r_{\lambda, T}^*$ шамасының температурадан ғәрезлиги.

Кирхгоф нызамы. Қалеген дененің нур шығарыушылық уқыплығы менен жутыу уқыплығы арасында байланыстың орын алыуы керек. Себеби тең салмақлық нурланыу менен өткерилген тәжірийбелерде (2.1.1-сұрет) системадағы тең салмақлық егер хәр бир дене уақыт бирлигинде қанша энергияны

нурландыратуғын болса, тап сондай энергияны жутатуғынлығын да билдиреди. Бул жағдай денениң қандай да бир жийиликтеги нурларды күшли түрде нурландыратуғын болса, тап сондай жийиликтеги нурларды күшли жутатуғынлығын аңлатады. Усы жағдайды толық тең салмақтық принципі деп атаймыз (принцип детального равновесия).

Толық тең салмақтық принципіне сәйкес тәбиғаттағы барлық денелер үшін (соның ишінде абсолют қара дене үшін да) берілген температурадағы нур шығарушылық қабилетлигинің нурды жутуы қабилетлигіне қатнасы бірдей мәніске ийе хәм жийиликтің (толқын ұзындығының) универсаллық функциясы болады.

1959-жылы нурланыу менен тең салмақтықта туратуғын системалардың термодинамикалық ызыамлықтарын үйрениудің барысында Г.Кирхгоф тәрәпинен ашылған бул ызыамды былайынша жазамыз:

$$\left(\frac{r_{\omega,T}}{a_{\omega,T}}\right)_1 = \left(\frac{r_{\omega,T}}{a_{\omega,T}}\right)_2 = \left(\frac{r_{\omega,T}}{a_{\omega,T}}\right)_3 = \dots = \frac{r_{\omega,T}^*}{1} = f(\omega, T) \quad (2.1.5)$$

ямаса

$$\left(\frac{r_{\lambda,T}}{a_{\lambda,T}}\right)_1 = \left(\frac{r_{\lambda,T}}{a_{\lambda,T}}\right)_2 = \left(\frac{r_{\lambda,T}}{a_{\lambda,T}}\right)_3 = \dots = \frac{r_{\lambda,T}^*}{1} = \varphi(\lambda, T) \quad (2.1.6)$$

Бул аңлатпалардағы 1, 2, 3... хәр қыйлы хақықый денелерге сәйкес келеди.

Кирхгоф ызыамынан $f(\omega, T)$ хәм $\varphi(\lambda, T)$ универсаллық функцияларының сәйкес жийиликлер шкаласындағы хәм толқын ұзындықтары бойынша абсолют қара денениң спектраллық нур шығарушылық қабилетлигі $r_{\omega,T}^*$ хәм $r_{\lambda,T}^*$ екенлигі келип шығады. Сонлықтан олар арасындағы байланыс (2.1.3)-формула менен анықланады.

Жыллылық нурланыуы теориясында абсолют қара денениң нурланыуы универсаллық характерге ийе. Хақықый денелер барлық ўақытта да қәлеген температурада нурды абсолют қара денеге салыстырғанда кемирек нурландырады. Абсолют қара денениң нур шығарушылық қабилетлигин (яғный Кирхгофтың универсаллық функциясын) хәм хақықый денениң жутушылық қабилетлигин билген халда Кирхгоф ызыамы бойынша дене тәрәпинен жийиликлердің ямаса толқын ұзындықтарының қәлеген диапазонында нурландырылатуғын энергияның мәнісин анықлау мүмкин.

Стефан-Больцман ызыамы. Й.Стефанның 1879-жылы өткерген экспериментлери хәм Л.Больцманның 1884-жылы орынланған теориялық изертлеулери абсолют қара денениң жыллылық нурланыуының әхмийетли ызыамын дәлиллейге мүмкиншилик берди. Бул ызыам бойынша абсолют қара денениң энергиялық жарқынлығы оның абсолют температурасының төртінши дәрежесине туўры пропорционал. Оны былайынша жазамыз

$$R^* = \sigma T^4. \quad (2.1.7)$$

Ескертиу: Ендигиден былай жулдызша белгиси менен абсолют қара денениң жыллылық нурланыуының характеристикаларын белгилеймиз.

Хәзирги ўақытлары өткерилген өлшеулер Стефан-Больцман турақлысы үшін $\sigma = 5,6686 \cdot 10^{-8} \text{ Вт/(м}^2\text{(K}^4\text{))}$ шамасын береді.

Хақыйқый денелер ушын Стефан-Больцман нызамы тек сапалық жақтан орынланады. Олар ушын температураның жоқарылауы менен энергиялық жарқынлық үлкейеди. Бирақ хақыйқый денелер ушын энергиялық жарқынлықтың температурадан ғәрезлиги әпиұайы болған (2.1.7)-аңлатпа менен тәриппенбейди, ал төмендегидей түрге ийе болады

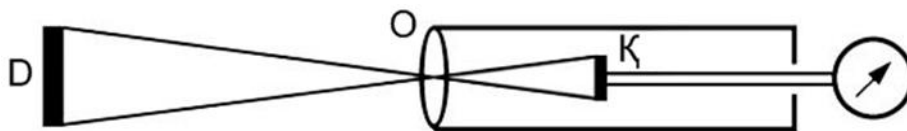
$$R = A_1 R^* = A_1 \sigma T^4 \quad (2.1.8)$$

(2.1.8)-аңлатпадағы A_T коэффициентиниң мәніси барлық ўақытта да 1 ден киши хәм оны денениң интеграллық жутыў қәбилетлиги деп атаймыз. A_T ның мәніслери улыўма жағдайда температурадан ғәрезли хәм техникалық жақтан әҳмийетли болған көп санлы материаллар ушын белгили. Мысалы, температураның жеткиликлери дәрежедеги кең интервалында металлар ушын $A_T = 0,1 \div 0,4$, ал көмир менен металлардың окислери ушын $A_T = 0,5 \div 0,9$ ға тең.

Хақыйқый қара емес денелер ушын эффективли радиациялық температура T_p түсинигин киргизиў мүмкин. Тап усындай T_p температурадағы абсолют қара дене хақыйқый денедей энергиялық жарқынлыққа ийе болады. Радиациялық температура T_p ның мәніси барлық ўақытта да хақыйқый температура T ның мәнісинен киши. Хақыйқатында да әтирапымызда бар денелер ушын $R = \sigma T_p^4 = A_T \sigma T^4$. Буннан $T_p = T \sqrt[4]{A_T}$ екенлигине, яғный $T_p < T$ теңсизлигиниң орынланатуғынына ийе боламыз. Себеби әдеттеги денелер ушын $A_T < 1$ теңсизлигиниң орынланатуғынлығы бәршеге түсиникли.

Күшли қыздырылған денелердиң радиациялық температурасын радиациялық пирометрдиң жәрдеминде анықлаў мүмкин (2.1.5-сүўрет). Бундай әсбапта (пирометрде) алыстағы қыздырылған дерек D ның сүўрети O объективиниң жәрдеминде қабыллағыш K ға нурландырғыштың сүўрети усы қабыллағыштың сүўретиниң үстине түсетуғындай етип проекцияланады. Қабыллағышқа жақтысы түсетуғын нурланыў энергиясының мәнісин баҳалаў ушын әдетте металл ямаса ярым өткізгіш болометрлер яки термоэлементлер қолланылады. Болометрлердиң жумыс ислеў принципи келип түсиўши нурланыў ағысын жутыўдың салдарынан металдың ямаса ярым өткізгіштинің электрлик қарсылығының өзгериўине тийкарланған. Термоэлементлердиң келип түскен нурларды жутыўшы бетиниң температурасының өзгериўи оларда термоэлектр қозғаўшы күшиниң пайда болыўына алып келеди.

Болометр ямаса термоэлементке тутастырылған әсбаптың көрсетиўи пирометрдиң қабыллағышына келип түскен нурланыў энергиясына пропорционал болады. Пирометрди хәр қыйлы температуралардағы абсолют қара дене эталонының нурланыўы бойынша градуировкалап, усы әсбаптың шкаласы бойынша қыздырылған денелердиң радиациялық температураларын анықлаў мүмкин.



1.5-сүўрет. Оптикалық пирометрдиң принципиаллық схемасы.

Нурландырыўшының материалының интеграллық жутыў қәбилетлигин билиў арқалы экспериментте өлшенген нурланыўдың радиациялық температурасы T_p ны биле отырып оның хақыйқый температурасы болған T шамасын

$$T = \frac{T_p}{\sqrt[4]{A_T}}$$

формуласының жәрдеминде есаппап анықлай аламыз. Мысалы егер вольфрам нырландырғыштың қыздырылған бетин бақлағанда радиациялық пирометр $T_p = 933$ К температураны көрсететугы болса, онда оның хақықый температурасы $T = 1500$ К шамасына тең болады (вольфрам ушын $A = 0,15$)

Виннің аўысыў нызамы. 1893-жылы немис физиги В.Вин иш тәрөпинде идеал шашыратыўшы айналық дийўаллары бар қуўыслықтың ишиндеги нурланыўды қысыў менен байланыслы болған термодинамикалық процессти теориялық жақтан қарап шықты. Қозғалыўшы айнада нурлар шашырағандағы Допплер эффектинин есабынан жийиликтин өзгериўин есапқа алып Вин абсолют қара денениң нур шығарыўшылық қәбитлетлигинин

$$r_{\omega, T}^* = \omega^3 f\left(\frac{\omega}{T}\right) \quad (2.1.9)$$

түрине ийе екенлигин көрсетти. Бул жерде f арқалы қандай түрге ийе екенлигин термодинамикалық усыллар менен анықлаўға болмайтуғын базы бир функция белгиленген.

Виннің бул формуласындағы жийиликтен (2.1.3)-формулаға сәйкес толқын узынлығына өтсек

$$r_{\lambda, T}^* = \frac{(2\pi c)^4}{\lambda^5} f\left(\frac{2\pi c}{\lambda T}\right) \quad (2.1.10)$$

аңлатпасын аламыз. Бул аңлатпада нур шығарыўшылық уқыплығы $r_{\lambda, T}^*$ ушын температура T ның тек λT көбеймеси түринде ғана киретуғынлығы көринип тур. Бул жағдай $r_{\lambda, T}^*$ функциясының базы бир өзгешеликлерин болжап айтыўға мүмкиншилик бөреді. Мысалы бул функция белгили бир λ_m толқын узынлығында максимумға ийе болады. Соның менен бирге бул толқын узынлығының мәниси температуры өзгергенде $\lambda_m T = \text{const}$ шәрти орынланатуғын шамаларға өзгөреді.

Солай етип В.Вин жыллылық нурланыўы нызамын ашты. Бул нызам бойынша абсолют қара денениң нур шығарыўшылық қәбилетлигинин максимумы сәйкес келетуғын толқын узынлығы λ_m оның абсолют температурасына кері пропорционал өзгөреді. В.Виннің жыллылық нурланыўы нызамын былайынша жазамыз:

$$\lambda_m = \frac{b}{T}. \quad (2.1.11)$$

Экспериментлерде анықланған бул нызамдағы турақлы шаманың мәниси $b = 2,898 \cdot 10^{-3}$ мК шамасына тең болып шықты.

Виннің нызамын әдетте аўысыў нызамы деп атайды. Гәп "аўысыў нызамы" хаққында айтылғанда абсолют қара денениң температурасы жоқарылағанда оның нур шығарыўшылығының максимумының ийелеген орнының қысқа толқынлар областына аўысатуғынлығы нәзерде тутылады. 1.4-сүўретте келтирилген экспериментлердин нәтийжелери бул жуўмақтың тек сапалық жақтан дурыс екенлигин көрсетип ғана қоймай (2.1.11)-формулаға сәйкес санлық жақтан да нызамның дурыслығын тастыйықлайды.

Хақыйқый денелер ушын Винниң аўысыў нызамы тек сапалық жақтан ғана орынланады. Қәлеген дене ушын температураның жоқарылаўы менен дене энергияны ең көп нурландыратуғын толқын узынлығы қысқа толқын тәрепке қарай жылысады. Бирақ бул жылысыў әпиўайы (2.1.11)-формула менен тәриппленбейди. Сонлықтан бул формуланы хақыйқый денелердиң нурланыўы ушын санлық шамалардың мәнисин сапалық жақтан баҳалаў ушын ғана қолланыўға болады.

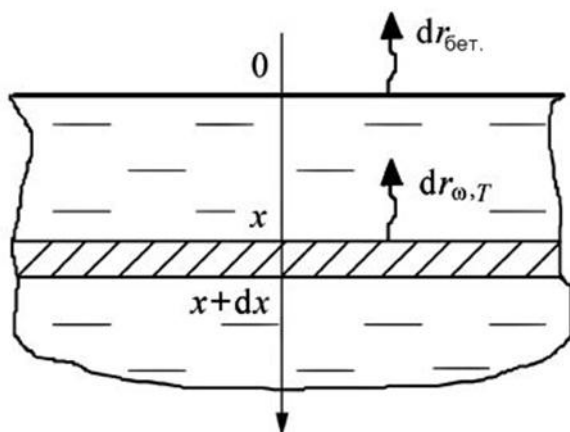
Түнде көриў (қараңғыда көриў). Түнгі ўақытлары (ямаса қараңғыда) адам этирапындағы затларды көре алмайды. Бирақ сол затлардың барлығы да ноллик емес температураға ийе хәм сонлықтан олар түнде де электромагнитлик жыллылық нурланыўын нурландырады. Винниң аўысыў нызамы болған (2.1.11)-формуланың жәрдемінде температурасы белгили болған денениң нур шығарыўшылық қәбилетлигиниң максимумына сәйкес келиўши толқын узынлығының шамасын баҳалаў мүмкин. Баҳалаўлар орташа температура 300 K болған жағдайда жыллылық нурланыўының тийкарғы бөлиминиң узынлығы шама менен 10 мкм болған инфрақызыл нурланыўға сәйкес келетуғынлығын көрсетеди. Спектрдиң көзге көринетуғын областындағы нурланыў ($0,4 < \lambda < 0,7$ мкм) бундай температураларда жүдә киши энергияға ийе болып, қуралланбаған көзге пүткиллей көринбейди.

Аспан тәрепке қарай жер денелериниң системасы туйық емес. Сонлықтан Жердиң бетиндеги денелер хәм олардың нурланыўы арасында тең салмақлық халы жүзеге келмейди. Сонлықтан температурасы Жердиң бетиниң температурасынан жоқары болған денелер нурландыратуғын объектлер сыпатында микротолқынлық диапазонда бақлана алады. Инфрақызыл нурлардың усындай дереклерин тек арнаўлы әсбаплардың жәрдемінде көриў мүмкин. Бундай әсбапларда адам көзине көринбейтуғын микротолқынлық нурлар инфрақызыл нурлардың арнаўлы датчиклери тәрепинен электр сигналларына түрлендириледі. Бул сигналлар кинескоплардағы электронлық дәстелерди басқарады хәм оның экранында қуралланбаған көз бенен көринбейтуғын денелердиң сүүретин пайда етеди.

XX әсирдиң ақырында түнде көриў техникасының раўажланыўында үлкен өзгерислер жүз берди. Жаңа типтеги электронлық-оптикалық түрлендиргишлер дөретилди. Хәзирги ўақытлардағы бинокллардиң, түнде нышанаға алыўға мүмкиншилик беретуғын дүзилислердиң жәрдемінде бақлаўшы бир неше жүз метр қашықлықтағы адамның, бир неше километр қашықлықтағы қозғалып баратырған танктің анық сүүретин көре алады. Ал түнде көриўге мүмкиншилик беретуғын пилотажлық көз әйнеклер вертолётларды қуралланбаған көз бенен көриў шекленген шараятларда да күни түни эксплуатациялаўға мүмкиншилик береді.

1.1-мәселе. Көлеми жеткиликли дәрежеде үлкен болған қәлеген затты алайық. Оның қалыңлығының бир бирлигине $E_{\omega,T}$ нур шығыраўшылық хәм $A_{\omega,T}$ жутыўшылық қәбилетлиги сәйкес келетуғын болсын. Бундай денениң бетиниң абсолют қара денедей болып нурландыратуғынлығын көрсетиңиз. Мәселени шешкенде денениң бетине перпендикуляр бағытта тарқалатуғын нурланыў менен шекленилсин.

Шешими: Мейли $x > 0$ ярым кеңислигин ийелеп турған заттың қатламының температурасы T болсын (2.1.6-сүүрет). Бул затта координаталары x хәм $x + dx$ болған жуқа қатламды айырып алып қараймыз. Бул жуқа қатламның бетиниң бир бирлиги бетке қарай бағытланған, ω жийилигиндеги $dr_{\omega,T} = E_{\omega,T}dx$ шамасындағы энергияны нурландырады.



1.6-сүрет.

1.1-мәселени шешіу үшін арналған сүрет.

Қатламның бетинен шығаман дегенше бұл нурлар қалықлығы x болған жутыушы дененің қатламы арқалы өтеді. Усының нәтижесінде Бургер нызамы бойынша нурланыу энергиясының ағымы экспоненциаллық нызам бойынша кемейеді хәм $x = 0$ болған беттен өткенде энергияның мәніси

$$dr_{\text{бет}} = dr_{\omega,T} \exp(-A_{\omega,T}x) = E_{\omega,T} \exp(-A_{\omega,T}x) dx$$

шамасына тең болады. Барлық қатламлар бойынша нурланыуды қосып (суммалап) қатламның бетинің нур шығарыушылық уқыплығын табамыз:

$$r_{\text{бет}} = \int_0^{\infty} E_{\omega,T} \exp(-A_{\omega,T}x) dx = \frac{E_{\omega,T}}{A_{\omega,T}} \int_0^{\infty} \exp(-\xi) d\xi = \frac{E_{\omega,T}}{A_{\omega,T}}.$$

Бирақ Кирхгоф нызамы бойынша $E_{\omega,T}/A_{\omega,T} = r_{\omega,T}^*$. Бұл аңлатпада $r_{\omega,T}^*$ арқалы абсолют қара дененің нур шығарыушылық уқыплығы белгиленген. Сонлықтан $r_{\text{бет}} = r_{\omega,T}^*$ хәм усының менен биз қатламның бетинің абсолют қара денедей болып нурландыратуғынлығын дәлилледик.

Бұл әхмийетли жуўмақ (биз буны мысал ретинде келтиремиз) үлкен көлемге ийе жоқары температуралы плазманың бетинен (мысалы Қуяштың бетинен) нурланатуғын электромагнит толқынлардың спектрлик қурамы бойынша абсолют қара дененің нурланыуына неликтен жүде жақын екенлигин көрсетеді.

1.2-мәселе. Қуяштың нур шығарыу қабилетлигинің максимумы $\lambda_m = 0,48$ мкм ге сәйкес келеді. Қуяштың нурланыуын абсолют қара дененің нурланыуына жақын деп қарап Жер дөгерегинде қозғалыушы орбиталық станцияның қуатлығы $P = 10$ квт болған Қуяш батареяларының панеллеринің майданларының қосындысының мәнісин бахалаңыз. Қуяш батареясының пайдалы тәсир коэффициентин $\eta = 20\%$ деп есаплаңыз. Астрономиялық шамалардың мәніслерин кестелерден алыу керек.

Шешими: Винниң аўысуы нызамынан (2.1.11)-формула бойынша Қуяштың бетинің температурасын есаплаймыз

$$T = b/\lambda_m = (2,9 \cdot 10^{-3})/(0,48 \cdot 10^{-6}) \approx 6000 \text{ K}.$$

Енди $R = \sigma T^4$ Стефан-Больцман нызамы бойынша Қуяштың энергиялық жарқынлығын хәм оның бетиндеги нурланыудың қуаты болған W шамасын табамыз

$$W = R \cdot 4\pi R_K^2 = 4\pi \sigma T^4 R_K^2.$$

Бул аңлатпадағы R_K^2 Қуяштың радиусы болып табылады.

Қуяш барлық тәрептерге изотроп түрде энергияны нурландырады деп есаплаймыз хәм усы тийкарда Қуяш турақлысы болған S шамасының мәнісін табамыз. Бул шама радиусы Жер менен Қуяш арасындағы қашықтыққа ($R_{КЖ}$ шамасына) тең болған орайында Қуяш турған сфералық беттің бир бирлик майданынан өтетуғын нурланыў энергиясының ағысына тең. $R_{КЖ} = 1,49 \cdot 10^{11}$ м. Бундай жағдайда

$$C = \frac{W}{4\pi R_{КЖ}^2} = \sigma T^4 \cdot \left(\frac{R_C}{R_{КЖ}} \right)^2 = 1,6 \cdot 10^3 \frac{\text{Вт}}{\text{м}^2}.$$

Солай етип Жердің әтирапындағы космослық кеңісликте Қуяштан жетип келетуғын нурлардың бағытына перпендикуляр қойылған беттің бир бирлиги арқалы бир секундта 1,6 кДж Қуяштың нурланыўы өтеди екен. Бул энергияның бир бөлеги қуяш батареясында электр энергиясына айналады. Қуяш батареясының пайдалы тәсир коэффициентин есапқа алған ҳалда батареяның электрлик қуўатын табамыз

$$P = \eta CS.$$

Буннан Қуяш батареясының панелинің майданын табамыз

$$S = P/(\eta C) = 10^4/(0,2 \cdot 1,6 \cdot 10^3) = 31,2 \text{ м}^2.$$

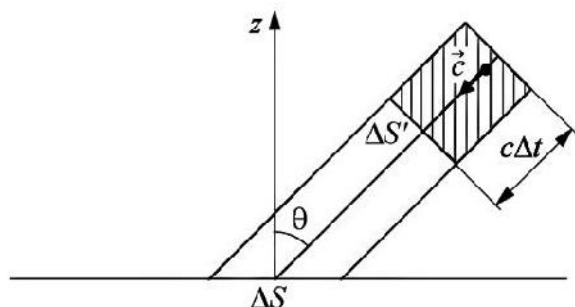
2-1-2. Нурланыўдың квантлық теориясы

Тең салмақлық нурланыў энергиясының көлемлик тығызлығы. Тең салмақлық жыллылық нурланыўы теориясының тийкарғы мәнісін қарап шығамыз. Буның ушын идеал түрдеги шағылыстырыўшы дийўалларға ийе қуўыслық қабырғасының узынлығы l ге тең куб формасына ийе деп есаплаймыз. Бул әпиўайыластырылған жағдай болса да алатуғын жуўмақлар улыўмалық характерге ийе болады. Бул қуўыслыққа температурасы T ға тең болған өлшемлери бойынша киши абсолют қара денени жайластырамыз. Бул дене тәрепинен электромагнит толқынларды шығарыў хәм жутыўдың есабынан қуўыслық тең салмақлық жыллылық нурланыўы менен толады. Оның энергиясының тығызлығын $u(T)$ арқалы белгилеймиз хәм бул функцияның абсолют температура T ға байланыслы екенлигин атап өтемиз. Жыллылық нурланыўының энергиясының бул көлемлик тығызлығын жийиликлер спектри бойынша жайыў мүмкин. Бул математикалық аңлатпа төмендегидей түрге ийе болады:

$$u(T) = \int_0^\infty u_{\omega,T} d\omega \quad (2.1.12)$$

Бул жерде $u_{\omega,T} \equiv u(\omega,T)$ функциясы ω жийилиги жанындағы жийиликтің бир бирлигине сәйкес келиўши нурланыў энергиясының көлемлик тығызлығын анықлайды. Бул функцияны T температурадағы жыллылық нурланыўының энергиясының спектраллық тығызлығы деп атаймыз.

Әлбетте, жыллылық нурланыуының энергиясының спектраллық тығызлығы усы нурланыу менен тең салмақтықта турған абсолют қара денениң нур шығарыушылық уқыплығы менен байланысly. Бул байланысты абсолют қара денениң бетинде алынған ΔS элементар майданның қасындағы нурланыуды қарау арқалы анықлауға болады (2.1.7-сүрет).



1.7-сүрет.

Биз сайлап алған майданның қасындағы қәлеген ноқатта жыллылық нурланыуы 4π денелик мүйеши шеклеринде мүмкин болған барлық бағытларда бирдей болып тарқалған. Сонлықтан $d\Omega = \sin\theta d\theta d\varphi$ денелик мүйешине сәйкес келиуши нурланыу энергиясының тығызлығын (яғный ΔS майданына оған түсирилген нормалға θ мүйеши бағытында түсетуғын энергияның тығызлығын) былайынша жаза аламыз:

$$d\mathcal{E} = u(T) \frac{d\Omega}{4\pi} \quad (2.1.13)$$

Бирақ, егер энергиясының тығызлығы усындай болған нурланыу вакуумде жақтылықтың тезлиги с менен ΔS бетине θ мүйеши менен келип түсетуғын болса, онда Δt ўақыты ишинде усы майданға 1.7-сүретте штрихланған көлемдеги барлық нурланыу энергиясы келип түседи. Оның санлық шамасы мынаған тең:

$$dW = d\mathcal{E} c \Delta t \Delta S' = d\mathcal{E} c \Delta t \Delta S \cos\theta = \frac{c}{4\pi} u(T) \cos\theta \sin\theta d\theta d\varphi \Delta S \Delta t \quad (2.1.14)$$

Мүмкин болған барлық мүйешлерде түсетуғын нурланыу энергиясын суммаласақ ўақыттың бир бирлиги ишинде беттиң бир бирлик майданына түсетуғын нурланыу энергиясының ағысы болған Φ шамасын табамыз:

$$\Phi = \frac{c}{4\pi} u(T) \int_0^{2\pi} d\varphi \int_0^{\pi/2} \cos\theta \cdot \sin\theta d\theta = \frac{c}{4} u(T) \quad (2.1.15)$$

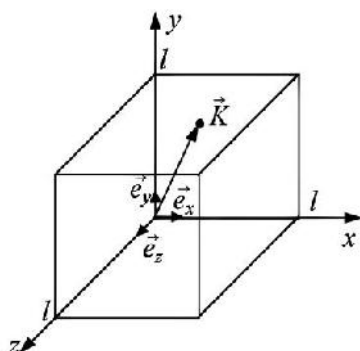
Термодинамикалық тең салмақтық ҳалында тап усындай Φ ағысы абсолют қара денениң бир бирлик бетинен де нурланыуы керек. Бирақ, анықлама бойынша энергияның усындай ағысы абсолют қара денениң жарқынлығы болып табылады. Сонлықтан

$$R^* = \frac{c}{4} u(T) \quad \text{ямаса} \quad u(T) = \frac{4}{c} R^*. \quad (2.1.16)$$

Жоқарыда айтылған барлық гәплер ω жийилигиндеги нурланыўдың барлық спектраллық қураўшысы ушын да орынлы болады. Сонлықтан тап сондай аңлатпа менен абсолют қара денениң нур шығарыўшылық уқыплығы $r_{\omega,T}^*$ менен тең салмақлық жыллылық нурланыўының энергиясының спектраллық көлемлик тығызлығы $u_{\omega,T}$ шамасы да байланысқан:

$$r_{\omega,T}^* = \frac{c}{4} u_{\omega,T} \quad \text{ямаса} \quad u_{\omega,T} = \frac{4}{c} r_{\omega,T}^*. \quad (2.1.17)$$

Рэлей-Джинс формуласы. Жоқарыда қарап өтилген дийўаллары идеал шағылыстыратуғын кублық формасындағы қуўыслықта электромагнит майданы тек туўры хәм шашыраған толқынлардың суперпозициясы түрінде жасайды. Басқа сөз бенен айтқанда қуўыслықтың ишинде электромагнит майданы қуўыслықтың дийўалларында түйинлерге ийе турғын электромагнит майданлары түрінде болады.



1.8-сүүрет.

Декарт координаталар системасының көшерлерин кублық қуўыслықтың үш өз-ара перпендикуляр қабырғасы бойлап түсиремиз (2.1.8-сүүрет) хәм \vec{e}_x , \vec{e}_y және \vec{e}_z арқалы сәйкес координата көшерлери бағытында түсирилген бирлик ортларды белгилеймиз. Бундай жағдайда x көшери бағытында тарқалатуғын толқын ушын турғын толқынның пайда болыўы ушын

$$l = n_1 \frac{\lambda}{2}, \quad n_1 = 1, 2, 3, \dots \quad (2.1.18)$$

шәртинің орынланыўы талап етиледі. Бул шәрт бойынша шашыратыўшы дийўаллар арасындағы қашықлық l узынлығында пүтин сан еселенген ярым толқын узынлығының жайласыўы керек. Бундай толқын ушын толқын векторы $\vec{k} = k_x \vec{e}_x$ болғанлықтан (бул аңлатпада $k_x = \frac{2\pi}{\lambda}$) x бағытында турғын толқынлардың пайда болыўы шәртин толқынлық санға қойылатуғын шәрт сыпатында жаза аламыз:

$$k_x = n_1 \frac{\pi}{l}, \quad n_1 = 1, 2, 3, \dots \quad (2.1.19)$$

Тап усындай талқылаўларды y хәм z көшерлери бағытында тарқалатуғын толқынлар ушын да өткере аламыз. Бул талқылаўлар туўры хәм шағылысқан нурлардың суперпозициясы болған турғын толқын ушын улыўмалық жуўмақты

келтирип шығарыуға мүмкіншілік береді. Ғақыйқатында да кублық формаға ийе қуысылық ишинде ықтыярлы

$$\vec{k} = k_x \vec{e}_x + k_y \vec{e}_y + k_z \vec{e}_z$$

толқын векторына ийе турғын толқын ушын

$$k_x = n_1 \frac{\pi}{l}, \quad k_y = n_2 \frac{\pi}{l}, \quad k_z = n_3 \frac{\pi}{l} \quad (2.1.20)$$

шәртиниң орынланыуы керек болады. Бул аңлатпада n_1, n_2 ҳәм n_3 арқалы бир биринен ғарезсиз $0, 1, 2, \dots$ мәнислерин қабыл ететуғын пүтин санлар белгиленген.

(2.1.20) шәртлерин қуысылық ишиндеги тоқынлардың толқынлық санына қойылатуғын шәрт сыпатында жаза аламыз

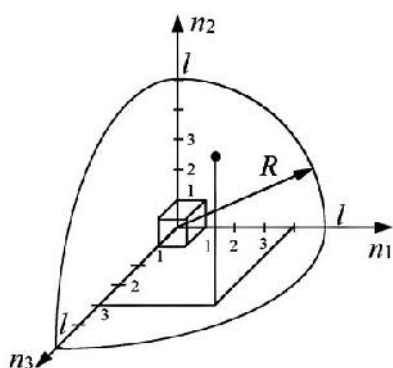
$$k = |\vec{k}| = \sqrt{k_x^2 + k_y^2 + k_z^2} = \frac{\pi}{l} \sqrt{n_1^2 + n_2^2 + n_3^2}. \quad (2.1.21)$$

Бул формулада да $n_1, n_2, n_3 = 0, 1, 2, \dots$ $k = 2\pi/\lambda = \omega/c$ болғанлықтан биз қарап атырған кублық формаға ийе қуысылықтағы тең салмақлық жыллылық нурланыуын ҳәр қыйлы жийиликлерге ийе турғын электромагнит толқынларының жыйнағы деп қарай аламыз. Бул жийиликлердің мәнислери

$$\omega = \frac{2\pi c}{l} \sqrt{n_1^2 + n_2^2 + n_3^2}, \quad n_1, n_2, n_3 = 0, 1, 2, \dots \quad (2.1.22)$$

аңлатпасының жәрдеминде есапланады. Терис мәниске ийе болмайтуғын n_1, n_2, n_3 санларының ҳәр бир үшеүйине бир турғын толқын сәйкес келеди. Усындай турғын толқынлардың улыўмалық саны шексиз үлкен.

Қуысылықтың ишиндеги жийилиги берилген ω мәнисинен үлкен болмаған турғын электромагнит толқынларының санын анықлаймыз. Буның ушын дискрет болған үш өлшемли Z^3 кеңислигин қараймыз (2.1.9-сүўрет.). Бул кеңисликтеги координаталары n_1, n_2 ҳәм n_3 болған ҳәр бир ноқат тең салмақлы жыллылық нурланыуына ийе қуысылықтағы бир турғын электромагнит толқынға сәйкес келеди. Бул ноқатлар Z^3 кеңислигин көлеми бир бирликке тең болған қутышаларға бөледі.



1.9-сүўрет.

Дискрет болған үш өлшемли Z^3 кеңислиги. Бул кеңисликтеги координаталары n_1, n_2 ҳәм n_3 болған ҳәр бир ноқат тең салмақлы жыллылық нурланыуына ийе қуысылықтағы бир турғын электромагнит толқынға сәйкес келеди. Бул ноқатлар Z^3 кеңислигин көлеми бир бирликке тең болған қутышаларға бөледі.

Енди (2.1.22) шәртин Z^3 кеңислигиндеги сфералық беттиң теңлемеси сыпатында жазамыз

$$n_1^2 + n_2^2 + n_3^2 = R^2. \quad (2.1.23)$$

Бул аңлатпада $R = \omega / \pi c$ арқалы сфераның радиусы белгиленген.

Енди жийиликлериниң мәниси ω шамасынан үлкен болмаған турғын толқынлардың саны болған \tilde{N} шамасын анықлаўға болады. Буның ушын Z^3 кеңислигиндеги радиусы R ге тең болған шардың оң октанты ишиндеги ноқатлардың санын есаплаймыз. Z^3 кеңислигиндеги ҳәр бир ноқат пенен бир бирлик көлемге ийе қутыша байланысқа болғанлықтан радиусы R ге тең болған шардың $1/8$ бөлегиниң көлеми биз излеп атырған ноқатлар санын (турғын толқынлар санын) анықлайды. Сонлықтан

$$\tilde{N} = \frac{1}{8} \cdot \frac{4}{3} \pi R^3 = \frac{1}{6} \frac{\omega^3 l^3}{\pi^2 c^3} = \frac{1}{6} \frac{\omega^3}{\pi^2 c^3} \cdot V. \quad (2.1.24)$$

Бул жерде $V = l^3$ арқалы биз қарап атырған тең салмақлы жыллылық нурланыўы жайласқан көлем белгиленген.

Электромагнит толқынларының көлденең толқын екенлигин атап өтемиз. Сонлықтан қуўыслық ишинде \vec{k} шамасының ҳәр бир бағытында улыўма жағдайда өз-ара перпендикуляр тегисликлерде поляризацияланған еки толқын тарқала алады. Сонлықтан жийилиги ω дан үлкен болмаған турғын толқынлардың улыўмалық санын былайынша анықлаў керек

$$N = 2\tilde{N} = \frac{1}{3} \frac{\omega^3}{\pi^2 c^3} V. \quad (2.1.25)$$

(2.1.25) ти жийилик бойынша дифференциаллап қуўыслықтағы жийиликлери ω дан $d\omega$ ға шекемги турғын толқынларды табамыз:

$$dN = \frac{\omega^2 d\omega}{\pi^2 c^3} V. \quad (2.1.26)$$

Егер енди $\langle \epsilon \rangle$ арқалы жийилиги ω болған турғын электромагнит толқынның орташа энергиясын белгилесек, онда тең салмақлы жыллылық нурланыўының спектраллық тығызлығының анықламасы бойынша

$$u_{\omega, T} \cdot d\omega = \frac{dN \langle \epsilon \rangle}{V}$$

аңлатпасына ийе боламыз. Буннан (2.1.26)-аңлатпаны есапқа алып

$$u_{\omega, T} = \frac{\omega^2}{\pi^2 c^3} \langle \epsilon \rangle \quad (2.1.27)$$

екенлигине ийе боламыз.

Жыллылық нурланыуы теориясын раўажландырыу барысында Д.Рэлей (1900-жылы) хәм Д.Джинс (1905-жылы) хәр бир турғын электромагнит толқынды еки еркинлик дәрежесине ийе объект сыпатында қараўды усынды. Олардың биреуи электрлик, екиншиси магнитлик.

Энергияның еркинлик дәрежелери бойынша тең өлшеули тарқалыуы ҳаққындағы классикалық теоремаға муўапық термодинамикалық тең салмақлық ҳалында системаның хәр бир еркинлик дәрежесине $\frac{1}{2}kT$ шамасына тең энергия сәйкес келеди. Бул аңлатпада $k = 1,38 \cdot 10^{-23}$ Дж/К арқалы Больцман турақлысы белгиленген. Сонлықтан T температурасындағы тең салмақлық жыллылық нурланыуында жийилиги ω болған хәр бир турғын толқынға орташа

$$\langle \epsilon \rangle = \frac{1}{2} kT + \frac{1}{2} kT = kT \quad (2.1.28)$$

энергиясы сәйкес келеди. Бундай жағдайда (1.27)-аңлатпадан

$$u_{\omega,T} = \frac{\omega^2}{\pi^2 c^3} kT \quad (2.1.29)$$

аңлатпасын келтирип шығарамыз. (2.1.17)-аңлатпаларының жәрдеминде тең салмақлық жыллылық нурланыуының энергиясының спектраллық тығызлығы ушын алынған бул формуланы абсолют қара денениң нур шығарыушылық уқыплығы ушын жазылған Рэлей-Джинс формуласына түрлендириу мүмкин:

$$u_{\omega,T}^* = \frac{\omega^2}{4\pi^2 c^3} kT \quad (2.1.30)$$

Рэлей-Джинс формуласы абсолют қара денениң нурланыуы бойынша алынған эксперименталлық мағлыұматларға киши жийиликлер ямаса үлкен толқын узынлықлары областларында жақсы сәйкес келеди. Бирақ үлкен жийиликлер ямаса киши толқынлар областларында Рэлей-Джинс формуласы менен эксперименттерде алынған мағлыұматлар арасында үлкен айырма жүз береді. Усының менен бир қатарда (2.1.29) бенен (2.1.30) ды барлық жийиликлер бойынша интегралласақ тең салмақлық нурланыуының энергиясының интеграллық тығызлығы $u(T)$ хәм абсолют қара денениң энергетикалық жарқынлығы R^* ушын шексиз үлкен мәнис аламыз. Ҳақыйқатында да

$$u(T) = \frac{4}{c} R^* = \int_0^{\infty} u_{\omega,T} d\omega = \frac{kT}{\pi^2 c^3} \int_0^{\infty} \omega^2 d\omega \rightarrow \infty.$$

Буннан жыллылық нурланыуының классикалық теориясы бойынша нурланыу энергиясының шекли мәнислеринде зат пенен нурланыу арасында тең салмақлықтың орын алыуы мүмкин емес деген жуўмақ шығады. Бул жуўмақ тәжірийбе нәтийжелерине пүткиллей қайшы келеди.

Рэлей-Джинстың формуласындағы усындай қарама-қарсылықлы нәтийжени П.С.Эренфест "ультрафиолет катастрофа" деп атады. Ал классикалық теория бойынша Рэлей-Джинстың формуласы дурыс келтирилип шығарылған.

Квантлар хақындағы гипотеза. Планк формуласы. "Ультрафиолет катастрофа" классикалық физиканың бир қатар принципаллық ишки қарама-қарсылықтарға ийе екенлигин айқын көрсетти. Сонлықтан жыллылық нурланыуы теориясында пайда болған машқалаларды шешиу ушын пүткіллей жаңа идеялардың керек екенлиги айқын болды.

Бундай физикалық идея 1900-жылы М.Планк тәрөпинен квантлар хақындағы гипотеза түрінде усынылды. Бул гипотеза бойынша затлар тәрөпинен нурлар үзликсиз нурландырылмайды ямаса жутылмайды, ал порциялар түрінде нурландырылады ямаса жутылады. Энергияның шекли порцияларын М.Планк энергияның квантлары деп атады. Квантлық энергияның мәниси нурланыудың жийилигинен ғәрезли хәм

$$E = h\nu \text{ ямаса } E = \hbar\omega \quad (2.1.31)$$

формулаларының жәрдемінде бериледи. Бул жерде $h = 2\pi\hbar$ арқалы жаңа фундаменталлық турақлы шама берилген. Бул турақлы шаманы Планк турақлысы деп атайды. Хәзирги ўақытлардағы мағлыұматлар бойынша

$$h = (6,62618 \pm 0,00004) \cdot 10^{-34} \text{ Дж} \cdot \text{с.}$$

Бул турақлының өлшем бирлиги ""энергия \times ўақыт" физикадағы "тәсир" ("действие") деп аталатуғын шаманың өлшеміне сәйкес келеди. Сонлықтан Планк турақлысын тәсир кванты деп те атайды.

Классикалық физика бойынша қәлеген физикалық шама, соның ишинде энергия да үзликсиз өзгереди. Оның шексиз киши ўақыт ишиндеги өсими де шексиз киши шама. Тап усындай жағдай орын алып атырған ўақытта усынылған квантлар хақындағы гипотеза физиканың буннан былай раўажланыуы ушын оғада үлкен тәсирин тийгизди. ХХ әсирдің басында усынылған Планктің квантлар хақындағы гипотезасы квантлық механиканың дәрөтилиўине алып келди. Хәзирги заман физикалық теория болып табылатуғын квантлық механикада квантланыу идеясы ямаса дискретлик системаның халын характерлеўши хәр қыйлы физикалық шамаларға тарқатылады. Тап усындай көз-қараста 1900-жылды квантлық физиканың туўылған жылы деп атау мүмкин. Бул теория келеси 100 жыл даўамында хәр тәрөплеме хәм жоқары тезликлер менен раўажланып, физиклерге атомлық кубылыслар қәддиндеги микродұньяның тамамланған хәм қарама-қарсылықсыз теориясын дәрөтиўге мүмкиншилик берди.

Биринши этапта нурланыу энергиясының квантланыуы хақындағы гипотезаның жәрдемінде Планк тең салмақлық жыллылық нурланыуының толық теориялық тәрөплемесин берди хәм классикалық теорияның қарама-қарсылықларын ақырына шекем қалдырмай шешти.

Нурланыудың квантлық теорияның классикалық теориядан парқы ω жийилигиндеги нурланыудың орташа энергиясын есаплауда айқын көринеди. Планк гипотезасын есапқа алған халда нурланыудың орташа энергиясы

$$\langle \varepsilon \rangle = \sum_{n=1}^{\infty} P_n \varepsilon_n \quad (2.1.32)$$

формуласының жәрдемінде анықланады. Бул формулада $\varepsilon_n = n\hbar\omega$ арқалы нурланыу энергиясының мүмкин болған мәниси, ал P_n арқалы термодинамикалық тең

салмақтық қалында T температурда нурланыудың ε_n энергиясына ийе болуы итималлығы белгиленген. Итималлықтың бул мәнісін Больцман тарқалыуының жәрдеминде анықлау мүмкін. Бул итималлықты базы бир константа дәллігінде

$$P_n = A e^{-\frac{\varepsilon_n}{kT}} \quad (2.1.33)$$

түрінде жазамыз. Егер $\sum_{n=0}^{\infty} P_n = 1$ екенлігін есепке алсақ, онда A константасы ушын

$$A = \left(\sum_{n=0}^{\infty} e^{-\frac{\varepsilon_n}{kT}} \right)^{-1}$$

формуласына ийе боламыз. Солай етип нурланыудың квантлық теориянда жийилигі ω болған нурланыудың орташа энергиясы мына аңлатпаның жәрдеминде бериледи екен:

$$\langle \varepsilon \rangle = \frac{\sum_{n=0}^{\infty} n \hbar \omega e^{-\frac{n \hbar \omega}{kT}}}{\sum_{n=0}^{\infty} e^{-\frac{n \hbar \omega}{kT}}} = \hbar \omega \frac{\sum_{n=0}^{\infty} n e^{-n\xi}}{\sum_{n=0}^{\infty} e^{-n\xi}} \quad (2.1.34)$$

Бул формуладағы $\xi = \frac{\hbar \omega}{kT}$. Бул формуланың бөлімінде турған сумманы геометриялық прогрессияның жәрдеминде анықлаймыз

$$S = \sum_{n=0}^{\infty} e^{-n\xi} = \frac{1}{1 - e^{-\xi}} \quad (2.1.35)$$

Бул қатнасты ξ бойынша дифференциаллап (2.1.34)-формуланың бөлімінде турған қатардың суммасын табамыз:

$$\sum_{n=0}^{\infty} n e^{-n\xi} = -\frac{dS}{d\xi} = \frac{e^{-\xi}}{(1 - e^{-\xi})^2} \quad (2.1.36)$$

Сумманың табылған мәнісін (2.1.34)-аңлатпаға қойып жийилигі ω шамасына тең болған нурланыудың орташа мәнісін ушын ақырғы аңлатпаны аламыз

$$\langle \varepsilon \rangle = \frac{\hbar \omega}{e^{\frac{\hbar \omega}{kT}} - 1} \quad (2.1.37)$$

Киши жийиликлерде $\frac{\hbar \omega}{kT} \ll 1$ хәм $e^{\frac{\hbar \omega}{kT}} \approx 1 + \frac{\hbar \omega}{kT}$. Сонлықтан (2.1.37)-формуладан классикалық теорияның формуласы болған $\langle \varepsilon \rangle = kT$ формуласына кайтып келемиз. бирақ үлкен жийиликлер областында (2.1.28)- хәм (2.1.37)-формулар бойынша есапланған нурланыудың орташа энергиялары пүткиллей хәр қыйлы мәніслерге ийе болады. Ал тап усындай жийиликлер областында классикалық теория "ультрафиолет катастрофаға" алып келетуғын еди. Нурланыудың квантлық теориясы эксперимент пенен теория арасындағы бул қарама-қарсылықты

сапластырады. Ғақыйқатында да(2.1.37) ни (2.1.27) ге қойып тең салмақты жыллылық нурланыўының энергиясының спектраллық тығызлығы ушын Планктің белгили формуласын аламыз:

$$u_{\omega,T} = \frac{\hbar\omega^3}{\pi^2 c^2} \frac{1}{e^{\frac{\hbar\omega}{kT}} - 1}. \quad (2.1.38)$$

Байланыс формуласы (2.1.17) абсолют қара денениң жийиликлердің барлық диапазонындағы нур шығарыўшылығын тәриплейтуғын Планк функциясын

$$r_{\omega,T}^{\sim} = f(\omega,T) = \frac{\hbar\omega^3}{4\pi^2 c^2} \cdot \frac{1}{e^{\frac{\hbar\omega}{kT}} - 1} \quad (2.1.39)$$

түринде жазыўға мүмкиншилик береді.

Планк функциясы абсолют қара денениң барлық жийиликлерде ҳәм барлық температураларда нурланыўы бойынша экспериментлерде алынған нәтийжелерге сәйкес келеді. Төменги жийиликлерде нурланыўдың квантлық теориясының (2.1.39)-формула Рэлей-Джинстің (2.1.30)-формуласына өтеді. Жоқары жийиликлерде $\hbar\omega \gg kT$, $e^{\frac{\hbar\omega}{kT}} \gg 1$ теңсизликлери орынланатуғын жоқары жийиликлерде (2.1.39)-формула

$$f(\omega,T) = \frac{\hbar\omega^3}{4\pi^2 c^2} e^{-\frac{\hbar\omega}{kT}} \quad (2.1.40)$$

формуласына айланады. Бул формуланың қурылысын В.Вин 1893-жылы болжаған еди.

Жоқарыда баян етилген Планк формуласын келтирип шығарыў усылы тарийхый жақтан ең биринши рет қолланылған усыл болып табылады. Кейинирек бул мәселе квантлық физиканда басқа да усыллардың жәрдеминде шешилди. Олардың бир қаншасы алдымыздағы параграфларда қарап өтиледі.

1.3-мәселе. Нурланыўдың квантлық теориясының тийкарғы аңлатпаларын пайдаланып Стефан-Больцман нызамын келтирип шығарыңыз ҳәм Стефан-Больцман турақлысының мәнисин есаплаңыз.

Шешими: (2.1.39)-Планк функциясын барлық жийиликлер бойынша интеграллап абсолют қара денениң энергетикалық жарқынлығын табамыз. Интеграллаўдың нәтийжесинде

$$R^* = \int_0^{\infty} r_{\omega,T}^{\sim} d\omega = \frac{\hbar}{4\pi^2 c^2} \int_0^{\infty} \frac{\omega^3 d\omega}{e^{\frac{\hbar\omega}{kT}} - 1} = \frac{k^4 T^4}{4\pi^2 c^2 \hbar^3} \int_0^{\infty} \frac{x^3 dx}{e^x - 1}$$

аңлатпасын аламыз. Алынған нәтийже $R^* = \sigma T^4$ түринде жазылатуғын Стефан-Больцман нызамына сәйкес келеді. Бул аңлатпадағы турақлы

$$\sigma = \frac{k^4}{4\pi^2 c^2 \hbar^3} \int_0^\infty \frac{x^3 dx}{e^x - 1}$$

формуласының жәрдеминде анықланады.

Меншикли емес

$$\int_0^\infty \frac{x^3}{e^x - 1} dx$$

интегралының мәнісін Mathematica 8.0 программалау тилинің жәрдеминде есептейміз және $\frac{\pi^4}{15}$ нәтижесін аламыз. Сондықтан Стефан-Больцман тұрақтысы үшін

$$\sigma = \frac{\pi^2 k^4}{60 c^2 \hbar^3} = 5,67 \cdot 10^{-8} \text{ Вт} \cdot \text{м}^{-2} \cdot \text{К}^{-4}$$

мәнісін аламыз.

Планктың өзі экспериментте анықталған σ тұрақтысының мәнісін пайдаланған және жоғарыдағы формула бойынша \hbar тың мәнісін есептеген.

1.4-мәселе. Абсолют қара дененің нур шығарушылық қыпшығы үшін жазылған Планк функциясының жәрдеминде жыллылық нурланыуы үшін Виннің $\lambda_m T = b$ нызамындағы b тұрақтысының мәнісін есептеңіз.

Шешімі: (2.1.3)-формула бойынша $\omega = 2\pi c/\lambda$ өзгеріушісін алмастырып, (2.1.39)- Планк функциясын түрлендіріудің жәрдеминде абсолют қара дененің нур шығару қыпшығын толқын ұзындығының функциясы түрінде табамыз:

$$r_{\lambda,T}^* \equiv \varphi(\lambda,T) = \frac{4\pi^2 c^2 \hbar}{\lambda^5} \cdot \frac{1}{\left\{ \exp\left(\frac{2\pi c \hbar}{\lambda k T}\right) - 1 \right\}}$$

$z = 2\pi c \hbar / (\lambda k T)$ белгілеуін пайдаланып φ функциясын

$$\varphi = A \frac{z^5}{(e^z - 1)}, \quad A = \text{const}$$

түрінде жазамыз. φ функциясының қандай $z = z_m$ мәнісінде максимумға ийе болатындығын табамыз. Бұны үшін

$$\frac{d\varphi}{dz} = A \frac{5z^4(e^z - 1) - z^5 e^z}{(e^z - 1)^2}$$

туындысын алып, оны нөлге теңейміз және $z = z_m$ экстремаллық мәнісін үшін

$$5(e^{z_m} - 1) - z_m e^{z_m} = 0$$

трансцендент теңлемесін ямаса

$$z_m = z \left[1 - e^{-z} \right]$$

формуласын аламыз. Бул мәселени Mathematica 8.0 тилинде де шешиў мүмкин. Бундай жағдайда $\text{Solve}\left[\frac{5z^4(e^z-1)-z^5e^z}{(e^z-1)^2} == 0, z\right]$ аңлатпасының шешими ретинде $z \rightarrow 5 + \text{ProductLog}\left[-\frac{5}{e^5}\right]$ шешимине ийе боламыз (биз бул жерде m индексин жазбадық). $N[z \rightarrow 5 + \text{ProductLog}\left[-\frac{5}{e^5}\right]]$ аңлатпасы бойынша жүргизилген есаплаўлар $z \rightarrow 4.965114231744276$ нәтийжесин, яғный $z_m = 4,965$ шамасын береді.

Демек

$$\frac{2\pi c\hbar}{\lambda_m kT} = 4,965$$

теңлиги орынланған жағдай ушын алынған $\lambda = \lambda_m$ толқын узынлығында абсолют қара денениң нур шығарыўшылық уқыплығы максимумына жетеді екен.

Буннан

$$\lambda_m T = b = \frac{2\pi c\hbar}{4,965k} = 2,9 \cdot 10^{-3} \text{ м} \cdot \text{К}$$

екенлигине ийе боламыз.

2-1-3. Фотон газы ҳәм оның қәсийетлери

Нурланыўдың фотонлық теориясы. М.Планктың квантлар ҳаққындағы гипотезасын раўажландырып А.Эйнштейн 1905-жылы нурланыўдың (жақтылықтың) квантлық қәсийетлери оның тек затлардан шығарылғанында ҳәм затларда жутылғанында ғана емес, ал нурлардың кеңисликте тарқалғанында да көринеди деп болжады. Ньютон тәрәпинен XVIII әсирдің басында усынылған жақтылықтың корпускулалық теориясын қайтадан тиклеп нурланыўды көп сандағы бөлекшелерден турады, бул бөлекшелердің ҳәр қайсысы энергия квантына ийе болып кеңисликте жақтылықтың вакуумдағы тезлигиндей тезлик $c = 3 \cdot 10^8 \text{ м/с}$ пенен қозғалады деген гипотезаны усынды. Усындай бөлекшелердің қәсийетлерин қарап шығамыз.

Фотон деп аталатуғын нурланыўдың бөлекшеси ультрарелятивистлик деп аталатуғын зарядланбаған бөлекше болып табылады. Фотонның қәсийетлери арнаўлы салыстырмалық теориясының тийкарғы қатнастарының жәрдемінде ғана тәриплиниўи мүмкин. Мысалы бул теориядан фотонның массасы нолге тең болған элементар бөлекше екенлиги келип шығады. Бул жағдай фотонның барлық ўақытта c тезлиги менен қозғалатуғынлығын ҳәм тынышлық ҳалында тура алмайтуғынлығын көрсетеди. Егер фотон басқа элементар бөлекше менен соқлығысыўдың ақыбетинде "тоқтайтуғын" болса, онда ол энергиясын соқлығысқан бөлекшеге берип жоқ болады.

Фотонның энергиясы

$$\varepsilon_f = \hbar \nu = \hbar c / \lambda \quad (2.1.41)$$

жақтылық ушын ($\lambda \sim 500$ нм) бир неше электронвольттен өткир гамма-нурлары ушын ($\lambda = 10^{-3}$ нм) миллионлаған электронвольтке шекемги кең диапазонда жатады.

с тезлиги менен қозғалыушы фотон импульске ийе болады. Оның импульси менен энергиясы арасында $p_{\phi c} = \varepsilon_{\phi}$ түріндеги релятивистлик қатнас орын алады. (2.1.32)-аңлатпаны есапқа алып

$$p_{\phi} = \frac{h\nu}{c} = \frac{h}{\lambda} \quad (2.1.43)$$

теңлигин жаза аламыз.

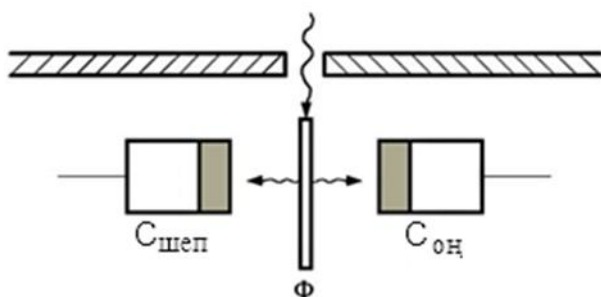
Фотон ушын модули $k = 2\pi/\lambda$ шамасына тең, ал тарқалыу бағыты \vec{k} векторы жәрдемінде анықланатуғын нурланыу ушын (2.1.43)-формулань төмендегидей векторлық түрде жазыу мүмкин

$$\vec{p}_{\phi} = \hbar \vec{k} \quad (2.1.44)$$

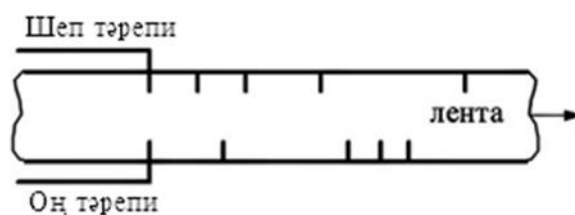
Боте тәжірийбеси. Экспериментте нурланыуға тийисли болған айырым фотонды табыуға бола ма? деген сорау бериледи. Егер фотон үлкен массаға хәм үлкен энергияға ийе болғанда бул сорауға аңсат жууап бериуге болар еди. (2.1.42)-хәм (2.1.43)-аңлатпалардан бундай фотонның қысқа толқынлы электромагнит нурланыуда (мысалы рентген нурларында) болатуғынлығын аңлауға болады.

Рентген нурларының фотонь табыу ушын В.Боте 1925-жылы орынлады. Бул экспериментте жуқа металл фольга Φ (2.1.10-а сүүрет) рентген нуры менен нурландырылды. Усының менен бирге фольганың өзи әззи екінши нурланыудың дерегине айланды.

Толқынлық көз-қараслар бойынша хәтте жүдә әззи нурлардың энергиясы кеңисликте оң хәм шеп тәреплерге қарай бир текли тарқалған болады. Бундай жағдайда шеп хәм оң тәреплерде жайластырылған есаплағышлар бир уақытта бирдей шамаларды көрсеткен болар еди. Соның менен бирге усындай жағдайларда шептеги хәм оң тәрептеги есаплаушы дүзиліслер менен тутастырылған жазып алыушы әсбаплар қозғалыушы қағаз лентада бирдей тамғаларды қойған болар еди (2.1.10-б сүүрет).



1.10-а сүүрет.



1.10-б сүүрет.

Нурланыудың корпускулалық фотонлық теориясы көз-қарасында екінши нурланыудың энергиясы бир фотонның энергиясындай киши болғанда, фотонлар фольгада тек оң тәрепке ямаса тек шеп тәрепке нурландырылған болар еди. Бундай жағдайда қозғалыушы қағаз лентаға түсірилген тамғалар бир бирине сәйкес келмей қалады.

Тәжірийбе (2.1.10-б сүүрет) нурланыўдың фотон теориясының жуўмағын тастыйықлады хәм усының менен бирге фотонның бар екенлиги экспериментте дәлилленди

С.И.Вавиловтың басшылығында өткерилген экспериментлер көзге бир секундтың ишинде бир неше жүз фотон келип түскенде адамның көзиниң жақтылықты сезетуғынлығын көрсетти. Сонлықтан әззи жақтылық дәстеси бар болған жағдайда нурландырылатуғын фотонлардың санының өзгерислери менен байланыссы болған флуктуацияларды көз бенен де аңғарыў мүмкин.

Энергиясы 0,1 эВ болған инфрақызыл нурланыў областында жалғыз фотонды да сезетуғын детектор ислең шығылған. Бул детектор аса өткізгіш ниобий нитридинен соғылған.

Фотон газының ҳал теңлемеси. Фотонлық теорияның көз-қарасы бойынша тең салмақлы жыллылық нурланыўын қуўыслықты толтырып турған фотон газы деп қараўға болады. Бул газдың барлық бөлекшелери пүткиллей тәртіпсиз қозғалады хәм сонлықтан сол қозғалыслар барлық бағытлар бойынша теңдей итималлыққа ийе.

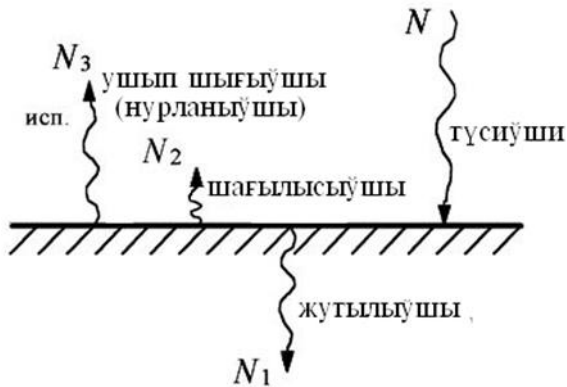
Әлбетте фотонлар газын классикалық идеал газдай болып таллаўға болмайды. Фотон газының бөлекшелери (фотонлар) тезликлер бойынша тарқалыўға ийе емес, ал олардың энергия бойынша тарқалыўын классикалық Максвелл-Больцман тарқалыўы менен тәриплеўге болмайды. Фотонлардың энергиялар бойынша тарқалыўын квантлық статистиканың жәрдеминде келтирип шығарыў мүмкин (усы қолланбаның 6.5 бөлимин қараңыз). Буның ушын дәслең бир биринен парқы жоқ бөлекшелерден туратуғын системалардың квантлық теориясын талқылап алыў керек болады. Хәзир болса биз улыўмалық термодинамикалық нызамлар хәм тең салмақлық жыллылық нурланыўы ушын келтирип шығарылған аңлатпалар тийкарында фотонлар газының базы бир қәсийетлерин таллаў менен шекленемиз

Ең дәслең фотонлар газы ушын ҳал теңлемесин келтирип шығарамыз. Бул теңleme фотонлар газының термодинамикалық параметрлери болған басымды, көлемди хәм температураны бир бири менен байланыстырады. Газлердің молекулалық-кинетикалық теориясындағыдай жоллар менен фотон газының қуўыслықтың дийўалларына түсиретуғын басымын есаплаймыз хәм келип түсиўши фотонлардың импульслериниң ыдыстың дийўалларына берилиўиниң салдарынан басымның пайда болатуғынлығын еске түсиремиз

Барлық фотонлардың ишинен биз дәслең ω жиийилигиндеги нурланыўға сәйкес келиўши фотонларды бөлип аламыз хәм оның көлемлик концентрациясын n_ω арқалы белгилеймиз. Бирдей хуқыққа ийе болғанлықтан бир бирине перпендикуляр хәм ыдыстың дийўалларына да перпендикуляр болған бағытларды қараймыз. Хәр бир дийўалға қарай барлық фотонлардың үштен бири қозғалады деп есаплаймыз. Олардың да тек ярымы ғана дийўалға қарай, ал қалған ярымы дийўалға қарама-қарсы бағытта қозғалады. Фотонлар с тезлиги менен қозғалатуғын болғанлықтан дийўалдың майданының бир бирлигине бир ўақыт бирлиги ишинде келип түсетуғын фотонлар саны былайынша жазылады

$$N = \frac{1}{6} n_\omega c$$

Егер заттың дийўалының жутыўшылық қәбилетлигин $a_{\omega,T}$ арқалы белгилесек, онда дийўалға келип жетиўши N дана фотонның $N_1 = a_{\omega,T}N$ данасы дийўал тәрөпинен жутылады, ал $N_2 = (1 - a_{\omega,T})N$ данасы шағылысады. $N_1 + N_2 = N$ екенлиги өз-өзинен түсиникли (2.1.11-сүүрет).



1.11-сүурет.

Дийўалдың бетине келип түсийши, беттен шағылысушы хәм беттен нурланыушы фотонлардың санын есаплау ушын керекли болған сүүрет.

"Зат – нурланыў" системасындағы термодинамикалық тең салмақлық шәрти беттен нурландырылатуғын (ушып шығыушы) фотонлардың саны N_3 (яғный бир шамасының бирлик майданнан ўақыт бирлигинде нурландырылатуғын фотонлар саны) жұтылған фотонлар саны N_1 ге тең болыўын талап етеди. Тек $N_3 = N_1$ шәрти орынланатуғын жағдайда ғана денениң ишки энергиясы ўақыттың өтийи менен өзгериссиз қалады. Соның менен бирге ўақыттың өтийи менен нурланыў энергиясы да өзгермейди.

Қәлеген жұтылған хәм шығарылған фотон дийўал p_ϕ импульсин береді. Оның шамасы (2.1.43)-формуланың жәрдеминде есапланады. Шағылысқан фотон өзиниң дәслепки бағытын қарама-қарсы бағытқа өзгертеди. Сонлықтан дийўалға $2p_\phi$ импульсин береді. Демек бир ўақыт бирлигинде дийўалдың майданының бир бирлигине

$$N_1 p_\phi + N_2 2p_\phi + N_3 p_\phi = 2(N_1 + N_2) p_\phi = 2N p_\phi$$

шамасына тең импульс бериледи. Ньютонның екінши нызамы бойынша дийўалға берілген бул импульс жийилиги ω болған нурланыўдың дийўалға түсирген басымы P_ω ны анықлайды. Демек

$$P_\omega = 2N p_\phi = \frac{1}{3} n_\omega c p_\phi = \frac{1}{3} n_\omega \varepsilon_\phi = \frac{1}{3} u_\omega. \quad (2.1.45)$$

Бул аңлатпада u_ω арқалы жийилиги ω болған нурланыўдың энергиясының тығызлығы белгиленген.

Хәр қыйлы жийиликтеги нурланыўдың фотонларының дийўалға түсиретуғын басымын суммалап T температурасында тең салмақлықта турған фотон газының улыўмалық басымын

$$P = \frac{1}{3} \int_0^\infty u_{\omega,T} d\omega = \frac{1}{3} u(T) \quad (2.1.46)$$

түринде табамыз. Бул аңлатпада $u(T)$ арқалы мүмкин болған барлық жийиликлердеги нурланыў энергиясының интеграллық тығызлығы белгиленген. (2.1.7) хәм (2.1.16) ларды есапқа алсақ

$$u(T) = \frac{4}{c} \pi^2 T^4 = \frac{4\pi^2}{c} T^4, \quad (2.1.47)$$

аңлатпасына ийе боламыз, сонлықтан фотон газының басымы үшін төмендегі формуланы аламыз

$$P = \frac{4\sigma}{3c} T^4. \quad (2.1.48)$$

Бұл аңлатпада σ арқалы Стефан-Больцман тұрақтысы, c арқалы жақтылықтың вакуумдағы тезлігі белгіленген.

Солай етіп фотон газы түсіретуғын басымның шамасы оның абсолют температурасының төртінші дәрежесіне пропорционал, фотон газы жайласқан қуыслықтың көлемінен фәрезсіз екен. Мысалы $T = 10^3$ К шамасын (2.1.48)-формулаға қойсақ $P = 2,5 \cdot 10^4$ Па басымын аламыз. Температураның артыуы менен фотон газының басымы кескин түрде артады хәм $T = 10^8$ К де $P = 2,5 \cdot 10^{16}$ Па = $2,5 \cdot 10^{11}$ атм ға жетеді.

Фотон газының термодинамикалық характеристикалары. Енді көлемі V , температурасы T болған қуыслықты толтырып тұрған фотон газының ишки энергиясын есаплаймыз. (2.1.47)-формуланы есапқа алсақ

$$U = u(T)V = \frac{4\sigma}{c} T^4 V \quad (2.1.49)$$

екенлігін табамыз. Сонлықтан тұрақты V көлемін ийелеп тұрған фотон газының жыллылық сыйымлығы үшін

$$C_V = \left(\frac{\partial U}{\partial T} \right)_{V=\text{const}} = \frac{16\sigma}{c} T^3 V \quad (2.1.50)$$

аңлатпасын аламыз.

Классикалық идеал газдің жыллылық сыйымлығы температурадан фәрезсіз шама еди. Фотон газының жыллылық сыйымлығы болса оның абсолют темпетарурасының кубына пропорционал екен.

Фотон газы үшін белгиі болған термодинамикалық аңлатпа $dQ = TdS = dU + PdV$ формуласын пайдаланып, (2.1.48) бенен (2.1.49) ды есапқа алып

$$dS = \frac{dU + PdV}{T} = \frac{16\sigma}{c} T^2 V dT + \frac{16\sigma}{3c} T^3 dV = d \left(\frac{16\sigma}{3c} T^3 V \right)$$

аңлатпасына ийе боламыз. Буннан абсолют температура нолге умтылғанда ($T \rightarrow 0$) энтропия S тиң де нолге умтылатуғынлығын (яғный $S \rightarrow 0$) есапқа алсақ, онда фотон газының энтропиясын табамыз:

$$S = \frac{16\sigma}{3c} T^3 V. \quad (2.1.51)$$

алынған термодинамикалық аңлатпалар фотон газы қатнастатуғын хәр қыйлы процесслерди қарап шығыуға мүмкиншилик береді. Мысалы (2.1.48) ден изотермалық процесстиң ($T = \text{const}$) изобаралық та процесс ($P = \text{const}$) екенлігін көріуге болады.

Егер фотон газын кеңейткенде ямаса қысқанда оның энтропиясы өзгермейтуғын болса ($S = \text{const}$), онда бундай процессте фотон газының қоршаған орталық пенен энергия алмаспайтуғынлығын көрийге болады ($dQ = 0$). Бундай процессти адиабаталық процесс деп атайды. (2.1.51) ден фотон газы ушын адиабаталық процесстиң теңлемесиниң

$$T^3 V = \text{const} \quad (2.1.52)$$

түрине ийе болатуғынлығын көремиз. (2.1.48)-аңлатпаны есапқа алсақ бул формула

$$\rho T^4 = \text{const} \quad (2.1.53)$$

түрине келеди.

Әлемниң жыллылық нурланыуы. Жоқарыда келтирилген мағлыұматлар нурланыу энергиясының жоқары температураларда системаның ишки энергиясына үлкен үлес қосатуғынлығын көрдик. Бундай системаның бири ретинде жоқары температуралы плазманы көрсетиу мүмкин. Заттың бундай қалында фотон газы (нурланыу) бөлекшелер газы менен бир қатарда (электронлар, ионлар хәм басқалар) системаның рең хуқықлы элементи сыпатында есапқа алыныуы шәрт. Жоқары температуралы плазманың көплеген қәсийетлери фотон газының бөлекшелер газы менен тәсирлесиуи тийкарында түсиндириледи.

Усындай тәсирлесиуге қызықлы болған мысалды Әлемниң эволюциясының ең басланғыш дәуирлерин тәриплейтуғын хәзирги заман космологиялық теориясында да табыуға болады. Бул теория бойынша бизиң Әлемимиз буннан 13-14 млрд жыл бурын Үлкен партланыудың салдарынан пайда болған.

Партланыудың ақыбетинде жүдә киши көлемде жүдә жоқары температурада хәм жүдә жоқары тығызлықларда Әлемниң барлық затлары жайласқан. Г.Гамовтың берген мағлыұматлары бойынша партланыудан 100 секунд өткеннен кейин заттың тығызлығы суудың тығызлығынан мыңлаған есе үлкен, ал температура болса термоядролық партланыудың орайында пайда болатуғын температурадан ($T \sim 10^9$ K) салыстырмас дәрежеде жоқары болған.

Ыссы от шарда материя жоқары температуралы плазма қалында болады. Бул плазма тийкарынан электронлардан, протонлардан, нейтронлардан, нейтринолардан хәм олардың антибөлекшелеринен турған. Бундай қалдағы затлар нурланыу ушын мөлдир бола алмайды хәм сонлықтан нурланыу затта "қақпанға" түскен қалға түседи.

1922-жылы дөретилген А.А.Фридманның теориясына сәйкес партланыудан кейин Әлем үлкен тезликлер менен кеңейе баслаған. Кеңейиудің ақыбетинде Әлемдеги затлардың хәм нурланыудың температурасы төменлеген хәм партланыудан соңғы шама менен 300 мың жылдан кейин $T \approx 3000$ K шекем төменлеген. Тап усы ўақытлары затлардың тығызлығы $\rho = 10^{-17}$ кг/м³ шамасына шекем киширейген. Бундай шараятларда электронлар, протонлар хәм нейтронлар биригеди хәм водород, гелий хәм басқа да жеңил элементлердің атомлары пайда болады. Бундай нейтрал атомлардан туратуғын орталық нурланыу ушын мөлдир болады хәм нәтийжеде нурланыу затлардан "айрылып шығады". Усы дәуирлерден баслап фотон газы Әлемниң барлық көлемин ийелейди хәм Әлем менен бирге кеңейеди. Фотон газының бундай кеңейиуин адиабаталық кеңейиу деп атауға болады

(2.1.52)-аңлатпадан Әлемнің көлеми үлкейген сайын оны толтырып тұрған фотон газының температурасы да төменлейді. Әпиұайы есаплаулар (бұндай есаплаулар 1.6-мәселеде келтирилген) ұсындай кеңейіу процессинің салдарынан пүткіл Әлем хәзирги ұақытлары температурасы шама менен 3 К шамасындағы тең салмақлық нурлар менен толған болыуы керек. Ондай электромагнитлик нурларды микротолқынлық нурлар деп атайды. Әлемнің эволюциясының ең басланғыш моментлеринде пайда болған бул космослық жыллылық нурланыуын белгили астрофизик И.С.Шкловский реликтлик деп атады. Есаплаулар хәзирги ұақытлары Әлемнің хәр бир куб сантиметринде реликтлик нурланыудың шама менен 700 фотонының бар екенлигин көрсетеди.

1965-жылы Америкалы радиоинженерлер А.Пензиас хәм Р.Уилсон радиотелескоптың қабыллағышын жумысқа таярлаудың барысында әззи фонлық радиошауқымның бар екенлигин тапты. Олар өткерген изертлеулер бұндай радиотолқынлардың космос кеңлигинің барлық тәреплеринен бирдей интенсивликте келетуғынлығын хәм бул толқынлардың энергиясының максимумы $\lambda_m = 0,96$ мм ге сәйкес келетуғынлығын көрсетти. Виннің ауысуы нызамы болған (2.1.11) аңлатпасынан ұсындай толқын узынлығы ушын тең салмақлық жыллылық нурланыуының энергиясының максимумының сәйкес келетуғынлығын нурланыудың температурасының $T = 2,7$ К екенлиги келип шығады. Солай етип радиоинженерлер тәрепинен дерлик тосыннан Әлемде жүдә ертеде болып өткен физикалық процесслердің излери табылды.

1978-жылы физика бойынша халық аралық Нобель сыйлығы берилген реликтлик нурланыудың ашылыуы хәзирги заман илиминің әхмийетли жетискенлеринің бири болып есапланады. Бул ашылыу Әлемнің он миллиард жылдан да көбирек ұақыт ишиндеги эволюциясын тәрийиплейтуғын "ыссы" кеңейіуши Әлем теориясының дурыс екенлигин тастыйықлады. Бул теориядан өзинің рауажланыуының басланғыш дәуірлеринде Әлемнің хәзирги дәуірлердеги Әлемге пүткіллей усамағанлығын көрсетеди. Бул теориядан сол ұақытлары Әлемнің үлкен партланыудың ақыбетинде пайда болған аса тығыз плазмадан хәм жүдә жоқары температурадағы нурланыудан тұрғанлығы келип шығады. Бул жерде биз Жердеги шараятларда ашылған нызамлардың космослық масштаблардағы физикалық қубылыслар ушын да дурыс екенлигин көремиз. Усы жуўмағымыздың әхмийети жүдә уллы.

1.5-мәселе. Т температурасындағы тең салмақлық жыллылық нурланыуы менен толған кеңисликтің көлеминің бир бирлигиндеги фотонлардың санын анықлаңыз хәм фотонлардың концентрациясының температурадан ғәрезлигинің графигин сызыңыз.

Шешими: Жийиликлері ω дан $\omega + d\omega$ ға шекемги жийиликлер интервалындағы фотонлар ушын көлемлик концентрация n_ω түсинигин киргизсек, онда барлық жийиликлердеги биз излеп атырған фотонлардың концентрациясы

$$n_\Phi = \int_0^\infty n_\omega d\omega$$

түринде анықланады. Анықлама бойынша нурланыу энергиясының спектраллық тығызлығы $u_{\omega,T} = \hbar\omega n_\omega$ шамасына тең. Сонлықтан (2.1.38) Планк формуласын есапқа алып

$$n_\Phi = \int_0^\infty \frac{u_{\omega,T}}{\hbar\omega} d\omega = \frac{1}{\pi^2} \left(\frac{kT}{\hbar c} \right)^3 \int_0^\infty \frac{\xi^2 d\xi}{\exp \xi - 1} = \frac{1}{\pi^2} \left(\frac{kT}{\hbar c} \right)^3 I$$

екенлигин табамыз.

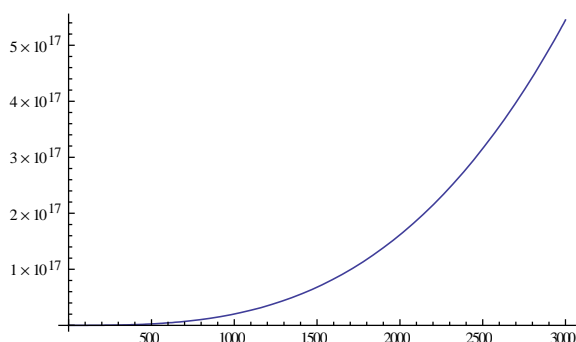
Бул формуладағы меншикли емес интегралдың мәнісін Mathematica 8.0 тилинде $N[\int_0^\infty \frac{\xi^2}{\text{Exp}[\xi]-1} d\xi]$ аңлатпасын жазыу жолы менен шешеміз. Компьютер 2.4041138063191885 шамасын береді. Усыған байланысты фотонлардың концентрациясын есеплау үшін

$$n_\phi = \frac{2,4}{\pi^2} \left(\frac{kT}{hc} \right)^3$$

формуласын аламыз. Есеплаулар төмнедегі нәтижелерді береді

T, K	$n_\phi, \text{м}^{-3}$
10	$2 \cdot 10^{10}$
300	$5,45 \cdot 10^{14}$
1000	$2 \cdot 10^{16}$

Биз n_ϕ шамасының температура T дан ғарезлигинің графигін де дүзіуіміз мүмкін. Оның үшін $\text{Plot}[\frac{2,4}{\pi^2} (\frac{kT}{hc})^3, \{T, 0, 3000\}]$ аңлатпасын жазамыз (температура T үшін 0 ден 3000 K ге шекемгі интервал алынған. Алынған график



түріне ийе болады. Бөлекшелер концентрациясының температурадан тап усындай болған ғарезлиги фотон газының өзіне тән өзгешелигі болып табылады.

1.6-мәселе. "Ыссы" Әлем теориясында Әлемнің раужланыуының дәслепкі дәуірінде нурланыудың затлардан "бөлиніп шығуы" $T = 3000 \text{ K}$ температурада хәм $\rho = 10^{-17} \text{ кг/м}^3$ тығызлықта жүзеге келді деп есепланады. Хәзиргі уақытлары Әлемнің тығызлығының $\rho_0 = 10^{-29} \text{ г/см}^3 = 10^{-26} \text{ кг/м}^3$ екенлигін есапқа алып хәзиргі уақыттағы Әлемдегі реликтлик нурлардың температурасының шамасын бахалаңыз.

Шешими: Әлемді толтырып тұрған нурланыу (реликтлик нурланыу) Әлем менен бирге адиабаталы түрде кеңейеді деп есаплаймыз. Бундай жағдайда (2.1.52) ни есапқа алған қалда

$$T^3 V = T_0^3 V_0$$

екенлигін табамыз. Бул аңлатпада T_0 арқалы биз ізлеп атырған температура, V хәм V_0 арқалы Әлемнің басланғыш хәм хәзиргі көлемлери белгиленген. Әлемдегі затлардың массасын M арқалы белгилейміз хәм бул шаманы өзгермейді деп есаплаймыз. Бундай жағдайда Әлемнің ертедегі хәм хәзиргі уақытлардағы тығызлықлары үшін $\rho = \frac{M}{V}$ хәм $\rho_0 = \frac{M}{V_0}$ аңлатпаларын жаза аламыз. Демек

$$T_0^3 = \frac{V}{V_0} T^3 = \frac{\rho_0}{\rho} T^3$$

аңлатпасына ийе боламыз. Буннан

$$T_0 = T \sqrt[3]{\rho_0/\rho}$$

формуласын аламыз. ρ менен ρ_0 шамаларының мәніслерін қойып

$$T_0 = 10^{-3} \cdot T = 3 \text{ K}$$

екенлігіне ийе боламыз.

Усы ўақытларға шекем кеңейіуші Әлемдегі нурланыў тап усындай шамаға шекем төменлеген.

2-1-4. Квантлық оптика

Планк пенен Эйнштейннің квантлық теорияларының тийкарғы талапларына сәйкес нурланыў, соның ишинде жақтылық та корпускулалық қасийетлерге ийе болады. Демек белгили бир шараятларда бул қасийетлер оптикалық экспериментлерде бақланыўы керек.

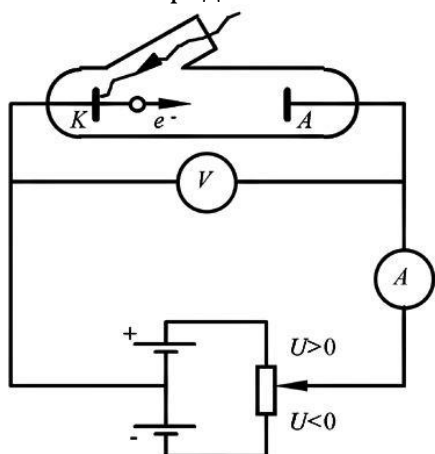
Оптикалық қубылыслардың бир қатар классын түсиндириў ушын нурланыў энергиясының квантлары хәм оларды алып жүриўши фотонлар түсиниги керек болады. Фотонлар түсиниги қолланылатуғын оптикалық қубылыслардың классын квантлық оптикасы деп атайды. Бундай қубылыслар тийкарынан нурланыўдың затлар менен тәсир етисиўи менен байланысly. Бундай тәсир етисиў хәққында гәп еткенимизде затлардың бөлекшелери менен нурланыў бөлекшелериниң (фотонлардың) тәсирлесиўин нәзерде тутыў керек. Квантлық оптиканың усындай еки қубылысын қарап өтемиз

Фотозэффект. Сыртқы фотозэффект деп сыртқы нурланыўдың тәсиринде затлардан электронлардың ушып шығыўына айтамыз. Ең дәслеп фотозэффект 1887-жылы Г.Герц тәрепинен ашылды. Ол еки металл шарик арасындағы газ разрядының пайда болыўын изертледи хәм изертлеў барысында шариклердиң биреўин ультрафиолет нурлар менен нурландырғанда еки шарик арасындағы ушқынлы разрядтың әдеўир үлкен интенсивлик пенен пайда болатуғынлығын тапты. Нурланыўдың тәсиринде металдан ушып шығатуғын бөлекшелердиң салыстырмалы зарядын өлшегенде олардың электронлар екенлиги мәлим болды.

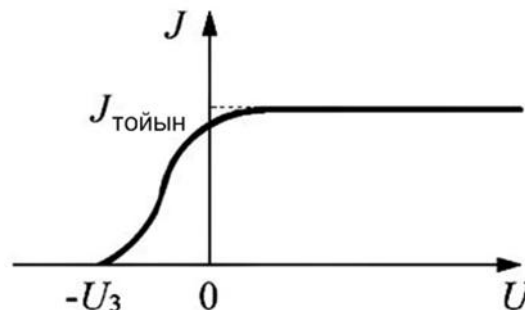
Нурланыўдың тәсиринде электронлардың ушып шығыўы барлық затларда да бақланатуғын болса да фотозэффектти көбинесе металлар менен байланыстырады. Металларда атомлардан "еркин" болған электронлар бар, бул электронлар металдың бетине жақын орынларда базы бир энергетикалық барьер тәрепинен услап турылады деп есапланады. Металдан ушып шыққанда сол барьер арқалы өтиў ушын электрон шығыў жумысын орынлайды хәм буның ушын өзиниң кинетикалық энергиясының бир бөлегин жумсайды. Металлардан электронлардың шығыўы ушын исленетуғын жумыс A ның муғдары бир неше электрон-вольтке тең.

Сыртқы фотозэффектти 1888-жылы А.Г.Столетов толығырақ изертледи. Ол схемасы 1.12-сүүретте көрсетилгендей еки электродлы вакуумлы лампа түриндеги фотоэлементти пайдаланды. Фотоэлементтеги K катодынан көзге көринетуғын жақтылық ямаса ультрафиолет нурлар менен жақтыландырғанда электронлар ушып шығады. Бундай электронларды фотоэлектронлар деп атайды. Катодтан

ушып шыққан электронлар А анодына келип жетип шынжыр арқалы электр тоғының өтиінін тәміинлейди. Бул тоқтың шамасы гальванометр ямаса миллиамперметр жәрдеминде өлшенеди. Шынжырға тоқ көзін тутастырыудың арнаұлы схемасы фотоэлементке түсірилген кернеудің полярлығын өзгертиўге мүмкиншилик береді.



1.12-сүүрет. А.Г.Столетов пайдаланған фотоэлементтің схемасы.



1.13-сүүрет. А.Г.Столетов пайдаланған фотоэлементтің вольт-амперлик характеристикасы.

А.Г.Столетов пайдаланған фотоэлементтің келип түсиўши жақтылық ағысы өзгермейтуғын жағдайдағы вольт-амперлик характеристикасының (яғный фототоқтың шамасы J тың кернеу U дан ғәрезлиги) сапалық түри 1.13-сүүретте келтирилген.

Оң кернеу тезлетиўши электр майданына сәйкес келеди. Бундай майданда катодтан ушып шыққан электронлар жайласқан. Сонлықтан оң кернеулер областында катодтан шығарылған электронлардың барлығы анодқа жетеди хәм тойиыну тоғы болған $J_{\text{тоийын}}$ тоғын пайда етеди.

Тәжирийбелерде бақланатуғын киши оң кернеулердеги фототоқтың шамасының азмаз кемейиўи анод пенен катод арасындағы контактлы потенциаллар айырмасы менен байланысly. Биз фотоэффекттиң нызамлықларын үйрениў барысында контактлық потенциаллар айырмасын есапқа алмаймыз.

$U < 0$ болған кери кернеулерде катодтан ушып шыққан электронлар тормозлаўшы электр майданына тап болады. Бул майданды басып өтиў ушын ол базы бир муғдардағы кинетикалық энергияға ийе болыўы шәрт. Кинетикалық энергиясы киши болған электрон тормозлаўшы майдан арқалы өтип анодқа барып жете алмайды. Бундай электрон катодқа қайтып келеди хәм фототоқтың шамасына үлес қоса алмайды. Сонлықтан кери кернеулер областындағы фототоқтың әстелик пенен кемейиўи катодтан ушып шығып атырған электронлардың хәр қыйлы кинетикалық энергияларға ийе болатуғынлығын көрсетеди.

Кери кернеудің базы бир шамасында фототоқтың шамасы нолге тең болады. Кернеудің бул мәнисин U_i арқалы белгилеймиз хәм оны иркиўши потенциал деп атаймыз. Усы кернеўге сәйкес келиўши тормозлаўшы (иркиўши) электр майданы катодтан ушып шыққан электронлардың барлығын иркеди. Бундай электронлардың ишине кинетикалық энергиясы максимал E_m болған электронлар да киреди.

Иркиўши потенциалдың мәнисин өлшеп

$$E_{\text{ж}} = \frac{1}{2} m_0 v_m^2 = h\nu_{\text{ж}} \quad (2.1.54)$$

аңлатпасы жәрдеминде фотоэлектронлардың максималлық энергиясын ямаса максималлық тезлиги болған v_m шамасын анықтаймыз.

Эксперименттерде фотоэффекттиң төмендегидей тийкарығы нызамлықтары табылды:

1. Белгили бир узынлықтағы монохроматлық жақтылық ушын тойыныў фототоғының шамасы катодқа келип түсиўши жақтылық ағысына пропорционал

2. Фотоэлектронлардың максималлық кинетикалық энергиясының шамасы жақтылық ағысының шамасына байланыссы емес, ал нурланыўдың жиийилигинен ғарезли.

3. Катодтың ҳар бир материалы ушын шегаралық жиийилик $\nu_{\text{ш}}$ бар болып, жиийилиги бул жиийиликтен кем болған нурланыў ($\nu < \nu_{\text{ш}}$) фотоэффектти пайда етпейди. Бул шегаралық жиийиликти фотоэффекттиң қызыл шегарасының жиийилиги деп атайды. Толқын узынлығы шкаласында бул жиийиликке қызыл шегараның толқын узынлығы $\lambda_{\text{ш}}$ сәйкес келеди. Берилген металл ушын толқын узынлығы тек $\lambda < \lambda_{\text{ш}}$ теңсизлигин қанаатландыратуғын ғана узынлықтағы нурланыў фотоэффектти жүзеге келтиреді.

Фотоэффекттиң жоқарыда келтирилген нызамлықларын классикалық физика көз-қараслары тәрәпинен түсиндириўге умтылыўлар экспериментте алынған нәтийжелер менен қарама-қарсы болған жуўмақларды берди. Ҳақыйқатында да классикалық физика бойынша фотоэлектронлардың максималлық кинетикалық энергиясы катодқа келип түсиўши жақтылықтың ағысына пропорционал болыўы керек. Ал эксперименттер болса максималлық кинетикалық энергияның жақтылықтың ағысына емес, ал жиийилигине байланыссы екенлигин көрсетеди. Сонлықтан фотоэффекттиң қызыл шегарасының болыўы толқынлық теорияның болжаўларына қарама-қарсы келеди.

Фотоэффектти үйрениў бойынша өткерилген эксперименттердің нәтийжелерин түсиндириў ушын 1905-жылы А.Эйнштейн энергия квантын алып жүриўши нурланыў бөлекшелери болған фотонлар концепциясы усынды. Усындай теорияның жәрдеминде металл менен нурланыўдың тәсирлесіўин фотонның металдағы еркин электрон менен серпимли емес тәсирлесіўи сыпатында қарады ҳәм фотоэффекттиң нызамлықларын аңсат түсиндирди. Ҳақыйқатында да бундай процессте металдағы еркин электрон барлық энергияны фотоннан алады. Ал фотонның энергиясы болса жиийиликке туўры пропорционал. Металдан жулып алынатуғын электронлардың саны ҳәм соған байланыссы болған тойыныў фототоғының мәниси металдың бетине келип түсиўши фотонлардың санына байланыссы. Фотонлардың саны болса нурланыў энергиясының ағысынан анықланады.

Егер усындай моделде электронның металдың ишинде металдың бетине қарай қозғалыўы барысында энергиясын жоғалтатуғынлығын есапқа алмасақ, онда энергияның сақланыў нызамы

$$h\nu - A = E_{\text{ж}} \quad (2.1.55)$$

аңлатпасын жазыўға мүмкиншилик береді. Бул жерде $E_m = mv^2/2$ арқалы фотоэлектронлардың максималлық кинетикалық энергиясы белгиленген.

Бул теңлемеден фотоэффекттиң екінші хәм үшінші нызамлары бирден келип шығады. Ҳақыйқатында да (2.1.55)-теңлемеден фотоэлектронлардың максималлық энергиясының металдың бетине келип түсіуші нурлардың жийилигине байланысly екенлиги көринип тур. Соның менен бирге $h\nu < A$ болса фотоэффект бақланбайды. Буннан фотоэффекттиң қызыл шегарасы ушын толқын узынлығы менен жийиликтің мәнисин есаплаўға мүмкиншилик беретуғын әпиўайы формулаларды аламыз

$$\nu_k = A/h \text{ хәм } \lambda_k = hc/A. \quad (2.1.56)$$

Солай етип нурланыўдың квантлық теориясы фотоэффектти түсиндириўде табысқа ериседи екен. Фотоэффектти квантлық түсиндириўде еркин электронның фотонды жута алмайтуғынлығы ҳаққындағы жуўмақ гүман туўдырыўы мүмкин (2.1.7-мысалды қараңыз). Ҳақыйқатында да еркин электрон фотонды жута алмайды. Бундай процесстиң жүриўин энергия менен импульстиң сақланыў нызамлары қадаған етеди. Бирақ электронның кристалдың атомлары менен тәсир ететуғынлығын есапқа алсақ бундай жағдайдан аңсат шығыўдың мүмкиншилиги пайда болады. Сонлықтан электрон тәрәпинен фотон жутылғанда фотонның импульсиниң бир бөлеги металдың пәнжересине бериледи.

Фотоэффекттиң әҳмийетли санлық характеристикасы ретинде квантлық шығыў γ ти көрсетиў мүмкин. Бул шама металға келип түсиўши бир фотонның неше электронды ушырып шығаратуғынлығын билдиреди. Көпшилик металлар ушын қызыл шегара қасында квантлық шығыўдың мәниси 10^{-4} электрон/фотон шамасын қурайды. Квантлық шығыўдың мәнисиниң киши екенлиги мына жағдайларға байланысly: металды таслап шығатуғын электрон өзиниң фотоннан алған энергиясын сақлаўы керек. Сонлықтан бундай электрон металдың бетинен 0,1 мкм ден үлкен емес тереңликлерде жайласқан болыўы керек. Усының менен бир катарда металдың бети нурларды күшли шағылыстырады. Фотонлардың энергиясының мәнисиниң өсиўи менен (яғный фотонлардың жийилигиниң өсиўи менен) квантлық шығыўдың мәниси де үлкейеди хәм энергиясы шама менен 1 электрон-вольт болған фотонлар ушын $0,01 \div 0,05$ электрон/фотон шамасына жетеди. Рентген нурлары ушын (рентген фотонларының энергиясының шамасы 10^3 эВ тың әтирапында) бетке келип түсиўши ҳәр бир он фотонға металдан ушып шығыўшы бир электрон сәйкес келеди.

Комптон эффекти. Фотонлардың энергиясы үлкен болғанда (мысалы өткир рентген нурлары ушын шама менен 0,1 МэВ ти қурайды) заттың электронлары тәрәпинен фотонның жутылыўы процессиниң итималлығы кемейеди. Бул жағдайда электромагнит нурланыў затлар менен тәсирлескенде усы нурлардың бағытының өзгериўи менен шашыраўы жүз береди.

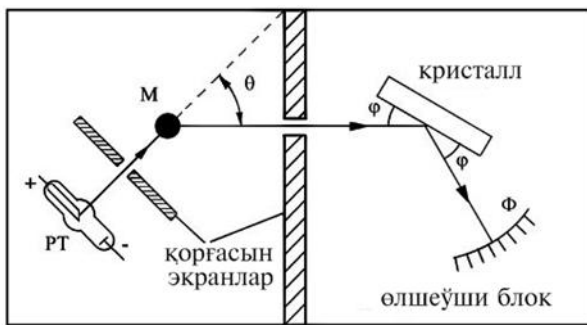
1923-жылы А.Комптон рентген нурларының парафиндеги шашыраўын изертледі хәм бул изертлеўлердиң барысында шашыраған толқынлардың толқын узынлығы λ' тың парафинге келип түскен толқынның узынлығы λ ден үлкен екенлигин тапты. Толқынның затларда шашыраўының нәтийжесинде толқын узынлығының өзгериўи кейинирек Комптон эффекти атамасын алды. Квантлық оптиканың бул эффектин ашқаны хәм түсиндиргени ушын А.Комптонға 1927-жылы Нобель сыйлығы берилди.

Комптон пайдаланған эксперименталлық дүзилистиниң схема түриндеги сүўрети 1.14-сүўретте келтирилген. РТ рентген трубкасы айланыўшы платформаға бекитилген. Бул нышана М ге келип түсиўши θ мүйешиниң мәнисин өзгертиўге мүмкиншилик береді.

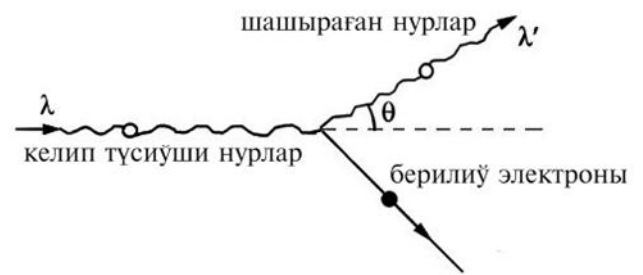
Шашыраған толқынның толқын ұзындығы ұсы толқынның кристалдағы дифракциясының жәрдемінде анықланды. Рентген нурларының кристаллардағы дифракциясы теориясы бойынша Вульф-Брэгг шәрти деп аталатуғын

$$2d \sin \varphi = k\lambda, \quad k = 1, 2, \dots, \quad (2.1.58)$$

шәрти орынланғанда (бул аңлатпада d арқалы кристаллографиялық тегисликлер арасындағы қашықтық, φ арқалы рентген нурларының сол кристаллографиялық тегисликлерге түсіу мүйеши, λ' арқалы M нышанасы тәрәпинен шашыратылған рентген толқынларының толқын ұзындығы белгиленген) келип түскен шашыраған рентген толқынының кристалдағы шағылысыуы (дифракциясы) орын алады. Сонлықтан d , φ , k шамаларын анық билген жағдайда M нышанасында шашыраған толқынның толқын ұзындығы болған λ' шамасын анықлау мүмкин. (2.1.58)-формула бойынша φ мүйеши менен λ' толқын ұзындығы арасындағы сәйкеслик тийкарында фотопенкада алынатуғын дақтың мүйешлик координатасы бойынша шашыраған толқынның толқын ұзындығын есаплау мүмкиншилиги тууылады. Комптонның дәслепки тәжирийбелерінде фотопенканың орнына қозғалыуы ионизациялық камера пайдаланылған.



1.14-сұррет. А.Комптон пайдаланған эксперименталлық дүзилістің схема түріндегі сұррети.



1.15-сұррет. Нурланыудың фотонлық теориясы Комптон эффектін фотонның электронлардағы серпимли соқлығысыуының нәтийжеси деп түсіндиреди

Комптон өз экспериментлерінде шашыраған рентген толқынларының толқын ұзындығының нышанаға келип түскен рентген толқынларының толқын ұзындығынан үлкен екенлигин анықлады. Толқын ұзындығының өзгерислери нышананың материалынан ғәрезсиз хәм шашырау мүйеши θ ға байланыслы болып шықты. Тәжирийбелерде Комптон

$$\Delta\lambda = \lambda' - \lambda = \Lambda_K (1 - \cos\theta) \quad (2.1.59)$$

теңлигиниң орын алатуғынлығын анықлады. Бул формуланы Комптон формуласы деп атайды. Турықлы шама болған Λ_K шамасының $\Lambda_K = 2,426 \cdot 10^{-12}$ м мәнисин Комптонның өзи экспериментлерінде анықлады.

Шашырағанда нурлардың толқын ұзындығының үлкейиуін электромагнит толқынларының толқынлық теориясы тийкарында түсіндириу мүмкин емес. Дж.Томсон классикалық теорияда шашырауды келип түсиуши толқынның электр майданының тәсирінде электрон мәжбүрий тербелетуғын хәм ұсының салдарынан

сол электронның өзі антенна сыяқлы электромагнит толқынларын тарқататуғылығын көрсетті. Соның менен бірге шашыраған толқынның жийилигі менен келип түскен толқынның жийилигі бірдей болады.

Солай етип Комптон эффекти квантлық оптиканың қубылыстары қатарына кiredи екен. Нурланыудың фотонлық теориясы болса бул эффектти фотонның затлардың электронларындағы серпимли соқлығысыуының нәтийжеси деп түсіндиреди (2.1.15-сүўрет). Бул жағдайда (2.1.59)-Комптон формуласы фотон менен электронның серпимли соқлығысыў процессиндеги энергия менен импульстиң сақланыў ызыамларының нәтийжеси болып табылады.

Ҳақыйқатында да еркин электрон дәслеп тынышлықта турған есаплаў системасында соқлығысыўдан кейинги электронның мүмкин болған тезликлерин есапқа алған ҳалда энергияның сақланыў ызыамын былайынша жаза аламыз

$$\frac{hc}{\lambda} + mc^2 = \frac{hc}{\lambda'} + \frac{mc^2}{\sqrt{1-v^2/c^2}} \quad (2.1.60)$$

Бул формулада mc^2 арқалы тынышлықта турған электронның энергиясы, ал $\frac{mc^2}{\sqrt{1-v^2/c^2}}$ арқалы соқлығысқаннан кейин v тезлигин алған электронның энергиясы белгиленген. Бул формуланы

$$\frac{hc}{\lambda} + mc^2 = \frac{hc}{\lambda'} + \gamma mc^2$$

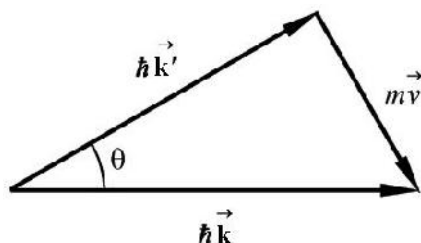
түринде де жаза аламыз. Бул жерде $\gamma = \frac{1}{\sqrt{1-v^2/c^2}}$.

Энергияның сақланыў ызыамы болған (2.1.60)-аңлатпа Комптон эффекттин сапалық жақтан түсіндире алатуғынлығын атап өтемиз. Себеби $mc^2 < \frac{mc^2}{\sqrt{1-v^2/c^2}}$. Сонлықтан $\lambda' > \lambda$.

Фотон электрон менен серпимли түрде соқлығысқанда импульстиң сақланыў ызыамы да орынланады. Бул ызыам (2.1.44)-аңлатпаны есапқа алған ҳалда

$$\hbar \vec{k} = \hbar \vec{k}' + m\vec{v} \quad (2.1.61)$$

түринде жазылады. Бул жерде $k = 2\pi/\lambda$, $k' = 2\pi/\lambda'$, θ болса k ҳәм k' векторлары арасындағы мүйеш (оны шашыраў мүйеши деп атаймыз).



1.16-сүўрет.
Комптон эффектнде орын алатуғын
импульстиң сақланыў ызыамының
векторлық диаграммасы.

1.16-сүўретте келтирилген векторлық диаграмманың тийкарында импульслер үш мүйешлигинен

$$(m\vec{v})^2 = \hbar^2 k^2 + \hbar^2 k'^2 - 2\hbar^2 k k' \cos\theta$$

теңлигиниң орын алатуғынлығын табамыз ямаса

$$(mv)^2 = \left(\frac{h}{\lambda}\right)^2 + \left(\frac{h}{\lambda'}\right)^2 - 2 \frac{h^2}{\lambda\lambda'} \cos\theta \quad (2.1.62)$$

(2.1.60) ты

$$\frac{mc}{\sqrt{1-v^2/c^2}} = mc + \frac{h}{\lambda} - \frac{h}{\lambda'}$$

түріне келтиріп хәм бул теңликти квадратқа көтеріп

$$\left(\frac{mc}{\sqrt{1-v^2/c^2}}\right)^2 = (mc)^2 + 2mch\left(\frac{1}{\lambda} - \frac{1}{\lambda'}\right) + \left(\frac{h}{\lambda}\right)^2 - \frac{2h^2}{\lambda\lambda'} + \left(\frac{h}{\lambda'}\right)^2 \quad (2.1.63)$$

аңлатпасына ийе боламыз. $\left(\frac{mc}{\sqrt{1-v^2/c^2}}\right)^2 - (mc)^2 = (mv)^2$ екенлигин есапқа алсақ (2.1.63) ти былайынша жазамыз

$$(mv)^2 = 2mch\left(\frac{1}{\lambda} - \frac{1}{\lambda'}\right) + \left(\frac{h}{\lambda}\right)^2 - \frac{2h^2}{\lambda\lambda'} + \left(\frac{h}{\lambda'}\right)^2. \quad (2.1.64)$$

(2.1.62)- менен (2.1.64)-аңлатпалардан

$$2mch\left(\frac{1}{\lambda} - \frac{1}{\lambda'}\right) = \frac{2h^2}{\lambda\lambda'} (1 - \cos\theta) \quad (2.1.65)$$

аңлатпасына ийе боламыз. Ал (2.1.65)-аңлатпадан Комптон формуласын аламыз

$$\Delta\lambda = \lambda' - \lambda = \frac{h}{mc} (1 - \cos\theta) = \Lambda_K (1 - \cos\theta). \quad (2.1.66)$$

$\Lambda_K = \frac{h}{mc}$ шамасын массасы m болған бөлекшениң комптонлық толқын ұзындығы деп атайды. Биз қарап атырған жағдайдағы (фотонның электрондағы шашырауы) $\Lambda_K = 2,42 \cdot 10^{-12}$ м шамасын электронның комптонлық толқын ұзындығы деп атаймыз.

(2.1.66)-аңлатпа менен (2.1.59)-аңлпаларды бір бири менен салыстырыў нурланыўдың квантлық теорияның нәтийжелери менен эксперименттиң нәтийжелериниң бир бирине дәл сәйкес келетуғынлығын көрсетеди. Бул формулалардан толқын ұзындығының максималлық өзгерисиниң $\theta = 180^\circ$ болған жағдайда орын алатуғынлығы келип шығады. Оның мәниси $\Delta\lambda_m = 2\Lambda_K$. Бирақ Λ_K шамасының киши болатуғынлығының себебинен толқын ұзындығының еркин электрондағы шашырауында өзгерисин әмелде тек қысқа толқынлы рентген ямаса гамма толқынларында бақлау мүмкин деген жуўмақ шығарамыз.

Затлардағы электронлардың басым көпшилиги еркин емес, ал атомлар менен байланысқан екенлиги атап өтиўимиз шәрт. Егер нурланыў квантының энергиясы электронның байланыс энергиясынан үлкен болса, онда бундай электрондағы шашырау еркин электрондағы шашыраудай болады. Бирақ атом менен байланысқан

электронда шашырағанда жағдайда фотон атомның тутасы менен энергия алмасады. Бундай шашырауда формуладағы электронның массасының орнына атомның массасын қойыу керек болады. Бирақ бул жағдайда толқын ұзындығының өзгеріуі жүдә киши болып, бундай киши шаманы экспериментте бақлау мүмкиншилиги дерлик жоғалады.

1.7-мәселе. Фотон еркин электрон менен серпимли емес соқлығысқанда электронның фотонды жутыуы сақланыу нызамлары тәрепинен қадаған етилген процесс екенлигин көрсетиңиз.

Шешими: Фотон менен соқлығыспастан бурын электрон тынышлықта турған есаплау системасында серпимли емес соқлығысыу орын алатуғын жағдайлар ушын энергияның сақланыу нызамы былайынша жазылады

$$mc^2 + h\nu = \gamma mc^2 \text{ ямаса } E_0 + h\nu = E.$$

Бул жерде E_0 арқалы тынышлықта турған электронның энергиясы, ал E арқалы фотон менен серпимли емес соқлығысқан электронның энергиясы белгиленген. Салыстырмалық теориясы бойынша $E = c\sqrt{p^2 + m^2c^2}$. Алынған аңлатпаларда p арқалы фотонды жутқаннан кейин электрон алған импульс белгиленген.

Биз қарап атырған процесс ушын импульстиң сақланыу нызамынан

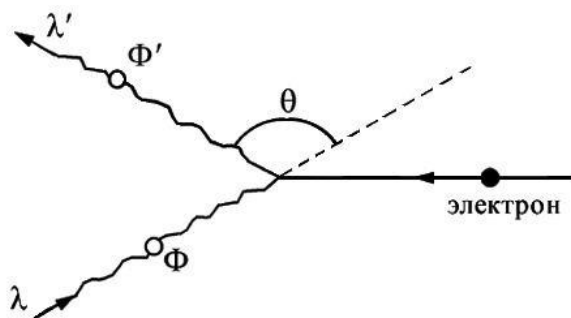
$$p = \frac{h\nu}{c}$$

формуласын аламыз. Алынған формуланы квадратқа көтерип

$$2mc^2h\nu + (h\nu)^2 = c^2p^2 \text{ хәм } c^2p^2 = (h\nu)^2$$

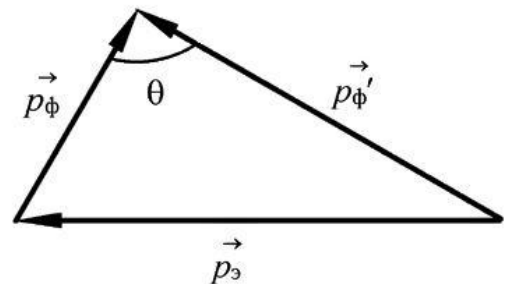
аңлатпаларына ийе боламыз. $m \neq 0$ теңсизлиги орынланатуғын жағдайлар ушын бул теңликтиң орынланыуы мүмкин емес. Буннан еркин электронның фотонды жута алмайтуғынлығы келип шығады. Бундай процесс тек үшінши бөлекшениң қатнасыуында ғана орын алыуы мүмкин. Бундай жағдайда үшінши бөлекше фотонның энергиясы менен импульсиниң бир бөлегин алыуы шәрт.

1.8-мәселе. Релятивистлик электронлар дәстесинде шашыраған толқынның толқын ұзындығының фотон менен электрон серпимли соқлығысқанда электрон толық тоқтайтуғын жағдайда қанша шамаға өзгеретуғынлығын есаплаңыз. (2.1.17-сүүрет).



1.17-сүүрет.

1.8-мәселени шешиу ушын арналған



1.18-сүүрет.

1.9-мәселени шешиу ушын арналған

схема.

импульслердің векторлық диаграммасы.

Шешими: Соқлығысқаннан кейін электрон тынышлықта туратуғын есаплау системасындағы энергияның сақланыуы нызамы былайынша жазылады

$$\frac{mc^2}{\sqrt{1-v^2/c^2}} + \frac{hc}{\lambda} = mc^2 + \frac{hc}{\lambda'}$$

Электрон менен келип түсіуіші фотонның импульслеринің қосындысы Φ шашыраған фотонның импульси болған Φ' шамасына тең болуы керек. Сонлықтан 1.18-сұретте келтирилген импульслердің векторлық диаграммасынан

$$P^2 = P_0^2 + P_1^2 - 2P_0P_1\cos\theta$$

ямаса

$$(h\nu)^2 = \left(\frac{h^2}{\lambda}\right)^2 + \left(\frac{h^2}{\lambda'}\right)^2 - 2\frac{h^2}{\lambda\lambda'}\cos\theta$$

аңлатпаларын аламыз. Бул аңлатпаларды дыққат пенен талласақ λ шамасын ψ' шамасына алмастырғанда (2.1.60)- хәм (2.1.62)-аңлатпаларға өтетуғынлығына көз жеткеріуіге болады. Сонлықтан таллауды қайталамай шашыраған толқынның толқын узынлығының өзгериси ушын төмендеги ең ақырғы формуланы

$$\lambda' - \lambda = \Lambda_K(1 - \cos\theta)$$

түрінде жазамыз. Бул формуладан электронда шашыраған фотонның толқын узынлығының үлкейгенлигин сезиуіге болады. Себеби фотон релятивистлик электрон менен соқлығысқанда электроннан қосымша энергия алады.

Бундай эффектти Комптонның кери эффекти деп атаймыз. Комптонның кери эффекти бойынша космослық объектлердің рентген нурланыуын түсиндириуіге болады.

2-1-5. Жақтылықтың корпускулалық-толқынлық дуализми

Жақтылықтың физикалық тәбияты қандай? деген сорауға жууап бериу қоршаған тәбиятты дұрыс түсиниу ушын да, физика илиминің буннан былай рауажланыуы ушын да оғада уллы әхмийетке ийе

XIX әсирдің ақырында жақтылықтың тәбияты ҳаққындағы мәселе толық шешилди хәм ол кеңисликте тарқалатуғын электромагнит толқынлары деп есапланды. Усының нәтийжесинде жақтылықтың толқынлық теориясы үлкен пәтлер менен рауажланды. Бул теория жақтылықтың интерференциясы менен дифракциясы, жақтылықтың поляризациясы сыяқлы қубылысларды табыс пенен түсиндирди.

Бирақ XX әсирдің басында-ақ жақтылықтың затлар менен тәсир етисиуін изертлеулердің барысында фотоэффект (фотоэлектрлик эффект), Комптон эффекти, фотохимиялық реакциялар сыяқлы қубылыслар табылды. Бул қубылысларды жақтылықтың толқынлық теориясы түсиндире алмады. Бул теория тийкарында келтирилип шығарылған болжаулар квантлық оптиканың

эксперименттерде анықланған ызығарлыларына пүткіллей қайшы келді. Бул кубылыстарды түсіндіріу үшін А.Эйнштейн 1905-жылы жақтылықтың корпускулалық (бөлекшелік) теориясын ұсынды. Бул теория Ньютонның жақтылық корпускулалары хақындағы идеяларын раўажландырып жақтылықты фотонлар деп аталатуғын көп санлы бөлекшелердің ағысы деп қарады. Жақтылықтың фотонлық теориясы квантлық оптиканың кубылыстарын сапалық жақтан да, санлық жақтан да жеңіл түсіндіре алды.

Солай етип бир объекте электромагнит толқынларды хәм фотонларды бирлестіріп биз жақтылықтың тәбияты хақындағы сораўға жуўап бере аламыз деген пикир пайда болды. Жақтылық дегенимиз толқын да, бөлекше де болып табылады. Бирақ бул жуўыпты тереңірек үйреніу толқынлар менен бөлекшелерди әпиўайы механикалық бирлестіріудің дурыс емес екенлігін көрсетеді. Себеби электромагнит толқынлары хәм бөлекшелердің ағымы түсиниклери бир бирин бийкарлайды.

Жақтылық толқыны дегенимиз кеңіслікте тарқалған локализацияланбаған электромагнит толқыны болып табылады. Толқынның электромагнит энергиясының көлемлік тығызлығы оның амплитудасының квадратына туўры пропорционал хәм бул тығызлықтың шамасы қәлеген киши шамаға өзгере алады (яғный үзліксиз өзгереді).

Фотон болса кеңісліктің базы бир ноқаты қасында локалласқан хәм ўақыттың өтіуі менен кеңіслікте қозғалады. Бундай моделде жақтылық энергиясы үзліксиз түрде өзгермейді. Жақтылық энергиясының өзгерісі дискрет түрде болып, барлық ўақытта энергияның минималлық порциясынан (квантынан) пүтін сан еселенген мәніске ийе болады. Ал энергияның ең минималлық порциясына (квантына) жеке фотон ийе болады.

Бир материаллық объекте биринің болыуын екіншісі бийкарлайтуғын қәсіетті қалайынша қарама-қарсылықсыз бирлестіріу мүмкін? Бул сораўға жуўап уллы философлардың мийнетлерінде бар. Олар тәбияттың материаллық объектлери ишки қарама-қарсылықларға ийе, олар бир бирине салыстырғанда қарама-қарсы болған сапаларды бирлестіреді деген жуўмаққа келді. Мысалы қарама-қарсылықлардың бирлігі хәм гүреси идеясы Гегель диалектикасының тийкары мазмұнын қурайды.

Тап ұсындай диалектикалық жуўапты хәзіргі заман физикасы жақтылықтың тәбияты үшін береді. Жақтылық дегенимиз материаллық объект болып, ол толқынлық қәсіетке де, корпускулалық қәсіетлерге де ийе. Хәр қыйлы физикалық кубылыстарда бул қәсіеттер хәр қыйлы дәрежеде жүзеге келеді. Базы бир шараятларда, мысалы бир қатар оптикалық кубылыстарда жақтылық өзінің толқынлық қәсіетлерін көрсетеді. Бундай жағдайларда биз жақтылықты электромагнит толқынлары деп қараймыз. Басқа оптикалық кубылыстарда жақтылық өзінің корпускулалық қәсіетлерін көрсетеді. Бундай жағдайда жақтылықты фотонлардың ағымы деп қараўымызға туўры келеді. Базы бир жағдайларда жақтылықтың толқынлық қәсіетін де, корпускулалық қәсіетін де көріу мүмкін. Мысалы Комптон тәжірибесінде (2.1.14-сүўретке қараңыз) нышанадағы шашыраудың бирінші этапында жақтылық өзін фотонлардың ағысы сыпатында көрсетеді, бирақ өлшеу блогында бул нурланыу электромагнит толқын сыпатында кристалда дифракцияға ұшырайды.

Жақтылықтың толқынлық хәм корпускулалық теориялары тийкарында сапалық жақтан да, санлық жақтан да түсіндіріу мүмкін бир қатар оптикалық кубылыстар да бар. Мысалы еки теория да жақтылықтың затларға түсіретуғын басымын есаплағанда бирдей аңлатпалардың алыныуына алып келеді. Бул жағдай

толқынлық моделде де, корпускулалық моделде де жақтылықта энергия, импульс сыяқлы материаллық характеристикалардың бар екенлиги менен байланысly.

Солай етип жақтылықтың тәбияты хаққындағы көз-қараслар мәниси бойынша тереңлеген сайын жақтылықтың қарама-қарсылықлы тәбиятқа ийе екенлигине көз жеткеремиз. Бундай жағдайды жақтылықтың корпускулалық-толқынлық дуализми деп атаймыз. Базы бир объектлер менен жақтылық толқындай болып тәсир етиседи, ал басқа бир объектлер менен тәсир етискенде жақтылықтың толқын емес, ал материаллық бөлекшелердин ағысы сыпатында тәсир етиседи. Д.Джинстың жазыуы бойынша "Сол еки картинаның (корпускулалық хәм толқынлық картинаның) хеш биреуи де жақтылықтың тәбияты хаққындағы толық шынлықты айта алмайды". Хәтте еки картина бир бирине қарама-қарсы болса да, бир картина екіншисин толықтырады. Уллы физик Н.Бор былай жазған еди: "Қарама-қарсылықлар қарсылық емес, ал бир бирин толықтырыу"

Жақтылықтың толқынлық хәм корпускулалық теориялары арасындағы тартыс тәреплердин биреуиниң жеңисине де, жеңилиуине де алып келген жоқ. Бул тартыстың барысында бул теорияларды бирлестиретуғын жақтылықтың тәбияты хаққындағы жаңа түсиниклер пайда болды.

Физика илиминде жақтылық толқынлық қәсийетке де, корпускулалық қәсийетке де ийе биринши объект болып табылады. Биз төменде физиканың раўажланыуының барысында бундай объектлер классының әдеуир кеңейгенлигин көремиз.

Бул параграфтың ақырында биз фотонның қозғалысын толқынлық электромагнит майданы менен анықланатуғын статистикалық итималлық нызамларына бағынады деп есапласақ толқынлар менен бөлекшелерди буннан да тығыз байланыстыра алатуғынлығымызды атап өтемиз. Хақыйқатында да электромагнит толқынының амплитудасының квадраты, яғный интенсивлиги кеңисликтің хәр бир ноқатында фотонды, яғный жақтылық ағысының усы ноқатындағы фотонлардың концентрациясын табыудың итималлығын береді деп есаплаймыз. Бундай жағдайда еки саңлақ арқалы өтиуши жақтылықтың интерференциясын жақтылықтың корпускулалық тоериясы көз-қарасы менен де түсиндириу мүмкиншилиги тууылады. Экранға бир жақтылық нуры түскен жағдайда экранның хәр қыйлы ноқатларына фотонның келип түсиу итималлығы бирдей мәниске ийе хәм сонлықтан экранның бирдей болып жақтыланыуын бақлаймыз. Жақтылық еки саңлақтан өткенде фотонның экранның хәр қыйлы ноқатларға барып түсиуиниң итималлығы өзгереді. Интерференциялық максимумлар пайда болатуғын орынларда бул итималлықтың мәниси кескин түрде өседі, ал интерференциялық минимумларда – кескин кемейеді. Усындай жоллар менен кеңисликтеги фотонлардың ағысы өзгерислерге ушырайды. Бул өзгерислерди толқынлық майдан басқарады.

Биз материаллық объектлердин корпускулалық хәм толқынлық қәсийетлерин бирлестиріу усылын таптық. Тап усындай усыл, яғный толқынның жәрдемінде бөлекшелердин қозғалысын тәриплеу усылы квантлық механиканың тийкарын қурайды. Ал квантлық механиканың тийкарын тәриплеуді биз келеси бапларда баслаймыз.

2-2-1. Де Бройль гипотезасы

Бөлекшелердің толқынлық қасиеті. Материяның корпускулалық-толқынлық дуализми. Оптикалық қубылыстардағы корпускулалық-толқынлық дуализмнің ашылуы физиканың бұнан былай рауажланыуы үшін ұллы әһмийетке ийе болды. Физикалық объект болған электромагнит нурланыудың екилік корпускулалық-толқынлық тәбияты анықланды. Бұндай екилік тек оптикалық қубылыстарға тән болуы мүмкін емес деген пикирдің пайда болуы тәбийий

1924-жылы француз физиги Луи де Бройль батыл гипотезаны ұсынды. Бұл гипотеза бойынша корпускулалық-толқынлық дуализм универсаллық характерге ийе. Де Бройль гипотезасы бойынша хәр бир материаллық бөлекше толқынлық қасиетке ийе. Оның үстине бөлекшенің корпускулалық хәм толқынлық характеристикаларын байланыстыратуғын аңлатпалар (қатнастар) электромагнит нурланыуындағы қатнастар менен бирдей болады. Биз фотонның энергиясы E менен импульси p ның цикллық жийилик ω хәм толқын ұзынлығы λ менен

$$E = \hbar\omega, \quad p = \hbar k = \frac{2\pi\hbar}{\lambda}$$

аңлатпаларының жәрдемінде байланысқанлығын еске түсіріп өтеміз. Де Бройль гипотезасы бойынша энергиясы E , импульси p болған қозғалушы бөлекшеге жийилигі

$$\omega = \frac{E}{\hbar}, \quad (2.2.1)$$

ал толқын ұзынлығы

$$\lambda_B = \frac{h}{p} = \frac{2\pi\hbar}{p} \quad (2.2.2)$$

болған толқын сәйкес келеди. Жийилигі ω болған хәм x көшери бағытында тарқалатуғын тегис толқынды комплекс формада бере аламыз

$$\xi(x, t) = A \exp[-i(\omega t - kx)].$$

Бұл аңлатпада A арқалы толқынның амплитудасы, ал $k = \frac{2\pi}{\lambda}$ арқалы толқынлық сан белгіленген.

Де Бройль гипотезасы бойынша x көшери бағытында қозғалатуғын энергиясы E хәм импульси p шамасына тең еркин бөлекшеге

$$\Psi(x, t) = A \exp\left[-\frac{i}{\hbar}(Et - px)\right] \quad (2.2.3)$$

сол x көшери бағытында тарқалатуғын бөлекшенің толқынлық қасиетін тәріплейтуғын тегис толқын сәйкес келеди. Бұл толқында де Бройль толқыны деп атайды.

Бөлекшениң толқынлық хәм бөлекшелік қасиетлерин байланыстырыушы аңлатпалар

$$E = \hbar\omega, \quad \vec{p} = \hbar\vec{k} \quad (2.2.4)$$

түрине ийе. Бул аңлатпаларда \vec{p} арқалы бөлекшениң импульси, ал \vec{k} арқалы толқын векторы белгиленген. Бул аңлатпаларды де Бройль теңлемелери деп атаймыз.

Де Бройль толқынларының қасиетлери. Ең дәслеп де Бройль толқынларының материяның толқынлары екенлигин хәм бул толқынлардың тарқалыу процессинде әдеттеги толқынлық нызамлар бойынша шағылысыуының, сыныуының, интерференцияға хәм дифракцияға ушырауының мүмкин екенлигин атап өтемиз. Дәслеп де Бройль толқынының фазалық тезлиги болған v_ϕ шамасын табамыз. Турақлы фазаға ийе толқынның ноқатларының тарқалыу тезлигин фазалық тезлик деп атаймыз. Мейли бөлекше x көшери бағытында қозғалатуғын болсын. Бундай жағдайда (2.2.3) толқынының фазасының турақлы болыу шәрти

$$Et = px = \text{const}$$

түрінде жазылады. Бул аңлатпаны дифференциаллап

$$v_\phi = \frac{dx}{dt} = \frac{E}{p}$$

шамасына тең болатуғынлығына ийе боламыз.

$$E = \frac{mc^2}{\sqrt{1-v^2/c^2}} \quad \text{хәм} \quad p = \frac{mv}{\sqrt{1-v^2/c^2}}$$

теңликлери орынлы болғанлықтан де Бройль толқынының фазалық тезлиги ушын

$$v_\phi = \frac{c^2}{v} \quad (2.2.5)$$

аңлатпасын аламыз. $v < c^2$ болғанлықтан де Бройль толқынының фазалық тезлиги жақтылықтың вакуумдеги тезлигинен үлкен болып шығады. Бирақ бул жағдай жақтылықтың тезлигинен үлкен тезлик пенен қозғалыуды қадаған ететуғын салыстырмалық теориясының постулатларына қайшы келмейди. Салыстырмалық теориясы тәрепинен қойылатуғын шеклер тек масса ямаса энергияның көшиулері ушын орынлы. Толқынның фазалық тезлиги болса бул процесслердің биреуін де тәриплемейди. Сонлықтан фазалық тезликтің шамасына хеш қандай шек қойылмайды.

Енди де Бройль толқынларының $v_{\text{гр}}$ группалық тезлигин табамыз. Анықламасы бойынша

$$v_{\text{гр}} = \frac{d\omega}{dk}.$$

Бул аңлатпаны түрлендирип

$$v_{\text{гр}} = \frac{d(\hbar\omega)}{d(\hbar k)} = \frac{dE}{dp}$$

формуласын аламыз. Салыстырмалық теориясы бойынша бөлекше үшін E хәм p арасындағы байланысты [Л.Д.Ландау, Е.М.Лифшиц. Теория поля. Физматлит. Москва. 2001. 47-беттегі (9.6)-формула]

$$E^2 = p^2 c^2 + m^2 c^4$$

түрінде жазамыз. Биз жазып атырған аңлатпаларда m арқалы бөлекшениң массасы белгиленген. Бул аңлатпаны дифференциаллап

$$2EdE = 2pc^2 dp$$

ямаса

$$\frac{dE}{dp} = \frac{pc^2}{E}$$

аңлатпасына ийе боламыз. Солай етип

$$v_{\text{гр}} = \frac{d\omega}{dk} = \frac{pc^2}{E} = \frac{pc^2}{mc^2} = \frac{p}{m} = v$$

формуласын аламыз. Буннан де Бройль толқынының группалық тезлигиниң бөлекшениң тезлиги v ға тең болатуғынлығына көз жеткеремиз.

Де Бройль толқынларының узынлығын релятивистлик емес хәм релятивистлик бөлекшелер үшін есаплау. Де Бройль толқынының узынлығын λ_{db} арқалы белгилейик. Кинетикалық энергиясы E_k болған бөлекше үшін де Бройль толқынының узынлығы болған λ_{db} шамасын анықлайтуғын аңлатпаны табамыз. (2.2.2) ге сәйкес

$$\lambda_{db} = \frac{2\pi\hbar}{p}.$$

Бул аңлатпада p арқалы бөлекшениң импульси белгиленген. Релятивистлик емес бөлекшелер үшін $v \ll c$,

$$E_k = \frac{mv^2}{2} = \frac{p^2}{2m} \quad \text{хәм} \quad p = \sqrt{2mE_k}.$$

Сонлықтан

$$\lambda^{\text{p.e.}} = \frac{2\pi\hbar}{p} = \frac{2\pi\hbar}{\sqrt{2mE_k}}. \quad (2.2.6)$$

релятивистлик жағдайларда бөлекшениң тезлигиниң мәніси жақтылықтың вакуумдағы тезлигиниң шамасына жақын. Бул жағдайда импульс пенен кинетикалық энергия арасындағы байланыс

$$p = \frac{1}{c} \sqrt{E_k(E_k + 2mc^2)} = \sqrt{2mE_k} \sqrt{1 + \frac{E_k}{2mc^2}}$$

түрине ийе. Бул аңлатпаны (2.2.2) ге қойсақ релятивистлик жағдай үшін

$$\lambda^p = \frac{2\pi\hbar}{\sqrt{2mE_k} \sqrt{1 + \frac{E_k}{2mc^2}}} \quad (2.2.7)$$

формуласын аламыз.

Макро- хәм микрообъектлер ушын Де Бройль толқынының ұзынлығы. Де Бройль толқынының толқын ұзынлығының шамасын көз алдыға келтириў ушын U тезлендириўши потенциаллар айырмасы арқалы өткен электронның де Бройль толқынының ұзынлығын табамыз. Анықлық ушын электронды релятивистлик емес деп есаплаймыз. Бундай жағдайда (2.2.6)-аңлатпаға сәйкес

$$\lambda_{ab} = \frac{2\pi\hbar}{\sqrt{2mE_k}} = \frac{2\pi\hbar}{\sqrt{2meU}}. \quad (2.2.8)$$

(2.2.8) ге константалардың санлық мәнисин қойып

$$\lambda_{ab} = \sqrt{\frac{150,4}{U}} \cdot 10^{-10} \text{ м}$$

аңлатпасын аламыз. Солай етип тезлетиўши потенциаллар айырмасының шамасы онлаған вольттен бир неше киловольтке тең болғанда электронның де Бройль толқынының ұзынлығы $10^{-10} \text{ м} = 10^{-8} \text{ см} = 1 \text{ Å}$ шамасында болады екен. Бул шаманың физика илими ушын үлкен әҳмийетке ийе екенлигин ескертип өтеміз: атомлардың өлшемлери, қатты денелердеги атомлар хәм молекулалар арасындағы қашықлық шамасы жағынан 10^{-10} м этирапында болады.

Енди макроскопиялық, бирақ жеткиликли дәрежеде кишкене болған объект – массасы $m = 10^{-6} \text{ г}$, тезлиги шама менен 1 мм/сек болған шаң бөлекшесиниң де Бройль толқын ұзынлығын анықлаймыз.

(2.2.2)-аңлатпаны пайдаланып

$$\lambda_{ab} = \frac{2\pi\hbar}{mv} = \frac{6,6 \cdot 10^{-34}}{10^{-9} \cdot 10^{-3}} \text{ м} = 6,6 \cdot 10^{-22} \text{ м}$$

шамасын аламыз. Табылған толқын ұзынлығы оғада киши шама болып, оның үлкенлиги атом ядросының өлшемлеринен де әдеўир киши (атом ядросының диаметри шама менен 10^{-15} м).

Микро хәм макрообъектлер арасында принципаллық айырма жоқ. Усыған байланысly қандай шараятларда бөлекшениң қәсийетлеринде толқынлық қәсийет тийкарғы орынды ийелейди, ал қандай жағдайларда бөлекшелердиң қәсийетинде толқынлық қәсийет ҳеш қандай орын ийелемейди хәм толқынлық қәсийетти есапқа алмаўға болады деген сораў туўылады. Бул сораўға жуўап бериў ушын оптика менен аналогия келтиремиз (оптика менен уқсас мысал келтиремиз). Толқын ұзынлығы λ шамасы системаның өзиниң характерли өлшемлери болған L шамасы менен барабар болғанда нурлардың толқынлық қәсийетлериниң максимал түрде көринетуғынлығы белгили. Яғный $\lambda \sim L$ болыўы керек. Егер $\lambda \ll L$ теңсизлиги орынланса нурлардың толқынлық қәсийети сезилмейди хәм бундай жағдайларда геометриялық ямаса нур оптикасынан пайдаланыўға болады.

Механикалық хәм оптикалық қубылыслар арасындағы терең аналогияның бар болыўына байланысly классикалық Ньютон механикасы геометриялық оптикаға,

ал квантлық механикасы (оны толқын механикасы деп те атайды) болса толқын оптикасына сәйкес келеді. Солай етип бөлекшелердің толқынлық қасиеттері олардың де Бройль толқынларының ұзындығы бөлекшелер қозғалатуының областтың өлшемлері L менен барабар болғанда ғана ең анық көрінеді. Бул жағдайда $\lambda_{db} \sim L$. Жоқарыда талқыланған мысаллардың бириншисінде электронның де Бройль толқынының ұзындығы λ_{db} , атомның өлшемлері, кристаллардағы атомлар арасындағы қашықтықтар шама менен бирдей мәніске ийе. Демек электронлар атомлар менен тәсірлескенде хәм электронлар кристаллық денелерде қозғалғанда олардың толқынлық қасиеті максималлық рәуиште көрінеді. $\lambda_{db} \ll L$ болған жағдайларда болса (мысалы жоқарыда қарап өтилген шаң бөлекшесі жағдайында) бөлекшениң толқынлық қасиетінің әхмийеті жоқ. Бундай жағдайда усындай объектлердің қозғалысын тәриплеу ушын классикалық механиканың ызымларынан пайдаланыу керек. Усы мәселени таллауға 2.5-мәселе бағышланған.

Металлардағы электронлар толқынларының сыныуы. Металлдың ишіндегі электронға кристаллық пәнжерениң түйінлерінде жайласқан оң зарядланған ионлардың электр майданы тәсір ететуының белгилі. Бул майдан кристалдың ишінде дәуірлі түрде өзгереді. Металлдың көлемі бойынша орталастырылған усы майданның потенциалы болған φ_0 шамасын металлдың ишки потенциалы деп атайды.

Металлдан электронды жулып алыу ушын шығыу жұмысы $A_{шығ}$ шамасына тең энергия жұмсау керек. Шығыу жұмысының мәнісі менен металдың ишки потенциалы

$$A_{шығ} = e\varphi_0$$

аңлатпасы бойынша байланысқан. Егер металлға сырттан электрон келип түссе оның энергиясы шығыу жұмысына тең шамаға артады. Усының салдарынан электронлар толқынының фазалық тезлигі хәм де Бройль толқын ұзындығы өзгеріске ушырайды хәм нәтижеде металдың бетінде электронлар толқынлары сынады.

Мейли электрон вакуумнан келип металлға түсетуы болсын. Бундай жағдайда сыныу көрсеткіші n_e электронның вакуумдағы фазалық тезлигінің (оны n_ϕ^v арқалы белгилейміз) электронның металдағы фазалық тезлигіне (оны n_ϕ^m арқалы белгилейміз) қатнасына тең болады:

$$n_e = \frac{n_\phi^v}{n_\phi^m}.$$

(2.2.5) қатнасын пайдаланып

$$n_e = \frac{c^2 v^v}{c^2 v^m} = \frac{v^v}{v^m}$$

аңлатпасын аламыз. Бул аңлатпада v^v арқалы электронның вакуумдағы, ал v^m арқалы электронның металдағы тезлигі белгіленген.

Мейли электрон дәслепп E_K шамасына тең болған кинетикалық энергияға ийе болған болсын. Металдың ишінде болса электронның кинетикалық энергиясы $E_K + A_{шығ}$ шамасына тең болады. Бөлекшениң тезлигі менен кинетикалық энергиясы арасындағы классикалық байланысты пайдалансақ

$$v = \sqrt{\frac{2E_K}{m}}$$

аңлатпасынан

$$n_e = \sqrt{\frac{E_K + A_{\text{шығ}}}{E_K}} = \sqrt{1 + \frac{A_{\text{шығ}}}{E_K}}$$

формуласын аламыз. Электронның кинетикалық энергиясының шамасын тезлетиуші потенциаллар айырмасы U арқалы, ал шығыу жұмысының мәнісін ишкі потенциал φ_0 арқалы аңлатсақ, онда электронлық толқынлардың сыныу көрсеткіші үшін төмендегідей аңлатпаны аламыз:

$$n_e = \sqrt{1 + \frac{e\varphi_0}{eU}} = \sqrt{1 + \frac{\varphi_0}{U}}. \quad (2.2.9)$$

(2.2.9)-формулаға сәйкес сыныу көрсеткіші n_e тек әсте қозғалатуғын электронлар үшін ғана сезилерліктей мәніске ийе болады екен. Бундай электронлар үшін U дың шамасы φ_0 ге салыстырғанда үлкен емес. Жоқары энергияға ийе электронлар үшін (бундай жағдайда $U \gg \varphi_0$)

$$n_e \approx 1 + \frac{\varphi_0}{2U}$$

хәм 1 ден азмаз ғана айырмаға ийе болады.

2.1-мәселе. Кинетикалық энергия E_K ниң қандай мәнісінде де Бройль толқын ұзынлығын релятивистік емес формула жәрдемінде есаплаганда $\varepsilon = 1$ % шамасынан көп емес қәтелікке жол қойылады? Мәселені а) электронлар хәм б) протонлар үшін шешіңіз.

Шешими: Де Бройль толқынының толқын ұзынлығын анықлағанда жиберилетуғын салыстырмалы қәтелік ε (2.2.6) менен (2.2.7) ни есапқа алғанда хәм релятивистік емес формула бойынша

$$\varepsilon = \frac{\lambda_{db}^{p.e.} - \lambda_{db}^p}{\lambda_{db}^{p.e.}} = 1 - \left(1 + \frac{E_K}{2mc^2}\right)^{-\frac{1}{2}}$$

түріне ийе болады. E_K кинетикалық энергиясын ε ниң функциясы сыпатында аңлатсақ

$$E_K = 2mc^2[(1 - \varepsilon)^\varepsilon - 1]$$

аңлатпасына ийе боламыз. Мәселенің шәрті бойынша $\varepsilon = 0,01 \ll 1$ болғанлықтан Тэйлор қатарына жайыуды пайдаланып $(1 - \varepsilon)^\varepsilon \approx 1 + 2\varepsilon$ екенлігін табамыз. Бул жағдайды есапқа алсақ

$$E_K(\varepsilon) = 2mc^2 \cdot 2\varepsilon = 4\varepsilon mc^2 = 4\varepsilon E_0$$

аңлатпасына ийе боламыз. Бул формулада $E_0 = mc^2$ арқалы бөлекшениң тынышлықтағы энергиясы белгіленген.

Электронның тынышлықтағы энергиясы $E_0 = 0,511$ МэВ болғанлықтан электрон үшін $E_K = 20,4$ кэВ екенлігін табамыз. Бул жағдай кинетикалық энергиясының шамасы $E_K = 20,4$ кэВ болғанша λ_{db} толқын ұзындығын анықлағандағы қателік 1 проценттен артық болмайтуғынлығын билдиреди.

Физикалық эксперименттерде зарядланған бөлекшелерді тезлетіу әдетте электр майданында әмелге асырылады. U шамасына тең болған потенциаллар айырмасын өткенде электрон $E_K = eU$ кинетикалық энергиясын алады. Кинетикалық энергияның мәнісі биз жоқарыда алған $E_K = 20,4$ кэВ шамасына тең болыуы үшін ол (электрон) $U = 20,4$ кВ потенциаллар айырмасын өтиуі керек. U дың киширек мәніслерінде (2.2.6)-формула бойынша есапланған λ_{db} толқын ұзындығының мәнісін анықлауда жиберилетуғын қателіктің шамасы 1 проценттен әдеуір киши болады.

Протон үшін тынышлықтағы энергия $E_0 = 938,2$ МэВ шамасына тең. Ал де Бройль толқынының толқын ұзындығын анықлағанда жиберилетуғын қателіктің мәнісі 1 проценттен артық болмайтуғын кинетикалық энергияның мәнісі $E_K = 37,5$ МэВ шамасына тең.

2.2-мәселе. Сызықлы өлшемлери l болған структураларды изертлеу үшін массасы m болған бөлекшелерге тезлеткиш қандай энергияны бериуі керек? Мәселени $l = 10^{-15}$ м болған жағдай үшін (бул атом ядроларының өзлерине тән сызықлы өлшеми) электронлар хәм протонлар үшін шешіу керек.

Шешими: Сызықлы өлшемлери l болған структураларды изертлеу үшін де Бройль толқынының ұзындығы $\lambda_{db} \leq l$ болған бөлекшелер керек. Мәселениң шәртиндегі l үшін берілген шама оғада киши. Сонлықтан толқын ұзындығы усы l шамасы менен теңдей бөлекшелерді алыу үшін жүдә үлкен энергияға ийе релятивистлик бөлекше керек болады. Релятивистлик бөлекшениң де Бройль толқынының толқын ұзындығы үшін жазылған (2.2.7)-аңлатпаны пайдаланып

$$\frac{2\pi\hbar}{\sqrt{2mE_k}\sqrt{1 + \frac{E_k}{2mc^2}}} \leq l$$

аңлатпасын аламыз. Бул теңсізлікті (теңлік белгисін есапқа алмаймыз)

$$E_k^2 + 2mc^2E_k - m^2c^2\frac{\Lambda_K^2}{l^2} \geq 0$$

түрине келтиремиз. Бул аңлатпада $\Lambda_K = \frac{2\pi\hbar}{mc}$ арқалы бөлекше толқынының Комптонлық ұзындығы белгиленген. Бул теңсізлікті шешип

$$E_K \geq mc^2 \left(\sqrt{1 + \frac{\Lambda_K^2}{l^2}} - 1 \right)$$

аңлатпасын аламыз.

Электрон үшін Комптонлық ұзындық $\Lambda_K^e = 2,43 \cdot 10^{-12}$ м болғанлықтан

$$\frac{\Lambda_K^e}{l} \gg 1.$$

Усы шәртти есапқа алып электронлардың энергиясы үшін

$$E_K^e \geq mc^2 \frac{\Lambda_K^e}{l}$$

аңлатпасын аламыз. Санлық мәніслерін қойып $E_K^e \geq 1,2$ ГэВ мәнісіне ийе боламыз.

Протонлар үшін Комптонлық ұзындық $\lambda_K^p = 1,32 \cdot 10^{-15}$ м. Бул шаманы есапқа алып $E_K^p \geq 0,6$ ГэВ мәнісіне ийе боламыз.

2-2-2. Де Бройль гипотезасын экспериментте тастыйықлау

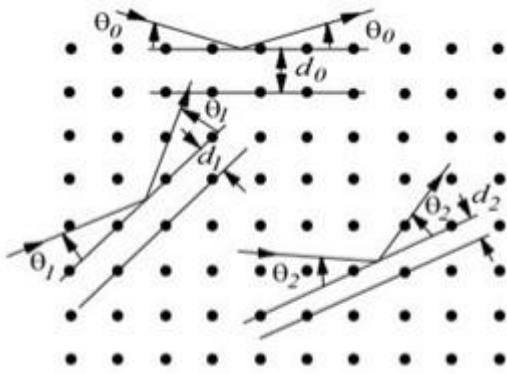
Қәлеген физикалық теорияның дурыс екенлигинің критерийи барлық ұақытта да эксперимент болып табылады. Де Бройль гипотезасын экспериментте тексерип көріу өз ұақтында жүдә әхмийетли мәселелердің бири болды. Бириншиден бул гипотеза материяның терең фундаменталлық қәсийетлерине тийисли еди. Екиншиден бөлекшелерде толқынлық қәсийетлердің болыуы классикалық физикадағы дәстүрге айланған көз-қарасларға сәйкес келмейтуғын еди.

Бөлекшелердің толқынлық тәбиятын тастыйықлаған биринши эксперименталлық изертлеулерди америкалы физиклер Клинтон Джозеф Дэвиссон менен Лестер Джермерер хәм олардан ғәрезсиз англиялы физик Джлордж П.Томсон (1906-жылы электронды ашқаны ушын Нобель сыйлығы лауреаты болған Дж.Дж.Томсынның улы) тәрәпинен 1927-жылы өткерилди. Бул жумысларда электронлардың кристаллық пәнжерелердеги дифракциясы пайдаланылды. Бул экспериментлерди толық таллаудың алдында төмендегидей жағдайларды атап өтемиз.

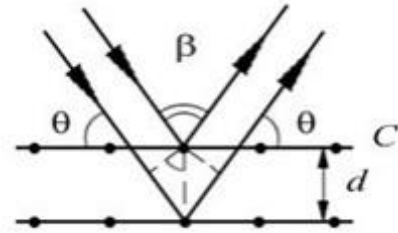
"Электронлардың толқынлық тәбиятын ашқанлығы" ушын 1929-жылы Луи де Бройль, ал "Электронлардың кристаллардағы дифракциясын экспериментте ашқанлығы" ушын К.Дж. Дэвиссон менен Джордж Томсон халық аралық Нобель сыйлықтарын алыуға миясар болды.

Жоқарыда айтылып өтилгениндей тезлетиуши потенциаллар айырмасының жүдә жоқары емес мәніслерінде (шама менен 100 вольт болғанда) электронның де Бройль толқынының ұзындығы шама менен 10^{-10} метрди қурайды. Бундай шама кристаллардағы атомлық тегисликлер арасындағы қашықтықлар ушын тән. Сонлықтан рентген нурлары жағдайындағыдай, электронлық толқынлар ушын кристаллар дифракциялық пәнжерениң орнын ийелей алады.

Жетилискен кристаллардағы электронлардың дифракциясын қарап өтемиз. Жетилискен кристалл деп қурамында структуралық дефектлер болмаған кристалларға айтамыз. Де Бройль толқынының ұзындығы λ_{db} болған электронлар хәр қыйлы атомлық тегисликлерде дифракцияға ушырай алады (2.2.1-а сүўрет). Бундай тегисликлерди кристалға келип түсиуши электронлар дәстеси менен шашыратыушы кристалдың өз-ара ориентациясын сайлап алыу менен жүзеге келтириу мүмкин. Мейли кристалға келип түсиуши электронлар дәстеси менен шашыратыушы тегисликлер арасындағы мүйеш θ шамасына тең болсын (рентгенографияда, электронографияда хәм электрон микроскопиясында бундай мүйешти сырғанау мүйеши деп атайды, русшасы "угол скольжения"). Эпиұайылық ушын симметриялық жағдайға итибар беремиз (2.2.1-б сүўрет). Бундай жағдайда кристалдың бети С шашыратыушы тегисликлерге параллель болады (бундай жағдай әмелде көп ушыраспайды). Бундай жағдайда электронлар кристалдың бетине келип түсетуғын мүйеш θ сырғанау мүйеши болып табылады. Ал $\beta = \pi - 2\theta$ мүйеши кристалға келип түсиуши хәм дифракцияға ушыраған электронлар дәстеси арасындағы мүйеш.



2.1-а сүрет. Де Бройль толқынының ұзынлығы λ_{db} болған электронлар хәр қыйлы атомлық тегисликлерде дифракцияға ушырай алады.



2.1-б сүрет. Электронлардың дифракциясы ушын симметриялық жағдай (кристаллардың бети шашыратыушы кристаллографиялық тегисликлерге параллель).

Кристаллардағы электронлардың дифракциясын теориялық жақтан таллау рентген нурларының кристаллардағы дифракцияға ушырауын таллауға ұқсас. Егер θ мүйешинің мәніси

$$2d_{hkl}\sin\theta_{db} = n\lambda_{db} \quad (2.2.10)$$

Вульф-Брэгг шәртин қанаатландыратуғын жағдайда шашыраған толқынның интенсивли дифракциялық максимумы пайда болады. Бул теңлемде θ_{db} Брэгг мүйеши, d_{hkl} арқалы Миллер индексleri hkl болған шашыратыушы кристаллографиялық тегисликлер арасындағы қашықлық белгиленген. Ендигиден былай әпиұайылық ушын hkl Миллер индексlerini жазбаймыз. (2.2.10)-формуладағы n шамасы 1, 2, 3, ... мәніслерин қабыл ететуғын пүтин сан (оны дифракциялық максимумның тәртиби деп те атайды).

(2.2.10) Вульф-Брэгг шәртинің физикалық мәніси жүдә әпиұайы: егер қоңысылас атомлық тегисликлерде шашыраған толқынлардың жүрислеринің айырмасы пүтин сан еселенген Де Бройль толқынының ұзынлығына тең болса дифракциялық максимум орын алады. Усындай жағдайда кристаллографиялық тегисликлерде (дурысы кристаллографиялық тегисликлерде жайласқан атомларда) шашыраған толқынлар бир бирин күшейтеди. Бундай жағдайда конструктивлик интерференция пайда болады деп есаплайды.

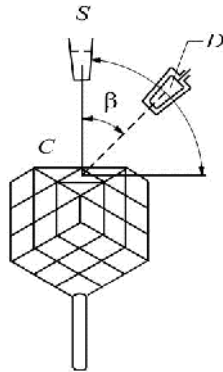
(2.2.10)-шәрт электронлар толқынларының кристаллардағы сыныұын есапқа алмаған қалда жазылғанлығын атап өтемиз. Егер сыныұды есапқа алатуғын болсақ Вульф-Брэгг шәртин былайынша жазамыз:

$$2d(n_e^2 - \cos^2\theta_{db})^2 = n\lambda_{db}. \quad (2.2.11)$$

Бул формулада n_e арқалы электронлар толқыны ушын сыныұ көрсеткиши белгиленген (2.2.3-мәселеге қараңыз).

Дэвиссон хәм Джермер тәжирийбеси. Дэвиссон хәм Джермерлер никель монокристаллындағы электронлардың дифракциясын изертледи. Никельдің кристаллық структурасы рентген нурларының дифракциясы бойынша өткерилген тәжирийбелерден белгили еди. Олардың экспериментинің схемасы 2.2-сүретте келтирилген. Электронлар пушкасынан (электронлар толқынларының дерегин әдетте электронлар пушкасы деп атайды) шыққан электронлар U тезлетиуши

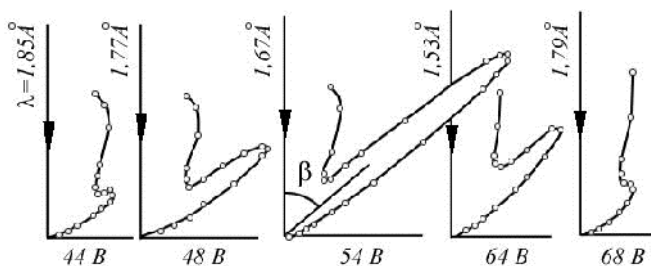
потенциаллар айырмасын өтеди хәм никель кристаллының шлифовкаланған бети С ға нормал бағытта келип түседі. D детекторының жәрдеминде хәр қыйлы U кернеулерінде хәр қыйлы β мүйешлеріне шашыраған электронлардың саны изертленді. U дың хәр қыйлы мәнісілеріне (2.2.8)-аңлатпаға мууапық де Бройль толқынларының хәр қыйлы ұзынлықтарының сәйкес келетуғынлығын еске салып өтеміз.



2.2-сұурет. Дэвиссон хәм Джермерлер тәрепинен электронлардың дифракциясын изертлеу бойынша өткерилген экспериментиниң схемасы.

Дэвиссон хәм Джермердин тәжірийбесінде кристаллық пәнжере шашыратыушы дифракциялық пәнжерениң орнын ийеледі. Сонлықтан де Бройль гипотезасының көз-қарасы бойынша (2.2.10)-Вульф-Брэгг шәрти орынланғанда шашыраған толқынның амплитудасының үлкейіуі электронлардың усындай мүйеш пенен шашырауының итималлығының хәм кристалда шашыраған электронлардың санының үлкейіуін билдиреди.

Дэвиссон хәм Джермердин эксперименталлық изертлеулериниң нәтийжелери 2.3-сұуретте келтирилген. Бул сұуретте тезлетіуші потенциал U дың бир неше мәнісіне сәйкес келиуші шашыраған толқынлардың поляр диаграммалары келтирилген. U = 44 в болғанда (2.2.3-сұурет) $\beta = 134^\circ$ ($\theta = 22,82^\circ$) шамасына тең мүйешінде дифракциялық максимум пайда бола баслайды. U = 54 в кернеуінде дифракциялық максимум максималлық интенсивликке ийе. U дың мәнісиниң буннан былай үлкейіуі менен дифракциялық максимум толық жоқ болғанша азаяды.



2.3-сұурет.
U тезлетіуші потенциалының хәр қыйлы мәнісілеріндеги электронлардың дифракциялық шағылысыуының динамикасы.

Дэвиссон хәм Джермердин тәжірийбелерінде тезлетіуші потенциаллар айырмасы U = 54 в болғанда электронлардың максималлық шағылысыуы бақланды. Бундай потенциаллар айырмасында де Бройль толқынының ұзынлығы

$$\lambda_{db} = \frac{2\pi\hbar}{\sqrt{2meU}} = 0,1668 \text{ нм} = 1,668 \cdot 10^{-10} \text{ м}$$

шамасына тең болады. Никель ушын $d = 2,15 \cdot 10^{-10}$ м. Сонлықтан Вульф-Брэгг теңлемеси бойынша $\theta = 22,82^\circ$ шамасы ушын есапланған де Бройль толқынының толқын ұзынлығы $\lambda_{db} = 0,166$ нм болып шығады.

Экспериментте хәм есаплаўлар менен алынған λ_{db} шамасының бирдей екенлиги бөлөкшелердин толқынлық қәсийетке ийе екенлиги ҳақындағы де Бройль гипотезасының дурыс екенлигиниң ең жақсы дәлилиниң бири болып табылады.



К.Дэвиссон хәм Л.Джермер

Дэвиссон хәм Джермерлер тәрәпинен турақлы β мүйешинде (ямаса турықлы θ сырғанаў мүйешинде) дифракцияға ушыраған электронлар толқынының интенсивлигиниң тезлендириўши потенциаллар айырмасы U дан ғәрезлиги де изертленди. Бул экспериментлердин нәтийжелери 2.4-сүўретте келтирилген. Экспериментлерде бақланған шашыраў максимумлары бир биринен \sqrt{U} шкаласында бир биринен бирдей қашықлықларда жайласқан болып шықты. Бул жағдай теорияда да орын алады. Ҳақыйқатында да

$$\lambda_{db} = \frac{2\pi\hbar}{\sqrt{2meU}}$$

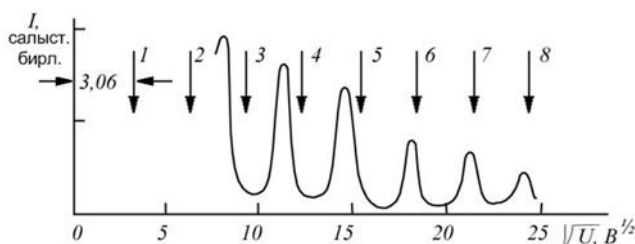
формуласы орын алғанлықтан (2.2.10)-Вульф-Брэгг шәртинен

$$2d \sin[\theta] = n \frac{2\pi\hbar}{\sqrt{2meU}}$$

формуласына ийе боламыз. U арқалы тезлендириўши потенциаллар айырмасының шамасы белгиленген (бул ҳақында жоқарыда айтылды). Солай етип шашыраў тәртиби n менен U арасындағы байланыстың

$$\sqrt{U} = \frac{\pi\hbar}{d \sin[\theta]\sqrt{2em}} n = \text{const} * n$$

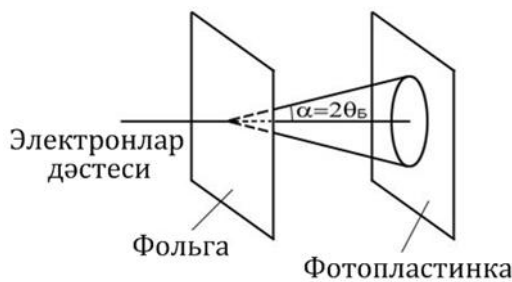
түрине ийе болатуғынлығын көремиз. Бул \sqrt{U} шамасына байланысly шашыраў максимумларының бир биринен эквидистанциялық жайласыўына (яғный бирдей аралықларда жайласыўына) сәйкес келеди.



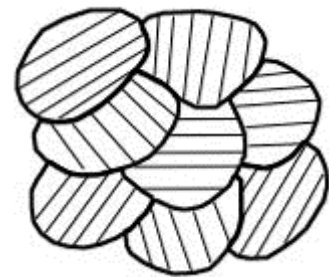
2.4-сүўрет. Турақлы β мүйешинде (ямаса турықлы θ сырғанаў мүйешинде) дифракцияға ушыраған электронлар толқынының интенсивлигиниң тезлетиўши потенциаллар айырмасы U дың $\frac{1}{2}$ дәрежесине ғәрезлиги.

Бул тәжірийбеде теория менен эксперимент арасында толық сәйкеслик орын алмады. Себеби эксперименталлық дифракциялық максимумлардың орны менен (2.2.10)-Вульф-Брэгг шәрти тийкарында анықланған дифракциялық максимумлардың орны (олар 2.4-сүўретте вертикал бағытланған стрелкалар менен белгиленген) арасында сезилерликтей айырма болды. Бундай айырма n ниң киши мәнислеринде (яғный тезлетиўши кернеў U дың киши мәнислеринде) жақсы сезиледи. Егер электронлар толқынларының металдағы сыныўын есапқа алсақ (Вульф-Брэгг шәрти буны есапқа алмайды), онда эксперименталлық нәтийжелер менен теориялық есаплаўлар берген нәтийжелер арасындағы айырма толығы менен жоғалады.

Дж. П. Томсон тәжірийбеси. Дж.П.Томсон экспериментлеринде электронлардың поликристаллық үлгилердеги дифракциясы изертленди. Бирдей энергияға ийе бағытланған (коллиматордан өткерилген) электронлар дәстеси метал поликристал фольганың бетине нормал бағытта түсирилди (2.2.5-сүўрет). Фольганың екінши тәрәпинде орналастырылған фотопластинкада фольга арқалы өткен электронлар концентрли сақыйналар түриндеги дифракциялық сүўретти пайда етти. Биз дәслепп поликристаллық үлгиде электронлар дифракцияға ушырағанда фотопластинкада неликтен дифракциялық сақыйналардың пайда болатуғынлығын түсиндиремиз.

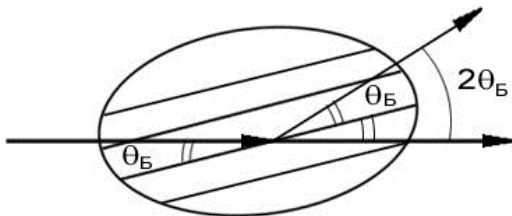


2.5-сүўрет. Электронлардың поликристаллық фольгадағы дифракциясы.

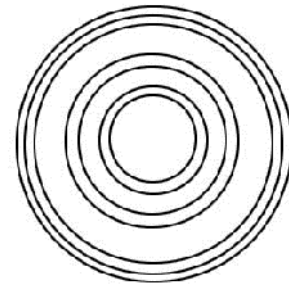


2.6-а сүўрет. Поликристаллық үлгиниң структурасы.

Поликристаллардың көп санлы жүдә майда монокристаллық дәнешелерден туратуғынлығы белгили. Бул дәнешелерди кристаллитлер деп те атайды. Поликристаллардағы кристаллитлер бир бирине салыстырғанда хаотик (тәртипсиз) түрде бағытланған. 2.6-б сүўретте кристаллитлердеги айырып алынған атомлық тегисликлер системасының бағыты параллель сызықлар менен көрсетилген. Бул бағыт бир кристаллиттен екінши кристаллитке өткенде ықтыярлы түрде өзгередиди.



2.6-б сүўрет. Поликристалдағы дифракция. Бул жағдайда тек бир кристаллиттеги шағылысыў көрсетилген.



2.7-сүўрет. Гүмис поликристаллындағы дифракциялық тәжірийбелердиң нәтийжеси.

Электронлар дәстеси поликристалға келип түскенде қандай да бир атомлық тегисликлер системасы шашыратыушы қалда, яғный Вульф-Брэгг шәрти орынланатуғын қалда жайласқан кристаллитлер табылады.

Пәнжере турақлысы (соның менен бирге кристаллографиялық тегисликлер семействосы ушын тегисликлер арасындағы қышықлық d) белгили, шағылысыу тәртиби n де белгили, демек λ_{ab} толқын узынлығы да, сырғанау мүйеши θ_{ab} да белгили болған жағдайды қараймыз. Мейли электронлар дәстеси кристаллиттин атомлық тегислигине θ_{ab} мүйеши менен түсетуғын болсын. Бул жағдай 2.6-b сүүретте параллель сызықлар менен көрсетилген. Дифракцияға ушыраған толқынның бағытының поликристалға келип түсиуши толқынның бағытына салыстырғанда $2\theta_{ab}$ шамасына бурылғанлығын аңсат түсиниуге болады. Солай етип айырым алынған кристаллиттеги дифракция фотопластинкада ноқатты (қара дақты) береди.

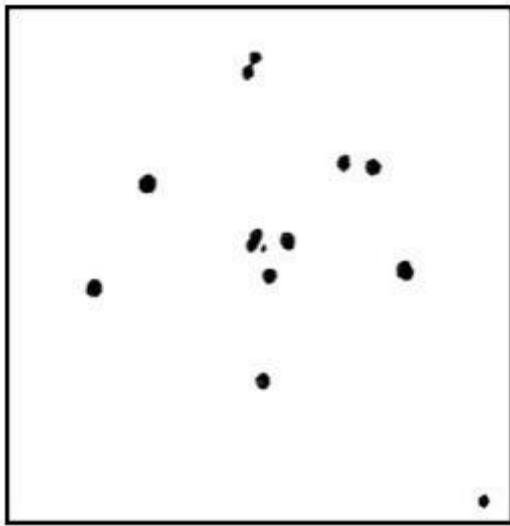
Мәселениң көшерлик симметриясына байланыслы (бул көшердин бағыты поликристалға келип түсиуши электронлар дәстесиниң бағыты болып табылады) усы көшерге шағылыстырыушы атомлық тегисликлери θ_{ab} мүйешке бурылған кристаллитлер де фотопластинкада дифракциялық ноқатларды береди. Демек поликристалларға электронлар дәстеси келип түскенде белгили бир θ_{ab} мүйешиндеги дифракциялық шағылысыу төбесиндеги мүйеши $\alpha = 2\theta_{ab}$ болған конус бойынша болады дегенди аңғартады. Бул конус фотопластинка тегислиги менен кесискенде шеңберди береди. Кристалдың хәр қыйлы атомлық тегисликлери системаларының (яғный хәр қыйлы d лар) үлеси, соның менен бирге шағылысыудың хәр қыйлы тәртиплери болған n ди есапқа алыу фотопластинкада орайлары бир ноқатта жайласқан шаңберлер системасының пайда болыуына алып келеди.

Томсон тәжирийбелеринде энергиясы 17,5 - 56,5 кэВ болған үлкен тезликке ийе электронлар пайдаланылды. Себеби киши тезликлер менен қозғалатуғын электронлар фольга тәрeпинен күшли жутылады хәм бул жағдай поликристал арқалы өтиуши толқынның интенсивлигиниң жоғалыуына алып келеди. Поликристаллық фольгадағы электронлардың дифракциясын изертлеу бойынша өткерилген экспериментлердин нәтийжеси 2.7-сүүретте келтирилген.

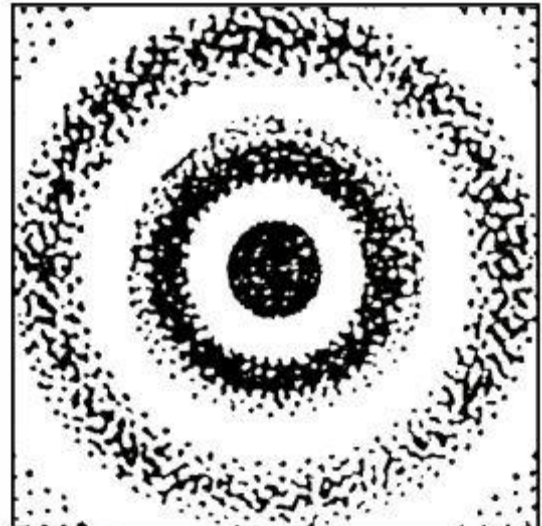
Электронлардың поликристаллардағы дифракциясын таллауда төмендегидей жүдә әхмийетли сорау пайда болды: Электронлар дәстеси келип түскенде поликристалдағы атомлар қозады хәм өзлеринен рентген нурларын шығарады. Демек фотопластинкада пайда болған дифракциялық сүүрет сол рентген нурларының поликристалдағы дифракциясының нәтийжеси шығар? Сонлықтан дифракцияға ушыраған бөлекшелердин (электронлар ямаса рентген квантлары) тәбиятын анықлау мақсетинде поликристалл фольга менен фотопластинка арасында магнит майданы пайда етилди. Егер дифракциялық картинаны электронлар пайда етсе, онда олар магнит майданы тәрeпинен қозғалыу бағытын өзгертиуи хәм усының нәтийжесинде дифракциялық картинаның майысыуы шәрт. Егер рентген нурлары дифракцияға ушыраса, онда рентген нурларына магнит майданы тәсир етпейди хәм дифракциялық сүүреттеги сақыйналар системасы өзгериссиз қалады. Магнит майданы менен өткерилген экспериментлер дифракциялық сүүретти электронлардың беретугынлығын тастыйықлады.

Жеке электронлардың дифракциясы. Жоқарыда қарап өтилген экспериментлер электронлардың жеткиликли дәрежеде интенсивли дәстелери менен өткерилди. Сонлықтан оларда бақланған толқынлық қәсийетлер жеке электронларға тийисли емес, ал бир бири менен тәсирлесетуғын электронлар ансамблине тийисли шығар? деген сораудың пайда болыуы тәбийий. Усы жағдайға

байланыссыз жеке электрон толқынлық қасиетке ийе бола ала ма деген сорауға жуып беріу үшін 1949-жылы Москва қаласында В.А.Фабриканттың басшылығындағы бір топ физиктер электронлардың оғада әззі дәстелери менен дифракциялық изертлеулер өткерди. Бул тәжірийбелерде электронлардың кристал арқалы избе-из өтиулері арасындағы уақыт бір электронның әсбап арқалы өтетугын уақтынан 30000 есе үлкен етип алынды. Солай етип жалғыз электронның бір өзи кристалда дифракцияға урылады хәм усының салдарынан электронлардың бір бири менен тәсірлесиуі толық сапластырылды. Фотопластинкадағы дифракцияға ушыраған электронлардың тарқалыуының сапалық түрі 2.8-сүүретте келтирилген. Киши уақыт аралықларында өткерилген эксперименттерде фотопластинкадағы ноқатлар (яғный фотопластинкаға электронлар келип түскен орынлар) пүткиллей тәртипсиз түрде тарқалған (2.2.8-а сүүрет). Бирақ эксперименттер узақ уақыт дауамында өткерилсе ноқатлардың жайласыуларында тәртип көрине баслайды (2.2.8-б сүүрет). Фотопластинкада орайлары бір ноқатта жайласқан сақыйналар пайда болады. Солай етип толқынлық қасиеттің жеке электронға да тән екенлиги дәлилленди.



2.8-а сүүрет. Жеке электронлар менен қысқа уақыт ишінде өткерилген эксперименттің нәтийжеси. Фотопластинкадағы дифракциялық дақлар тәртипсиз түрде жайласқан.



2.8-б сүүрет. Жеке электронлар менен жеткиликли дәрежеде узақ уақыт өткерилген эксперименттің нәтийжеси. Фотолатинкада дифракциялық сақыйналар пайда болған.

Кристалларсыз өткерилген дифракция бойынша тәжірийбелер. Де Бройлдың гипотезасын тастыйықлау мақсетінде дәслепки эксперименттердің барлығы да кристалларды пайдаланыу менен өткерилди. Себеби кристаллардың өзи электронлардың дифракциясын бақлау үшін тәбият тәрөпинен дөрөтилген дифракциялық пәнжерелер болып табылады. Буннан кейин электронлар менен оптикада жақсы белгили болған классикалық тәжірийбелерге уқсас дифракциялық тәжірийбелер өткерилди. Электронлардың ярым шексиз тегисликтің шетіндеги, еки саңлақтағы хәм басқа да объектлердеги дифракциялары бақланды. Электронлардың бир текли емес электр майданындағы дифракциясын изертлеу бойынша да тәжірийбелер өткерилди. Бундай жағдайда бир текли емес электр майданы Френель бипризмасының орнын ийелейди. Бул эксперименттердің барлығы да электронларда толқынлық қасиетлердің бар екенлигин дәлилледі.

Рамзауэр эффекти. 1921-жылы немис физиги К.Рамзауэр аргон атомларындағы электронлардың серпимли шашырауын изертлеудің барысында классикалық физиканың шеклерінде түсиндириуге болмайтуғын қубылысты ашты. Тек бир неше жыллар өткеннен кейін бул қубылыстың электронларда толқынлық қасиеттің бар екенлигинің және бир дәлили екенлиги түсиникли болды. Бул қубылыс оптикада жақсы белгили болған Пуассон дағының электронлық аналогы болып табылады.

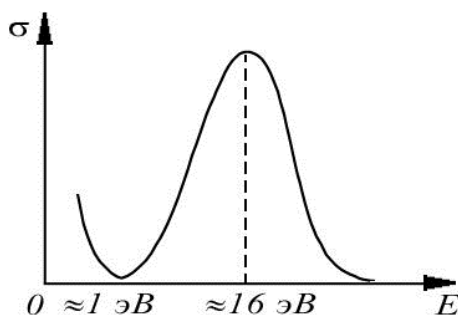
Рамзауэр энергиясы бир неше онлаған электрон-вольтке шекемги электронларды пайдаланды. Ол бундай электронлардың аргон атомларындағы серпимли шашырауының кесе-кесими σ ны изертледи. Электронлардың серпимли шашырау кесими

$$\sigma = \frac{N}{nv}$$

формуласының жәрдеминде анықланады. Бул формулада N арқалы ўақыт бирлигиндеги аргон атомларындағы электронлардың серпимли шашыраулар актлеринің саны, n арқалы дәстедеги электронлардың тығызлығы, ал v арқалы олардың тезлиги белгиленген. Серпимли шашырау кесими σ майданның бирлигине ийе ҳәм оның мәниси атомның этирапында электрон шашырауға ушырайтуғын нышананың майданына тең.

Серпимли шашырау кесими электронлардың энергиясы E ден ғәрезли. Ҳақыйқатында да E қаншама үлкен болса электронның тезлиги де үлкен ҳәм сонлықтан атом менен тәсир етискенде электрон қозғалыс бағытын өзгертиў қыйынырақ болады. Демек электронлардың энергиясы (тезлиги) кемеийгенде серпимли шашырау кесиминің шамасының киширейиўи керек.

Рамзауэр алған нәтийжелер сапалық түрде 2.9-сүўретте келтирилген. Бул сүўретте энергиясы 16 эВ шамасындағы электронлар ушын аргон атомларындағы серпимли шашырау кесиминің ең үлкен мәниске ийе болатуғынлығы көринип тур. Энергиясы 16 эВ шамасынан киши ҳәм үлкен болған электронлардың серпимли шашырау кесими киши. Электронның энергиясының шамасы $E \approx 1$ эВ болғанда кесим σ ның мәниси дерлик нолге тең болады. Электронлардың энергиясы және де киширейгенде σ ның мәниси артады.



2.9-сүўрет.

Электронлардың аргон атомларынан серпимли шашырау кесиминің электронлардың энергиясынан ғәрезлиги.

Кесим σ ның нолге айланыўы аргон атомларының электронлар ушын мөлдир болатуғынлығын көрсетеди. Бундай жағдайда электронлар аргон атомларында шашырамайды. Классикалық физиканың көз-қарасларына пүткиллей сәйкес келмейтуғын бул эксперименталлық нәтийже электронның толқынлық тәбиятын есапқа алғанда өзинің шешимин табады.

Оптикада экранда Пуассон дағы деп аталатуғын дақтың қалайынша пайда болатуғынлығы белгили. Мөлдир емес дисктеги жақтылықтың дифракциясында геометриялық саяның орайында жақтылы дақ пайда болады. Усы дақты Пуассон

дағы деп атаймыз. Рамзауэр өткерген тәжірийбелерде усындай дисктиң орнын аргон атомы ийелейди. Егер электронның де Бройль толқынының ұзынлығы атомның диаметри менен салыстырғандай үлкенликте болса атомдағы толқынның дифракциясының нәтийжесинде электронлар толқыны ушын Пуассон дағы пайда болады. Бул аргон атомы арқалы электронлар өткенде өзиниң қозғалыу бағытын өзгертпейди дегенди аңлатады. Буннан кейин тап усындай қубылыс басқа да инерт газлер болған криптонда да, ксенонда да табылды. Соның менен бирге Рамзауэр эффектиниң тек инерт газлердиң атомларында ғана бақланатуғынлығы мәлим болды. Себеби инерт газлердиң атомлары толық толтырылған сыртқы электронлық қабыққа ийе, олар сфералық симметрияға хәм сонлықтан жеткиликли дәрежедеги анық сыртқы шегараға ийе.

Нейтронлар хәм басқа да бөлекшелер дәстеси менен исленген тәжірийбелер. Усы ўақытқа шекем биз микробөлекшелердиң толқынлық қәсийетлерин талқылау барысында тийкарғы дыққатты электронларға аўдардық. Бул тәбийий жағдай. Себеби бөлекшелерде толқынлық қәсийеттиң бар екенлигин тастыйықлаушы экспериментлер электронлар менен орынланды. Бирақ де Бройль гипотезасына муўапық басқа бөлекшелер болған атомлар да, молекулалар да, электроннан кейин ашылған элементар бөлекшелер протонлар да, нейтронлар да, басқа да элементар бөлекшелер толқынлық қәсийетке ийе болыуы керек. Бирақ бундай бөлекшелердиң басым көпшилиги электронларға салыстырғанда мыңлаған есе үлкен массаларға ийе. Де Бройль толқынының ұзынлығы масса m ге кері пропорционал болғанлықтан $\left(\lambda_{db} = \frac{2\pi\hbar}{mv}\right)$ бирдей тезликлерге ийе болған жағдайларда де Бройль толқынының ұзынлығының шамасы электронлардың де Бройль толқын ұзынлығынан мыңлаған есе киши болады. Үлкен салмаққа ийе болған бөлекшелердиң кристаллардағы дифракциясын бақлау ушын олардың толқын ұзынлығының үлкенлиги кристал турақлысының шамасы ($\sim 10^{-10}$ м) менен барабар болыуы керек. Ал бундай бөлекшелердиң кристаллық денелердеги дифракциясын бақлау тек киши тезликлер менен қозғалыушы бөлекшелер жағдайында ғана мүмкин.

Эксперимент техникасының жетилисиўиниң нәтийжесинде кристаллардағы водород молекулаларының хәм гелий атомларының дифракцияларын бақлауға мүмкиншилик берди. Дифракцияға ушыраған атомлар менен молекулалар киши тезликлерге ийе болғанлықтан кристалдың бетине келип түсип тереңге өте алмайды. Сонлықтан олар кристалдың атомлары тәрепинен оның бетинде пайда етилген еки өлшемли пәнжеререде дифракцияға ушырайды.

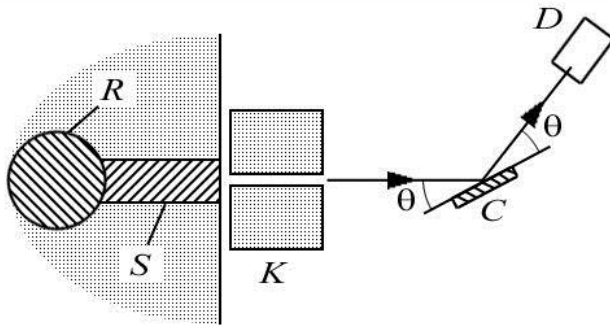
Нейтронлардың кристаллардағы дифракцияға ушырауы физика хәм техника ушын үлкен әҳмийетке ийе болды. Нейтронларда электр заряды жоқ хәм сонлықтан олар хәтте киши тезликлерде де кристал арқалы тарқала алады хәм үш өлшемли кеңисликлик кристаллық пәнжеререде дифракцияға ушырайды. Нейтронлардың дереги ядролық реакциялар болып табылады. Сонлықтан дифракциялық экспериментлерди өткеріу ушын зәрүрли болған нейтронлар дәстеслерин ядролық реакторлардан ямаса зарядланған бөлекшелерди тезлеткишлерден алыу мүмкин.

Кристалларда дифракцияға тек жыллылық нейтронлары деп аталатуғын нейтронлар ушырай алады. Бундай нейтронлардың энергиясы газ молекулаларының энергиясы менен барабар, яғный өжире температураларындағы ($T \sim 300K$) $E = \frac{3}{2}kT$ шамасына жақын болыуы керек. бундай жыллылық нейтронларының де Бройль толқын ұзынлығы

$$\lambda_{db} = \frac{2\pi\hbar}{\sqrt{2m_n kT}} \quad (2.2.12)$$

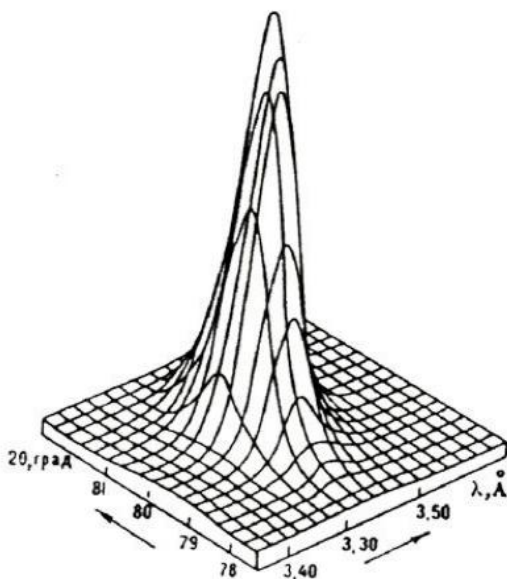
шамасына тең болады. Бул аңлатпада m_n аркалы нейтронның массасы белгиленген. Өжире температураларында λ_{db} ниң шамасы шама менен 10^{-10} м ге тең хэм усының салдарынан нейтронлардың кристаллардағы дифракциясын бақлаў мүмкин.

Нейтронлардың дифракциясы биринши рет бақланған экспериментлер 1936-жылы Х.Хальбан, П.Прайсверк хэм Д.Митчел тәрөпинен орынланды. Олардың экспериментлеринде радийли-бериллийли нейтронлар дереги қолланылды. Бирақ хәзирги ўақытларда нейтронлардың дифракциясы бақланатуғын экспериметлерде нейтронлардың дереги ретинде ядролық реактор қолланылады (2.2.10-сүўрет).

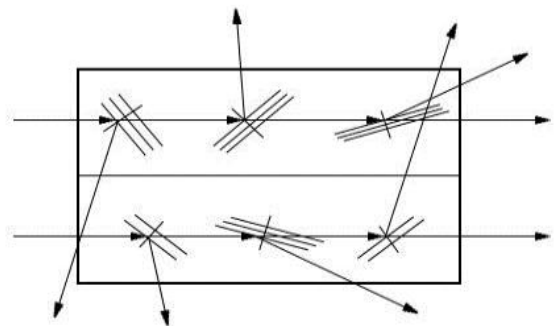


2.10-сүўрет.
Нейтронлардың дифракциясын
бақлаўға мүмкиншилик беретуғын
эксперименталлық дүзилестиң
схемасы.

R ядролық реактордан шыққан нейтронлар S әстелеткиши арқалы өтип, бул әстелеткиште өзиниң энергиясының бир бөлегин жоғалтады. Буннан кейин нейтронлар коллимациялаўшы система K арқалы өтеди хэм бул системада жиңишке дәстеге айланады. Бул дәсте C кристаллына түседи хэм кристалда дифракцияға ушырайды. Дифракцияға ушыраған нейтронлар дәстесин D нейтронлар детекторы регистрациялайды (есапқа алады). Экспериментлерде бақланатуғын дифракцияға ушыраған нейтронлардың интенсивлигиниң Брэгг мүйеши θ дан хэм де Бройль толқынының узынлығы λ_{db} дан ғәрөзлиги 2.11-сүўретте келтирилген.



2.11-сүўрет. CsHSeO₄ монокристаллынан
шашыраған нейтронлардың



2.12-сүўрет.
Поликристал фильтрдиң жәрдемінде

интенсивлигинің дифракциялық максимумы.

нейтронлар дәстесін фильтрлеу схемасы.

Нейтронларды әстелетіуші ретінде ядролары нейтронларды жүдә әззи жутатуғын графиттің, бериллийдің хәм басқа да элементлердің поликристаллары хызмет етеди. Әстелеткишлерде нейтронлар көп рет дифракцияға ушырайды хәм соның нәтийжесінде өз энергиясының артық бөлегін кристалдың ядроларына береді.

Усының менен бир қатарда поликристал әстелеткиште нейтрон дәстесінің спектринің киши энергияға ийе бөлегінің бөліп алыныуы (фильтрлеу) жүзеге келеди. Бул қубылыс та нейтронлардың дифракциясына тийкарланған. Бул қубылысты толығырақ қарап шығамыз.

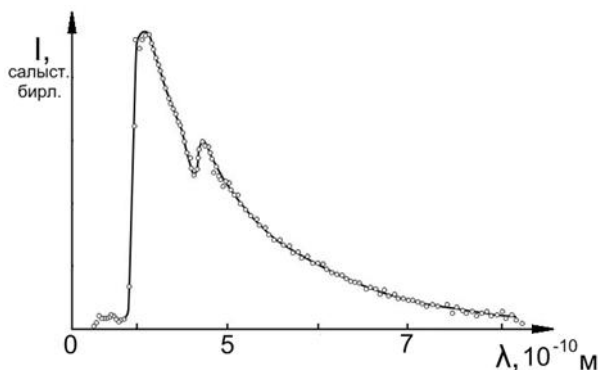
$$2d \sin \theta = n\lambda$$

Вульф-Брэгг шәртинен дифракциялық шағылысуға қатнасуатын максималлық ұзынлыққа ийе де Бройль толқынының ұзынлығының

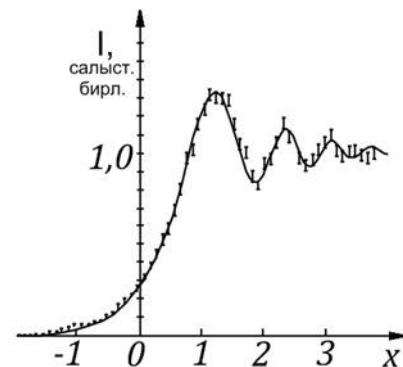
$$\lambda^{max} = \max \left\{ \frac{2d \sin \theta}{n} \right\} = 2d$$

шамасына тең болатуғынлығынлығын аңсат түрде көрсетіуіге болады. Бул аңлатпадағы $\sin \theta$ ның ең үлкен мәнісі 1 ге тең. Сонлықтан $\lambda^{max} = 2d/n$ хәм толқын ұзынлығының максимум мәніске ийе болыуы үшін $n = 1$ шәртинің орынланыуы керек. Бул λ^{max} толқын ұзынлығын шегаралық толқын ұзынлығы деп атаймыз. Бул шәрт $\lambda < \lambda^{max}$ болған тез қозғалыушы нейтронлардың кристалда дифракцияға ушырайтуғынлығын хәм соның салдарынан өзинің бағытын өзгертетуғынлығын хәм әстелеткиш арқалы тууры бағытта өтетуғын дәстеден шығып қалатуғынлығын билдиреди (2.2.12-сүүрет).

Толқын ұзынлығы $\lambda > \lambda^{max}$ болған киши энергияға ийе нейтронлар дифракцияға ушырамайды хәм (әстелеткиш) поликристал арқалы интенсивлигин дерлик өзгертпей өтеди. Бериллий поликристаллы арқалы өткен нейтронлар дәстесінің интенсивлигинің де Бройль толқын ұзынлығы λ шамасынан ғәрезлиги 2.13-сүүретте көрсетілген. Өткен дәстениң интенсивлигинің кескин түрде киширейіуі $\lambda \approx 0,4$ нм толқын ұзынлығынан баслап орын алады. Бул бериллий фильтри үшін шегаралық толқын ұзынлығының шамасына сәйкес келеди (бериллий үшін $\lambda^{max} = 0,395$ нм).



2.13-сүүрет. Поликристалл бериллий фильтри арқалы өткен нейтронлардың спектри.



2.14-сүүрет. Жутыушы экранның шетінде дифракцияға ушыраған нейтронлар дәстесінің интенсивлиги.

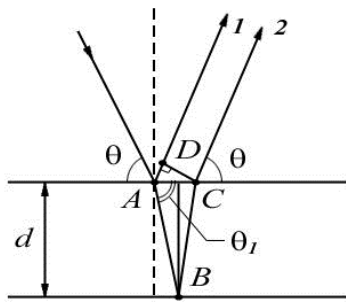
Полкристаллық фильтр арқалы өтетуғын киши энергияға ийе нейтронлар салқын нейтронлар деп аталады. 2.4-мәселеде усындай нейтронлардың неликтен салқын нейтронлар деп аталатуғынлығы түсиндириледі

Нейтронлар ушын да, басқа бөлекшелер ушын да оптикада кеңен белгили болған дифракциялық тәжирийбелерди экспериментлерде бақлау мүмкин. 2.14-сүүретте мөлдир емес экранның шетиндеги нейтронлардың дифракциясын изертлеу бойынша өткерилген экспериментлердің нәтийжеси келтирилген. Бул экспериментлерде толқын узынлығы 2 нм болған нейтронлар қолланылған. Графикте x көшери бойынша бир бирлик ени 30 мкм болған детектордың саңлағының 100 мкм ге жылжыуына сәйкес келеді.

Үлкен массаға ийе бөлекшелер (атомлар, молекулалар, нейтронлар) менен өткерилген дифракциялық тәжирийбелер де Бройль гипотезасының универсаллық әхмийетке ийе екенлигин көрсетти. Барлық бөлекшелер өзлериниң тәбиятына, ишки қурылысына қарамастан толқынлық қәсийетке ийе болады екен.

2.3-мәселе. Электронлық толқынлардың металлдағы сыныуын есапқа алып Вульф-Брэгг шәртин жазыңыз.

Шешими: 2.1-бөлимде гәп етилгениндей, электронлар металдың бетине келип түскенде де Бройль толқынларының сыныуы орын алады. Усы сыныуды есапқа алып Вульф-Брэгг шәртин жазамыз.



2.15-сүүрет.

Металлдағы электронлық толқынның сыныуын есапқа алған ҳалдағы электронлардың дифракциясы.

Мейли электронлар атомлық тегисликке θ сырғанау мүйеши менен түсетуғын болсын. Сынған нур ушын сырғанау мүйешиниң шамасын λ_1 арқалы белгилеймиз (2.2.15-сүүрет). Әпиуайылық ушын симметриялы жағдайды қараймыз, яғный атомлық тегисликлерди кристалдың бетине параллель деп есаплаймыз. Қоңысылас атомлық тегисликлерде шашыраған толқынлар ушын жүрислер айырмасы Δ ны есапаймыз. Сыныуды есапқа алған ҳалда

$$\Delta = (AB + BC)n_e - AD = 2AB \cdot n_e - AC \cos\theta = \frac{2dn_e}{\sin\theta_1} - \frac{2d}{\tan\theta_1} \cos\theta$$

аңлатпасын аламыз. Электронлар толқыны ушын сыныу нызамы (Снелиус нызамы)

$$\frac{\sin\left(\frac{\pi}{2} - \theta\right)}{\sin\left(\frac{\pi}{2} - \theta_1\right)} = \frac{\cos\theta}{\cos\theta_1} = n_e$$

түрине ийе болады. Буннан $\cos\theta$ ны есаплап хәм оны жүрислер айырмасы Δ ға қойсақ

$$\Delta = \frac{2dn_e}{\sin\theta_1} - \frac{2dn_e \cos^2\theta_1}{\sin\theta_1} = 2dn_e \sin\theta_1 = 2d\sqrt{n_e^2 - \cos^2\theta}$$

аңлатпасына ийе боламыз. Солай етип де Бройль толқынының сыныұын есапқа алған қалда қоңсылас тегисликлерде шағылысқан толқынлардың бир бирин күшейтиұ шәрти, яғный Вульф-Брэгг шәрти

$$2d\sqrt{n_e^2 - \cos^2\theta} = n\lambda_{db}, \quad n = 1, 2, 3, \dots$$

түрине енди [(2.2.11)-аңлатпаға].

Биз алған Вульф-Брэгг шәрти тек электронлар ушын ғана емес, ал толқынлық қәсийетлерге ийе фотонлар, нейтронлар хәм басқа да бөлекшелер ушын орынланады. Бундай формуланы сыныұ көрсеткишинң шамасы 1 ден өзгере болғанда қолланыұ керек болады. Егер $n_e - 1 \ll 1$ болса биз алған шәрт әдеттеги сыныұды есапқа алмайтуғын жағдайдағы Вульф-Брэгг шәртине айланады.

2.4-мәселе. Графит пәнжересиниң турақлысы $d = 0,335$ нм. Графит поликристаллы тәрөпинен өткерилетуғын ең қысқа узынлықтағы нейтронлар толқының температурасы T ны анықлаңыз.

Шешими: Графит пәнжересиниң турақлысы d белгили болғанлықтан графит тәрөпинен өткерилетуғын нейтронлардың шөгаралық толқын узынлығы да белгили хәм $\lambda_{\text{шег.}} = 2d = 0,67$ нм шамасына тең (бул хәққында жоқарыда гәп етилди). Графит арқалы өткерилетуғын ең қысқа нейтронлардың температурасы T ны анықлаұ ушын (2.2.12) деги температура T ны λ_{db} шамасының функциясы сыпатында көрсетемиз

$$T = \frac{(2\pi\hbar)^2}{3mk\lambda_{db}^2}.$$

Бул аңлатпаға $\lambda_{db} = \lambda_{\text{шег.}} = 0,67 \cdot 10^{-9}$ м шамасын қойып

$$T = \frac{(62 \cdot 10^{-34})^2}{3 \cdot 1,675 \cdot 10^{-27} \cdot 1,38 \cdot (0,67 \cdot 10^{-9})^2} = 14 \text{ K}$$

нәтийжесин аламыз. Солай етип поликристалл фильтр арқалы өтиұши нейтронлардың температурасының хәқыйқатында да жүдә төмен екенлигин көремиз. Бундай нейтронларды салқын нейтронлар деп атайды.

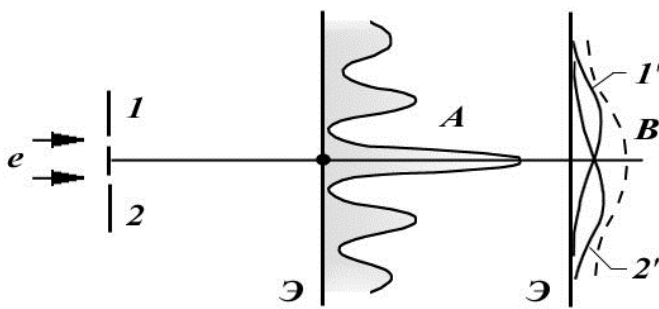
2-2-3. Анықсызлық қатнастары

Микробөлекшелердиң қәсийетлери. Микробөлекшелердиң толқынлық қәсийетлериниң ашылыұы бизиң принципиаллық жақтан пүткиллей жаңа типтеги объектлер менен жумыс ислесе баслағанымызды көрсетеди. Бир қатар экспериментлерде микробөлекшелер корпускулалық қәсийетти көрсетеди, ал екинши бир экспериментлерде бизлер оларды толқын түринде көремиз. Бирақ хәқыйқатында олар толқын да, бөлекше де емес. Усы жерде микробөлекшелердиң қәсийетлерин тәриплеұ ушын классикалық усыллардың иске аспайтуғынлығы анық көринеди.

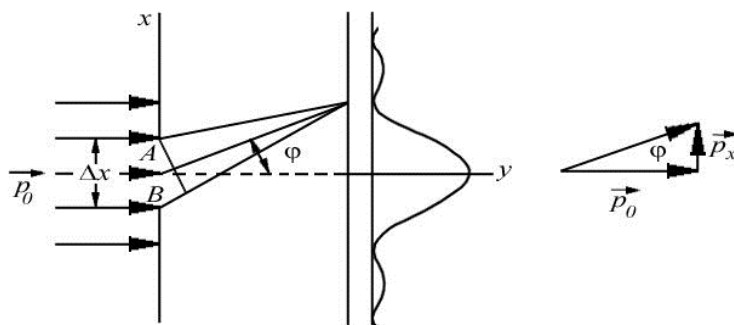
Микробөлекшениң толқыннан айырмасын көп санлы мысаллардың жәрдемінде көрсетиұ мүмкин. Мысалы ярым мөлдир айнаны пайдаланып қәлеген толқынды екиге бөлип, олардың хәр қайсысын өз алдына изертлеұ мүмкин. Микробөлекше болған электронды ямаса нейтронды бөлеклерге бөлиұге болмайды. Усы ўақытқа шекем хөш ким ярым электронды, бир ярым протонды ямаса шерек нейтронды көрген жоқ.

Микробөлекшениң классикалық нызамларға бағынатуғын макробөлекшелерден тийкарғы айырмасының бири соннан ибарат, микробөлекшениң қозғалысын сыпатлау үшін траектория түсинигин қолланыуға болмайды. Бул жағдайды еки саңлақта алынатуғын электронлардың дифракциясы мысалында көрсетемиз. Көп оқыу қолланбаларында бул экспериментти ойымызда өткерилетуғын эксперимент деп атайды. Бирақ еки саңлақтағы электронлардың дифракциясын 1961-жылы Йенсен бақлады.

Мейли моноэнергиялы (бирдей энергияға ийе) электронлардың параллель дәстеси еки саңлағы бар диафрагмаға келип түсетуғын болсын (2.2.16-сүүрет). Электронлар толқынлық қасиетке ийе болғанлықтан диафрагманың артына қойылған Э экранында интерференциялық сүүрет пайда болады. Интерференциялық сүүреттиң максимумлар менен минимумлардың избе-излигинен туратуғынлығын билемиз. (А иймеклиги). Енди 1-саңлақ ашық хәм 2-саңлақ жабық болған жағдайды қараймыз. Бундай жағдайда экрандағы электронлардың тарқалыуы тек бир саңлақтың үлеси менен анықланады (1' иймеклиги). Тап сол сыяқлы 1-саңлақты жапсақ хәм 2-саңлақты ашсақ, онда 2' иймеклиги менен сыпатланатуғын тарқалыуды аламыз. Егер хәр бир электрон белгили бир саңлақ арқалы өтетуғын болса (1- ямаса 2-саңлақтан), онда электронлардың тарқалыуы еки саңлақ та ашық турғандағы (яғный В иймеклиги) жағдайдағыдай болып тарқалған болар еди (2.2.16-сүүретте келтирилген 1' хәм 2' иймекликлериниң қосындысы пунктир сызық пенен көрсетилген). В иймеклигиниң экспериментте алынған иймекликтен тиккелей айырмасы электрон диафрагма арқалы өткенде еки саңлақты да "көреді" деген жуўмақтың шығарылыуына алып келеди. Электрон диафрагма арқалы өткенде экранда пайда болатуғын интерференциялық сүүрет еки саңлақтың қатнасыуы менен ғана пайда болады деп түсиндириледі. Электрон қандай да бир саңлақ арқалы өтти хәм соның салдарынан интерференциялық сүүрет пайда болды деп түсиндиретуғын қәлеген тырысыу интерференциялық сүүреттиң бузылыуына алып келеди. Солай етип интерференциялық сүүретти бузбай электронның саңлақлардың қайсысынан өткенлигин көрсетиу мүмкин емес болып шығады. Демек электронға ямаса қәлеген басқа микробөлекшеге қандай да бир айқын траектория сәйкес келеди деп айтыу мүмкин емес.



2.16-сүүрет.
Моноэнергиялы
электронлардың параллель
дәстеси еки саңлағы бар
диафрагмаға келип түсетуғын
эксперименттиң схемасы.



2.17-сүүрет.
Саңлақтағы электронның
дифракциясы.

Микробөлекшениң толқынлық қәсийетке ийе екенлиги классикалық физиканың әхмийетли түсиниклериниң бири болған траектория түсинигинен бас тартыўға алып келеди. Классикалық көз-қараслар бойынша бөлекше ўақыттың ҳәр бир моментинде кеңисликтинң белгили бир ноқатында жайласады ҳәм бул ноқатта белгили муғдардағы импульске ийе болады. Демек бир ноқатта жайласқан электронның тап сол ўақыт моментинде екнши ноқатта да жайласыўы мүмкин емес. Квантлық көз қараслар бойынша толқынлық қәсийетлерге ийе болғанлығы себепли бир ўақыт моментинде микробөлекше кеңисликтинң ҳәр қыйлы ноқатларында жайласа алады. Сонлықтан микробөлекшелердиң қозғалысын тәриплеў ушын траектория түсинигинен пайдаланыў пүткиллей мүмкин емес болып табылады.

Классикалық бөлекшелердиң қандай қәсийетлери микродүнья областларында сақланады? Сақланатуғын шамалар қатарына бөлекшениң массасы ҳәм энергия киреди. Қандай да бир микробөлекше басқа денелердиң бөлекшелери менен тәсир етискенде оның энергиясы бөлекше бир ноқатта турған жағдайдағыдай болып сарыпланады.

Анықсызлық қатнастары. Микробөлекшелердиң корпускулалық-толқынлық тәбияты усы бөлекшениң ҳалын характерлеўши физикалық шамалардың мәнислерин дәл анықлаўға шек қояды. Бул шеклердиң экспериментлердеги өлшеўлердиң дәллиги менен ҳеш қандай байланысы жоқ. Сонлықтан биз айтып атырған айырым физикалық шамалардың мәнислерин дәл анықлаў мүмкиншиликлерииниң жоқлығы принципиаллық әхмийетке ийе. Мысал ретинде электронның саңлақтағы дифракциясын қараймыз.

Мейли электронлар мөлдир емес Э экранына нормал бағытта түсетуғын болсын. Экранда кеңлиги Δx шамасына тең саңлақ болсын (2.2.17-сүўрет).

Интерференциялық сүўрет экраннан соң жайласқан Ф фотопластинкасында регистрацияланатуғын болсын. Экран тегислигиндеги x көшерин саңлаққа перпендикуляр бағытқа қарай бағытлаймыз, ал y көшерин болса келип түсиўши электронлар дәстесиниң қозғалыс бағытында аламыз. Мейли келип түсиўши электронлар p_0 муғдарындағы импульске ийе болсын. Бундай жағдайда квант-механикалық көз-қараслар бойынша бундай электронлар (2.2.4)-де Бройль теңлемеси тәрепинен анықланатуғын толқын векторы \vec{k} болған тегис толқын түринде сыпатланады

$$\vec{k} = \frac{\vec{p}_0}{\hbar}.$$

Толқын барлық кеңислик бойынша тарқалған болғанлықтан ҳәр бир электрон саңлақ арқалы өтемен дегенше дәл p_0 муғдарындағы импульске ($p_x = 0$, $p_y = p_0$, $p_z = 0$) ҳәм мәниси пүткиллей белгисиз болған x координатасына ийе болады.

Электрон саңлақ арқалы өткенде ситуация пүткиллей өзгериске ушырайды. x координатасындағы анықсызлық саңлақтың кеңлиги Δx қа тең болады. Бирақ бул жағдайда электронлардың саңлақтағы дифракциясының салдарынан импульстинң мәнисинде Δp_x шамасына тең болған анықсызлық пайда болады. Мәселе соннан ибарат, саңлақ арқалы өткен электронлар экранда енди тегис толқын түринде емес, ал шашыраўшы толқын түринде тәриплениди. Бундай шашыраўшы толқынның интенсивлиги дифракция нызамларына сәйкес дифракция мүйеши φ ге байланыслы болады. Дифракциялық сүўреттиң сапалық түри 2.17-сүўретте келтирилген.

Саңлақ арқалы өтиўдиң барысында импульстинң x көшерине түсирилген проекциясы p_x та үлкен емес өзгериске ушырайды. Электронлардың дифракциясына муўапық p_x тың қандай шамаға өзгертетуғынлығын баҳалайық.

Саңлақ арқалы өткен электронлардың басым көпшилиги орайлық дифракциялық максимумға барып түседі. Бул максимумның шегаралары φ_1 дифракция мүйешинің мәнісі бойынша табылады. φ_1 мүйеши дифракциялық сұұреттеги интенсивликтің биринши минимумын береді. Дифракция теориясына сәйкес бул мүйеш

$$\Delta x \sin \varphi_1 = \lambda_{db}$$

шәртинен табылады. Биз барлық ұақытта λ_{db} арқалы электронның де Бройль толқынының толқын ұзынлығын белгилеп келдик. φ_1 мүйешинің киши екенлигине байланысly $\varphi_1 \sin \varphi_1 \approx \operatorname{tg} \varphi_1$. Демек

$$\frac{\lambda_{db}}{\Delta x} = \sin \varphi_1 \approx \operatorname{tg} \varphi_1. \quad (2.2.13)$$

Екинши тәрeптeн φ_1 мүйешинің мәнісін электронның p_x хәм p_y құраұшылары арқалы да анықлаұға болады:

$$\operatorname{tg} \varphi_1 = \frac{p_x}{p_y}.$$

x көшеринің бағытында импульстің проекциясындағы анықсызлық Δp_x шамасының мәнісі p_x тың өзинің мәнісі менен барабар деп есаплап

$$\operatorname{tg} \varphi_1 = \frac{\Delta p_x}{p_y}. \quad (2.2.14)$$

аңлатпасын аламыз. (2.2.13) пенен (2.2.14) аңлатпаларын бир бири менен салыстырып

$$\Delta x \cdot \Delta p_x \approx \lambda_{db} p_y$$

қатнасына ийе боламыз.

$$\lambda_{db} = \frac{2\pi\hbar}{p_y}$$

екенлигин итибарға алып ең ақырғы нәтижени аламыз

$$\Delta x \cdot \Delta p_x \approx 2\hbar. \quad (2.2.15)$$

(2.2.15)-аңлатпаны келтирип шығарыұды базы бир әпиұайыластырыұшы болжаұлар пайдаланылған еди. Сонлықтан $\Delta x \cdot \Delta p_x \approx 2\hbar$ формуласы жуұық формула болып табылады. 3.7-бөлимде келтирилген қатаң түрдеги жуұмақ

$$\Delta x \cdot \Delta p_x \geq \frac{\hbar}{2} \quad (2.2.16)$$

формуласын береді.

(2.2.16)-формула 1927-жылы немис физиги В.Гейзенберг тәрeпинен алынды хәм сонлықтан Гейзенбергтің анықсызлық қатнаслары деп аталады. Бул қатнаслар

бойынша биз бөлекшениң координаталарын қаншама дәл тапсақ (яғный Δx шамасының мәнісі қаншама киши болса), онда усы координатаға түсірилген импульстиң проекциясының мәнісін тапқанда жиберилетуғын анықсызлықтың мәнісі Δp_x соншама үлкен болады (яғный Δx киши болса Δp_x үлкен хәм Δx үлкен болса Δp_x киши мәніске ийе болады деген сөз).

Анықсызлық қатнастары анықсызлық принципинің математикалық аңлатпасы болып табылады. Бул принцип бойынша координата менен импульстиң усы координатаға түсірилген проекциясы дәл мәніслерге ийе болатуғын қал тәбиятта бола алмайды.

(2.2.16)-аңлатпаның материяның корпускулалық-толқынлық дуализминің салдары екенлигин және бир рет атап өтемиз. Бул дуализм бойынша бөлекше бир уақытта толқынлық қасиетке де, бөлешелик қасиетке де ийе болады. Бул анықсызлық анаў ямаса мынаў экспериментте пайдаланылатуғын айқын физикалық әсбаптың шаманы өлшегенде жиберетуғын қәтелиги менен хеш қандай байланысқа ийе емес. Бул қатнас микробөлекшениң характеристикаларын өлшеудің дәллігинің теориялық шегин береді.

Гейзенбергтің анықсызлық қатнастары бөлекшениң координатасының анықсызлығы менен импульсинің усы координатаға түсірилген проекциясының анықсызлығын байланыстырады. Биз жоқарыда қарап өткен жағдайда x көшери хеш бир себеп пенен айырып алынған жоқ еди. Сонлықтан (2.2.16)-қатнас басқа координата көшерлері ушын да орынлы

$$\Delta y \cdot \Delta p_y \geq \frac{\hbar}{2}, \quad \Delta z \cdot \Delta p_z \geq \frac{\hbar}{2}.$$

Жоқарыда айтылғанлар менен бир қатарда координатаны хәм импульстиң басқа координаталарға түсірилген проекцияларын анықлауға хеш қандай шек қойылмайды. Мысалы Δx пенен Δp_y ямаса Δp_z шамаларын анықлау дәлліклерине хеш қандай шек қойылмайды.

Квантлық механикада анықсызлық қатнастары фундаменталлық әхмийетке ийе. Бул қатнастар оғада әхмийетли физикалық нәтижелерди алыуға мүмкиншилик береді. Соның менен бирге бул қатнастар квант-механикалық мәселелерди шешкенде қурамалы болған дәл математикалық есаплауларды жүргізбей-ақ көп шамалардың мәніслерін жеткиликли дәрежедеги дәллікте алыуға имканят жаратып береді. Мысалы не себепли атомдағы электрон ядроға қулап түспейди, неликтен атом ядросының ишінде электрон жоқ хәм басқа да әхмийетли сорауларға аңсат жууап бериуге мүмкиншилик береді. Анықсызлық қатнастары жәрдемінде атомның өлшемлеринің шамасы, атомдағы электронның ең минималлық энергиясы хаққындағы мәселелерге айқын жууап алыуға болады.

Анықсызлық қатнастарының атомның орнықтылығы хаққында қалай жууақ шығаратуғынлығын көрсетемиз. Водород атомын аламыз хәм ондағы электрон ядроның (протонның) дөгерегінде радиусы r болған дөңгелек орбитада v тезлиги менен қозғалады деп есаплаймыз. Электронның орбита бойынша қозғалысы Кулон күшинің тәсирінде жүзеге келетуғын болғанлықтан Ньютонның екінши нызамы бойынша

$$\frac{mv^2}{r} = \frac{1}{4\pi\epsilon_0} \frac{e^2}{r^2} \quad (2.2.17)$$

аңлатпасын жаза аламыз. Енди анықсызлық қатнастарынан пайдаланамыз. Электронның координатасындағы анықсызлық орбитаның радиусы r ге тең. Ал

импульстің анықсызлығы Δp ның шамасы импульс p ның шамасынан артық емес, яғни $\Delta p \approx p = mv$. Бул жағдайда (2.2.16)-аңлатпа мына түрге енеди:

$$rmv \geq \frac{\hbar}{2}. \quad (2.2.18)$$

(2.2.17) менен (2.2.18) ди бириктирип

$$r > \frac{\pi \varepsilon_0 \hbar^2}{me^2} \approx 0,13 \cdot 10^{-10} \text{ м}$$

шамасын аламыз. Демек электронның орбитасының радиусы, яғни водород атомының радиусы биз тапқан шамадан киши бола алмайды екен. Бул өз гезегінде электронның ядроға қулап түсе алмайтуғынлығын аңлатады. Сонлықтан атом орнықты система болып табылады.

Анықсызлық қатнастары классикалық механиканың қолланылуы шеклерин де сызып бере алады. Бул жағдайды демонстрациялау үшін (2.2.16)-аңлатпаны оған масса m киретуғын етип көширип жазамыз. (2.2.16) ға $\Delta p_x = m\Delta v_x$ теңлигин қойып

$$\Delta v_x \geq \frac{\hbar}{2m\Delta x} \quad (2.2.19)$$

теңсизлигин аламыз. $\hbar = 1,055 \cdot 10^{-34}$ Дж·сек жүдә киши шама болғанлықтан тезликтің анықсызлығы Δv_x тек массасы жүдә киши хәм жүдә киши Δx өлшемлерінде ғана сезилерликтей мәніске ийе болуы мүмкин.

Мысал ретінде массасы $m = 10^{-6}$ кг болған шаңның бөлекшесин аламыз. Бундай бөлекшениң координатасын анықлауда жиберилетуғын қәтеликтің шамасы $\Delta x = 10^{-6}$ метрден артық емес. Бундай жағдайда шаң бөлекшесинің тезлиги ушын алынатуғын анықсызлықтың шамасы $\Delta v_x \sim 10^{-22}$ м/сек шамасынан артпайды. Бул шама ең жақсы эксперименталлық дүзилістердің өлшеулерінде жиберилетуғын қәтеликтің шамасынан оғада көп есе киши. Солай етип шаң бөлекшеси ушын, сондай-ақ барлық макроскопиялық денелер ушын анықсызлық қатнастары хеш қандай әхмийетке ийе емес. Олардың қозғалысын изертлегенде квантлық механиканы емес, ал классикалық механиканы қолланыу керек.

Енди атомдағы электрон ушын анықсызлық қатнастарының қандай нәтижелерди беретуғынын көріп өтемиз. Электронның массасы $m = 0,91 \cdot 10^{-30}$ кг, оның координатасындағы анықсызлықты $\Delta x \approx 10^{-10}$ м ге тең дейик. Бул жағдайда $\Delta v_x \sim 10^6$ м/сек.

Бул шаманы атомдағы электронның тезлиги менен салыстырайық. Водород атомындағы электронның энергиясы шама менен 10 эВ шамасында. Бундай энергияға $v = 10^6$ м/сек шамасындағы тезлик сәйкес келеди. Солай етип электронның тезлигиндегі анықсызлық Δv_x тың шамасы электронның өзинің тезлиги v ға барабар екен деген жуумақ келип шығады. Сонлықтан атомдағы электронның қәсийетин тәриплеу ушын квантлық механиканың ызымларын пайдаланыу керек болады.

Биз төменде координата менен импульстің проекциясы менен бир қатарда бир уақытта дәл мәніслерге ийе бола алмайтуғын басқа да физикалық шамалардың жупларының бар екенлигин көремиз. Олар ушын да (2.2.16)-аңлатпаға ұқсас анықсызлық қатнастары орын алады. Сондай қатнастардың ишинде энергияның анықсызлығы ΔE менен уақыттың анықсызлығы Δt шамасын байланыстыратуғын анықсызлық қатнастары үлкен әхмийетке ийе. Бул қатнас мынадай түрге ийе

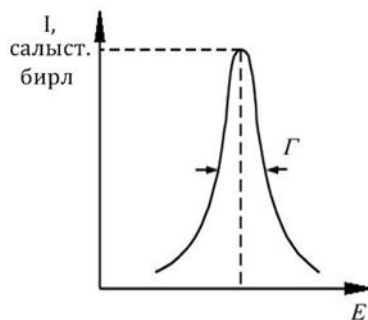
$$\Delta E \cdot \Delta t \geq \frac{\hbar}{2}. \quad (2.2.20)$$

Бирақ бул жерде базы бир корректировка менен түсиник бериў керек болады. Бул қатнасты толығырақ таллаймыз. Экспериментлерде квантлық халдың толық энергиясы өлшенбейди, ал оның орнына әдетте система бир халдан екінши халға өткенде хәр халға сәйкес келетуғын энергиялардың айырмасы өлшенеди. Бул айырма $\Delta E = \Delta(E_1 - E_2) = \Delta E_1 - \Delta E_2$ шамасына тең. Бул аңлатпада E_1 менен E_2 арқалы системаның дәслепки хәм ақырғы халларына сәйкес келетуғын энергияның муғдарлары белгиленген. Соның менен бирге ΔE_1 хәм ΔE_2 шамаларының белгилери хәр қыйлы болыўы мүмкин. Соның ушын (2.2.20)-аңлатпаның оң тәрәпин екиге көбейтиўге туўры келеди. Нәтийжеде энергия менен ўақыт ушын анықсызлық қатнасы мынадай түрге ийе болады:

$$\Delta E \cdot \Delta t \geq \hbar. \quad (2.2.21)$$

Бул анықсызлық қатнасында ўақыттың анықсызлығы Δt шамасын системаның энергиясы E_1 болған қозған халдағы өмириниң узақлығы деп түсиниў керек. Бундай жағдайда ΔE шамасы система энергиясы E_1 болған халдан энергиясы E_2 болған халға өткендеги энергияның мәнисиндеги шашаўлық (разброс) деп есаплаўға болады.

(2.2.21)-анықсызлық қатнастарынан келип шығатуғын нәтийжелерди экспериментте де бақлаўға болады. Бундай экспериментлер қатарына атомлық спектроскопияны көрсетиўге болады. Атомлардың нурланыў спектриниң сызықларының шексиз ушлы (енсиз) екенлиги белгили. Егер спектр сызықлары шексиз енсиз болғанда $\Delta E = 0$ теңлиги орынланған болар еди. Ал бул жағдай нурланған кванттың дәл мәнисине сәйкес келеди. Экспериментте бақланатуғын спектраллық сызықлар болса Γ арқалы белгиленетуғын (бул жерде грек хәриби жазылған) кеңлигине ийе болады. Буны сызықлардың тәбийий кеңлиги деп атайды. Γ ның шамасы жоқарыда айтылып өтилген фотонлардың энергиясының сызықтың ортасына сәйкес келиўши орташа мәнистиң этирапындағы шашаўлығына сәйкес келеди. (2.2.18-сүўрет).



2.18-сүўрет.

Атомлардың нурланыў спектриндеги сызықтың формасының сапалық сүўрети.

(2.2.21) ден сызықтың кеңлиги атомлық қозған халдағы жасаў ўақыты τ менен былайынша байланысқанлығы келип шығады

$$\Gamma \cdot \tau \approx \hbar. \quad (2.2.22)$$

Экспериментте спектраллық сызықтардың тәбйий кеңлиги Γ шамасын өлшеп (2.2.22)-аңлатпаның жәрдемінде қандай да бир қозған қалдағы жасау ұақытын есаплау мүмкин. Көзге көринетуғын диапозонда нурланатуғын атомлардың спектраллық сызықтарының тәбйий кеңлиги ушын эксперименттерде $\Gamma \sim 10^{-7}$ эВ шамасы алынады. Бул мәнисти (2.2.22) ге қойсақ атомның қозған қалдағы жасау ұақыты ушын $\tau \approx 10^{-8}$ сек мәнисин аламыз. Атомлардың спектраллық сызықтарының кеңейіуі қаққында биз төмениректе гәп етемиз

Анықсызлық қатнастарынан келип шығатуғын нәтийжелер. Анықсызлық қатнастарынан келип шығатуғын нәтийжелердің бирин биз жоқарыда талладық хәм квантлық механикада бөлекшениң траекториясы қаққында гәп етиудің мәнисинің жоқ екенлигин көрдик (себеби толқында траектория болмайды). Классикалық көз-қараслар бойынша (классикалық механиканың нызамлары бойынша) бөлекше хәр бир ұақыт моментінде координатаға хәм импульске (тезликке) ийе болады. Бул бөлекшениң белгили бир траектория бойынша қозғалатуғынлығын аңлатады. (2.2.16)-(2.2.19)-аңлатпалардан сол шамалардың биреуінің ғана дәл мәниске ийе болатуғынлығын көремиз. Бөлекшениң координатасының белгили болыуы мүмкин (бул жағдайда $\Delta x = 0$). Бундай жағдайда оның тезлигин анықлау мүмкин емес (себеби $\Delta v_x \rightarrow \infty$ шамасына тең болады). Егер бөлекшениң тезлиги дәл мәниске ийе болса (бундай жағдайда $\Delta v_x = 0$), онда оның координатасы анық мәниске ийе бола алмайды (яғный $\Delta x \rightarrow \infty$). Улыұма жағдайда болса корпускулалық-толқынлық дуализмнің салдарынан бөлекшениң координатасы да, импульси де белгили бир анықсызлықларға ийе болады. Бул анықсызлықлар бир бири менен (2.2.16)-аңлатпа арқалы байланысқан.

Ядро физикасында кеңнен қолланылатуғын Вильсон камерасын еске түсиремиз. Вильсон камерасы арқалы өткенде жоқары энергияға ийе зарядланған бөлекшелер треклер деп аталатуғын из қалдырады. Бул көзге анық көринетуғын ямаса сүүретке түсирип алыуға болатуғын из траектория болып табылады. Треклердің көриниуіндеги бөлекшелердің толқынлық қасийетинің ақыбетінде келип шығатуғын шашалау (анықлығының төменлеуі) пүткиллей бақланбайды. Мәселе неден ибарат? Жууаптың мәниси төмендегилерден ибарат.

Вильсон камерасындағы бөлекшелер қалдырған треклер сызықлы өлшемлери $\Delta x \approx 10^{-6}$ м болған думанның майда тамшылардан (тамшылар шынжырынан) турады. Бундай жағдайда импульстиң анықсызлығы (2.2.16) ға сәйкес

$$\Delta p_x = \frac{\hbar}{2\Delta x} \sim 10^{-28} \text{ кг}\cdot\text{м/сек}$$

шамасына тең болады. Бул шама p импульстиң мәнисине салыстырғанда жүдә киши. Бул Вильсон камерасындағы бөлекшениң қасийетлерин тәриплеу ушын классикалық механиканың керек екенлигин билдиреди. Бул жағдайда сезилерликтей қәте жиберместен бөлекшениң траекториясы қаққында айта аламыз.

Бундай жууақлар жоқары энергиялы бөлекшелер ушын толық тастыйықланады. Қақыйқатында да үлкен импульслерге ийе бөлекшелер ушын де Бройль толқынының узынлығы жүдә киши болады. Бундай жоқары энергиялы бөлекшелерди классикалық бөлекшелер деп атауға болады.

Анықсызлық қатнастарына келип шығатуғын екінши әхмийетли нәтийжени қараймыз. Биз хәзир микробөлекшениң толық тынышлық қалының болмаиуғынлығын көрсетемиз.

Қақыйқатында да егер бөлекшениң координатасының өзгеріуі областы шекленген болса, яғный $\Delta x = a$ болса, онда (2.2.16) ға сәйкес бундай бөлекшениң импульси

$$\Delta p_x \geq \frac{\hbar}{2a}$$

анықсызлығына хәм усыған сәйкес нолге тең емес энергияға ийе болады. Усы энергияның ең киши мәніси болған E_{min} шамасын бақалаймыз. Импульс бойынша минималлық шашаулық

$$\Delta p_{x\ min} = \frac{\hbar}{2a}.$$

$p_{x\ min} \approx \Delta p_{x\ min}$ деп болжап

$$E_{min} = \frac{p_{x\ min}^2}{2m} = \frac{\hbar^2}{8ma^2}$$

аңлатпасын аламыз. Солай етип квантлық механикада бөлекше ҳеш қашан тынышлық ҳалында тура алмайды екен.

Енди анықсызлық қатнастарына келип шығатуғын үшінши әҳмийетли нәтийжени қараймыз. Квантлық механикада бөлекшениң толық энергиясын кинетикалық хәм потенциал энергияларға бөлиў мәніси жоқ иске айланады. Кинетикалық энергия бөлекшениң импульсине, ал потенциал энергия болса бөлекшениң координатасына байланысly. Бирақ (2.2.16)-аңлатпа бойынша координата менен импульс бир ўақытта анық мәнислерге ийе болмайтуғын болғанлықтан толық энергия E бир ўақытта дәл анықланған кинетикалық хәм потенциал энергиялардың қосындысына тең бола алмайды. Солай етип квантлық механикада кинетикалық энергия E_K менен потенциал энергия U дың бир заматлық мәнислериниң қосындысы толық энергияға тең болыўы мүмкин емес.

Биз төменде бул теңликтин энергиялардың орташа мәнислери ушын дурыс болатуғынлығын көрсетемиз. Яғный $\langle E \rangle = \langle E_K \rangle + \langle U \rangle$.

2.5-мәселе. Гейзенбергтин анықсызлық қатнасын пайдаланып характерли сызықлы өлшем L ге ийе кеңисликтин базы бир областындағы классикалық механиканың қолланылыў шеклерин бақалаңыз.

Шешими: Биз жоқарыда бөлекшениң қозғалысында траектория түсинигин тек ғана оның координатасының анықсызлығы бөлекше қозғалатуғын областтың характерли өлшемлеринен киши болғанда (яғный $\Delta x \ll L$ теңсизлиги орынланғанда) пайдаланыўға болатығынлығын айтып өткен едик.

(2.2.16)-аңлатпадан пайдаланамыз хәм бул аңлатпада $\Delta p_x \approx p$ теңлиги орынланады деп есаплаймыз. Бөлекшениң координатасының анықсызлығы ушын

$$\Delta x \geq \frac{\hbar}{2\Delta p_x} \approx \frac{\hbar}{2p} = \frac{\lambda_{db}}{4\pi}$$

аңлатпасын аламыз. Демек $\lambda_{db} \leq 4\pi\Delta x$, ал $\Delta x \ll L$ болғанлықтан $\lambda_{db} \ll L$. Усы теңсизлик орынланғанда бөлекшениң қозғалысын тәриплеў ушын классикалық механиканың нызамларын пайдаланыў керек деген жуўмақты шығарамыз.

2.6-мәселе. Энергия менен ўақытты анықсызлық қатнасын пайдаланып атомның нурланыўы ушын спектраллық сызықтың тәбийий кеңлиги болған $\Delta\lambda$ шамасын табыңыз. Нурланыўдың толқын узынлығы $\lambda = 500$ нм, ал атомның қозған ҳалдағы орташа жасаў ўақыты $\tau = 10^{-8}$ сек деп есаплаңыз.

Шешими: λ толқын узынлығына ийе толқынның энергиясы

$$E = \hbar\omega = \frac{2\pi\hbar c}{\lambda}$$

шамасына тең. Буннан энергия ΔE менен спектраллық сызықтың толқын ұзындықтарының анықсыздықтарын (яғный ΔE хәм $\Delta\lambda$ шамаларының мәніслерін) есаплаймыз:

$$\Delta E = \frac{2\pi\hbar c}{\lambda^2} \Delta\lambda.$$

$\Delta E = \Gamma$ екенлиги мәлим. Сонлықтан (2.2.22)-аңлатпаны есапқа алып

$$\Delta\lambda = \frac{\lambda^2}{2\pi c \tau}$$

формуласын аламыз. Бул формулаға константалардың сан мәнісін қойсақ $\Delta\lambda = 1,3 \cdot 10^{-14}$ м шамасын аламыз. Бундай жағдайда спектраллық сызықтың салыстырмалы кеңлиги $\frac{\Delta\lambda}{\lambda} = 2,6 \cdot 10^{-8}$ шамасындай болады. Биз усы жерде $\Delta\lambda$ киши шамасының атомлардың нурланыуындағы монохромлықтың дәрежесін анықлайтуғынын атап өтемиз. Ал эксперименттерде алынатуғын спектраллық сызықтардың кеңлиги (эксперименттерде алынатуғын спектраллық сызықтардың кеңлигін сызықтардың хақықый кеңлиги деп атаймыз) спектраллық сызықтардың тәбийй кеңлигинен барлық ўақытта да үлкен болады. Буған атомлардың жыллылық қозғалыслары себепли спектраллық сызықтардың Допплерлик кеңейиуі хәм басқа да көп факторлар киреди.

2-2-4. Микробөлекшелерди затлардың структурасын изертлеу үшін қолланыу

Микробөлекшелерди пайдаланыу арқалы затлардың хәр қандай қәддидеги қурылысын (ядролық, атомлық, молекулалық, атомлық-кристаллық, кристаллардың дефектлик қурылысы хәм басқа да қәддилердеги) мүмкин екенлиги хәзирги ўақытлары кеңнен белгили. Бул жағдай биринши рет 1911-жылы Англиялы физик Э.Резерфорд хәм оның менен бирге ислесиўши хызметкерлер тәрәпинен α -бөлекшелердин атомлардағы шашырауын изертлеу бойынша өткерилген тәжирийбеде айқын түрде көрсетилди. α -бөлекшелериниң жуқа металл фольгадағы шашырауын изертлеудин нәтийжесинде олар атомлардың планетарлық (ядолық) моделин ашты.

Резерфорд тәжирийбелеринде α -бөлекшелери пайдаланылды, тәжирийбелер шараятларында олардың толқынлық қәсийетлери әхмийетке ийе болған жоқ. Сонлықтан атом ядроларындағы α -бөлекшелериниң шашырауын классикалық –көз-қараслар бойынша таллау мүмкин еди.

Биз төменде микробөлекшелердин жәрдемінде затлардың қурылысын эксперименталлық изертлеу мүмкиншилигин қарап өтемиз хәм бул эксперименттерде олардың толқынлық қәсийетлери тийкарғы орын ийелейтуғын жағдайларды үйренемиз.

Рентген нурларының кристаллардағы дифракциясының ашылыуы қатты денелердин атомлық-кристаллық қурылысын (структурасын) изертлеудин жаңа усылы болған кристаллар рентгенографиясының пайда болыуына алып келди. Тап

сол сыяқлы электронлар менен нейтронлардың кристаллардың дифракциясының ашылуы да жаңа усыллардың (методлардың) пайда болуын тәміинледі. Электронлардың дифракциясына тийкарланған затлардың қурылысын изертлеу методын электронография, ал нейтронлардың дифракциясына тийкарланған методты нетронография деп атайды..

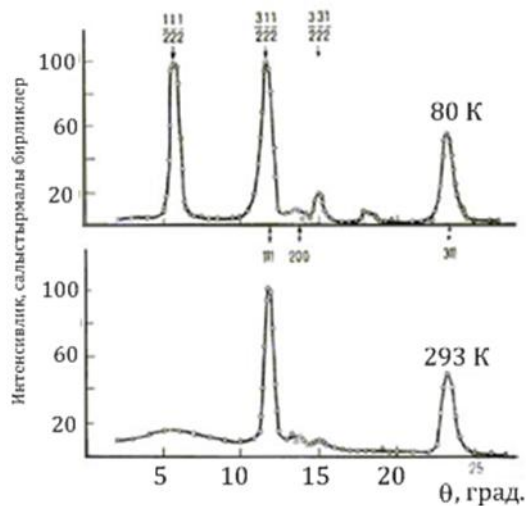
Электронография хәзирги ўақытлары кристаллардың, аморф денелердің, суйықлықлардың, газлер менен пуўлардың молекулаларының қурылысын изертлеу ислеринде кеңнен қолланылады. Электронлар затлар тәрепинен күшли жутылатуғын болғанлықтан бул методтың жәрдемінде тек жуқа кристаллар хәм кристаллық пленкалар изертлениледі. Ал тәжирийбеде төменги энергияға ийе болған электронларды пайдаланғанда (бундай электронларды әстен қозғалатуғын электронлар деп атайды) олар кристалдың жүдә жуқа бетлик қатламына ғана өте алады. Сонлықтан олар кристалдың жүдә жуқа бетлик қатламы хаққында информацияларды бере алады. Әсте қозғалатуғын электронлардың дифракциясы хәзирги ўақытлары кристаллық затлардың бетиниң қурылысын изертлеуге мүмкиншилик беретуғын ең информациялы усыллардың бири болып табылады. Бул методы жәрдемиінде кристалдың бетиндеги кристаллық пәнжерениң қурылысының өзгерислерин, адсорбсия қубылысларын хәм қатты денелердің кристаллизациясының ең басланғыш дәўирлерин үйрениў мүмкин.

Структуралық изертлеулерде нейтронографиялық усыллар жүдә кең түрде қолланылады. Жоқарыда айтылып өтилгениндей нейтронлар электр зарядына ийе емес, жоқары өтиў қәбилетликлерине ийе. Бул қәсийетлер затлардың барлық көлеминиң қурылысын изертлеуге мүмкиншилик береді. Жыллылық (әсте қозғалатуғын) нейтронлардың де Бройль толқынларының узынлығы конденсацияланған орталықлардағы атомлар ямаса молекулалар арасындағы қашықлыққа тең болғанлықтан, нейтронлардың дифракциясының жәрдемінде затлардың атомлық-кристаллық қурылысын анықлаў мүмкиншилиги туўылады. Нейтронлардың массасының шамасы атомлардың массасына жақын, ал жыллылық нейтронларының кинетикалық энергиясының шамасы затлардағы атомлар аралық тәсир етисиў энергиясының шамасы менен қатар. Сонлықтан нейтронлардың серпимли емес шашыраўын изертлеулердің нәтийжелери бойынша атомлар менен молекулалардың динамикалық қәсийетлерин үйрениў мүмкин.

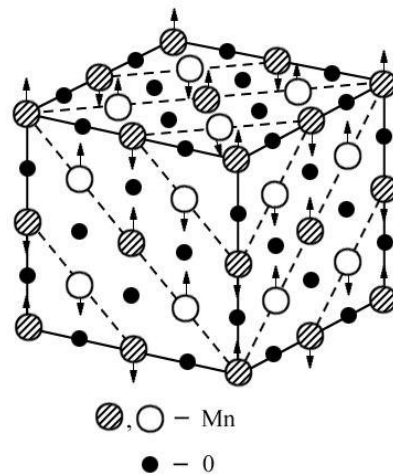
Нейтронларда магнит моментиниң болуы дифракциялық изертлеулерде затлардың магнитлик қурылысын, яғный атомлардың магнит моментлериниң шамаларын, олардың өз-ара жайласуўларын, кристаллографиялық көшерлерге салыстырғандағы бағытларын үйрениўге мүмкиншилик береді. Структуралық изертлеулердің сәйкес методын магнитлик нейтронография деп атайды. Хәзирги ўақытлары бул метод қатты денелердің магнитлик структурасын тиккелей анықлаўдың бирден бир усылы болып табылады.

2.19-сүўретте MnO кристалларының магнитлик қурылысын нейтронографиялық изертлеулердің нәтийжелери келтирилген. Өжире температураларында бул бирикпе парамагнетик болып табылады, ал $T_N = 80$ К Неель ноқатынан (ферромагнетиклер ушын Кюри температурасының аналогы) төменги температураларда MnO антиферромагнетик ҳалына өтеді. Антиферромагнетик ҳал марганец атомларының магнит моментиниң антипараллель тәртиплесиўи менен характерленеді. Кристалдың еки температурасында (Неель температурасынан жоқарыда хәм төменде) дифракцияға ушыраған нейтронлар дәстесиниң интенсивликлерин салыстырыў (2.2.19-а сүўрет) магнит моментлериниң тәртиплесиўиниң қосымша дифракциялық максимумлардың пайда болуына алып келетуғынлығын көрсетеді. Қосымша максимумлардың пайда болуы кристалдың магнитлик элементар қутышасының өлшемлериниң өзгергенлигине сәйкес келеді.

Нейтронографиялық изертлеулер барысында анықланған MnO кристаллының элементар қуышасындағы магнит моментлерінің тәртіплесіуі 2.19-b сұйретте келтирилген. Бул сұйреттегі қара дөңгелеклер кислород атомларына, ал боялмаған дөңгелеклер марганец атомларын сәйкес келеді. Стрелкалардың жәрдемінде марганец атомларының магнит моментлерінің бағыттары көрсетілген.



2.19-a сұйрет. MnO кристалларының магниттік структурасын 80 K хәм 293 K температураларда нейтронлардың дифракциясының жәрдемінде изертлеу барысында алынған нәтижелер.



2.19-b сұйрет. MnO кристалларының элементар қуышасындағы марганец атомларының магнит моментлерінің өз-ара жайласыулары. Стрелкалардың жәрдемінде магнит моментлерінің бағыттары көрсетілген.

Микробөлекшелердің толқынлық қасиетлерін пайдаланатуғын және бир изертлеу областы электронлық микроскопия болып табылады. Қәлеген микроскоптың ажырата алыушылық қәбилетлиги

$$l_{min} = 0,61 \frac{\lambda}{n \sin \alpha}$$

формуласының жәрдемінде анықланады. Бул "Оптика" курсы бойынша белгили. Жоқарыда келтирилген формулада λ арқалы толқын узынлығы, n арқалы орталықтың сынуы көрсеткиши белгиленген, ал 2α шамасын апертуралық мүйеш деп атайды. l_{min} шамасы микроскоптың жәрдемінде пайда етилетуғын сұйреттегі бир биринен ажыратып көриу мүмкин болған еки ноқат арасындағы қашықтықтың минималлық мәниси. Оптикалық диапазонда $l_{min} \approx 0,4\lambda$ шамасын аламыз. Бул шаманың мәниси жүзлеген нанометрге тең.

Жақтылық толқынларының орнына электронлар толқынын пайдалансақ микроскоптың ажырата алыушылық қәбилетлиги мыңлаған есе артады. Бул жағдай электронлардың де Бройль толқынының толқын узынлығының жүдә киши екенлиги менен байланысly. Хәқыйқатында да тезлетиуши потенциалдың муғдары $U = 10$ кв болғанда де Бройль толқынының толқын узынлығы 0,0122 нм шамасына тең болады. Бул шама атомлардың характерли сызықты өлшемлеринен онлаған есе киши. Бирақ электронлық микроскоптарда жүдә жоқары болған ажырата алыушылықты пайда етиу сәти түсе бермейди. Себеби электрон микроскопындағы электронлар дәстелерин фокуслайтуғын электр хәм магнит линзалары әдеуір үлкен оптикалық кемшиликлерге - аберрацияларға ийе болады. Бирақ усы жағдайға

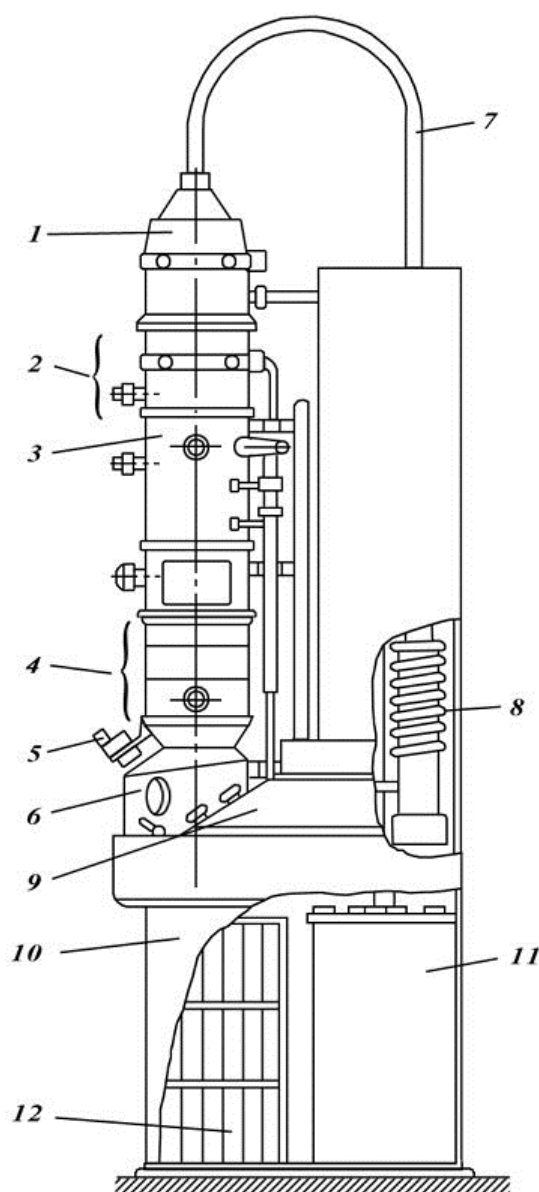
қарамастан қазіргі уақыттағы электрон микроскоптарының ажырата алыушылық қабілетліктері $l_{min} = 0,15 - 0,30$ нм шамаларын қурайды. Бул изертлениуші объекттердің атомлық және молекулалық құрылыстарын изертлеу үшін толық жеткілікті.

2.2.20-сұйретте электронлық микроскоптың дүзілісі схема түрінде көрсетілген. Бундай микроскоп изертленетуғын объект арқалы өтіуші электрон дәстелерінде істейді (рус тілінде "электронный микроскоп просвечивающего типа" деп атайды). Жоқары ажырата алыушылық қабілетлігіне ие қазіргі заман электронлық микроскоптарында тезлетіуші кернеудің шамасы 100 - 400 кВ. Бундай жағдайларда заттың бір неше онлаған нанометр қалыңлықтағы қатламдарын изертлеуге болады. Электрон микроскопының ішінде терең вакуум орнатылуы керек.

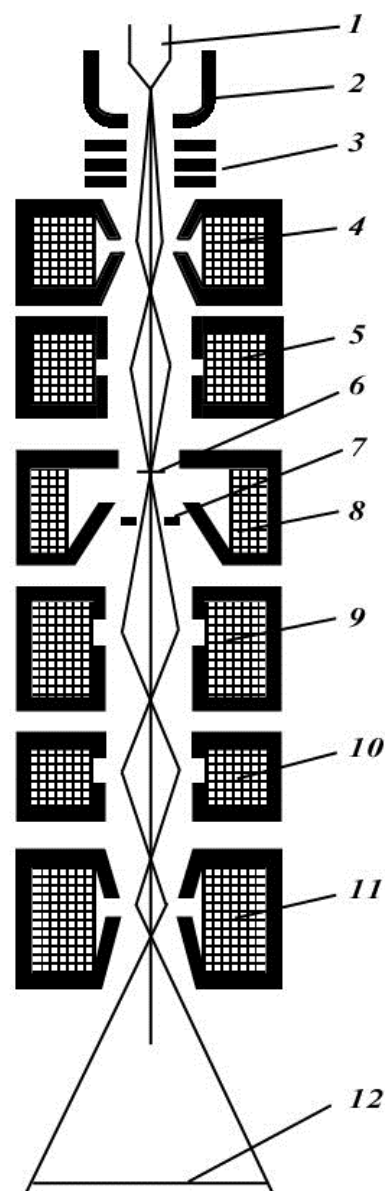
Электронлық микроскоптың ішіне орналастырылған электронлар үшін линзаның хызметін атқаратуғын арнаулы формаларға ие электромагниттен туратуғын дүзілісдерді конденсорлар деп те атайды.

Электрон микроскопында кристаллық объекттің үлкейтілген сұйретін былайынша алады. Кристалл арқалы тууы өткен электронлар дәстесі ямаса кристалдың белгілі бір кристаллографиялық тегісліктер семействосында дифракцияға ушыраған электронлардың дәстелерінің биік апертуралық диафрагманың жәрдемінде бөліп алынады. Буннан кейін бул дәсте микроскоптың проекциялық линзаларының жәрдемінде үлкейтіледі. Усыған байланысты электрон микроскопында дифракцияға ушыраған көп санлы электронлар дәстелерінің қалегенін экспериментатордың сайлап алу мүмкіншілігі бар. Бундай жағдайларда бір электрон дәстесінде көрінбейтуғын структуралық дефекттер екінші дәстегі пайдаланғанда айқын түрде көрінеді.

Электрон микроскопының оптикалық системасының схемасы 2.2.21-сұйретте келтірілген. Бірінші және екінші конденсорлар тәрәпіннен пайда етілген электронлар дәстесі изертлениуші объектте диаметрі кіші болған дақ пайда етеді (диаметрінің шамасы 1 ден 20 мкм ға шекем). Объект арқалы өтіуші электронлар дәстесі проекциялық линзалар системасының жәрдемінде катодолюминесценттік экранда объекттің сұйретін пайда етеді. Бул экранның астында фотопластинкалар жайластырылған арнаулы дүзіліс орнатылған болады. Бул фотопластинкаларға объекттердің сұйреті түсіріледі.



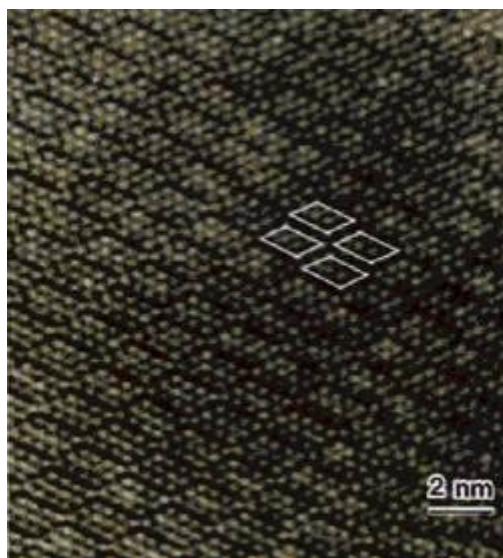
2.2.20-сұрет. Электронлық микроскоптың дүзилісі: 1 – электрон пушкасы; 2 – конденсорлық линзалар; 3 – объектив линза, 4 – проекциялық линза; 5 – экранда пайда болған сұретті көз бенен бақылау үшін арналған оптикалық дүзіліс, 6 – көріу айналары; 7 – жоғары вольтли кабель; 8 – вакуум системасы, 9 – басқаруы пульти; 10 – стенд; 11 – жоғары кернеу беріуші дүзіліс; 12 – линзалар үшін электр тоғы дереги.



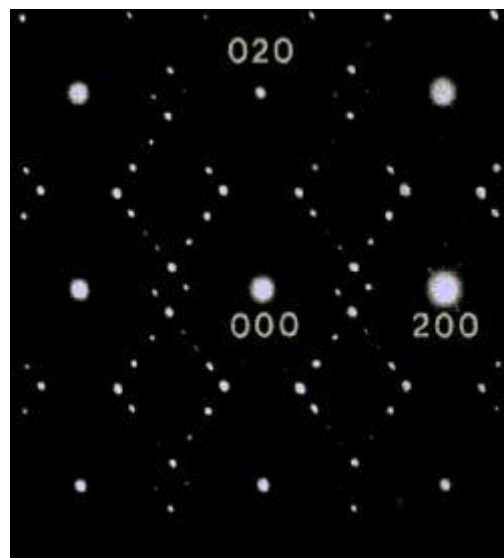
2.2.21-сұрет. Электрон микроскопының оптикалық схемасы: 1 - катод; 2 – фокуслаушы цилиндр, 3 – электронлар тезлеткіші; 4 – биринши конденсор (қысқа фокуслы); 5 – екинши конденсор (узын фокуслы); 6 – изертлениуші жуқа объект; 7 – объективтің апертуралық диафрагмасы; 8 - объектив; 9-11 арқалы проекциялық линзалар белгиленген; 12 – катодолюминесцентли экран.

Электрон микроскопының жәрдеминде алынған сұреттердің екеуі 2.2.22-сұретте келтирилген. 2.2.22-а сұрет жоғары ажырата алыушылық қәбилетке ийе электрон микроскопының жәрдеминде алынған алтын менен марганецтің қуймасының жуқа фольгасынан алынған. 2.2.22-б сұрет изертленип атырған үлгинің электронлар толқынындағы дифракциялық сұреті – электронограммасы

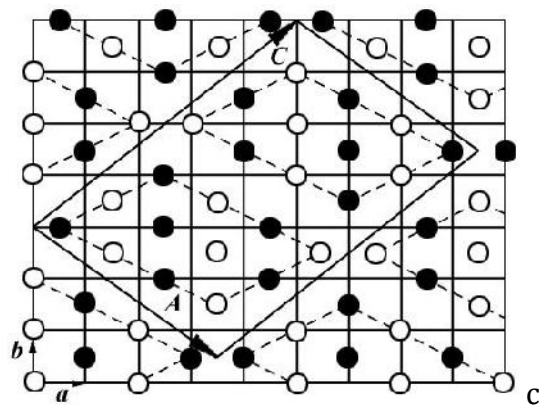
болып табылады. Усы эксперименталлық мағлыұматлар жәрдемінде алынған қуймадағы атомлардың жайласуы схемасы 2.22 с сұуретте келтирилген.



a)



b)



c)

2.2.22-а сұурет. Электрон микроскопында алтын-марганец қуймасының жуқа фольгасынан изертлеуде алынған нәтийжелер.

а) электрон-микроскопиялық сұурет,
б) изертленген кристаллық ұлгидеги электронлардың дифракциясы (электронোগрамма),

с) электрон микроскопында алынған эксперименталлық мағлыұматлар тийкарында дүзилген алтын-марганец қуймасының структурасының модели.

2-3-1. Толқын функциясы

Квантлық механикада бөлекшелердің қозғалысын тәрийиплеудің өзгешеліктері. Де Бройль гипотезасына сәйкес қозғалыушы бөлекше толқынлық қасиетке ийе болады. Егер бөлекше қозғалатуғын областтың өлшемлери L электронлардың де Бройль толқын узынлығы λ_{db} шамасы менен барабар ямаса оннан үлкен болса толқынлық қасиетти есапқа алмауға болмайды. Таллаулар $\lambda_{db} \geq L$ шәртиниң массасы киши хәм атомлардың сызықлы өлшемлериндей областта қозғалатуғын бөлекшелер ушын орынланатуғынлығын көрсетеди. Бундай бөлекшелерди ендигиден былай микробөлекшелер деп атаймыз

Толқынлық қасиетке ийе бөлекшердің қозғалысын тәрийиплеу ушын классикалық механиканың усылларынан пайдаланыуға болмайды. Классикалық механикада бөлекшениң халы оның қәлеген уақыт мометиндеги кеңисликлик координаталарын хәм тезлигин (импульсин) беріу менен анықланады. Бундай жағдайда бөлекшениң қозғалысы уақыттың өтиуи менен оның механикалық халының өзгериуи менен байланысly. Ал халлардың үзликсиз өзгериси бөлекшениң белгили бир траектория бойынша қозғалысына сәйкес келеди.

Микробөлекшеде толқынлық қасиеттиң болыуы оның координатасы менен импульсин бир уақытта дәл анықлауға мүмкиншилик бермейди. Бул Гейзенбергтің (2.16)-анықсызлық қатнасларынан келип шығады. Демек микробөлекшениң механикалық халы классикалық усыл менен берилмейди екен, ал оның қозғалысының траекториясы хаққындағы көз-қарасты микробөлекшелердің қозғалысларын тәрийиплеу ушын қолланыу принципаллық жақтан мүмкин емес.

Бөлекшениң қозғалысын тәрийиплеудің классикалық усылынан бас тартуы көпшиликте гүмән пайда етеди. Қозғалыс траекториясыз бөлекше кеңисликте қалай қозғалады? Мүмкин бизлер траекторияны тәрийиплеу ушын биз бөлекшениң қозғалысы менен байланысly болған базы бир параметрлерди өлшей алмайтуғын шығармыз? Бирақ олай емес екенлигин және бир атап өтемиз. Физиканың рауажланыу тарийхы бөлекшениң қозғалысын тәрийиплейтуғын классикалық усылдан, бөлекшениң траекториясы хаққындағы көз-қараслардан бас тартқан жағдайда ғана толқынлық қасиетлерге ийе микробөлекшелердің қозғалысын дурыс хәм толық тәрийиплеуге болатуғынлығын хәм усындай бөлекшелердің қатнасыуында өткерилетуғын экспериментлердің нәтийжелерин болжап айтыуға болатуғынлығын көрсетеди.

Толқынлық қасиетлерге ийе болған бөлекшелердің қозғалысын тәрийиплейтуғын теорияны дәслепки уақытлары толқын механикасы деп атады. Бирақ бул атама көп узамай квантлық механика атамасы менен алмастырылды.

Квантлық механика классикалық механикаға салыстырғанда улыумарақ физикалық теория болып табылады. Бирақ $\lambda_{db} \ll L$ шәрти орынланғанда бөлекшениң толқынлық қасиетлерин есапқа алмауға болады хәм сонлықтан квантлық механиканың беретуғын нәтийжелери классикалық механиканың беретуғын нәтийжелери менен бирдей болады. Бундай жағдайды физика илиминдеги сәйкеслик принципи талап етеди. Бул принцип бойынша қәлеген жаңа теория (жаңа теория ески теорияға салыстырғанда әдетте улыуамалығы басым болады) өзинен бурынғы теорияны бийкарламауы керек, ал жаңа теория бурынғы теорияны өзинің дара жағдайы сыпатында қамтып алыуы шәрт. Сонлықтан ракетаның космослық кеңисликтеги қозғалысын, суу асты кемесинің океан тереңликлериндеги орын алмастырыуларын, хәтте электронның электронлық-нур трубкасындағы қозғалысын тәрийиплеу ушын физика барлық уақытта денелердің қозғалысын тәрийиплеудің классикалық усылларынан пайдаланады. Тек

кеңісликлик масштаблар жүдә киши жағдайларда ғана (яғный атом, атом ядросы масштабларында ғана) квантлық механика микродүньяның қубылыстарын тәрийиплеу ушын бирден бир мүмкин болған аппаратқа айланады. Квантлық эффектлер атом системасы қәддинде көринетуғын болса да, бул эффектлер көплеген ҳазирги заман дүзилислериниң ҳәм әсбап-үскенелериниң жұмысларының өзгешеликлерин анықлайды ҳәм алдыңғы технологиялардың тийкарында жатады.

Квантлық механикадағы бөлекшелердиң қозғалысын тәрийиплеуге өтиу алдында теорияның тийкарында жататуғын бир қатар постулатларды келтирип шығарамыз.

Квантлық механиканың биринши постулаты: Квантлық механикада бөлекшениң ҳалы $\Psi(x, y, z, t)$ толқын функциясының жәрдеминде бериледи. Бул функция кеңісликлик координаталардың ҳәм ўақыттың функциясы болып табылады.

Квантлық механикада ислеп шығылған аппарат Ψ функциясы үстинде базы бир операциялар ислеудиң нәтийжесинде микробөлекшениң қозғалысы ҳаққындағы толық информацияларды береді.

Толқын функциясының итималлық мәниси. Қәлеген ўақыт моментиндеги бөлекшениң координаталары менен импульсин көрсетиу ҳәм траекториядан бас тартыу арқалы микробөлекшениң ҳалын бериудиң мүмкин емеслиги микробөлекшениң қозғалысын итималлық бойынша тәрийиплеу усылына алып келеди. Бул жағдай квантлық механикада бөлекшениң ҳалын анықлағанда берилген ўақыт моментинде кеңісликтиң ҳәр қыйлы ноқатларында усы бөлекшени табыудың итималлығын анықлау усылын көрсетиудиң керек екенлигин аңғартады.

1926-жылы М.Борн квантлық механикадағы толқын функциясының итималлық жақтан мәнисин келтирип шығарды:

$\Psi(x, y, z, t)$ толқын функциясының модулиниң квадраты $t \geq 0$ ўақыт моментинде бөлекшени кеңісликтиң координаталары x, y ҳәм z болған $M = M(x, y, z)$ ноқатында табыудың итималлығының тығызлығы w ны береді.

Демек

$$w = \frac{dP}{dV} = |\Psi|^2. \quad (2.3.1)$$

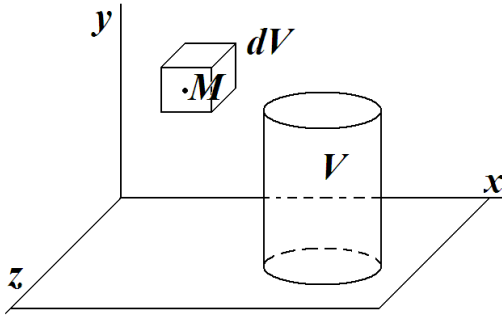
Улыўма жағдайда толқын функциясының комплексли функция болатуғынлығын атап өтемиз. Сонлықтан бул функция ҳақыйқый ҳәм жормал бөлимлерден турады. Усы жағдайға байланысly физикалық мәниске функцияның өзи емес, ал ҳақыйқый шама болған оның модулиниң квадраты $|\Psi|^2$ ийе. Толқын функциясының модулиниң квадратының мәнисин табыу ушын көпишлик жағдайларда толқын функциясы Ψ ди оның комплексли түйинлес функциясы болған Ψ^* функциясына көбейтеди. $\Psi \cdot \Psi^* = |\Psi|^2$ теңлигиниң дурыс екенлигин комплексли санлар теориясында дәлилленеди.

(2.3.12)-формулань түрлендирип

$$dP = |\Psi|^2 dV = \Psi \cdot \Psi^* dV \quad (2.3.2)$$

аңлатпасын аламыз. Бул аңлатпада dP арқалы бөлекшениң берилген квантлық ҳал ушын усы бөлекшени базы бир ўақыт моментинде M ноқатын қоршап турған dV элементар көлеминде табыудың итималлығы белгиленген (2.3.1-сүүрет).

3.1-сүрөт.



Бөлекшенин берилген кванттык хал ушын оны базы бир ўақыт моментинде M ноқатын қоршап турған dV элементар көлеминде табыўдың итималлығын есаплаў ушын арналған схема.

Бөлекшенин қозғалысын тәрийиплеў ушын N өлшемлі ($N = 1, 2$ хәм 3) \mathbb{R}^N Евклид кеңислигинен пайдаланамыз. Бундай кеңисликти физикада әдетте конфигурациялық кеңислик деп атайды хәм бул кеңисликте туўры мүйешли координаталар системасын алады. Бундай координаталар системасында бөлекшенин x көшери бағытындағы бир өшемлі қозғалысы ушын ($N = 1$) "көлем" элементи $dV = dx$, тегисликтеги еки өлшемлі ($N = 2$) қозғалыс ушын $dV = dx dy$, ал үш өлшемлі ($N = 3$) қозғалыс ушын $dV = dx dy dz$. Кеңисликлик симметрияға ийе мәселелерди шешкенде цилиндрлик (r, φ, z) , сфералық (r, θ, φ) координаталар системаларын пайдаланыў мүмкин. Бундай жағдайларда толқын функциясын усы координаталар менен ўақыттың функциясы сыпатында анықлайды.

(2.3.2)-формуладан $\Psi(x, y, z, t)$ толқын функциясы жәрдеминде тәрийипленетуғын бөлекшенин берилген кванттык халда бөлекшени шекли V көлеминиң қәлеген областында табыўдың итималлығы P ны есаплаўға болатуғынлығы келип шығады. Хәқыйқатында да

$$P = \int_V dP = \int_V w dV$$

болғанлықтан (2.3.1) менен (2.3.2) ден

$$P = \int_V \Psi \cdot \Psi^* dV$$

$$P = \int_V |\Psi|^2 dV \text{ ямаса } P = \int_V \Psi \cdot \Psi^* dV \quad (2.3.3)$$

теңликлериниң орынланатуғынлығы келип шығады. (2.3.1) – (2.3.3) формулалар кванттық механикадағы толқын функциясының итималлық ямаса статистикалық мәнисиниң бар екенлигин анықлайды.

Толқын функцияларының қәсийетлери. Егер (2.3.3) кеңислиги сыпатында барлық \mathbb{R}^N кеңислигин алсақ (бул кеңислик ушын $V \rightarrow \infty$), онда барлық кеңисликте бөлекшени табыўдың итималлығы 1 ге тең болады. Демес толқын функциясының итималлықлық мәнисинен

$$\int_{V \rightarrow \infty} |\Psi|^2 dV = 1 \text{ ямаса } \int_{\mathbb{R}^N} \Psi \cdot \Psi^* dV \quad (2.3.4)$$

екенлиги келип шығады. (2.3.4)-шәртти толқын функциясын нормировкалаў шәрти деп атайды, усы шәртти қанаатландыратуғын толқын функциясын нормировкаланған толқын функциясы деп атаймыз.

Квантлық механиканың базы бир мәселелерінде (2.3.4) типіндеги нормировка шәрти орынланбауы мүмкін. Бундай мәселелерде бөлекше шексизликтен қозғалып келеди хәм шексизликке алыслап кетеди. Сонлықтан бундай мәселелерде толқын функциясының модулинің квадраты шексизликте нолге умтылмайды хәм (2.3.4) шәртиндеги интеграл тарқалыушы интегралға айланады. Бундай толқын функциясына мысал ретінде еркин қозғалыушы денениң квантлық халды тәрийиплейтуғын толқын функциясы де Бройльдың тегис толқыны болған толқын функциясын көрсетиуіге болады. Нормировкаланбаған толқын функцияларын пайдаланғанда толқын функциясының модулинің квадратының мәніси әхмийетли емес, ал кеңисликтің еки ноқатындағы модуллеринің квадратының қатнасы әхмийетли. Бул қатнас кеңисликтің усы еки ноқатлары қасында табыудың итималлықтарының қатнасын береді. Нормировкаланбаған толқын функциясы қатнасуғын мәселелерде нормировка шәртинің базы бир аналогын итималлықтың ағысының тығызлығын пайдалануы жолы менен алыу мүмкін. Бул физикалық шаманың анықламасы хәм оның толқын функциясы менен байланысы 3.3-параграфта келтирилген.

Толқын функциясының итималлық мәніси квантлық механиканың мәселелеріндеги толқын функцияларына базы бир шеклерди ямаса шәртлерди белгилеп береді. Бул стандарт шәртлерди толқын функциясының регулярлық шәртлери деп атайды. Бун шәртлер өз ишине төмендегилерди алады:

1. Толқын функциясының шеклилик шәрти. Толқын функциясы (2.3.3)- хәм (2.3.4)-интеграллар тарқалыушы интеграллар болып кететуғындай шексиз үлкен мәніслерди қабыл ете алмайды. Солай етип бул шәрт толқын функциясының квадратлық интегралланатуғын функция болыуын талап етеді. Дара жағдайларда нормировкаланған толқын функциялары қатнасуғын мәселелерде толқын функциясының модулинің квадраты шексизликте нолге умтылыуы керек.

2. Толқын функциясының бир мәніслиги шәрти. Толқын функциясы координаталар менен уақыттың бир мәнісли функциясы болыуы керек. Себеби бөлекшени табыудың итималлығының тығызлығы хәр бир ноқатта бир мәнісли анықланыуы لازым. Цилиндрлик хәм сфералық координаталар системаларын пайдаланатуғын мәселелерде бир мәніслик шәрти мүйешлик параметрлер бойынша толқын функцияларының дәуирлилигинің пайда болыуына алып келеді.

3. Толқын функциясының үзликсизлик принципі. Уақыттың қәлеген моментінде толқын функциясы кеңисликлик координаталардың үзликсиз функциясының болыуы шәрт. Соның менен бирге толқын функцияларының дара тууындылары болған

$$\frac{\partial \Psi}{\partial x}, \frac{\partial \Psi}{\partial y} \text{ хәм } \frac{\partial \Psi}{\partial z}$$

функцияларында үзликсиз болыуы керек. Толқын функцияларының бул дара тууындылары тек сийрек ушырасатуғын идеалластырылған күш майданлары бар мәселелерде кеңисликтің айырым ноқатларында үзилиске түседі. Бул ноқатларда бөлекше қозғалатуғын күш майданын тәрийиплеуши потенциал функция екинши әулад үзилиске түседі.

Квантлық халлардың суперпозиция принципі. Квантлық халларың ең әхмийетли қәсийетлеринің бирин келтирип шығарамыз. Бул жағдай толқын функциясы ушын Шредингер теңлемесинің сызықлылығынан келип шығады (бул хәққында толығырақ келеси параграфта айтылады). Теңлемениң сызықлылығынан егер бөлекше Ψ_1 толқын функциясы жәрдемінде тәрийипленетуғын квантлық

халда хәм Ψ_2 толқын функциясының жәрдемінде тәрийипленетуғын басқа квантлық халда да туратуғын болса, онда бөлекшениң

$$\Psi = C_1 \Psi_1 + C_2 \Psi_2 \quad (2.3.5)$$

толқын функциясы менен тәрийипленетуғын квантлық халда да тура алатуғынлығы келип шығады. Бул формулада C_1 менен C_2 арқалы улыўма жағдайда комплексли болатуғын шамалар белгиленген.

Демек қәлеген сандағы квантлық халлардың суперпозициясы (қосындысы) ҳаққында да гәп етиўге болады, яғный

$$\Psi = C_1 \Psi_1 + C_2 \Psi_2 + \dots + C_N \Psi_N = \sum_{n=1}^M C_n \Psi_n \quad (2.3.6)$$

толқын функциясы менен тәрийипленетуғын квантлық халдың да болатуғынлығы ҳаққында айтыўға болады деген сөз. Бундай халда C_n коэффициентиниң модулиниң квадраты Ψ толқын функциясы менен анықланатуғын система үстинде өлшеўлер өткергенде оның Ψ_n толқын функциясы менен тәрийипленетуғын халда турғанлығының итималлығына тең. Сонлықтан нормировкаланған толқын функциялары ушын

$$\sum_{n=1}^N |C_n|^2 = 1.$$

Халлардың суперпозициясының квантлық механикалық суперпозиция принципи классикалық физикада аналогқа ийе емес. Ҳақыйқатында да классикалық теория бойынша еркин бөлекше ўақыттың берилген моментинде тек бир бағытта ямаса басқа бир бағытта қозғалыўы мүмкин.

Ал ҳалы толқын функциясы менен тәрийипленетуғын квантлық бөлекшениң қай тәрепке қарай қозғалатуғынлығы де Бройлдин еки тегис толқынының суперпозициясы болып табылады

$$\Psi(x, t) = \left(C_1 e^{\frac{i}{\hbar} p x} + C_2 e^{-\frac{i}{\hbar} p x} \right) e^{-\frac{i}{\hbar} E t}.$$

Бундай бөлекше бир ўақытта x көшери бағытында оң тәрепке қарай да, шеп тәрепке қарай да қозғалады. Классикалық механика бойынша бундай аўхалдың орын алыўы ҳеш бир ақылға сәйкес келмейди. Квантлық механика көз-қараслары бойынша бул жағдай мынаны аңғартады: Усындай халда туратуғын бөлекшениң қозғалыс бағытын анықлаў бойынша тәжирийбелер сериясын өткергенде x көшери бағытында оң тәрепке қарай қозғалатуғынлығы ҳаққында $P_1 \sim |C_1|^2$ итималлығы менен, ал қарама-қарсы бағытта қозғалатуғынлығын ҳаққында $P_2 \sim |C_2|^2$ итималлығы менен жуўап алынады.

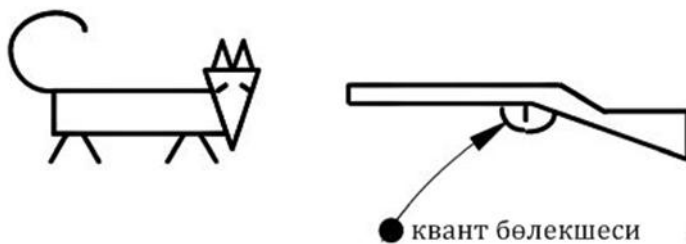
Тап сол сыяқлы x хәм y бағытларында тарқалатуғын де Бройль толқынларының суперпозициясы болатуғын халда

$$\Psi(x, y, t) = \left(C_1 e^{\frac{i}{\hbar} p x} + C_2 e^{\frac{i}{\hbar} p y} \right) e^{-\frac{i}{\hbar} E t}$$

хәм "бөлекше қай бағытта қозғалып баратыр" деген сораўға бир мәнисли жуўап жоқ. Бөлекше x бағытында да, y бағытында да қозғалмақта деген сөз бөлекше x хәм y бағытлары ортасындағы биссектриса бағытында қозғалып баратыр деген мәнини бермейди. Бул жағдайда биз тек x бағытында бөлекше қандай да бир итималлық пенен, ал y көшериниң бағытында бөлекше екінши бир итималлық пенен қозғалады деп ғана айта аламыз. Усындай нәтийже бөлекшениң қозғалыс бағытын анықлаў ушын өткерилген өлшеўлер сериясында алынды.

Квантлық механиканың әпиўайы ғана сораўға сондай етип жуўап бериўи теориялық абсотрактлик нәтийже болып табылмайды. Усыған байланысly квантлық компьютерлерин дәретиў мәселелери бойынша шуғылланып атырған ҳәзирги заман информациялық технологияларда тек еки ҳалға ("0" хәм "1") ийе логикалық элементлерди емес, ал нол менен бирдиң базы бир итималлықларға ийе суперпозициясы ҳалларында тура алатуғын логикалық элементлерди дәретиў бойынша жумыслар исленбекте. Бундай элементлер компьютерлердиң жумыс ислеў принциплерин пүткиллей өзгертеди хәм информацияны қайта ислеў ямаса физикалық мәселелерди шешиўде есаплаўларды тезлететуғын хәм жумыслардың нәтийжелилигин жоқарылататуғын алгоритмлерди дәретиўге имканиятлар туўдырады.

Берилген физикалық шама анық мәниске ийе болатуғын хәм ҳаллардың суперпозициясынан алынатуғын ҳаллардың мүмкин болыўы квантлық механиканың өзине тән өзгешеликлериниң бири болып есапланады. Бундай өзгешеликтиң бар екенлигинен квантлық механика классикалық механикадан принципиаллық айырмашылыққа ийе болып шығады. Бир бөлекшениң усындай "араласқан" ҳалын классикалық механиканың тилинде тәрийиплеў мүмкин емес. Сонлықтан бир ўақытта классикалық хәм квантлық объектлер болып табылатуғын системаларды үйрениўдиң кереги жоқ. Бундай системаларда шешиў мүмкин емес қарама-қарсылықлар пайда болады. Тап усындай қарама-қарсылықлардың бирин Э.Шредингер тәрәпинен усынылған парадокс айқын көрсете алады. Бул парадоксты "пышық парадоксы" деп атайды.



3.2-сүўрет.
Шредингер пышығын
демонстрациялайтуғын схема.

Мейли 3.2-сүўретте келтирилген жабық системада иши көринбейтуғын базы бир "қуты" ның ишинде (ямаса қапшықтың) ишине пышық салынған болсын. Пышыққа қарай оқланған мылтық атыўға таяр турсын. Бизиң алдымызда классикалық объектлерден туратуғын система жайласқан. Енди мылтықтың қулағына қарай толқынлық қәсийетке ийе қозғалыўшы микробөлекшени жиберейик. Квантлық бөлекше мылтықтың қулағына келип тийсе мылтық атылады хәм пышық өледі.

Мейли бизиң бөлекшемиз Ψ_1 толқын функциясы жәрдеминде тәрийипленетуғын биринши квантлық ҳалда турған хәм бул ҳалда мылтықтың қулағының қасында бөлекшени табыўдың итималлығы нолге тең болсын. Демек микробөлекше биринши ҳалда турған болса, онда қутыдағы пышық тири деген сөз.

Ψ_2 толқын функциясы менен тәрийипленетуғын бөлекшениң басқа да ҳалы болсын. Бул квантлық ҳалда мылтықтың қулағының қасында микробөлекшени

табыўдың итималлығы жоқары, дерлик бирге тең болсын. Бундай жағдайда пышықтың тири калмайтұғынлығы таң қаларлық емес.

Қаллардың суперпозициясы принципи бойынша микробөлекше биринши хәм еккинши қаллардың суперпозициясынан туратуғын хәм

$$\Psi = \frac{1}{\sqrt{2}} \Psi_1 + \frac{1}{\sqrt{2}} \Psi_2 \quad (2.3.7)$$

толқын функциясы менен тәрийипленетуғын қалда да тура алады. Бундай қалда бөлекше 1-қалда да, 2-қалда да бирдей итималлық пенен туратуғынлығы өз-өзинен түсиникли. Бирақ бул жерде (2.3.7)-толқын функциясы менен тәрийипленетуғын микробөлекшениң қалында пышық тири ме ямаса өли ме? деген қыйын сораўдың пайда болыўы тәбийий нәрсе. Пышық болса хәм тири хәм өли қалда тура алмайды. Солай етип пышық тири ме ямаса өли ме? Егер бир қутыны ашсақ пышықтың тири ямаса өли екенлигин козимиз бенен көремиз. Егер пышық өлген болса, онда ол қашан өлди деген сораў туўылады. Себеби қутыны ашпастан бурын пышық тири ме ямаса өли ме деген сораўға бир мәнисли жуўап жоқ еди. Сонда пышық қутыны ашқан ўақытта өлген болама? Бул сораўлардың ҳеш бирине де жуўап жоқ. Себеби мәселеде классикалық объект пенен квантлық объекти аралысқан корректли емес система талқыланған еди.

3.1-мәселе. Сфералық симметрияға ийе болған күш майданында орайдын r қашықлығында қозғалатуғын микробөлекшениң толқын функциясы

$$\Psi(r, t) = A \exp\left(-\frac{r}{a}\right) \exp\left(-\frac{i}{\hbar} E t\right)$$

түрине ийе болсын. Бул аңтападағы a арқалы мәниси белгили болған турақлы, ал E арқалы бөлекшениң ўақыттан ғәрезсиз болған толық энергиясы бегиленген

Анықлаў керек: а) Турақлы көбейтиўши A ның мәнисин;

б) бөлекшениң күш майданының орайынан ең итимал қашықлығын.

Шешими: а) A турақлысының мәнисин (2.3.4)-толқын функциясының нормировка шәртинен анықлаймыз. Буның ушын элеметар көлем ушын радиуслары r хәм $r + dr$ болған шар қатламының көлемин аламыз. Бундай қатамның көлеми $dV = 4\pi r^2 dr$ шамасына тең. Нормировка шәрти

$$\int_0^\infty |\Psi(r, t)|^2 4\pi r^2 dr = 4\pi A^2 \int_0^\infty \exp\left(-\frac{2r}{a}\right) r^2 dr = 1$$

аңлатпасына алып келеди. Интегралды есаплап

$$I = \int_0^\infty \exp\left(-\frac{2r}{a}\right) r^2 dr = \frac{a^3}{4}$$

нормировка шәртинен

$$A = \frac{1}{\sqrt{\pi a^3}}$$

екенлигине ийе боламыз.

б) Күшлик орайдан бөлекшениң ең итимал қашықлығын биз орайдын r қашықлығында, яғнай бөлип алынған шар қатламында бөлекшени табыўдың итималлығын есаплаў арқалы табамыз. Бул итималлық былайынша есапланады

$$dP = |\Psi|^2 4\pi r^2 dr = f(r) dr.$$

Бул жерде

$$f(r) = \frac{4r^2}{a^3} \exp\left(-\frac{2r}{a}\right).$$

$\frac{df}{dr}$ туўындысын нолге теңеп $r = a$ экстремаллық ноқатын табамыз. Бул ноқатта $f(r)$ функциясы масимумына жетеди. Орайдан тап сол $r = a$ қашықлығында бөлекшени табыўдың итималлығы ең үлкен мәниске ийе болады. Бул қашықлықтың мәниси ўақыттың өтиўи менен өзгериске ушырамайды.

3.2-мәселе. $t = 0$ ўақыт моментинде x көшери бойлап қозғалыўшы бөлекшениң квантлық ҳалды тәрийиплейтуғын толқын функциясы

$$\Psi(x, 0) = A \exp\left(-\frac{x^2}{a^2} + ibx\right)$$

түрине ийе болсын. Бул аңлатпада A , a ҳәм b шамалары белгили болған ҳақыйқый константалар.

а) толқын функциясының ҳақыйқый бөлиминиң ҳәм б) толқын функциясының модулиниң квадратының x координатасынан ғәрезлигин анықлаңыз.

Шешими: а) Толқын функциясының ҳақыйқый бөлимин табамыз:

$$\text{Re}\Psi = \text{Re}\left\{A \exp\left(-\frac{x^2}{a^2}\right) \exp(i \cdot b \cdot x)\right\} = A \exp\left(-\frac{x^2}{a^2}\right) \text{Re}\{\exp(i \cdot b \cdot x)\}.$$

Комплексли санлар теориясындағы Эйлер формуласынан

$$\text{Re}\Psi = \frac{A}{2} \exp\left(-\frac{x^2}{a^2}\right) \cos bx$$

екенлигине ийе боламыз.

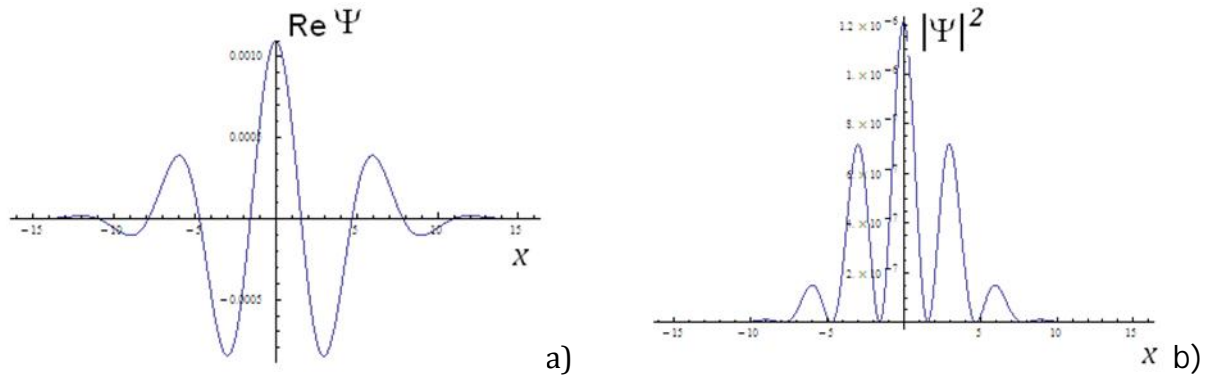
б) Толқын функциясының модулиниң квадратын анықлаймыз:

$$|\Psi|^2 = \Psi^* \Psi = A \exp\left(-\frac{x^2}{a^2} - i \cdot b \cdot x\right) A \exp\left(-\frac{x^2}{a^2} + i \cdot b \cdot x\right).$$

Буннан

$$|\Psi|^2 = A^2 \exp\left(-\frac{2x^2}{a^2}\right).$$

Табылған ғәрезликлер сапалық түрде 3.3-сүўретте келтирилген.



3.3-сүрет. 3/2-мәселедегі толқын функциясының хақыйқый бөлегинің (a) хәм модулинің квадратының x координатасынан ғәрезлиги (b).

2-3-2. Шредингер теңлемеси

Бөлекше қозғалатуғын күш майданының структурасын биле отырып бул бөлекшениң квант-механикалық халын тәрийиплеўши толқын функциясын қалай анықлаўға болады? Ўақыттың басланғыш моментиндеги толқын функциясын билип толқын функциясының ўақытқа байланыслы эволюциясын қалай сыпатлаўға болады? Бул сораўларға жуўапты 1926-жылы Э.Шредингер тәрепинен келтирилип шығарылған релятивистлик емес квантлық механиканың тийкарғы теңлемеси береді. Бундай теңлемени Шредингер теңлемеси деп атаймыз.

Биз ҳәзир скаляр потенциал майдандағы қозғалыўшы массасы m болған бөлекшени қараймыз. Оның потенциал функциясын $U(x, y, z, t)$ арқалы белгилеймиз. Бундай жағдайда бөлекше $F = -gradU$ күш майданында қозғалады хәм сәйкес толқын функциясы Ψ арқалы белгилеймиз. Шешими усы толқын функциясы болған Шредингер теңлемеси былайынша жазылады:

$$i\hbar \frac{\partial \Psi}{\partial t} = -\frac{\hbar^2}{2m} \Delta \Psi + U\Psi. \quad (2.3.8)$$

Бул теңлемеді $i = \sqrt{-1}$ арқалы жормал бирлик белгиленген, ал \hbar арқалы рационаластырылған Планк турақлысы белгиленген. Δ стандарт символы Лапластың дифференциал операторын аңлатады. Бул оператор декарт координаталар системасында былайынша жазылады

$$\Delta \equiv \nabla^2 = \frac{\partial^2}{dx^2} + \frac{\partial^2}{dy^2} + \frac{\partial^2}{dz^2}. \quad (2.3.9)$$

Улыўма жағдайда квантлық механиканың мәселелеринде дара туўындылы (2.3.8)-дифференциал теңлеме толқын функциясына қойылатуғын базы бир басланғыш хәм шегаралық шәртлерди есапқа алған ҳалда шешиледи.

Басланғыш шәрт $t = 0$ ўақыт моментиндеги толқын функциясының мәнисин береді.

Шегаралық шәртлер толқын функциясының регулярлығының нәтийжеси болып табылады. Бул жағдай толқын функциясының үзликсизлигин, бир мәнислигин хәм басқа да бир қатар қәсийетлерин тәмийинлейди. Бул шәртлер областлардың шегаралары ушын келтирилип шығарылады. Бул шегараларда потенциал функция U биринши хәм екинши әўлад үзиліслерге түседі. Усы шәртлерге толқын

функциясының кеңістіктің шексіз алыстағы нүктелеріндегі толқын функцияларына қойылатуғын шарттар де кіреді. Бул (2.3.4) нормировкасының орынланыуын тәміінлейді.

Ньютоның классикалық механикасының ызымлары, термодинамиканың ызымлары, Максвеллдің электродинамика теңлемелері хәм басқа да тийкарғы физикалық теңлемелер сыяқлы Шредингер теңлемесі де басқа қатнастардан келтирилип шығарылмайды. Оны базы бир илимий қағыйда, ызым сыпатында қабыл етиу керек. Оның дурыслығы Шредингер теңлемесі жәрдемінде орынланған есаплаулардың эксперименттер нәтижелері менен сәйкес келиуінен дәлилленеді. Бундай сәйкестің бар екенлігі келиуішілік атомлық хәм ядролық физиканың көпшілік қубылыстары ушын анық дәллілленді. Шредингер теңлемесі жәрдемінде болжап айтылған квантлық эффекттер оғада көп техникалық дүзилістердің, әсбаптардың, технологиялардың тийкарында жатыр.

Шредингер теңлемесі де Бройль гипотезасы хәм оннан келип шығатуғын материяның корпускулалық-толқынлық дуализмі менен тығыз байланысly. Қақыйқатында да тиккелей тексеріудің жәрдемінде кинетикалық энергиясы $E = \frac{p^2}{2m}$ болған бөлекше күш майданлары жоқ орында x бағытында қозғалғанда сәйкес

$$i\hbar \frac{\partial \Psi}{\partial t} = -\frac{\hbar^2}{2m} \frac{\partial^2 \Psi}{\partial x^2} \quad (2.3.10)$$

түрінде жазылатуғын Шредингер теңлемесінің шешімі

$$\Psi(x, t) = A \exp \left[-\frac{i}{\hbar} (Et - px) \right] \quad (2.3.11)$$

толқын функциясы болып табылады. Бундай толқын функциясы тегіс де Бройль толқынына сәйкес келеді. Бул факт Шредингер теңлемесі толқын теңлемесі болып табылады деп тастыйықлауға мүмкіншілік береді. Бул теңлеменің сызықлы екенлігі квантлық халлардың суперпозиция принципіне мууапық келеді. Ал суперпозиция принципінің физикалық мазмұны алдыңғы параграфта талқыланды.

Жоқарыда атап өтилгеніндей квантлық механика өз ишіне шектегі жағдайлар ушын классикалық механиканы да алады. Демек сәйкес шектегі өтиулерді квантлық механиканың тийкарғы теңлемесінде де әмелге асыруға болады деген сөз. Усындай шеклік түрлендіріулердің нәтижесінде Шредингер теңлемесі классикалық механиканың тийкарғы теңлемесіне өтиуі керек.

Квантлық механика менен классикалық механика арасындағы байланыс толқынлық хәм геометриялық оптика арасындағы байланысқа ұқсас. Екеуінде де бир теориядан екінші теорияға өтиу салыстырмалы үлкен толқын ұзынлықтарынан салыстырмалы киші толқын ұзынлықтарына өтиуге сәйкес келеді. Бундай жағдайларда күш майданының ямаса орталықтың оптикалық қасиетлерінің характерлі областының сызықлы өлшемлері L менен салыстырыу керек болады. Бул жуумақты төмендегі кесте иллюстрациялайды.

Толқынлық оптика	Квантлық механика
$\lambda \geq L$	$\lambda_{db} \geq L$
Геометриялық оптика	Классикалық механика
$\lambda \ll L$	$\lambda_{db} \ll L$

Жоқарыда келтирилгендей салыстырыуларда классикалық бөлекшениң қозғалыс траекториясы геометриялық оптикадағы жақтылық нурының аналогы болып табылады.

Бөлекше үшін де Бройль толқынының толқын ұзындығының киши екенлигин тәсир кванты \hbar ты мәселениң базы бир параметри деп есаплап, усы параметр бойынша $\hbar \rightarrow 0$ өтиўи менен тәмийинлеўге болады. Ҳақыйқатында да (2.2) де Бройль формуласында $\hbar \rightarrow 0$ шегинде де Бройль толқынының ұзындығы да нолге умтылады. Сонлықтан квантлық механиканың классикалық механикаға өтиў ушын шеклик өтиў (2.3.8) Шредингер теңлемесинде $\hbar \rightarrow 0$ шәрти орынланғанда әмелге асады. Бундай жағдайда Шредингер теңлемеси классикалық физиканың Гамильтон-Якоби теңлемесине айланады.

Шредингер теңлемесин шешиўдиң нәтийжесинде табылған толқын функцияларының жәрдемінде тек релятивистлик емес бөлекшелердиң квантлық ҳалларды тәрийиплеў мүмкин. Релятивистлик емес бөлекшелер жақтылықтың вакуумдағы тезлигинен көп киши тезликлер менен қозғалады. Квантлық механикада бөлекшелердиң релятивистлик тезликлерине өтиў 1928-жылы П.Дирак тәрәпинен әмелге асырылды. Бундай өтиў релятивистлик бөлекшелердиң квантлық ҳалларды сыпатлаў ушын принципиаллық жақтан пүткиллей жаңа физикалық идеяларды талап етти. Нәтийжеде релятивистлик квантлық механика деп аталатуғын теория дәретилди. Бул теорияның тийкарында Дирак теңлемеси турады. Бул теңлеме Шредингер теңлемесин арнаўлы салыстырмалық теориясы тийкарында улыўмаластырады ҳәм ҳәзирги ўақытлары квантлық электродинамикада ҳәм элементар бөлекшелер физикасында (жоқары энергиялар физикасында) кеңнен қолланылады.

2-3-3. Итималлықлар ағысының тығызлығы векторы

Шредингер теңлемеси кеңислик пенен ўақыттың симметриясын есапқа алады. Сонлықтан квантлық механиканың тийкаргы теңлемесинен массаның сақланыў нызамы, зарядтың сақланыў нызамы, басқа да сақланыў нызамын алыўға болады.

Бул жағдайды көрсетиў ушын S бети менен шегараланған V көлемин айырып аламыз. Ψ толқын функциясы менен берилген квантлық ҳалда бул көлемде бөлекшени табыўдың итималлығы

$$P = \int_V |\Psi|^2 dV$$

түринде анықланады. Егер бул итималлық ўақыттың өтиўи менен өзгеретуғын болса, онда S бети арқалы итималлықтың ағысы I диң бар екенлигин болжаўға болады. Бул ағыс P итималлығының өзгерисине алып келеди:

$$\frac{dP}{dt} = I. \quad (2.3.12)$$

Итималлық ағысы I ды барлық S бети бойынша тарқалған деп есаплап итималлық ағысының тығызлығы векторы болған \vec{j} векторын киргиземиз. Оның мәнисин былайынша анықлаймыз

$$I = - \oint_S \vec{j} \cdot \vec{dS}. \quad (2.3.13)$$

Бул аңлатпада $\vec{dS} = dS \vec{n}$ хәм \vec{n} арқалы сыртқы нормалдың бирлик векторы белгиленген. (2.3.13) аңлатпсының оң тәрәпиндеги минус белгиси сырттан итималлық ағысы киргенде V көлеміндегі P итималлығының артатуғынлығын, ал итималлық ағысының бағыты V көлемінен сыртқа қарай болғанда P итималлығының кемейетуғынлығын аңлатады.

(2.3.12)- хәм (2.3.13)-аңлатпалардан итималлықтың өзгеріуі тезлиги ушын

$$\frac{dP}{dt} = - \oint_S \vec{j} \cdot \vec{dS} \quad (2.3.14)$$

интеграллық қатнасын аламыз.

$$\oint_S \vec{j} \cdot \vec{dS} = \int_V \text{div } \vec{j} dV$$

Остроградский теоремасы бойынша (2.3.14)-аңлатпа төмендегідей түрге түрлендириледі

$$\int_V \left(\frac{\partial |\Psi|^2}{\partial t} + \text{div } \vec{j} \right) dV = 0. \quad (2.3.15)$$

Бул аңлатпадан V көлемінің ықтыярлы болғанлығынан итималлық майданы ушын үзликсизлік теңлемеси келип шығады. Үзликсизлік теңлемеси былайынша жазылады:

$$\frac{\partial |\Psi|^2}{\partial t} + \text{div } \vec{j} = 0. \quad (2.3.16)$$

(2.3.16)-аңлатпадағы биринши қосылыўшыны былайынша жазамыз

$$\frac{\partial |\Psi|^2}{\partial t} = \frac{\partial}{\partial t} (\Psi^* \Psi) = \Psi \frac{\partial \Psi^*}{\partial t} + \Psi^* \frac{\partial \Psi}{\partial t}. \quad (2.3.17)$$

Толқын функциясы Ψ

$$i\hbar \frac{\partial \Psi}{\partial t} = - \frac{\hbar^2}{2m} \Delta \Psi + U \Psi \quad (2.3.18)$$

Шредингер теңлемесинің шешими болғанлықтан, онда толқын функциясының комплексли түйинлеси Ψ^*

$$-i\hbar \frac{\partial \Psi^*}{\partial t} = -\frac{\hbar^2}{2m} \Delta \Psi^* + U \Psi^* \quad (2.3.19)$$

теңлемесін қанаатландырады. (2.3.19)-аңлатпаны Ψ^* ге, ал (2.3.19)-аңлатпаны Ψ ге көбейткеннен кейін бірінші аңлатпадан екіншісін алып таслаймыз. Бұндай жағдайда

$$i\hbar \left(\Psi^* \frac{\partial \Psi}{\partial t} + \Psi \frac{\partial \Psi^*}{\partial t} \right) = \frac{\hbar^2}{2m} (\Psi \Delta \Psi^* - \Psi^* \Delta \Psi) \quad (2.3.20)$$

аңлатпасына ийе боламыз. (2.3.20) ны (2.3.17)-формуланьң оң бөліміне қойып

$$\frac{\partial |\Psi|^2}{\partial t} = -\frac{i\hbar}{2m} (\Psi \Delta \Psi^* - \Psi^* \Delta \Psi) \quad (2.3.21)$$

аңлатпасын келтиріп шығарамыз. Енді векторлық анализдің белгилі болған формулаларын пайдаланыў арқалы төмендегідей екі теңлікті жазамыз:

$$\operatorname{div}(\Psi \operatorname{grad} \Psi^*) = \operatorname{grad} \Psi^* \operatorname{grad} \Psi + \Psi \Delta \Psi^*$$

хәм

$$\operatorname{div}(\Psi^* \operatorname{grad} \Psi) = \operatorname{grad} \Psi^* \operatorname{grad} \Psi + \Psi^* \Delta \Psi.$$

Буннан

$$\operatorname{div}(\Psi \operatorname{grad} \Psi^* - \Psi^* \operatorname{grad} \Psi) = \Psi \Delta \Psi^* - \Psi^* \Delta \Psi$$

қатнасын аламыз хәм бул қатнастың жәрдемінде (2.3.21) ди

$$\frac{\partial |\Psi|^2}{\partial t} + \operatorname{div} \left[\frac{i\hbar}{2m} (\Psi \operatorname{grad} \Psi^* - \Psi^* \operatorname{grad} \Psi) \right] = 0 \quad (2.3.22)$$

теңлемесіне түрлендіреміз. (2.3.22) менен (2.3.16) ны бір бири менен салыстырып итималлықтың ағысы ушын төмендегідей аңлатпа аламыз

$$\vec{j} = \frac{i\hbar}{2m} (\Psi \operatorname{grad} \Psi^* - \Psi^* \operatorname{grad} \Psi). \quad (2.3.23)$$

$\operatorname{grad} \Psi \equiv \nabla \Psi$ екенлігін есапқа алып (2.3.23) ти компакттырақ (жыйнақтырақ) формада жазамыз

$$\vec{j} = \frac{i\hbar}{2m} (\Psi \nabla \Psi^* - \Psi^* \nabla \Psi). \quad (2.3.24)$$

Ағыстың тығызлығы нолге тең болмаған жағдайлардағы квантлық механиканың мәселелерінде бөлекшени тап сондай бөлекшелердің ағысында қозғалады хәм олар (бөлекшелер) бір биринен ғәрезсіз күш майданы менен

тәсирлеседи деп есаплайға болады. Усындай интерпретацияны пайдаланғанда \vec{j} векторының ағысын усы векторға перпендикуляр бир бирлик беттен ўақыт бирлигинде өтип атырған бөлекшелердің ағысы деп қараў мүмкиншилигине ийе боламыз..

Бундай жағдайда (2.3.14)- хәм (2.3.16)-аңлатпаларды интеграллық хәм дифференциаллық формаларда жазылған бөлекшелер санының сақланыў нызамы сыпатында қараўға болады.

Егер (2.3.16)-аңлатпаны бөлекшениң массасы m ге көбейтсек, онда $\rho_m = m|\Psi|^2$ хәм $\vec{j}_m = m\vec{j}$ шамалары кеңисликте қозғалатуғын заттың массасының тығызлығы хәм ағысы мазмунуна ийе болады. Ал (2.3.16)-теңлемениң өзи болса тутас денелер механикасындағы үзликсизлик теңлемесине өтеди

$$\frac{\partial \rho_m}{\partial t} + \text{div} \vec{j}_m = 0. \quad (2.3.25)$$

Жоқарыда айтылғанлар менен бир қатарда қозғалыўшы бөлекшелер өзи менен q зарядын да алып жүре алады (егер бөлекшелер зарядланған болса). Онда $\rho_q = q|\Psi|^2$ хәм $\vec{j}_q = q\vec{j}$ шамаларын зарядтың көлемлик тығызлығы хәм электр тоғының тығызлығы деп есаплай аламыз. Сонлықтан (2.3.16)-аңлатпаның еки тәрәпин де q шамасына көбейтип электродинамикадағы белгили болған дифференциал формадағы электр зарядының сақланыў нызамын аламыз

$$\frac{\partial \rho_q}{\partial t} + \text{div} \vec{j}_q = 0. \quad (2.3.26)$$

3.3-мәселе. Квантлық ҳал

$$\Psi(x, t) = A \exp \left[-\frac{i}{\hbar} (Et - px) \right]$$

тегис де Бройль толқыны менен тәрийипленетуғын еркин қозғалыўшы бөлекше ҳаққындағы мәселедеги итималлықтың ағысының тығызлығын есаплаңыз.

Шешими: Комплекс түйинлес толқын функциясы

$$\Psi^*(x, t) = A \exp \left[+\frac{i}{\hbar} (Et - px) \right]$$

болған толқын функциясын жазып градиентлердің нолге тең емес қураўшыларын табамыз

$$(\text{grad} \Psi)_x = \frac{\partial \Psi}{\partial x} = \frac{ip}{\hbar} \Psi,$$

$$(\text{grad} \Psi^*)_x = \frac{\partial \Psi^*}{\partial x} = \frac{ip}{\hbar} \Psi^*.$$

Енди (2.3.23)-формула бойынша итималлықтың ағысы тығызлығының x қураўшысын табамыз

$$j_x = \frac{p}{m} \Psi \Psi^* = \frac{p}{m} A^2 = \frac{k\hbar}{m} A^2.$$

Бул аңлатпада $k = \frac{p}{\hbar} = \frac{2\pi}{\lambda_{db}}$ арқалы толқынлық сан белгиленген.

Солай етип қозғалыушы еркін бөлекше ушын итималлықтың ағысының тығызлығы де Бройль толқынының амплитудасына пропорционал екен. Буннан еркін бөлекшениң толқын функциясын $j_x = 1$ теңлигиниң жәрдемінде нормировкалауға болатуғынлығы келип шығады. Бундай жағдайда де Бройль толқынының толқын ұзынлығы

$$A = \sqrt{\frac{m}{p}} = \sqrt{\frac{1}{v}}$$

шамасына тең болады. Бул аңлатпада p арқалы бөлекшениң импульси, ал v арқалы тезлиги белгиленген.

2-3-4. Физикалық шамаларды операторлардың жәрдемінде беріу

Толқын функциясын билиу арқалы биз қарап атырған квантлық қалда тұрған бөлекшеге сәйкес келиуши қандай да бир физикалық шаманы өлшегенде алынатуғын нәтижени қалай болжауға болады деген сорау келип тууады. Қозғалыушы бөлекшелер менен байланысly болған физикалық шамалар қаққында информациялар алыу ушын квантлық механикада арнаулы математикалық аппарат ислеп шығылған. Бул математикалық аппарат физикалық шамалардың операторлары хәм олардың толқын функцияларына тәсириниң нәтижелери қаққындағы илимниң нәтижелерин пайдаланады.

М.Борнның, П.Дирактың хәм басқа да физиклердің жұмысларында квантлық механиканың екінши постулаты дөретилди. Бул постулат бойынша хәр бир физикалық шамаға усы физикалық шаманың белгилі бир операторы сәйкес келеди. Усындай жағдайда квантлық механикадағы операторлар арасындағы қатнастар классикалық механикадағы сәйкес физикалық шамалар арасындағы қатнастардай болады.

Бул постулаттың мәнісин ашып көрсетиу ушын бар қатар түсиниклер береміз. Оператор дегенимиз математикалық қағыйда болып табылады хәм бул қағыйда бойынша бир функцияны екінши функцияға түрлендиреміз. Операторды беріу дегенимиз сондай түрлендириудің рецептін беріу дегенди аңлатады. Бундай түрлендириулер қатарына дәслепки функцияны санға ямаса басқа функцияға көбейтиуди, функцияны дифференциаллауди, функцияның аргументлериниң орынларын алмастырып қойиуды хәм басқа да түрлендириулер киреди.

Квантлық механикада сәйкес оператордың белгиси ретінде хәриптиң үстине " \wedge " белгисін қояды. Мысалы \hat{x} арқалы x координатасының операторы, \hat{p}_x арқалы x көшеріндеги импульс операторының проекциясы, \hat{U} арқалы потенциал энергия операторы белгиленген. Оператор усы оператордан кейін жазылған функцияға тәсир етеди деп есапланады. Бундай функциялар сыпатында квантлық механикада толқын функциялары түсиниледи. Бундай жағдайда $\hat{a}\Psi = \hat{b}\Psi$ теңлиги ушын операторлардың $\hat{a} = \hat{b}$ теңлиги де орынланады.

Квантлық механикадағы тийкарғы физикалық шамалардың операторларын анықлаймыз.

1. **Координата операторы.** Бул оператордың толқын функциясына тәсири толқын функциясын сәйкес координатаға көбейтіуді нәзерде тұтады, яғни

$$\hat{x}\Psi = x\Psi, \quad \hat{y}\Psi = y\Psi, \quad \hat{z}\Psi = z\Psi.. \quad (2.3.27)$$

Жазыудың символлық операторлық формасында бул операцияларды жазыудың формасы

$$\hat{x} = x, \quad \hat{y} = y, \quad \hat{z} = z \quad (2.3.28)$$

түріне ийе болады. Бул формулаларды бірлестіріп классикалық механикадағы \mathbf{r} векторына сәйкес келетүгін $\hat{\mathbf{r}}$ операторын келтіріп шығарыу мүмкін. Бундай операторды әдетте құраушылары $\hat{x}, \hat{y}, \hat{z}$ болған базис бір вектор сыпатында қарайды. Сондықтан

$$\hat{\mathbf{r}} = i\hat{x} + j\hat{y} + k\hat{z} \quad (2.3.29)$$

формуласының жәрдеминде жазыуымыз мүмкін.

2. **Импульс операторы.** Координаталар бойынша дифференциаллау операцияларының жәрдеминде импульстің проекцияларының операторларын анықтаймыз. Бул анықлауды символлық операторлық формада

$$\hat{p}_x = -i\hbar \frac{\partial}{\partial x}, \quad \hat{p}_y = -i\hbar \frac{\partial}{\partial y}, \quad \hat{p}_z = -i\hbar \frac{\partial}{\partial z} \quad (2.3.30)$$

түрінде жазамыз. (2.3.30)-формулалардың үшеуін де импульстің векторлық операторы болған $\hat{\mathbf{p}} = i\hat{p}_x + j\hat{p}_y + k\hat{p}_z$ векторы түрінде жазамыз. Оны былайынша жаза аламыз

$$\hat{\mathbf{p}} = -i\hbar \nabla. \quad (2.3.31)$$

Бул формулада

$$\nabla = i \frac{\partial}{\partial x} + j \frac{\partial}{\partial y} + k \frac{\partial}{\partial z}.$$

Классикалық механикадағы

$$p^2 = p_x^2 + p_y^2 + p_z^2 = p_x p_x + p_y p_y + p_z p_z$$

аңлатпаны пайдаланып импульс квадраты операторы болған операторды

$$\hat{p}^2 = (\hat{p}_x)^2 + (\hat{p}_y)^2 + (\hat{p}_z)^2 = -\hbar^2 \left(\frac{\partial^2}{\partial x^2} + \frac{\partial^2}{\partial y^2} + \frac{\partial^2}{\partial z^2} \right) \quad (2.3.32)$$

түрінде анықтаймыз. Лаплас символын пайдаланып (2.3.32)-операторды компакттырақ түрде көшіріп жазамыз

$$\hat{p}^2 = -\hbar^2 \Delta. \quad (2.3.33)$$

3. Импульс моменти операторы. Бөлекшениң импульс моментин $\mathbf{L} = \mathbf{r} \times \mathbf{p}$ түрінде анықлайтуғын классикалық механиканың формуласы бойынша оның координата көшерлерине түсірілген проекцияларының былайынша жазамыз:

$$L_x = yp_z - zp_y, \quad L_y = zp_x - xp_z, \quad L_z = xp_y - yp_x.$$

Бул аңлатпаларды импульс моментинің проекциялары операторларын анықлайтуғын операторлық аңлатпаларға айландырамыз

$$\begin{aligned} \hat{L}_x &= \hat{y}\hat{p}_z - \hat{z}\hat{p}_y = -i\hbar \left(y \frac{\partial}{\partial z} - z \frac{\partial}{\partial y} \right), \\ \hat{L}_y &= \hat{z}\hat{p}_x - \hat{x}\hat{p}_z = -i\hbar \left(z \frac{\partial}{\partial x} - x \frac{\partial}{\partial z} \right), \\ \hat{L}_z &= \hat{x}\hat{p}_y - \hat{y}\hat{p}_x = -i\hbar \left(x \frac{\partial}{\partial y} - y \frac{\partial}{\partial x} \right). \end{aligned} \quad (2.3.34)$$

Импульс моментинің квадраты операторы

$$\hat{L}^2 = \hat{L}_x \hat{L}_x + \hat{L}_y \hat{L}_y + \hat{L}_z \hat{L}_z \quad (2.3.35)$$

қағыйдасы бойынша дүзе аламыз.

Квантлық механиканың сфералық симметрияға ийе болған мәселелерін r , θ хәм φ сфералық координаталар системасында шешкен қолайлы. Декарт координаталарынан сфералық координаталар системасына өткенде өзгеріушілерди алмастырыудың әпиұайы болған алмастырыу формулаларынан пайдаланады: $x = r \sin\theta \cos\varphi$, $y = r \sin\theta \sin\varphi$, $z = r \cos\theta$. Бундай жағдайда (2.3.34)-хәм (2.3.35)-формуларды

$$\begin{aligned} \hat{L}_x &= -i\hbar \left(\sin\varphi \frac{\partial}{\partial \theta} + \cot\theta \cos\varphi \frac{\partial}{\partial \varphi} \right), \\ \hat{L}_y &= -i\hbar \left(\sin\varphi \frac{\partial}{\partial \theta} - \cot\theta \cos\varphi \frac{\partial}{\partial \varphi} \right), \\ \hat{L}_z &= -i\hbar \frac{\partial}{\partial \varphi}, \quad \hat{L}^2 = -\hbar^2 \Delta_{\theta\varphi}. \end{aligned} \quad (2.3.36)$$

түріндеги формулаларға түрлендириу мүмкін. Бул жерде

$$\Delta_{\theta\varphi} = \frac{1}{\sin\theta} \frac{\partial}{\partial \theta} \left(\sin\theta \frac{\partial}{\partial \theta} \right) + \frac{1}{\sin^2\theta} \frac{\partial^2}{\partial \varphi^2}$$

арқалы сфералық координаталар системасындағы Лаплас операторының мүйешлик бөлими белгиленген.

4. Энергиялар операторы. Бөлекшениң кинетикалық энергиясы менен оның импульсинің квадратын байланыстыратуғын классикалық формула былайынша жазылады

$$E_K = \frac{p^2}{2m}.$$

Бул формула сәйкес операторлар арасындағы қатнасты жазыуға мүмкіншілік береді. Сонлықтан

$$\hat{E}_K = \frac{\hat{p}^2}{2m} = -\frac{\hbar^2}{2m} \Delta. \quad (2.3.37)$$

Егер бөлекше стационар күш майданында қозғалатуғын болса, онда оның потенциал энергиясы $U = U(x, y, z)$ кеңістіктің қалған нүктесінде анықталған. Сонлықтан \hat{U} арқылы белгіленетүгін потенциал энергияның операторы U функциясына көбейту операторы сыпатында анықланады, яғни

$$\hat{U} \cdot \Psi = U \cdot \Psi \text{ ямаса } \hat{U} = U. \quad (2.3.38)$$

Классикалық механикада бөлекшенің толық энергиясы оның кинетикалық хәм потенциал энергияларының қосындысына тең болғанлықтан квантлық механикада толық энергия операторы \hat{H} потенциал хәм кинетикалық энергиялар операторларының суммасы түрінде анықланады. Сонлықтан

$$\hat{H} = \hat{E}_K + \hat{U} = \frac{\hat{p}^2}{2m} + U.$$

(2.3.33)-формула бойынша импульстің квадраты үшін аңлатпаны ашып толық энергия операторын

$$\hat{H} = -\frac{\hbar^2}{2m} \Delta + U(x, y, z) \quad (2.3.39)$$

түрінде жаза аламыз.

Классикалық механикада координаталар менен импульс арқылы аңлатылған бөлекшенің толық энергиясын Гамильтон функциясы деп атайтуғын еді. Сонлықтан квантлық механикада толық энергия операторы болған \hat{H} операторын Гамильтон функциясының операторы ямаса гамильтониан деп атайды.

\hat{H} гамильтониан квантлық механиканың тийкарғы операторы деп аталады. Себеби бөлекшеге тәсір ететүгін күш майданының айқын түрін сайлап алу арқылы биз математика тилинде квантлық системаның өзине тән барлық өзгешеліктерін жаза аламыз. Сонлықтан релятивистік емес квантлық механиканың тийкарғы теңлемесі болған Шредингер теңлемесін де

$$i\hbar \frac{\partial \Psi}{\partial t} = \hat{H} \Psi \quad (2.3.40)$$

операторлық түрде жазуу мүмкін.

Квантлық механикадағы операторлық усулдың физикалық мазмұны квант-механикалық оператордың мүмкін болған түрлеріне бәзі бір шектерді қояды. Мейли f физикалық шамасының операторы \hat{F} болсын. Бундай жағдайда қалған Ψ_1 хәм Ψ_2 функциялары менен ықтыярлы турақлылар C_1 менен C_2 үшін

$$\hat{F}(C_1 \Psi_1 + C_2 \Psi_2) = C_1 \hat{F} \Psi_1 + C_2 \hat{F} \Psi_2 \quad (2.3.41)$$

теңлигинің орынланыуы керек. Усындай қасиетке ийе операторларды сызықты операторлар деп атаймыз. Физикалық шамалардың операторларының сызықтылық қасиеті квантлық халлардың суперпозиция принципі менен тығыз байланысқан. Теорияда сызықты операторларды пайдаланғанда ғана суперпозиция принципі бузылмайды.

Физикалық шаманың операторы хызметін тек сызықты өзі өзіне түйінлес оператор атқара алады. Бундай операторды Эрмит операторы деп атаймыз. Тек усындай операторға ғана хақықый (комплексі емес) физикалық шама сәйкес келеді. Өзі өзіне түйінлес оператор деп өзінің түйінлес операторы менен сәйкес келетуғын операторға айтамыз. Бундай жағдайда ықтыярлы Ψ_1 хәм Ψ_2 функциялары ушын төмендегидей интеграллық теңлік орынланады

$$\int_{\mathfrak{R}} \Psi_1^* (\hat{\Phi} \Psi_2) dV = \int_{\mathfrak{R}} \Psi_2^* (\hat{\Phi} \Psi_1) dV. \quad (2.3.42)$$

Солай етип квантлық механикада хәр бир физикалық шамаға белгили бир сызықты өзі өзіне түйінлес оператор жазылады екен. Тиккелей тексерип көриу жолы менен жоқарыда келтирилген операторлардың барлығының да сондай қасиетлерге ийе екенлігине көз жеткеріуе болады.

Квантлық механикада қолланылатуғын тийкарғы операторларды төмендегидей кесте түрінде береміз.

Физикалық шама		Оператор
Координата	r x, y, z	r x, y, z
Импульс	p p_x, p_y, p_z	$-i\hbar \nabla$ $-i\hbar \frac{\partial}{\partial x}, -i\hbar \frac{\partial}{\partial y}, -i\hbar \frac{\partial}{\partial z}$
Импульстің орбиталық моменти (мүйешілік момент, импульс моменти операторы)	$L = [r \times p]$ $L_x = yp_z - zp_y,$ $L_y = zp_x - xp_z,$ $L_z = xp_y - yp_z$	$\hat{L} = -i\hbar [r \times \nabla]$ $\hat{L}_x = -i\hbar \left(y \frac{\partial}{\partial z} - z \frac{\partial}{\partial y} \right),$ $\hat{L}_y = -i\hbar \left(z \frac{\partial}{\partial x} - x \frac{\partial}{\partial z} \right),$ $\hat{L}_z = -i\hbar \left(x \frac{\partial}{\partial y} - y \frac{\partial}{\partial x} \right)$
Толық энергия	$E = \frac{p^2}{2m} + U(r)$	$\hat{H} = -\frac{\hbar^2}{2m} \Delta + U(x, y, z)$

3.4-мәселе. \hat{p}_x импульс проекциясы операторының өзі өзіне түйінлес оператор екенлігін шәртин тексерип көриңіз.

Шешими: Нормировкаланған хәм стандарт шәртлерди (мысал шексизліктегі шәртлерди) қанаатландыратуғын $\Psi_1(x, t)$ хәм $\Psi_2(x, t)$ толқын функцияларын қараймыз. Стандарт шәртлерге сәйкес $\Psi_{1,2}(\infty, t) = \Psi_{1,2}(x, t)$. Бөлеклерге бөлип интеграллаудың жәрдемінде

$$\int_{-\infty}^{\infty} \Psi_1^* (\hat{p}_x \Psi_2) dx = \int_{-\infty}^{\infty} \Psi_1^* \left(-i\hbar \frac{\partial \Psi_2}{\partial x} \right) dx = \frac{\hbar}{i} \Psi_1^* \Psi_2 \Big|_{-\infty}^{\infty} + \int_{-\infty}^{\infty} \Psi_2 \left(-i\hbar \frac{\partial \Psi_1^*}{\partial x} \right) dx =$$

$$= \int_{-\infty}^{\infty} \Psi_2 (\hat{p}_x \Psi_1)^* dx$$

екенлигине ийе боламыз. Солай етип биз

$$\int_{-\infty}^{\infty} \Psi_1^* (\hat{p}_x \Psi_2) dx = \int_{-\infty}^{\infty} \Psi_2 (\hat{p}_x \Psi_1)^* dx$$

екенлигин дәлилледик. (2.3.42)-аңлатпаға сәйкес бир өлшемлі жағдай үшін ($N = 1$) бул жағдай \hat{p}_x операторының өзі өзіне түйінлесігін дәлиллейді. Тап усындай жоллар менен $N = 2$ хәм $N = 3$ болған жағдай үшін да оператордың өзі өзіне түйінлес екенлігін дәлиллейге болады.

2-3-5. Операторлардың меншикли функциялары хәм меншикли мәнислери

Меншикли функциялардың тийкарғы қәсийетлери. Квантлық механикада берілген f физикалық шамасы қабыл ететуғын мәнислерди оның меншикли мәнислери деп атайды. Бундай мәнислерди табыу \hat{F} операторының меншикли функциялары менен сәйкес меншикли мәнислерин табыу бойынша математикалық мәселе менен тығыз байланықан.

Егер оператор менен базы бир функцияға тәсир еткенде тек санға көбейтилген сол функция келип шығатуғын болса, яғный

$$\hat{F}\Psi = f\Psi \quad (2.3.43)$$

теңлиги орынланса бундай функцияны \hat{F} операторының меншикли функциясы, ал f санын оператордың меншикли мәниси деп атайды.

Квантлық механикадағы операторлар бир емес, ал көп санлы меншикли функцияларға хәм сол функцияларға сәйкес меншикли мәнислерге ийе бола алады. Меншикли мәнислердің жыйнағын оператордың спектри деп атайды. \hat{F} операторының спектрин дискрет деп атайды, егер спектр $n = 1, 2, 3, \dots$ үшін f_n мәнислеринің көплигінен туратуғын болса. Бул мәнислер Ψ_n меншикли функциялардың жыйнағына сәйкес келеди, ал Ψ_n меншикли функциялары болса

$$\hat{F}\Psi_n = f_n\Psi_n, \quad n = 1, 2, 3, \dots \quad (2.3.44)$$

түріндегі теңлемелердің шешимлери болып табылады. Оператордың меншикли мәнислеринің спектри үзлексіз де болуы мүмкін. Бундай жағдайда (2.3.13)-аңлатпада f тиң мүмкін болған барлық мәнислери қатнасады. f тиң мүмкін болған мәнислери бир қатар интервалларда жататуғын жағдай үшін спектр айырым жолақлардан да туруы мүмкін.

Бир қатар жағдайларда \hat{F} операторының бир меншикли мәнисине бир емес, ал бир неше $\Psi_{n1}, \Psi_{n2}, \Psi_{n3}, \dots, \Psi_{nk}$ меншикли мәнислеринің сәйкес келиуі мүмкін. Бундай жағдайларды айныған жағдайлар (выржденные случаи), ал k санын айныу саны деп атайды.

(2.3.43)-аңлатпадан меншикли функциялардың базы бир турақлы шама дәллігінде анықланатуғынлығы көринип тур. Бул турақлының мәнісін әдетте меншикли функциялардың нормировка шәртинен анықлайды.

Квантлық механикадағы физикалық шамаларға сәйкес келетуғын операторлардың меншикли мәніслерінің барлық ұақытта да ҳақыйқый сан болып табылатуғынлығын хәм бул жағдайдың операторлардың өзи өзине түйинлесігіннен келип шығатуғынлығын дәлиллейміз. Мейли \hat{F} операторы өзи өзине түйинлес оператор, ал оның f меншикли мәнісіне сәйкес келетуғын Ψ функциясы оның меншикли функциясы болсын. Анықламасы бойынша Ψ функциясы

$$\hat{F}\Psi = f\Psi \quad (2.3.45)$$

теңлемесінің шешими болып табылады. Бул жерде комплексли түйинлес операциясын орышлап

$$(\hat{F}\Psi)^* = f^*\Psi^* \quad (2.3.46)$$

аңлатпасына ийе боламыз. Егер (2.3.42)-аңлатпада $\Psi_1 = \Psi_2 = \Psi$ теңлігін қойсақ, онда

$$\int_{\mathbb{R}^N} \Psi^* (\hat{F}\Psi)^* dV = \int_{\mathbb{R}^N} \Psi (\hat{F}\Psi)^* dV \quad (2.3.47)$$

интеграллық қатнасын аламыз. Бул қатнас (2.3.45) пенен (2.3.46) ны есапқа алғанда

$$f \int_{\mathbb{R}^N} \Psi^* \Psi dV = f^* \int_{\mathbb{R}^N} \Psi \Psi^* dV \quad (2.3.48)$$

түрине енеди. Буннан $f = f^*$ екенлігін ийе боламыз. Демек өзине түйинлес операторлардың меншикли мәніслері барлық ұақытта ҳақыйқый шама болып табылады.

Квантлық механикадағы операторлардың меншикли функцияларының әхмийетли болған ортогоналлық қасиетін дәлиллейміз. Егер өзи өзине түйинлес болған \hat{F} операторының хәр қыйлы мәністеги f_n хәм f_m меншикли мәніслеріне сәйкес келиуши еки меншикли функциялары Ψ_n хәм Ψ_m болса, онда олар төмендегі

$$\hat{F}\Psi_n = f_n\Psi_n \quad \text{хәм} \quad \hat{F}\Psi_m = f_m\Psi_m \quad (2.3.49)$$

теңлемелердің шешими болады.

Ψ_n хәм Ψ_m функциялары ушын жазылған \hat{F} операторының өзи өзине түйинлес болуының (2.3.42)-шәрті енді

$$\int_{\mathbb{R}^N} \Psi_n^* (\hat{F}\Psi_m) dV = \int_{\mathbb{R}^N} \Psi_m (\hat{F}\Psi_n)^* dV \quad (2.3.50)$$

түрине енді. (2.3.49) ды есапқа алсақ бул аңлатпадан

$$f_m \int_{\mathbb{R}^N} \Psi_n^* \Psi_m dV = f_n^* \int_{\mathbb{R}^N} \Psi_m \Psi_n^* dV \quad (2.3.51)$$

теңлигин аламыз. Өзи өзіне түйінлес болған оператор үшін $f_m = f_n$ екенлигин есапқа алсақ, онда (2.3.51)-аңлатпа

$$(f_m - f_n) \int_{\mathbb{R}^N} \Psi_n^* \Psi_m dV = 0 \quad (2.3.52)$$

түрине енеди. Егер $n \neq m$ болса, онда $f_m \neq f_n$ хәм (2.3.52)-аңлатпадан хәр қыйлы меншикли мәніслерге сәйкес келиўши меншикли функциялардың ортогоналлық шәртин аламыз

$$\text{Егер } n \neq m \text{ болса } \int_{\mathbb{R}^N} \Psi_n^* \Psi_m dV = 0. \quad (2.3.53)$$

Егер Ψ_n хәм Ψ_m функциялары бирге нормировкаланған болса, онда (2.3.53) ортогоналлық шәртин ортонормировкаланғанлық шәрти сыпатында жаза аламыз

$$\int_{\mathbb{R}^N} \Psi_n^* \Psi_m dV = \delta_{nm}. \quad (2.3.54)$$

Бул аңлатпадағы δ_{nm} шамасы Кронекер символы деп аталады. Егер $n \neq m$ болса $\delta_{nm} = 0$, ал $n = m$ болған жағдайларда $\delta_{nm} = 1$.

Сызықлы өзи өзіне түйінлес операторлардың математикалық теориясында квантлық механиканың операторларының меншикли функцияларының системасының функциялардың толық системасы болып табылатуғынлығын дәлиллейди. Бул қәлеген Ψ толқын функциясының өзиниң меншикли функциялары бойынша қатарға жайылатуғынлығын көрсетеди. Бул қатарды былайынша жазамыз

$$\Psi = \sum_n C_n \Psi_n. \quad (2.3.55)$$

Бул қатардың коэффициентлерин (улыўма жағдайларда бул коэффициентлер комплексли шама болып табылады) меншикли функциялардың ортогоналлығын пайдаланып табыўға болады. Хәқыйқатында да, (2.3.55)-қатарды Ψ_m^* ге көбейтеміз хәм барлық кеңіслик бойынша интеграллаймыз. Бундай жағдайда суммалаў менен интеграллаўдың тәртібин өзгертип

$$\int_{\mathbb{R}^N} \Psi_m^* \Psi dV = \sum_n C_n \int_{\mathbb{R}^N} \Psi_m^* \Psi_n dV = \sum_n C_n \delta_{nm} = C_m \quad (2.3.56)$$

аңлатпаларын келтирип шығарамыз. Буннан m белгилениўин n ге өзгертип (2.3.55)-қатардағы C_n коэффициентлерин есаплаў формуласын аламыз:

$$C_n = \int_{\mathbb{R}^N} \Psi_n^* \Psi dV. \quad (2.3.57)$$

Егер \hat{F} операторы F интервалы ишіндегі f меншикли мәніслеринің үзлексіз спектрине ийе болса, онда қалеген толқын функциясын меншикли функцияларға жайыу интеграллауға өтеді. Сонлықтан

$$\Psi = \int_F C_f \Psi_f df \quad (2.3.58)$$

формуласына ийе боламыз хәм бундағы C_f коэффициентинің үзлексіз көплиги

$$C_f = \int_{\mathbb{R}^N} \Psi_f^* \Psi dV \quad (2.3.59)$$

формуласының жәрдемінде анықланады.

Квантлық механиканың операторларының меншикли мәніслеринің спектри. Квантлық механикадағы операторлардың меншикли мәніслерин табыу проблемаларының физикалық мазмұны 3.6-параграфта қарап өтиледі. Бул математикалық мәселедей болып көринетуғын мәселенің квантлық механикадағы оғада үлкен әхмийетин айқын көрсетеді.

Операторлардың меншикли мәніслеринің спектрин табыу хәққындағы мәселелердің бир қатарын қарап өтеміз.

1. Координата операторы x тың меншикли мәніслеринің спектри үзлексіз спектр болып табылады. Хәқыйқатында да бул оператордың толқын функциясына тәсири оны координатаға көбейтиуге алып келеді. Сонлықтан \hat{x} операторының меншикли мәнісин табыу бойынша мәселенің -теңлемеси

$$\hat{x}\Psi = x\Psi \quad (2.3.60)$$

түрине ийе болады. Бул $\hat{x} = x$ операторлық теңликке сәйкес келеді. Бул теңлик координата x тың $x \in (-\infty, +\infty)$ мәніси ушын орынланады. Тап усындай жуўмақларды \hat{y} хәм \hat{z} операторлары ушын да аламыз.

2. Импульстинң проекциясы болған \hat{p}_x операторының спектри де үзлексіз спектр болып табылады. Хәқыйқатында да бундай оператордың меншикли мәніслерин табыу мәселесин шешиу

$$i\hbar \frac{\partial \Psi}{\partial x} = p_x \Psi \quad (2.3.61)$$

биринши тәртипли дифференциал теңлемесин шешиуге алып келинеді. Буннан p_x тың мүмкин болған мәніслерин табыу мүмкин.

p_x тың барлық мәніслери ушын (2.3.61)-теңлемениң шешими

$$\Psi = C \exp\left(i \frac{p_x x}{\hbar}\right) \quad (2.3.62)$$

регулярлықтың стандарт шарттерін қанаатландыратуғын Ψ функциясын анықлайды. Сонлықтан \hat{p}_x операторының меншикли мәніслері $-\infty$ тен $+\infty$ ке шекемгі үзлексіз спектрді пайда етеді. Тап усындай жуымақтарды \hat{p}_y хәм \hat{p}_z операторлары үшін да аламыз.

3. Дискрет спектрге мысал ретінде \hat{L}_z импульс моментинің проекциясы операторының меншикли мәніслеринің спектрін көрсетіу мүмкін. Бул спектрді анықлау үшін сфералық координаталар системасының поляр координатасын z көшері бағытында жайластырамыз. Бундай жағдайда (3.36)-аңлатпа тийкарында \hat{L}_z операторының меншикли мәніслерін табыу үшін

$$i\hbar \frac{\partial \Psi}{\partial \varphi} = L_z \Psi \quad (2.3.63)$$

биринші тәртіпті дифференциал теңлемесін жазамыз. Бул теңлемениң улығымалық шешімі былайынша жазылады

$$\Psi = C \exp\left(i \frac{L_z \varphi}{\hbar}\right). \quad (2.3.64)$$

\hat{L}_z операторының меншикли функциялары бир мәнісли функциялар болып табылады. Ал мүйешлік координата φ цикльық өзгеріуші болғанлықтан, онда бир мәніслик шәрті оның дәуірлілік шәртіне алып келінеді: $\Psi(\varphi + 2\pi) = \Psi(\varphi)$. (2.3.64)-функция үшін бул шәрті орындап

$$\exp\left[i \frac{L_z(\varphi + 2\pi)}{\hbar}\right] = \exp\left(i \frac{L_z \varphi}{\hbar}\right)$$

теңлігін аламыз ямаса

$$\exp\left(i \frac{L_z 2\pi}{\hbar}\right) = 1.$$

Бул теңліктен

$$\frac{L_z 2\pi}{\hbar} = 2\pi m$$

екенлігі келіп шығады. Бул аңлатпада $m = 0, \pm 1, \pm 2, \dots$

Солай етіп \hat{L}_z операторы үшін меншикли мәніслердің дискрет спектрін аламыз:

$$L_z = m\hbar, \quad m = 0, \pm 1, \pm 2, \dots \quad (2.3.65)$$

Бул меншикли мәніслер \hat{L}_z операторының

$$\Psi_m(\varphi) = \frac{1}{\sqrt{2\pi}} \exp(im\varphi) \quad (2.3.66)$$

меншикли функцияларының бар екенлігін көрсетеді. Бул аңлатпадағы константаның мәнісі $C = \frac{1}{\sqrt{2\pi}}$

$$\int_0^{2\pi} \Psi_m^* \Psi dV = 1$$

нормировка шәртинен сайлап алынған.

4. Импульс моментиниң квадраты операторының (\hat{L}^2 операторының) меншикли функциялары менен меншикли мәнислерин табыў ушын

$$\hat{L}^2 \Psi = L^2 \Psi$$

тенлемесин (3.36)-формуланы есапқа алған ҳалда сфералық координаталар системасында жазыўымыз керек. Бундай жағдайда алынған теңleme

$$-\hbar^2 \left[\frac{1}{\sin \theta} \frac{\partial}{\partial \theta} \left(\sin \theta \frac{\partial \Psi}{\partial \theta} \right) + \frac{1}{\sin^2 \theta} \frac{\partial^2}{\partial \varphi^2} \right] = L^2 \Psi \quad (2.3.67)$$

түрине ийе болады. Бул теңлемени шешиў ушын ҳазирги заман программалаў тиллерин (мысалы Mathematica 8.0 тилин) ямаса арнаўлы функцияларды пайдаланыў менен әмелге асырылады. Мәселени аналитикалық шешиўдиң жоллары теориялық ямаса математикалық физика курсларында келтириледі. Биз ҳазир бул шешимниң қәсийетлериниң қысқа дизимин келтириў менен шекленемиз.

Ең дәслеп \hat{L}^2 операторының меншикли мәнислериниң спектриниң дискрет спектр екенлигин атап өтемиз. Басқа сөз бенен айтқанда (2.3.67)-теңleme тек

$$L^2 = \hbar^2 l(l+1) \quad (2.3.68)$$

мәнислери ушын шешимлерге ийе болады. Бул формулада $l = 0, \pm 1, \pm 2, \dots$

(2.3.68)-аңлатпада ҳәр бир меншикли мәниске ҳәр қыйлы болған $2l+1$ дана меншикли функциялар сәйкес келеди. Ол функциялар мәниси $m = 0, \pm 1, \pm 2, \dots, \pm l$ болған пүтин санларға тең параметрди бериў менен айырылып алынады. Яғный \hat{L}^2 операторының ҳәр бир меншикли мәниси $2l+1$ айныў санына тең деген сөз.

(2.3.67)-теңлемени шешиўден алынған \hat{L}^2 операторының меншикли функциялары

$$\Psi_{l,m} = Y_{l,m}(\theta, \varphi) \quad (2.3.69)$$

түрине ийе болады. $Y_{l,m}$ функциялары арнаўлы функциялар классына киреди ҳәм сфералық ямаса шарлық функциялар деп аталады. Егер сол сфералық функцияларды

$$\int_0^{2\pi} \int_0^{\pi} Y_{l,m}^* Y_{l,m} \sin \theta d\theta d\varphi = 1$$

шәрти менен нормировкаласақ, онда анық түрде биринши бир неше нормировкаланған функцияларды жазыўымызға болады

$$Y_{0,0} = \frac{1}{\sqrt{4\pi}}, \quad Y_{1,0} = \sqrt{\frac{3}{4\pi}} \cos \theta, \quad Y_{1,\pm 1} = \mp \sqrt{\frac{3}{8\pi}} \sin \theta \exp(\pm i\varphi);$$

$$Y_{2,0} = \sqrt{\frac{5}{16\pi}} (3 \cos^2 \theta - 1), \quad Y_{2,\pm 1} = \sqrt{\frac{15}{8\pi}} \cos \theta \sin \theta \exp(\pm i\varphi); \quad (2.3.70)$$

$$Y_{2,\pm 2} = \sqrt{\frac{5}{32\pi}} \sin^2 \theta \exp(\pm i2\varphi).$$

5. Толық энергия операторы \hat{H} операторының меншикли мәніслерінің спектрін табыу қаққындағы мәселе бөлекше қозғалатуғын потенциаллық күш майданының айқын түрін беріу менен әмелге асырылады. Бұл мәселелердің бір нешеуі 4-бапта стационар квантлық қалларды таллаудың барысында шешіледі. Бұл мәселелерде Шредингер теңлемесінің шешімі \hat{H} гамильтонианның меншикли функциялары менен меншикли мәніслерін табыуға алып келинеді.

2-3-6. Квантлық механикадағы өлшеулер проблемасы

Квантлық системадағы бөлекшенің қалын тәрийиплейтуғын толқын функциясы белгили болсын. Бұл системадағы f физикалық шамасын өлшеудің нәтижесі қандай болады? Бұл физикалық шаманы анықлау үшін орынланған эксперименттің нәтижелерін қалайынша есаплау хәм болжау керек?

Физикалық шамаларды өлшеулердің нәтижелері қаққындағы бұл сорауға квантлық механиканың үшінші постулаты жууап береді. Бұл постулат қәлеген квантлық системада f физикалық шаманы өлшеулерде сәйкес оператор \hat{F} тың тек меншикли мәніслері ғана алынады деп тастыйықлайды.

Квантлық механиканың бұл әхмийетли нәтижесі теория менен усы теорияны эксперименталлық тексеріп көріудің мүмкиншиликлери қаққындағы байланысты орнатады. Теорияның математикалық аппараты физикалық шамалар үшін операторларды пайдаланып хәр қыйлы квантлық системалардағы физикалық шамаларды өлшеулердің нәтижелерін болжауға мүмкиншилик береді. Теорияның бұл жууақларын экспериментте тексеріп көріу мүмкин.

Мысалы, жоқарыдағы параграфта табылған \hat{L}^2 хәм \hat{L}_z операторларының меншикли мәніслерінің спектрін пайдаланып атомлардың орбиталық импульс моментін өлшегенде

$$L = \hbar \sqrt{l(l+1)}, \quad l = 1, 2, 3, \dots$$

жыйнағының ишинен $L = \sqrt{L^2}$ мәнісі алынады деп тастыйықлауға болады. Ал магнит майданының жәрдемінде белгиленген z бағытындағы импульс моментлерінің проекцияларының мәніслерін өлшегенде

$$L_z = m\hbar, \quad m = 1, 2, \dots$$

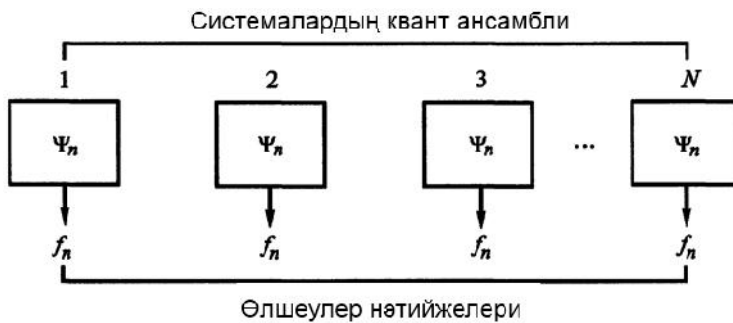
шамаларына тең мәніслер алынады.

Водород атомы қаққындағы квантлық механиканың мәселелерін дәл шешкенде (бұл мәселе 5-бапта қарап өтиледі) тап усындай жууақларға алып келинеді. Бундай жағдайдағы атомдағы l хәм m пүтин мәніслеріне ийе параметрлер атомдағы электронның қалын характерлейтуғын квантлық санлар деп аталады.

Ψ толқын функциясының жәрдемінде тәрийипленетуғын квантлық қалда сәйкес келетуғын f физикалық шамасы өлшенетуғын болсын. Ондай жағдайда \hat{F} операторының қайсы f_n мәнісі өлшеудің нәтижесінде алынады деген сорау

бериледи. Бул сораўға берилетуғын жуўап барлық квантлық механиканың тийкарында итималлық интерпретациясының жататуғынлығын тастыйықлайды

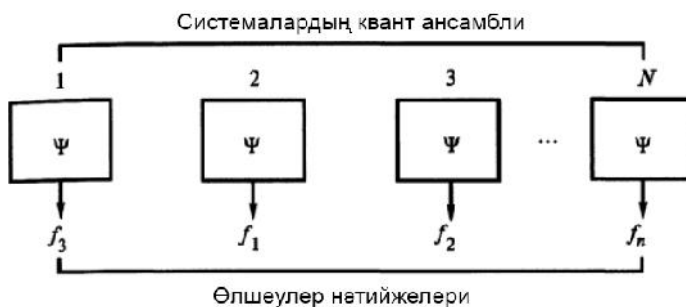
Егер квантлық системадағы бөлекшениң халы $\hat{\Phi}$ операторының меншикли функциясы болған Ψ_n толқын функциясы менен тәрийипленетуғын болса, онда бул квантлық халда f физикалық шамасы f_n шамасына тең белгили мәниске ийе болады. Бул жағдай мынаны аңлатады: Егер бирдей болған көп санлы квантлық системалар берилген болса (2.3.4-сүүрет) хәм бул системаларда бир биринен парқы жоқ бөлекшелер бирдей квантлық халларда туратуғын болса (системалардың усындай жыйнағын квантлық ансамбл деп атаймыз), онда бул ансамблдің хәр қыйлы системаларында f физикалық шамасын өлшегенде биз барлық ўақытта да f_n шамасын аламыз.



2.3.4-сүүрет.

Системалардың
квантлық ансамбли.

Бирақ толқын функциясы $\hat{\Phi}$ операторының меншикли функциясы емес жағдайдың да орын алыўы мүмкин. Бундай квантлық халда f физикалық шамасы белгили бир физикалық мәниске ийе бола алмайды. Бул жағдай квантлық механиканың үшінши постулатына сәйкес квантлық ансамбли системасында f шамасының өлшеў тек $\hat{\Phi}$ операторының меншикли мәнислерин береді дегенди аңлатады. Бирақ квантлық ансамблинің хәр қыйлы системаларда өткерилген өлшеўлер хәр қыйлы болған f_1, f_2, \dots, f_n мәнислерин береді (2.3.5-сүүрет). Бундай жағдайда f_n шамасының хәр бир мәниси белгили бир P_n итималлығы менен табылады.



2.3.5-сүүрет.

Квантлық ансамблнің
хәр қыйлы
системаларда
өткерилген өлшеўлер
хәр қыйлы болған $f_1,$
 f_2, \dots, f_n мәнислерин
береді

f шамасы анық мәниске ийе болмайтуғын системаларда оның орташа мәнисин табыў ақылға муўапық келеді. Бул шаманың орташа мәниси көп сандағы өлшеўлер өткергендеги өлшеўлер нәтийжелериниң математикалық күтилиўи (математическое ожидание) болып табылады

$$\langle f \rangle = \sum_n P_n f_n . \quad (2.3.71)$$

(2.3.71)-аңлатпадағы P_n итималлығын есаплау үшін Ψ толқын функциясын \hat{F} операторының меншикли мәнислери болған Ψ_n толық системасы бойынша қатарға жайыу керек болады, яғный былайынша көрсетиледи

$$\Psi = \sum_n C_n \Psi_n. \quad (2.3.72)$$

Усындай етип қатарға жайыудың барлық уақытта да мүмкин екенлигин хәм бул қатардағы коэффициентлердің төмендеги формулалар бойынша есапланатуғынлығын еске саламыз:

$$C_n = \int_{\mathfrak{R}^N} \Psi_n^* \Psi dV. \quad (2.3.73)$$

(2.3.72)-қатар ықтыярлы квантлық халдың f физикалық шамасының белгили бир мәнисине ийе квантлық халлардыан туратуғынлығын көрсетеди. Сонлықтан биз излеп атырған итималлық P_n ниң мәниси (2.3.72)-қатардағы коэффициентлерге сәйкес келиуши модульдің квадраты $|C_n|^2$ шамасына тең болады.

$$\langle f \rangle = \sum_n P_n f_n = \sum_n |C_n|^2 f_n. \quad (2.3.74)$$

(2.3.73)-аңлатпаны есапқа алған халда (2.3.74)-аңлатпаны есаплаулар жүргизиу үшін қолайлы болған түрге алып келемиз. Бундай жағдайда

$$\langle f \rangle = \sum_n C_n C_n^* f_n = \sum_n C_n f_n \int_{\mathfrak{R}^N} \Psi_n^* \Psi dV = \sum_n C_n \int_{\mathfrak{R}^N} \Psi_n^* f_n \Psi_n dV.$$

\hat{F} операторының меншикли функциялары менен меншикли мәнислериниң қәсийетлери бойынша

$$f_n \Psi_n = \hat{F} \Psi_n.$$

Сонлықтан

$$\langle f \rangle = \sum_n C_n \int_{\mathfrak{R}^N} \Psi^* (\hat{F} \Psi_n) dV = \int_{\mathfrak{R}^N} \Psi^* \left(\sum_n C_n \hat{F} \Psi_n \right) dV.$$

\hat{F} операторының сызықты екенлигин есапқа алсақ

$$\sum_n C_n \hat{F} \Psi_n = \hat{F} \left(\sum_n C_n \Psi_n \right) = \hat{F} \Psi$$

теңлигине ийе боламыз. Сонлықтан квантлық системаның Ψ толқын функциясы менен тәрийипленетуғын халында f физикалық шамасының орташа мәнисин есаплау үшін

$$\langle f \rangle = \int_{\mathbb{R}^N} \Psi^* (\hat{F} \Psi) dV \quad (2.3.75)$$

түріндегі формуланы аламыз.

(2.3.75)-формуланың әхмийетін есапқа алып, оны квантлық механиканың төртінші постулаты деп те атайды.

Егер $\Psi = \Psi_n$ теңлигі орынланатуғын болса, онда (2.3.75)-формуладан

$$\langle f \rangle = \int_{\mathbb{R}^N} \Psi_n^* (\hat{F} \Psi_n) dV = \int_{\mathbb{R}^N} \Psi_n^* f_n \Psi_n dV = f_n \int_{\mathbb{R}^N} \Psi_n^* \Psi_n dV = f_n$$

аңлатпасының келип шығатуғынлығын атап өтемиз.

Солай етип квантлық механика квантлық объекттің анаў ямаса мынаў қәсийетінің потенциаллық мүмкиншиликлеріне санлық түрде баға бере алады екен. Квантлық механикада анаў ямаса мынаў өлшеў нәтижесінің итималлығы тек белгили бир объектке тийисли болса да, бул итималлықтың санлық мәнісін экспериментте анықлаў ушын бирдей бөлекшелерден туратуғын коллективте (ансамблде) өлшеў жумысларын көп рет қайталаў керек болады.

Физикалық қубылысларды тап усындай етип тәрийиплеў классикалық теориядағы тәрийиплеўден принципиаллық жақтан басқаша болады. Сонлықтан квантлық механика қәлиплескен дәуірлерде бул әдеттегидей емес революциялық идеяларды көп санлы белгили физиклердің өзлери де түсинбеди. Бундай физиклердің қатарына А.Эйнштейнди де киргизиў мүмкин.

3.5-мәселе. \hat{F} операторы ўақыттан ғәрезсиз деп есаплап f физикалық шамасының орташа мәнісінің ўақыттың өтиўи менен өзгериўінің тезлигин анықлаңыз.

Шешими:

$$\langle f \rangle = \int_{\mathbb{R}^N} \Psi_n^* (\hat{F} \Psi_n) dV$$

болғанлықтан

$$\frac{d\langle f \rangle}{dt} = \int_{\mathbb{R}^N} \frac{\partial \Psi^*}{\partial t} (\hat{F} \Psi) dV + \int_{\mathbb{R}^N} \Psi^* \left(\hat{F} \frac{\partial \Psi}{\partial t} \right) dV.$$

Ψ функциясының эволюциясы Шредингер теңлемесінің жәрдеминде табылатуғынлығын есапқа алып

$$i\hbar \frac{\partial \Psi}{\partial t} = \hat{H} \Psi \quad \text{хәм} \quad i\hbar \frac{\partial \Psi^*}{\partial t} = \hat{H} \Psi^*$$

екенлигин табамыз. Сонлықтан

$$\frac{d\langle f \rangle}{dt} = \frac{i}{\hbar} \left[\int_{\mathbb{R}^N} (\hat{H} \Psi^*) (\hat{F} \Psi) dV - \int_{\mathbb{R}^N} \Psi^* (\hat{F} \hat{H} \Psi) dV \right].$$

$\hat{\Phi}$ хәм \hat{H} операторлары Эрмит операторлары болғанлықтан жоқарыдағы теңликтің оң тәрәпиндеги биринши интегралды

$$\int_{\mathbb{R}^N} (\hat{H}\Psi^*)(\hat{\Phi}\Psi) dV = \int_{\mathbb{R}^N} (\hat{\Phi}\Psi)(\hat{H}\Psi)^* dV = \int_{\mathbb{R}^N} \Psi^*(\hat{H}\hat{\Phi}\Psi) dV$$

түрге түрлендириў мүмкин. Демек

$$\frac{d\langle f \rangle}{dt} = \frac{i}{\hbar} \int_{\mathbb{R}^N} \Psi^* [(\hat{H}\hat{\Phi} - \hat{\Phi}\hat{H})\Psi] dV.$$

Бул аңлатпа физикалық шаманың орташа мәнисинен алынған ўақыт бойынша туўындыны базы бир оператордың орташа мәниси сыпатында көрсетиўдин мүмкин екенлиги көрсетеди. Бул операторды $\hat{\Phi}$ операторынан ўақыт бойынша алынған туўынды деп атайды. Солай етип ўақыттан айқын түрде ғәрезли емес $\hat{\Phi}$ операторы ушын

$$\frac{d\hat{\Phi}}{dt} = \frac{i}{\hbar} (\hat{H}\hat{\Phi} - \hat{\Phi}\hat{H}) = \frac{i}{\hbar} [\hat{H}, \hat{\Phi}].$$

Буннан мынадай әҳмийетли жуўмақ келип шығады: Егер базы бир f физикалық шаманың операторы $\hat{\Phi}$ ўақыттан айқын түрде ғәрезсиз хәм гамильтониан \hat{H} пенен коммутацияланатуғын болса, онда бул физикалық шаманың орташа мәниси $\langle f \rangle$ ўақытқа байланыссы өзгермейди. Классикалық механикадағы сыяқлы квантлық механикада да бундай шамаларды хәр қыйлы сақланыў нызамларына сәйкес келиўши қозғалыс интеграллары деп атайды.

2-3-7. Хәр қыйлы физикалық шамаларды бир ўақытта өлшеў

Базы бир квантлық системадағы хәр қыйлы болған еки физикалық шаманы бир ўақытта дәл өлшеў квантлық механикадағы әҳмийетли мәселелердин бири болып табылады. Усындай бақланатуғын шамалар сыпатында бөлекшениң координатасы менен импульсиниң проекциясын, бөлекшениң потенциал энергиясы менен кинетикалық энергиясын, импульс моментиниң хәр қыйлы болған еки қураўшысын хәм басқаларды көрсетиў мүмкин. Усындай еки шаманы бир ўақытта дәл өлшеў бойынша экспериментти шөлкемлестириў мүмкин бе?

Егер эксперименттин барысында бирдей системалардан туратуғын ансамблде базы бир физикалық шаманы хәр бир өлшегенде бирдей нәтийже беретугын болса, онда усы физикалық шаманың мәниси дәл өлшенди деп айтамыз. Бундай жағдайда өлшеўлер барысында әсбаплар да, экспериментатор да ҳеш кандай қәтеге жол қоймады деп есаплаймыз

Биз жоқарыдағы параграфта әҳмийетли жуўмақ шығарып едик. Оның мәнисин былайынша түсиндиремиз: қандай да бир a физикалық шамасының мәниси тек сондай системада дәл өлшенеди, егер бул система сәйкес \hat{A} операторының меншикли функцияларының биреўи болған толқын функциясы менен тәрийипленетуғын болса. Бирақ соны да есапқа алыў керек, усындай квантлық халда басқа бир b физикалық шамасының дәл өлшениўи шәрт емес. Усы a хәм b

физикалық шамаларының мәніслерін бір уақытта дәл өлшеу мүмкін, егер оларға сәйкес келіуші \hat{A} хәм \hat{B} операторлары улыўмалық меншикли функциялар системасына ийе болатуғын болса.

Егер \hat{A} хәм \hat{B} операторлары улыўмалық меншикли функциялар системасына ийе болатуғын болса олар арасында базы бир коммутациялық қатнастардың орын алатуғынлығын хәм операторлардың толқын функциясына избе-из тәсир етиўиниң нәтийжесиниң оларды пайдаланыўдың избе-излигинен ғәрезсиз екенлигин көрсетемиз. Мейли Ψ_n функциялары ($n = 1, 2, \dots$) \hat{A} операторының да, \hat{B} операторының да меншикли функциялары болсын. Бундай жағдайда төмендегидей қатнастар орынланады:

$$\begin{aligned}\hat{A}(\hat{B}\Psi_n) &= \hat{A}(b_n\Psi_n) = b_n(\hat{A}\Psi_n) = b_na_n\Psi_n, \\ \hat{B}(\hat{A}\Psi_n) &= \hat{B}(a_n\Psi_n) = a_n(\hat{B}\Psi_n) = a_nb_n\Psi_n.\end{aligned}$$

Бул аңлатпаларда a_n хәм b_n арқалы \hat{A} хәм \hat{B} операторларының улыўмалық болған Ψ_n меншикли функциясына сәйкес келіуші меншикли мәніслери белгиленген. Буннан

$$\hat{A}(\hat{B}\Psi_n) = \hat{B}(\hat{A}\Psi_n)$$

екенлигине ийе боламыз. Қәлеген Ψ толқын функциясын оның меншикли функцияларының сызықлы комбинациясы $\Psi = \sum_n C_n\Psi_n$ түрінде көрсетиў мүмкін болғанлықтан квантлық механикадағы операторлардың сызықлылығынан қәлеген толқын функциясы ушын

$$\hat{A}(\hat{B}\Psi) = \hat{B}(\hat{A}\Psi) \quad (2.3.76)$$

коммутациялық қатнасының орынланатуғынлығы келип шығады. Бул коммутациялық қатнасты операторлық формада былайынша жазамыз:

$$\hat{A}\hat{B} = \hat{B}\hat{A} \text{ ямаса } \hat{A}\hat{B} - \hat{B}\hat{A} = 0. \quad (2.3.77)$$

$\hat{A}\hat{B} - \hat{B}\hat{A}$ айырмасын \hat{A} хәм \hat{B} операторларының коммутаторы деп атайды хәм әдетте

$$[\hat{A}, \hat{B}] \equiv \hat{A}\hat{B} - \hat{B}\hat{A} \quad (2.3.78)$$

символы жәрдеминде белгилейди. Коммутаторы нолге тең еки операторды коммутацияланыўшы операторлар деп атайды.

Солай етип биз квантлық механиканың әхмийетли жуўмағына келемиз:

Егер \hat{A} хәм \hat{B} операторлары коммутацияланыўшы операторлар болып табылатуғын болса, онда оларға сәйкес келетуғын хәр қыйлы болған еки a хәм b физикалық шамалары бир уақытта дәл өлшенеди [яғный олар ушын (2.3.77)-қатнасының орынланыўы керек].

Демек операторлардың коммутацияланыўшылығы оларға сәйкес келіуші физикалық шамаларды бир уақытта дәл өлшеўдин мүмкін екенлигиниң белгиси болып табылады екен. Ал керисинше, еки оператордың коммутацияланбаўы оларға сәйкес келетуғын еки физикалық шаманы бир уақытта дәл өлшеўдин мүмкін емес екенлигин аңғартады.

Усы қағыйда жәрдеминде бөлекшениң координатасы x пенен импульсиниң проекциясы болған p_x шамаларын бир ўақытта дәл өлшеўге болатуғынлығын ямаса болмайтуғынлығын тексерип көремиз. Буның ушын \hat{x} хәм \hat{p}_x операторларының коммутаторын табамыз:

$$\hat{x}(\hat{p}_x\Psi) - \hat{p}_x(\hat{x}\Psi) = x\left(-i\hbar\frac{\partial\Psi}{\partial x}\right) + i\hbar\frac{\partial}{\partial x}(x\Psi) = i\hbar\Psi.$$

Бул

$$[\hat{x}, \hat{p}_x] = i\hbar \neq 0 \quad (2.3.79)$$

екенлигин көрсетеди. Сонлықтан бөлекшениң координатасы x пенен импульсиниң проекциясы болған p_x шамаларын бир ўақытта дәл өлшеўге болмайды. Бул жуўмақ Гейзенбергтиң анықсызлық принципи тийкарында исленген жуўмақ пенен тәр сәйкес келеди (2.3-параграф).

Кинетикалық энергия менен потенциал энергия операторларының коммутацияланбайтуғынлығына аңсат көз жеткерийге болады. Толық энергия операторы болған \hat{H} операторын

$$\hat{H} = \hat{E}_K + \hat{U}$$

кинетикалық \hat{E}_K хәм потенциал \hat{U} энергияларының қосындысынан туратуғын болса да квантлық системада системаның толық энергиясы кинетикалық хәм потенциал энергиялардың қосындысынан турады деп айтыўға болмайды. Бул жағдай қозғалыўшы бөлекшениң кинетикалық энергиясы менен потенциал энергиясын бир ўақытта дәл өлшеўге болмайды дегенди аңғартады. Сонлықтан бир ўақытта кинетикалық хәм потенциал энергияларын өлшеў жолы менен бөлекшениң толық энергиясын анықлаў мүмкин емес.

Квантлық механикада математикалық объектлерге хәм сол объектлер үстинен исленетуғын операцияларға физикалық объектлердиң хәм олардың қозғалысларын басқаратуғын физикалық нызамлардың сәйкес келетуғынлығын және бир рет атап өтемиз. Белгили физик-теоретик А.В.Фок өзиниң "Квантлық механиканың басламалары" китабында квантлық механиканың математикалық тилин физика тилине аўдарыўдың сөзлигин келтирди. Мысал ретинде сол сөзликтен төмендегидей ўзинди келтиремиз:

Математика	Физика
Ψ толқын функциясы	Квантлық бөлекшениң халы.
$ \Psi ^2 = \Psi^*\Psi$ модулиниң квадраты	Бөлекшени табыўдың итималлығының тығызлығы.
$\int_{\mathbb{R}^N} \Psi^*\Psi dV = 1$ нормировка шәрти	Бөлекшениң ҳақыйқатында да бар екенлиги.
Сызықлы эрмит операторы \hat{F}	f физикалық шамасы.
f_n меншикли мәнисине сәйкес келетуғын \hat{F} операторының меншикли функциясы Ψ_n	f физикалық шамасының мәниси f_n ге тең болатуғын квантлық бөлекшениң халы.
\hat{F} операторының меншикли функциялары болған Ψ_n толқын функциялары бойынша қатарға	f шамасын өлшегенде f_n мәнисиниң алыныў итималлығы.

жайғандағы коэффициенттің модулинің квадраты	
$\int_{\mathbb{R}^N} \Psi^* \hat{F} \Psi dV$ интегралы	Берілген квантлық қалдағы f физикалық шамасының орташа мәнісі (математикалық күтилиуі).
\hat{A} хәм \hat{B} операторларының коммутациялануы: $\hat{A}\hat{B} = \hat{B}\hat{A}$.	a хәм b физикалық шамаларын бир уақытта бақылаудың хәм дәл өлшеудің принципіаллық жақтан мүмкін екенлігі.

Бул сөзлікті еле де даўам ете беріўге болады.

3.6-мәселе. $\vec{F} = -\text{grad}U$ потенциал майданында қозғалатуғын массасы m болған бөлекше ушын тезлениў операторын анықлаңыз.

Шешими: Тезликтің векторлық операторы болған \hat{v} операторын импульс операторы арқалы аңлатыўға болады

$$\hat{v} = \frac{\hat{p}}{m} = -\frac{i\hbar}{m} \nabla.$$

Сонлықтан 3.5-мәселени шешкенде табылған қағыйда бойынша бул оператордан уақыт бойынша туўынды алып тезлениўдің векторлық операторын

$$\hat{a} = \frac{d\hat{v}}{dt} = \frac{1}{m} \frac{d\hat{p}}{dt} = \frac{i}{m\hbar} [\hat{H}\hat{p} - \hat{p}\hat{H}] = \frac{1}{m} [\hat{H}\nabla - \nabla\hat{H}]$$

түрінде анықлаймыз. Гамильтониан

$$\hat{H} = -\frac{\hbar^2}{2m} \Delta + \hat{U}$$

түрінде жазылатуғын болғанлықтан, ал $\Delta = \nabla^2$ хәм ∇ операторлары коммутацияланушы операторлар болғанлықтан

$$\hat{a} = \frac{1}{m} [\hat{U}\nabla - \nabla\hat{U}]$$

теңлігине ийе боламыз. Алынған коммутатордың мәнісин түсіндириў ушын олардың толқын функциясы Ψ ге тәсірин көреміз. Бундай жағдайда

$$\hat{U}(\nabla\Psi) - \nabla(\hat{U}\Psi) = U(\nabla\Psi) - \nabla(U\Psi) = -(\nabla U)\Psi$$

аңлатпаларын аламыз. Бирақ потенциал майданда $\vec{F} = \{\hat{F}_x, \hat{F}_y, \hat{F}_z\}$ күшинің векторлық операторы $-\nabla U$ операторы болып табылады

$$\vec{F}\Psi = -(\nabla U)\Psi.$$

Сонлықтан, ең ақырғы формуланы аламыз

$$\hat{a} = \frac{\vec{F}}{m} \text{ ямаса } m\hat{a} = \vec{F}$$

Бул операторлық теңleme классикалық механикадағы Ньютонның теңлемесі түріне ийе хәм бул жағдай квантлық механикадағы операторлар арасындағы қатнастың классикалық механикадағы сәйкес физикалық шамалар арасындағы қатнастай болатуғынлығын тастыйықлайды.

3.7-мәселе. Импульс моментиниң операторлары \hat{L}_x, \hat{L}_y хәм \hat{L}_z арасында қандай коммутациялық қатнастардың бар екенлигин анықлаңыз.

Шешими: \hat{L}_x хәм \hat{L}_y операторларының коммутаторын қараймыз

$$[\hat{L}_x, \hat{L}_y] = \hat{L}_x \hat{L}_y - \hat{L}_y \hat{L}_x.$$

\hat{L}_x хәм \hat{L}_y операторларының анық түрін есапқа алып декарт координаталар системасында усы операторлардың коммутаторының толқын функциясына тәсирин анықлаймыз:

$$\begin{aligned} \hat{L}_x(\hat{L}_y \Psi) - \hat{L}_y(\hat{L}_x \Psi) = \\ -\hbar^2 \left\{ \left(y \frac{\partial}{\partial z} - z \frac{\partial}{\partial y} \right) \left(z \frac{\partial \Psi}{\partial x} - x \frac{\partial \Psi}{\partial z} \right) - \left(z \frac{\partial}{\partial x} - x \frac{\partial}{\partial z} \right) \left(y \frac{\partial \Psi}{\partial z} - z \frac{\partial \Psi}{\partial y} \right) \right\} = \\ -\hbar^2 \left\{ y \frac{\partial \Psi}{\partial x} + yz \frac{\partial^2 \Psi}{\partial z \partial x} - yx \frac{\partial^2 \Psi}{\partial z^2} - z^2 \frac{\partial^2 \Psi}{\partial y \partial x} + zx \frac{\partial^2 \Psi}{\partial y \partial z} - zy \frac{\partial^2 \Psi}{\partial x \partial z} + \right. \\ \left. + z^2 \frac{\partial^2 \Psi}{\partial x \partial y} + xy \frac{\partial^2 \Psi}{\partial z^2} - x \frac{\partial \Psi}{\partial y} - xz \frac{\partial^2 \Psi}{\partial z \partial y} \right\} = -\hbar^2 \left(y \frac{\partial \Psi}{\partial x} - x \frac{\partial \Psi}{\partial y} \right) = i\hbar \hat{L}_z \Psi. \end{aligned}$$

Солай етип биз

$$\hat{L}_x \hat{L}_y - \hat{L}_y \hat{L}_x = i\hbar \hat{L}_z \neq 0$$

теңлигиниң орынланатуғынлығын дәлилледик.

Импульс моментиниң проекциялары операторларының басқа жуплары ушын да коммутациялық қатнастарды алыў мүмкин:

$$\hat{L}_y \hat{L}_z - \hat{L}_z \hat{L}_y = i\hbar \hat{L}_x$$

хәм

$$\hat{L}_z \hat{L}_x - \hat{L}_x \hat{L}_z = i\hbar \hat{L}_y.$$

Бул қатнастардың барлығы да импульс моментиниң барлық үш проекцияларының бир ўақытта анық мәнислерге ийе бола алмайтуғынлығын көрсетеди. Бул жағдай тек ғана үш проекциялардың барлығы да бир ўақытта нолге тең болғанда орынланбайды.

Импульс моментиниң квадраты операторы \hat{L}^2 шамасының \hat{L}_x, \hat{L}_y хәм \hat{L}_z операторлары менен коммутацияланатуғынлығын көрсетиўге болады. Демек импульс моментиниң квадраты (ямаса импульс моментиниң модули) өзиниң бир проекциясы менен ғана бир ўақытта өлшениўи мүмкин.

Бул нәтийжелер квантлық механикада импульс моментиниң вектор түріндеги сўўретиниң жеткилики дәрежеде шәртли характерге ийе екенлигин көрсетеди. Сонлықтан импульс мометлерин қосыўды (мысалы орбиталық хәм спинлик моментлерди қосыў) векторларды қосыў түрінде әмелге асырыўға болмайды.

2-3-8. Квантлық механиканың матрицалық формасы

Физикалық шамаларды толқын функциясына тәсір ететұғын Эрмит операторлары түрінде көрсетіу квантлық механиканың бірден бір математикалық аппараты емес. 1925-жылы В.Гейзенберг квантлық механикада хәр бир физикалық шама ушын базы бир матрицаны алыуды ұсынды (Э.Шредингердің квантлық механиканың тийкарғы теңлемесин 1926-жылы дүзгенлигин еске салып өтемиз). В.Гейзенберг ұсынған матрица шексиз көп қатарлардан хәм шексиз көп бағаналардан турады.

Квантлық механиканың ұсындай "матрицалық формасы" В.Гейзенбергтің, М.Борнның, П.Иорданның хәм басқа да физиклердің жұмыстарында бир биринен ғәрезсиз түрде рауажландырылды. Дәслепки дәуірлерде бул жұмыстарда хәтте толқынлық теория есапқа да алынбады. Тек кейинирек Э.Шредингер физикалық шамаларды операторлар хәм матрицалар түрінде аңлатыудың бир бирине эквивалент екенлигин көрсетти. Соның менен бирге квантлық механиканың мәселелерин шешиуде қолланылатуғын бул еки ұсылдың математикалық аппаратлары пүткиллей хәр қыйлы.

Биз енди физикалық шамалардың операторлары менен матрицалары арасындағы байланысты салыстырмалы әпиуайы жағдайлар ушын табамыз. Биз қарап атырған квантлық механика операторларының спектри дискрет деп есаплаймыз. Төменде талланатуғын барлық қатнастар кейинирек П.Дирак тәрепинен үзликсиз спектрге ийе операторлар ушын да улыұмаластырылды.

Мейли квантлық механикадағы \hat{A} операторының Ψ_n меншикли функцияларының жыйнағы болсын ($n = 1, 2, \dots$). Эрмит операторларының меншикли функцияларының қәсийетлеринен қәлеген φ регулярлық функциясын оператордың меншикли функциялары бойынша қатарға жайыу мүмкин:

$$\varphi = \sum_n C_n \Psi_n. \quad (2.3.85)$$

Бул қатардың коэффицентлери төмендеги формула былайынша анықланады

$$C_n = \int_{\mathbb{R}^N} \Psi_n^* \varphi dV. \quad (2.3.86)$$

Егер енди φ функциясы сыпатында f физикалық шамасының \hat{F} операторының Ψ_m функциясына тәсиринің нәтийжеси болған $\hat{F}\Psi_m$ функциясы алынатұғын болса, онда (2.3.85)- хәм (2.3.86)-аңлатпалардан

$$\hat{F}\Psi_m = \sum_n \Phi_{nm} \Psi_n \quad (2.3.87)$$

аңлатпасы келип шығады. Бул жерде

$$\Phi_{nm} = \int_{\mathbb{R}^N} \Psi_n^* (\hat{F}\Psi_m) dV. \quad (2.3.88)$$

Φ_{nm} шамаларын базы бир шексиз матрицаның элементлери сыпатында қарауымызға болады

$$\Phi = \begin{vmatrix} \Phi_{11} & \Phi_{12} & \Phi_{13} & \dots & \Phi_{1m} & \dots \\ \Phi_{21} & \Phi_{22} & \Phi_{23} & \dots & \Phi_{2m} & \dots \\ \dots & \dots & \dots & \dots & \dots & \dots \\ \Phi_{n1} & \Phi_{n2} & \Phi_{n3} & \dots & \Phi_{nm} & \dots \\ \dots & \dots & \dots & \dots & \dots & \dots \\ \dots & \dots & \dots & \dots & \dots & \dots \end{vmatrix}$$

Бул матрицаны \hat{A} операторының меншикли функциялары системасындағы (ямаса A түріндегі көрсетілуінде) $\hat{\Phi}$ операторының (ямаса f физикалық шамасының) матрицасы деп атаймыз. Квантлық механикада координаталық, импульслик, энергиялық хәм басқа да көринислер (түрлері) қолланылады.

Хәр бир Φ_{nm} шамасын m қалынан n қалына өтiуге сәйкес келетуғын матрицалық элемент деп атайды. Матрицалық элемент еки индекске ийе. Бириншиси n матрицаның қатарларының қатар саны, ал екиншиси m матрицаның бағаналарының қатар саны.

Φ_{nm} матрицалық элементлер ушын П.Дирак тәрәпинен усынылған белгилеулер де қолланылады

$$\langle n | \hat{\Phi} | m \rangle \text{ ямаса } \langle n | f | m \rangle \quad (2.3.89)$$

Бундай символды физикалық шама f тиң белгисинен (ямаса оған сәйкес келиуши $\hat{\Phi}$ операторының белгисинен) хәм $|m\rangle$ және $\langle n|$ символларынан конструкцияланған символ деп қарауға болады. Хәр бир Ψ_m меншикли функциясын (басланғыш қалды) шексиз көп өлшемлі кеңисликтің базы бир $|m\rangle$ базислик векторы елеслетеди. Бул векторды кет-вектор деп атайды. Ψ_n меншикли функциясын (ақырғы қал) $\langle n|$ векторы елеслетеди хәм оны бра-вектор деп атайды. Бундай атамалар инглиз тилиндегі bracket (қаўсырма) сөзин пайда етиуши bras хәм ket сөзлеринен келип шыққан.

$\langle n | m \rangle$ белгилеуиниң $\langle n | \hat{I} | m \rangle$ белгилеуиниң әпиуайыластырылған жазылыуы деп қарауға болады. Бул аңлатпада \hat{I} арқалы бирлик вектор белгиленген. Оның ушын $\hat{I}\Psi_n = \Psi_n$. Сонлықтан

$$\langle n | m \rangle = \int_{\mathbb{R}^N} \Psi_n^* \Psi_m dV = \delta_{nm} = \begin{cases} 1, \text{ егер } n = m \text{ болса} \\ 0, \text{ егер } n \neq m \text{ болса.} \end{cases}$$

Солай етип A -елеслетіуде f физикалық шамасының $\hat{\Phi}$ операторы Φ матрицасының жәрдемінде анықланады екен. Бул матрицаның элементлери Φ_{nm} (2.3.88)-аңлатпаның жәрдемінде анықланады. Усының менен бирге хәр бир Эрмит операторы ушын Эрмит матрицасы сәйкес келеди. Бундай матрицаның элементлери ушын $\Phi_{nm} = \Phi_{nm}^*$ теңлиги орынлы болады.

Гейзенберг матрицасы үстинен исленетуғын базы бир алгебралық операцияларды анықлаймыз:

1. Матрицаларды қосыу. Егер $\hat{C} = \hat{A} + \hat{B}$ болса, онда $C = A + B$ матрицасының матрицалық элементлери ушын

$$C_{nm} = A_{nm} + B_{nm}$$

теңлиги орынланады.

2. Матрицаларды көбейтiу. Егер $\hat{C} = \hat{A} \cdot \hat{B}$ болса, онда $C = A \cdot B$ матрицалық элементтерин матрицаларды көбейтiу қағыйдасы

$$C_{nm} = \sum_k A_{nk} B_{km}$$

тийкарында есапланады. Бундай жағдайда матрицаларды көбейтiу де, операторларды көбейтiу сыяқлы коммутативлик емес, яғный $A \cdot B \neq B \cdot A$.

3. Матрицаларды қосыу хәм көбейтiу қағыйдалары анықланғаннан кейин матрицалардың ең әпиұайы функцияларын да анықлау мүмкин. Мысалы, $\exp \Phi$ функциясы сыпатында матрицалардан туратуғын

$$\exp \Phi = 1 + \Phi + \frac{1}{2} \Phi^2 + \dots + \frac{1}{n!} \Phi^n + \dots$$

қатарын түсиниу керек.

Квантлық механикадағы физикалық шамалардың Гейзенберг матрицасының бир әхмийетли қәсийетин атап өтемиз. Егер $\hat{\Phi}$ матрицасының Φ_{nm} матрицалық элементтерин өзиниң меншикли Φ -елеслетиуінде анықлайтуғын болсақ, онда $\hat{\Phi} \Psi_m = f_m \Psi_m$ хәм (1.38)-аңлатпадан

$$\Phi_{nm} = \langle n | \hat{\Phi} | m \rangle = \int_{\mathbb{R}^N} \Psi_n^* \hat{\Phi} \Psi_m dV = f_m \int_{\mathbb{R}^N} \Psi_n^* \Psi_m dV = f_m \delta_{nm}$$

аңлатпасын аламыз Бул аңлатпа $\hat{\Phi}$ операторының матрицасының өзиниң меншикли елеслетиуінде диагоналық матрица болып табылатуғынлығын аңғартады. Демек бул матрицаның $n = m$ элементтеринен басқа элементтериниң барлығының да нолге тең екенлигин аңғартады. Соның менен бирге бул диагоналық элементлер $\hat{\Phi}$ операторының меншикли мәнислері болып табылады.

Солай етип квантлық механиканың $\hat{\Phi}$ операторының меншикли мәнислерин анықлау қаққындағы әхмийетли мәселеси матрицалық формулировкада диагоналық түрге алып келетуғын матрицаның түрлендирилиуин табыу болып табылады екен.

Квантлық механикан матрицалық формада елеслеткенде (матрицалық формада жазғанда) толқын функциялары қатнаспайды. Ал теңлемелер болса формалары бойынша классикалық механикасының теңлемелериниң формасындай болады. Бирақ квантлық механикадағы жағдай менен классикалық механикадағы жағдайдың принципиаллық айырмашылыққа ийе екенлигин умытпау керек. Квантлық механиканың бул теңлемелеринде физикалық шамалар сәйкес матрицалар менен алмастырылған.

Базы бир жағдайларда квантлық механиканың мәселелерин матрицалық усулда шешиу операторлық усулда шешкенге салыстырғанда қолайлырақ болады. Бирақ биз курсымызда квантлық механиканың мәселелерин шешкенимизде квантлық механиканың тек операторлық формасынан, яғный толқын функциясын хәм Шредингердиң толқынлық теңлемесин пайдаланамыз. Квантлық механиканың бир қатар мәселелерин матрицалық формада шешиуге мысалларды теориялық физика ямаса квантлық механика бойынша оқыу қолланбаларында табыуға болады.

2-4-1. Стационар халлар ушын Шредингер теңлемеси

Ұақытқа ийе

$$i\hbar \frac{\partial \Psi}{\partial t} = \hat{H}\Psi. \quad (2.4.1)$$

Шредингер теңлемеси релятивистлик емес квантлық механиканың тийкарығы теңлемеси болып табылады. Бул аңлатпада $\hat{H} = \frac{\hbar^2}{2m} \Delta + U(x, y, z, t)$ арқалы бөлекшениң толық энергиясының операторы болған Гамильтон операторы белгиленген. Бул теңлеме координаталар менен ұақыттың функциясы болған $\Psi(x, y, z, t)$ функциясын табыуға мүмкиншилик береді. Нәтижесінде бөлекшени кеңістіктің қалеген ноқатында қалеген ұақыт моментінде табыудың итималлығының тығызлығы есапланады. Нәтижесінде күш майданында қозғалыушы бөлекшениң квантлық халды тәрийиплеу мүмкиншилиги тууылады.

Квантлық механикада күш майданындағы қозғалыс қаққындағы мәселелердің пүтин классы бар болып, бундай мәселелерде $\Psi(x, y, z, t)$ толқын функциясы ұақыттан ғәрезли емес болады. Сонлықтан $\Psi(x, y, z, t) \equiv \Psi(x, y, z)$ теңлиги орынланады. Бундай күш майданларын стационар күш майданлары деп атаймыз хәм бундай ұақытлары $U(x, y, z)$ күш функциясы бөлекшениң потенциал энергиясы мағанасына ийе болады. Стационар майданларда квантлық система энергия E ниң белгили бир мәнисине ийе халларда тура алады. Бундай халларды стационар халлар деп атаймыз. Ал усындай халларда туратуғын бөлекшелердің қозғалысы қаққындағы мәселелерди квантлық механиканың стационар мәселелери деп атайды. Квантлық системалардың стационар халларын таллауға усы бап арналған.

Стационар халға сәйкес келиуши толқын функциясының улыұмалық түрин табамыз. (2.4.1)-теңлемесінде \hat{H} операторы анық ұақыттан ғәрезсиз болғанлықтан $\Psi(x, y, z, t)$ толқын функциясын еки функцияның көбеймеси түринде жазыуға болады

$$\Psi(x, y, z, t) = \psi(x, y, z)\varphi(t). \quad (2.4.2)$$

Бул функциялардың бири $\psi(x, y, z)$ тек координатадан, ал екиншиси $\varphi(t)$ тек ұақыттан ғәрезли. (2.4.2) функциясын (2.4.1)-теңлемеге қойып хәм буннан кейин теңлемениң еки бөлимин де $\psi(x, y, z)\varphi(t)$ көбеймесине бөлсек

$$\frac{i\hbar}{\varphi} \frac{d\varphi}{dt} = \frac{1}{\psi} \hat{H}\psi \quad (2.4.3)$$

теңлемесин аламыз. (2.4.3)-теңлемениң шеп тәрепи тек ұақыттан, ал оң тәрепи тек координаталардан ғәрезли. Егер теңлемениң оң хәм шеп тәреплери турақлы шамаға тең болса бундай теңликтің орынланыуы мүмкин. Бул турақлы шаманы E арқалы белгилеймиз. Усындай жоллар менен (2.4.3)-теңлемеден еки теңлеме аламыз. Олардың бирейи $\psi(x, y, z)$ функциясы, ал екиншиси тек $\varphi(t)$ функциясы ушын. Оларды былайынша жазамыз:

$$\hat{H}\psi = E\psi, \quad (2.4.4a)$$

$$i\hbar \frac{d\psi}{dt} = E\psi. \quad (2.4.4b)$$

(2.4.4a) теңлемесі толық энергия операторының (яғный \hat{H} гамильтонианның) меншикли функцияларын хәм меншикли мәнислерин анықлайды. Сонлықтан E шамасы квантлық механикалық системаның толық энергиясы болып табылады. (2.4.4a) теңлемесін \hat{H} операторының түрін есапқа алған халда көширип жазамыз:

$$-\frac{\hbar^2}{2m} \Delta \psi + U\psi = E\psi. \quad (2.4.5)$$

Бул теңлемеді $\Delta = \frac{\partial^2}{\partial x^2} + \frac{\partial^2}{\partial y^2} + \frac{\partial^2}{\partial z^2}$ арқалы Лаплас операторы белгиленген. (2.4.5)-теңлемесі стационар халлар ушын Шредингер теңлемесі деп аталады. Оның шешімлері болған $\psi(x, y, z)$ функциялары хәм энергия E нің сәйкес мәнислері бөлекшениң потенциал энергиясы болған $U(x, y, z)$ функциясының айқын түрінен ғәрезли. Стационар халлар ушын Шредингер теңлемесін

$$\Delta \psi + \frac{2m}{\hbar^2} (E - U)\psi = 0 \quad (2.4.6)$$

формада жийи жазады.

Енді ўақытлық функция $\varphi(t)$ ны таллаўға өтемиз. (2.4.4b) функциясының шешими

$$\varphi(t) = \varphi_0 e^{-i\frac{E}{\hbar}t} \quad (2.4.7)$$

түрине ийе болады. Бул жерде φ_0 арқалы базы бир константа белгиленген. Улыўмалықты жойтпастан $\varphi_0 = 1$ деп есаплаў мүмкин. Себеби $\varphi(t)$ функциясы барлық аңлатпаларға тек $\psi(x, y, z)$ функциясы менен көбейме түрінде қатнасады. Соның менен бирге $\psi(x, y, z)$ функциясының өзи турақлы көбейтиўши дәллигинде анықланады. Соның ушын $\varphi(t)$ функциясы ушын және де бир ықтыярлы алынған турақлыны киргизип отырыўдың зәрүрлиги жоқ.

Солай етип стационар квантлық халда турған бөлекше ушын толқын функциясы төмендегидей түрге ийе болады

$$\Psi(x, y, z, t) = \psi(x, y, z) e^{-i\frac{E}{\hbar}t} = \psi(x, y, z) e^{-i\omega t} \quad (2.4.8)$$

(2.4.8)-аңлатпадан стационар халдың толқын функциясының жийилик пенен ўақыттан ғәрезли екенлиги көринип тур

$$\omega = \frac{E}{\hbar}.$$

Бул нәтийже дәслепп еркин бөлекше ушын қолланылған де Бройлдің $E = \omega\hbar$ формуласының бөлекше стационар күш майданында қозғалғанында да дурыс екенлигин көрсетеди.

Стационар халлар ушын бөлекшениң турған орнын табыўдың итималлығының тығызлығының ўақыттан ғәрезсиз екенлигин атап өтемиз. Ҳақыйқатында да

$$\begin{aligned}\omega &= |\Psi(x, y, z, t)|^2 = |\psi(x, y, z)|^2 \left| e^{-i\frac{E}{\hbar}t} \right|^2 = \\ &= |\psi(x, y, z)|^2 e^{-i\frac{E}{\hbar}t} e^{i\frac{E}{\hbar}t} = |\psi(x, y, z)|^2.\end{aligned}\quad (2.4.9)$$

Стационар җалларда итималлықлар ағысының тығызлығы векторының да, физикалық шамалардың орташа мәнислерининң де ўақыттан ғәрезсиз екенлигин көрсетиўге болады.

(2.4.9)-формуланы есапқа алғанда толқын функциясының нормировка шәрти

$$\int_{\mathbb{R}^N} |\Psi(x, y, z, t)|^2 dV = 1$$

мынадай түрге енеди

$$\int_{\mathbb{R}^N} |\psi(x, y, z)|^2 dV = 1. \quad (2.4.10)$$

Стационар мәселелердеги толқын функцияларының координаталық бөлими болған $\psi(x, y, z)$ функциясын әдетте толқын функциясы деп атайды. Усының менен бирге ўақытқа байланыслылық (2.4.8)-аңлатпа менен берилетуғынлығын есапқа алыў керек.

4.1-мәселе. Операторы ўақыттан анық түрде ғәрезли емес физикалық шаманың орташа мәнисининң турақлы шама болатуғынлығын көрсетиңиз.

Шешими: Операторы \hat{A} ўақыттан ғәрезсиз болған a шамасын қараймыз. (3.75)-аңлатпаға сәйкес орташа мәнис $\langle a \rangle$

$$\langle a \rangle = \int_{\mathbb{R}^N} \Psi^*(x, y, z, t) \hat{A} \Psi(x, y, z, t) dV$$

аңлатпасының жәрдеминде бериледи. (2.4.8)-толқын функциясының түрин есапқа алған ғалда

$$\langle a \rangle = \int_{\mathbb{R}^N} \psi(x, y, z) e^{i\frac{E}{\hbar}t} \hat{A} \psi(x, y, z) e^{-i\frac{E}{\hbar}t} dV$$

аңлатпасын аламыз. \hat{A} операторы ўақыттан анық түрде ғәрезсиз болғанлықтан ўақытлық көбейтиўши $e^{i\frac{E}{\hbar}t}$ шамасын қаўсырмадан сыртқа шығарыў мүмкиншилигин береді

$$\langle a \rangle = \int_{\mathbb{R}^N} \psi(x, y, z) e^{i\frac{E}{\hbar}t} e^{-i\frac{E}{\hbar}t} \hat{A} \psi(x, y, z) dV.$$

$e^{i\frac{E}{\hbar}t} e^{-i\frac{E}{\hbar}t} = 1$ теңлиги орынланатуғын болғанлықтан ақыр-аяғында

$$\langle a \rangle = \int_{\mathbb{R}^N} \psi(x, y, z) \hat{A} \psi(x, y, z) dV$$

аңлатпасын аламыз.

Солай етип орташа мәніс ұақыттан ғәрезсиз болып шығады екен.

4.2-мәселе. Егер бөлекше стационар ҳалда турса ҳәм дискрет спектрге ийе болса, онда оның импульсиниң орташа мәніси $\langle p_x \rangle$ тың нолге тең екенлигин дәлиллеңиз. Мәселени бир өлшемлі жағдай ушын шешиңиз ($N = 1$).

Шешими: Дәслең координата операторы \hat{x} , импульс проекциясы \hat{p}_x ҳәм гамильтониан \hat{H} операторлары арасында төмендегидей коммутациялық байланыстың бар екенлигин көрсетип өтемиз

$$[\hat{H}, \hat{x}] = \frac{i\hbar}{m} \hat{p}_x.$$

$[\hat{H}, \hat{x}]$ коммутаторы менен базы бир ψ функциясына тәсир етемиз

$$\begin{aligned} [\hat{H}, \hat{x}] \psi &= \hat{H}(\hat{x} \psi) - \hat{x}(\hat{H} \psi) = \\ &= -\frac{\hbar^2}{2m} \frac{\partial^2}{\partial x^2} (x \psi) + U x \psi - x \left(-\frac{\hbar^2}{2m} \frac{\partial^2 \psi}{\partial x^2} + U \psi \right) = \\ &= -\frac{\hbar^2}{2m} \frac{\partial^2}{\partial x^2} (x \psi) + x \frac{\partial^2 \psi}{\partial x^2}. \end{aligned}$$

$\frac{\partial^2}{\partial x^2} (x \psi) = 2 \frac{\partial \psi}{\partial x} + x \frac{\partial^2 \psi}{\partial x^2}$ екенлигин есапқа алып

$$[\hat{H}, \hat{x}] \psi = -\frac{\hbar^2}{2m} \left(2 \frac{\partial \psi}{\partial x} + x \frac{\partial^2 \psi}{\partial x^2} \right) + \frac{\hbar^2}{2m} x \frac{\partial^2 \psi}{\partial x^2} = -\frac{i\hbar}{m} \frac{\partial \psi}{\partial x} = \frac{i\hbar}{m} \hat{p}_x \psi$$

аңлатпасына, яғный $[\hat{H}, \hat{x}] \psi = \frac{i\hbar}{m} \hat{p}_x \psi$ екенлигине ийе боламыз. Буннан

$$\hat{p}_x = \frac{im}{\hbar} [\hat{H}, \hat{x}]$$

екенлиги келип шығады.

Енди импульс проекциясы $\langle p_x \rangle$ шамасының орташа мәнісин табамыз. ψ толқын функциясының жәрдемінде тәрийипленетуғын ҳалдағы физикалық шаманың орташа мәніси

$$\langle p_x \rangle = \int_{\mathbb{R}^N} \psi^* \hat{p}_x \psi dx$$

формуласының жәрдемінде анықланады. Бул аңлатпаға \hat{p}_x операторы ушын аңлатпаны қойсақ

$$\langle p_x \rangle = \frac{im}{\hbar} \int_{\mathbb{R}^N} (\psi^* \hat{H} \hat{x} \psi - \psi^* \hat{x} \hat{H} \psi) dx = \frac{im}{\hbar} \int_{\mathbb{R}^N} (\psi^* \hat{H} x \psi - \psi^* x \hat{H} \psi) dx$$

аңлатпасына ийе боламыз. Енди \hat{H} операторының эрмитли екенлигинен, яғный

$$\int_{\mathbb{R}^N} \psi_1^* \hat{H} \psi_2 dx = \int_{\mathbb{R}^N} \psi_2 (\hat{H} \psi_1)^* dx$$

екенлигинен пайдаланамыз. Бул аңлатпаларда ψ_1 хәм ψ_2 лер арқалы жүдә кең класстағы ықтыярлы функциялар белгиленген. Бул функциялардың интегралланыуы хәм интегралланыу шегараларында нолге тең болыуы керек. \hat{H} операторының Эрмитли екенлигин есапқа алсақ

$$\langle p_x \rangle = \frac{im}{\hbar} \int_{\mathbb{R}^N} [x\psi(\hat{H}\psi)^* - x\psi^*\hat{H}\psi] dx$$

аңлатпасына ийе боламыз. Бөлекшениң ҳалы стационар болғанлықтан

$$\hat{H}\psi = E\psi \text{ хәм } (\hat{H}\psi)^* = (E\psi)^* = E\psi.$$

Солай етип

$$\langle p_x \rangle = \frac{im}{\hbar} \int_{\mathbb{R}^N} (xE\psi\psi^* - xE\psi\psi^*) dx = 0.$$

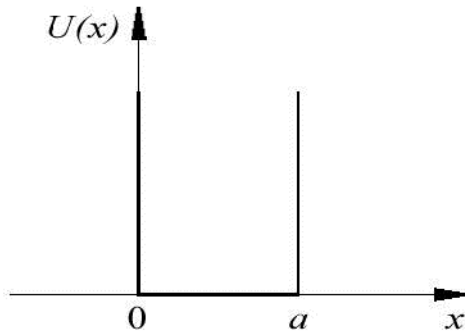
2-4-2. Өткермейтуғын дийўалларға ийе потенциал шуқырдағы бөлекше

Квантлық механиканың стационар мәселелерин қараўды таллаў ушын ең әпиўайы болған мәселеден баслаймыз. Бул мәселе өткермейтуғын дийўалларға ийе (яғный дийўаллары шексиз бийик болған) потенциал шуқырдағы бөлекшениң қозғалысы болып табылады. Үш өлшемли мәселелер қаралғанда бундай шуқырларды потенциал қуты деп те атайды. Бундай жағдайдағы қозғалыстың өзине тән өзгешеликleri [энергияның квантланыуы, энергия қәддилериниң азғыныуы (вырождение энергетических уровней) хәм басқалар)] шекли тереңликке ийе потенциал шуқыр ушын да қарап өтиледі

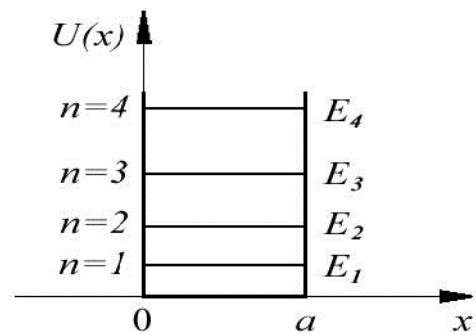
Бир өлшемли потенциал шуқыр. Бир өлшемли дийўалларының бийиклиги шексиз туўры мүйешли потенциал қутыдағы бөлекшени қараймыз. Бул жағдайда бөлекшениң энергиясы $U(x)$

$$U(x) = \begin{cases} \infty, & x < 0 \\ 0, & 0 < x < a \\ \infty, & x > a \end{cases}$$

шамаларына тең болады. Шуқырдың ишинде $U(x)$ тың шамасы турақлы хәм нолге тең, ал шуқырдың сыртларында шексизликке айланады. (2.4.1-сүўрет).



4.1-сүрөт.



4.2-сүрөт.

Бөлекшенин x көшери бағытындағы бир өлшемли қозғалысы үшін Шредингер теңлемеси былайынша жазылады

$$\frac{d^2\psi}{dx^2} + \frac{2m}{\hbar^2}[E - U(x)]\psi = 0. \quad (2.4.11)$$

Потенциал шуқырдың сыртында потенциал энергия шексизликке айланатуғын болғанлықтан (2.4.11)-теңлеменин орынланыўы ушын $\psi(x)$ функциясының нолге айланыўы керек, яғный $\psi(x) \equiv 0$. Бул жағдай дийўаллары шексиз бийик болған шуқырдан бөлекшенин шыға алмайтуғынлығын аңғартады (демек бундай шуқырдың дийўаллары арқалы бөлекше өте алмайды деген сөз). Үзликсизлик шәрти шуқырдың шегараларында толқын функциясының нолге тең болатуғынлығын аңғартады, яғный $\psi(x)$ функциясы $x = 0$ ҳәм $x = a$ ноқатларында нолге айланады.

Солай етип шуқырдағы бөлекшенин қозғалысы мәселеси

$$\frac{d^2\psi}{dx^2} + \frac{2m}{\hbar^2}E\psi = 0, \quad 0 < x < a \quad (2.4.12)$$

теңлемесин шешиўге алып келинеди. Шегаралық шәртлери

$$\psi(0) = 0, \quad \psi(a) = 0.$$

Жаңа белгилеў киргиземиз

$$k = \sqrt{\frac{2m}{\hbar^2}E}. \quad (2.4.13)$$

Бундай жағдайда (2.4.12)-теңлеме тербелислер теориясынан белгили болған теңлемеге айланады

$$\psi' + k^2\psi = 0.$$

Бул теңлеменин шешими

$$\psi(x) = A \sin(kx + a) \quad (2.4.14)$$

түрінде жазылады.

$\psi(0) = 0$ шегаралық шәртин пайдалансақ

$$A \sin \alpha = 0$$

аңлатпасын аламыз. Буннан $\alpha = \pm \pi m$ екенлиги келип шығады. $m = 1, 2, \dots$ m ниң жуп мәнислеринде $\psi(x) = A \sin kx$, ал тақ мәнислеринде $\psi(x) = A \cos kx$ функцияларын алатуғынымызды атап өтемиз. Бирақ физикалық мәниске $\psi(x)$ толқын функциясының өзи емес, ал оның модулиниң квадраты $|\psi(x)|^2$ ийе. Модульдиң квадраты m шамасын сайлап алыўдан, яғный $\psi(x)$ функциясының белгисинен ғәрезли емес. Сонлықтан $\alpha = 0$ деп есаплаўымызға болады.

Екинши шегаралық шәрт $\psi(a) = 0$

$$A \sin ka = 0$$

теңлигине алып келеди. Бул теңлик $A \neq 0$ болған жағдайлар ушын

$$ka = \pm \pi n, \quad n = 1, 2, 3, \dots \quad (2.4.15)$$

(2.4.14)-шешимге кириўши $n = 0$ болған жағдайдың мәселениң шәртин қанаатландырмайтуғынлығын атап өтемиз. Себеби $n = 0$ болғанда $\psi \equiv 0$ шәртиниң орынланыўы керек, ал бул жағдай бөлекшениң шуқырда жоқ екенлигине сәйкес келеди. Сонлықтан n шамасының нолге тең болыўын мәселеден шығарып таслаў керек.

(2.4.13)-аңлатпаны (2.4.15)-аңлатпаға қойып дийўаллары өткермейтуғын потенциал шуқырдың ишинде қозғалыўшы бөлекшениң E_n толық энергиясы ушын аңлатпа аламыз

$$E_n = \frac{\pi^2 \hbar^2}{2ma^2} n^2, \quad n = 1, 2, 3, \dots \quad (2.4.16)$$

Алынған энергия спектри (2.4.16) ның әҳмийетли өзгешелиги оның дискретлиги болып табылады. Потенциал шуқырдың ишиндеги бөлекше (2.4.16)-аңлатпа жәрдемінде анықланған энергияның тек дискрет, квантланған мәнисине ийе болады (2.4.2-сүүрет). Шредингер теңлемесиниң шешиминиң өзинен өзи энергияның квантланыўына алып келмейтуғынлығын атап өтемиз. Квантланыў толқын функциясы ушын жазылған шегаралық шәртлерден, яғный потенциал шуқырдың шегараларында толқын функциясының нолге тең екенлигинен келип шығады.

(2.4.16)-аңлатпадағы шуқырдың ишиндеги бөлекшениң энергиясын анықлайтуғын n санын квантлық сан, ал сол n ге сәйкес келиўши энергияның мәниси болған E_n шамасын энергияның қәдди деп атайды. Бөлекшениң ең киши энергияға ийе қалын (бундай қалда $n = 1$) оның тийкарғы қалы деп атаймыз. Басқа барлық қаллар қозған қаллар болып табылады. $n = 2$ шамасы биринши қозған қалға, $n = 3$ шамасы екинши қозған қалға сәйкес келеди (хәм тағы басқалар).

Тийкарғы қалда турған бөлекшениң энергиясының мәниси нолден өзгеше екенлигин атап өтемиз. Бул нәтийже анықсызлық қатнастарына сәйкес келеди хәм квантлық механиканың барлық мәселелери ушын улыўмалық болып табылады. Классикалық физикада болса нолге тең болған минималлық энергияға шуқырдың

ишіндегі тынышлықта тұрған бөлекше иіе болады. Квантлық механикада бундай тынышлықтағы хал пүткиллей орын алмайды.

Энергия спектриниң дискретлигин толығырақ таллаймыз. n – хәм $(n + 1)$ – қәддилер арасындағы энергия қәддилериниң айырмасы ΔE_n шамасын табамыз

$$\Delta E_n = E_{n+1} - E_n = \frac{\pi^2 \hbar^2}{2ma^2} (2n + 1).$$

ΔE_n шамасының мәнисин айқын жағдайлар ушын баҳалаймыз.

1-жағдай. Массасы $m \approx 10^{-27}$ кг хәм өлшеми $a \approx 0,1$ м болған ыдыстағы газдың молекуласын қараймыз. Бундай жағдайда

$$\Delta E_n \approx 6,8 \cdot 10^{-20} \cdot n \text{ эВ}$$

шамасына иіе боламыз. Қоңсылас энергия қәддилери арасындағы айырма молекулалардың жыллылық қозғалысларының энергиясы болған kT шамасынан жүдә киши болып шықты (өжире температураларында $kT \approx 2,6 \cdot 10^{-2}$ эВ). Бундай жағдайда қозғалыұшы молекулалардың тутас энергия спектри хәққында айта аламыз.

2-жағдай. Металлдағы еркин электронды қараймыз ($m = 0,9 \cdot 10^{-30}$ кг, $a \approx 0,01$ м). Бул жағдайда

$$\Delta E_n \approx 7,5 \cdot 10^{-15} \cdot n \text{ эВ}$$

хәм бул жағдайда да қәддилер арасындағы энергияның айырмасы металдағы электронлардың энергиясына салыстырғанда (энергиясының шамасы ~ 1 эВ ке тең) жүдә киши. Бирақ (бул VI бапта көрсетиледи) макроскопиялық өлшемлердеги потенциал шуқырдағы электрон ушын дискрет қәддилердиң болыұы принципиаллық әхмийетке иіе.

3-жағдай. Атомдағы еркин электронды қараймыз ($a \approx 10^{-10}$ м). Бундай жағдайда қоңсылас қәддилер арасындағы айырма

$$\Delta E_n \approx 0,75 \cdot 10^2 \cdot n \text{ эВ}.$$

Бул атомдағы электронның байланыс энергиясына ($E_{\text{байл.}} \sim 10$ эВ) салыстырғанда әдеұир сезилерликтей шама болып табылады. Сонлықтан бул жағдайдағы энергия спектриниң дискретлигин есапқа алмаұға болмайды.

Потенциаллық шуқырдағы бөлекшениң энергиясының спектрин таллаұды жуұмақлаұ алдында оның және бир қәсийетин қараймыз. ΔE_n шамасының E_n шамасына қатнасын есаплаймыз.

$$\frac{\Delta E_n}{E_n} = \frac{2n + 1}{n^2}.$$

n квантлық санның үлкейиұи менен бул қатнастың мәниси кемейеди ($\frac{\Delta E_n}{E_n} \approx \frac{2}{n}$). Сонлықтан энергиялық спектрдиң дискретлиги n ниң өсиұи менен кемейеди. Бул нәтийже сәйкЕгерк принципи деп аталатуғын әхмийетли болған физикалық принциптиң көриниұи болып табылады. Бул сәйкЕгерк принципи бойынша n квантлық санның үлкен мәнислеринде, яғный $n \rightarrow \infty$ шеклеринде квантлық механика классикалық механикаға өтеди.

Бир өлшемлі шуқырдағы бөлекшениң толқын функциялары. Енді бир өлшемлі потенциал шуқырда жайласқан бөлекшениң толқын функцияларын талқылауға өтемиз. (2.4.15)-аңлатпаны есапқа алып (2.4.14)-аңлатпадан мынаған ийе боламыз

$$\psi_n(x) = A \sin \frac{\pi n x}{a}.$$

A көбейтiушиси (2.4.10)-толқын функциясының нормировка шәртинен табылады

$$\int_{-\infty}^{\infty} |\psi_n(x)|^2 dx = A^2 \int_0^a \sin^2 \frac{\pi n x}{a} dx = A^2 \frac{a}{2} = 1.$$

Солай етип A ушын

$$A = \sqrt{\frac{2}{a}}$$

аңлатпасына ийе боламыз хәм сонлықтан дийўалларының бийиклиги шексиз болған бир өлшемлі потенциал шуқырдағы бөлекше ушын

$$\psi_n(x) = \sqrt{\frac{2}{a}} \sin \frac{\pi n x}{a} \quad (2.4.17)$$

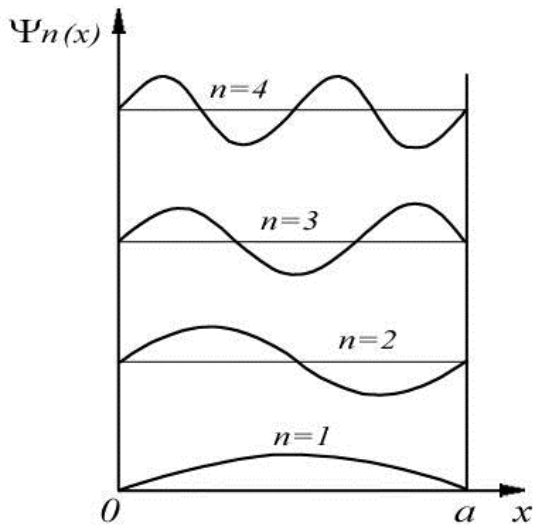
түрдеги толқын функцияларын аламыз. Бул аңлатпада $0 < x < a$, $n = 1, 2, 3, \dots$ Улыўмалық теорияға сәйкес (3.5 ти қараў керек) бул функциялар ортонормировкаланған функциялар болып табылады. Яғный

$$\int_{-\infty}^{\infty} \psi_m(x) \psi_n(x) dx = \delta_{mn}.$$

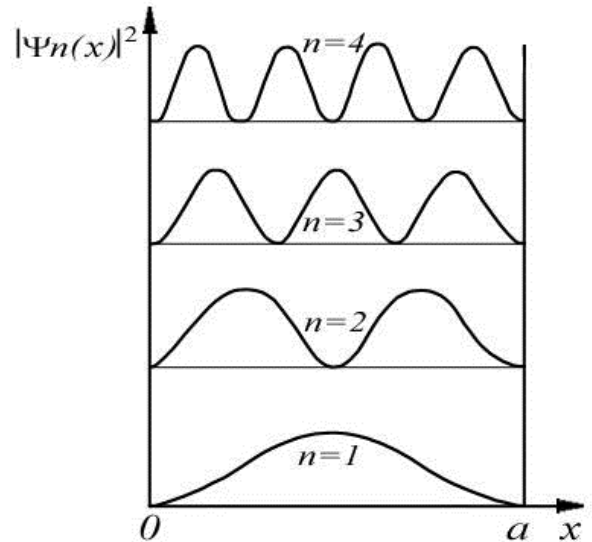
Бул аңлатпада δ_{mn} арқалы 1 хәм 0 мәнислерине ийе болатуғын Кронекер символы белгиленген

$$\delta_{mn} = \begin{cases} 1 & (\text{егер } m = n \text{ болса}) \\ 0 & (\text{егер } m \neq n \text{ болса}). \end{cases} \quad (2.4.18)$$

n квантлық санның төрт мәнисине сәйкес келетуғын $\psi_n(x)$ толқын функциялары 2.4.3-сүўретте келтирилген. n квантлық санның хәр қыйлы мәнислерине сәйкес келиўши толқын функциялары бир биринен үлкен айырмаға ийе болады. Егер координата басын шуқырдың ортасына көширсек n квантлық санның тақ мәнисине сәйкес келиўши толқын функцияларының координаталардың жуп функциясы, ал n квантлық санның жуп мәнисине сәйкес келиўши толқын функцияларының координаталардың тақ функциясы болатуғынлығын көремиз. n квантлық санның мәниси бир шамасына өзгерсе толқын функциясының x көшерин кесип өтетуғын ноқатларының саны да 1 ге артады.



2.4.3-сүрөт.



2.4.4-сүрөт.

Табылган толқын функцияларының өзлерине тән қасиетлерінің бири шуқырдың шегарасындағы туыңдының үзіліске түсіуінде (секиріуге ушырауында) көрінеді. Бул секиріу бөлекшениң потенциал энергиясы болған $U(x)$ шамасының шексіздікке айланыуы менен байланысly. Шекли тереңлікке ийе болған шуқырда (бул жағдай 2-4-4-параграфта талланады) толқын функциясының туыңдысы шуқырдың шегарасында секиріуге ушырамайды, яғный толқын функциясы бир қәліпте өзгереді.

2.4.4-сүрөтте толқын функциясының модулинің квадратының (яғный $|\psi_n(x)|^2$ шамасының) графиги көрсетілген. $|\psi_n(x)|^2$ шамасының бөлекшени шуқырдың ишінде табыудың итималлығының тығызлығын беретуғынлығын еске салып өтеміз.

Хәр қыйлы n лер ушын бөлекшелердің хәр қыйлы халлары ушын итималлықтың тығызлықлары хәр қыйлы болатуғынлығы көринип тур. Мысалы тийкарғы халда турған бөлекшени (яғный $n = 1$ болған жағдайда) шуқырдың орайында табыудың итималлығы ең үлкен мәніске ийе болады. Ал биринши қозған халда (яғный $n = 2$ болғанда) бөлекшени шуқырдың орайында табыудың итималлығы нолге тең. Соның менен бирге бөлекшени шуқырдың орайының оң хәм шеп тәреплерінде бирдей итималлық пенен табыу мүмкин. Бул жағдай классикалық бөлекшениң шуқырда жайласуынан пүткиллей басқа. Классикалық бөлекшени шуқырдың қәлеген ноқатында табыудың итималлығы бирдей.

Шуқырдың ишіндеги $x_1 \leq x \leq x_2$ областта бөлекшени табыудың итималлығы

$$P = \int_{x_1}^{x_2} |\psi_n(x)|^2 dx \quad (2.4.19)$$

аңлатпасының жәрдеминде анықланады.

Математикалық көз-қарастан өткізбейтуғын дийуалларға ийе бир өлшемли потенциал қутыдағы бөлекшениң қозғалысы хәққындағы мәселе ушлары бекитілген тардың (струнаның) тербелиси хәққындағы мәселеге усайды. Еки жағдайда да шуқырдың кеңлигинде (тардың узынлығында) пүтин сан еселенген ярым толқын узынлығы жайласуы керек ($a = n \frac{\lambda}{2}$). Биз қарап атырған жағдайда λ

хаққында гәп етилгенде шуқырдың ишиндеги бөлекшениң де Бройль толқын узынлығы болған ψ_{db} шамасын түсинемиз.

Еки өлшемли потенциал шуқыр. Дийўалларының бийиклиги шексиз болған (дийўаллары шексиз бийик, сонлықтан бөлекшени өткермейтуғын) еки өлшемли туўры мүйешли потенциал шуқырды қараймыз. Бундай жағдайда бөлекшениң потенциал энергиясы $U(x, y)$ төмендегидей түрге ийе болады

$$U(x, y) = \begin{cases} 0, & \text{егер } (x, y) \in \Omega \text{ болса} \\ \infty, & \text{егер } (x, y) \notin \Omega \text{ болса.} \end{cases}$$

Бул аңлатпада $\Omega = \{(x, y): 0 < x < a_1, 0 < y < a_2\}$ арқалы (x, y) тегислигиндеги туўры мүйешли область белгиленген (2.4.5-сүўрет). Бир өлшемли жағдайдағыдай потенциал шуқырдың сыртында $\psi(x, y) \equiv 0$. Шуқырдың ишинде x хәм y көшерлери бағытындағы қозғалыслар бир биринен ғәрезсиз болғанлықтан $\psi(x, y)$ функциясын

$$\psi(x, y) = \psi_1(x) \cdot \psi_2(y) \quad (2.4.20)$$

көбеймеси түринде излеймиз. Бул аңлатпада $\psi_1(x)$ арқалы тек x координатасына ғәрезли болған толқын функциясы, ал $\psi_2(y)$ арқалы тек y координатасынан ғәрезли болған толқын функциясы белгиленген. (2.4.20) толқын функциясын (2.4.6) Шредингер теңлемесине қойсақ

$$\Delta\psi(x, y) + \frac{2m}{\hbar^2} E\psi(x, y) = 0$$

ямаса

$$\psi_2(y) \frac{d^2\psi_1(x)}{dx^2} + \psi_1(x) \frac{d^2\psi_2(y)}{dy^2} = -\frac{2m}{\hbar^2} E\psi_1(x)\psi_2(y)$$

аңлатпасын аламыз. Бул аңлатпасын еки тәрәпин де $\psi_1(x)\psi_2(y)$ көбеймесине бөлсек

$$\frac{1}{\psi_1(x)} \frac{d^2\psi_1(x)}{dx^2} + \frac{1}{\psi_2(y)} \frac{d^2\psi_2(y)}{dy^2} = -\frac{2m}{\hbar^2} E \quad (2.4.21)$$

аңлатпасына өтемиз. (2.4.21) диң шеп тәрәпиндеги биринши қосылыўшы тек x координатасынан, ал екинши қосылыўшы тек y координатасынан ғәрезли. Олардың қосындысы турақлы шамаға тең болғанлықтан қосылыўшылардың өзлери де турақлы шамаға тең болады, яғный

$$\begin{aligned} \frac{1}{\psi_1(x)} \frac{d^2\psi_1(x)}{dx^2} &= -\frac{2m}{\hbar^2} E_1, \\ \frac{1}{\psi_2(y)} \frac{d^2\psi_2(y)}{dy^2} &= -\frac{2m}{\hbar^2} E_2. \end{aligned}$$

Бул аңлатпаларда E_1 хәм E_2 арқалы бирликлери энергияның бирлигиндей болған шамалар белгиленген. Қала берсе $E_1 + E_2 = E$. Солай етип еки өлшемли мәселе ушын Шредингер теңлемеси еки бир өлшемли теңлемеге айрылады екен

$$\begin{aligned}\frac{d^2\psi_1(x)}{dx^2} + \frac{2m}{\hbar^2} E_1 \psi_1(x) &= 0, \\ \frac{d^2\psi_2(y)}{dy^2} + \frac{2m}{\hbar^2} E_2 \psi_2(y) &= 0.\end{aligned}\quad (2.4.22)$$

Бундай теңлемелердің шешімлерін биз жоқарыда алған едик. Демек $\psi_1(x)$ хәм $\psi_2(y)$ функциялары

$$\begin{aligned}\psi_{1,n_1}(x) &= \sqrt{\frac{2}{a_1}} \sin \frac{\pi n_1 x}{a_1}, \\ \psi_{1,n_2}(y) &= \sqrt{\frac{2}{a_2}} \sin \frac{\pi n_2 y}{a_2}\end{aligned}$$

түрине ийе болады. Бул аңлатпалардағы n_1 хәм n_2 квантлық санлар $n_1, n_2 = 1, 2, 3, \dots$ мәнислерін қабыл етеди. Демек еки өлшемли туўры мүйешли шексиз бийик дийўалларға ийе потенциал шуқырдағы бөлекшениң толқын функциясы былайынша жазылады екен:

$$\psi_{n_1, n_2}(x, y) = \sqrt{\frac{4}{a_1 a_2}} \sin \frac{\pi n_1 x}{a_1} \sin \frac{\pi n_2 y}{a_2}. \quad (2.4.23)$$

Бул аңлатпада $0 < x < a_1$, $0 < y < a_2$ хәм $n_1, n_2 = 1, 2, 3, \dots$
Еки өлшемли шуқырда жайласқан бөлекшениң энергиясы

$$E_{n_1, n_2} = \frac{\pi^2 \hbar^2}{2m} \left[\left(\frac{n_1}{a_1} \right)^2 + \left(\frac{n_2}{a_2} \right)^2 \right] \quad (2.4.24)$$

аңлатпасының жәрдеминде есапланады. Бул аңлатпада да $n_1, n_2 = 1, 2, 3, \dots$

Бөлекшениң энергиясының спектри (2.4.24) дискрет болып табылады хәм n_1 және n_2 квантлық санларнан ғәрезли.

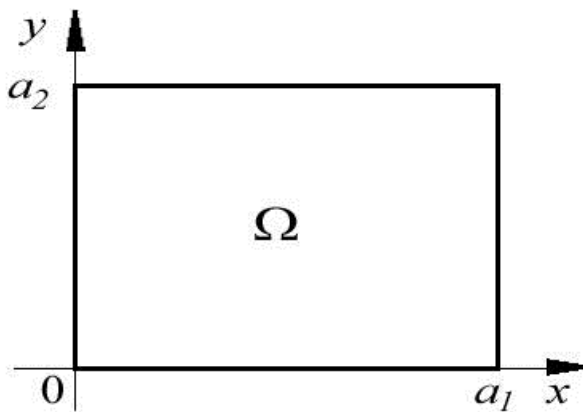
Енди квадрат потенциал шуқырдағы бөлекшениң қозғалысын қараймыз. Бул жағдайда $a_1 = a_2 = a$. Бундай жағдайда бөлекшениң энергия спектри

$$E_{n_1, n_2} = \frac{\pi^2 \hbar^2}{2ma^2} (n_1^2 + n_2^2) \quad (2.4.25)$$

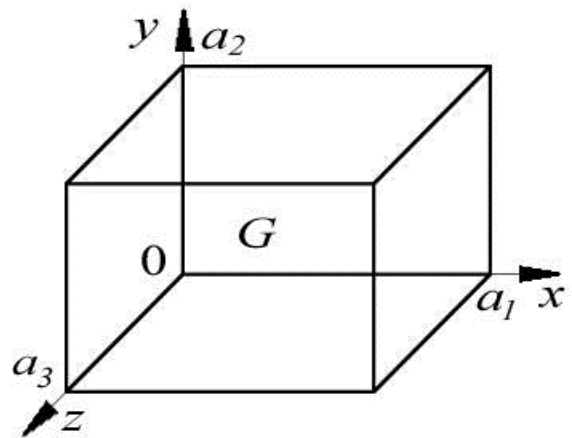
түрине ийе. Бул аңлатпада да $n_1, n_2 = 1, 2, 3, \dots$

(2.4.25)-аңлатпадан энергия қәддилериниң айныўы ҳаққындағы дәслепки түсиниклерге ийе бола аламыз. Бул аңлатпада n_1 хәм n_2 квантлық санларна байланыслы болған бир E_{n_1, n_2} энергия қәддине $n_1 \neq n_2$ болған жағдайда бөлекшениң хәр қыйлы еки ҳалының (бул еки ҳал ψ_{n_1, n_2} хәм ψ_{n_2, n_1} толқын функциялары менен тәрийипленеди) сәйкес келетуғынлығын көрсетеди. Бөлекшениң бир неше ҳаллары сәйкес келетуғын энергия қәддин айныған ҳал (вырожденный уровень), ал бир қәддиге сәйкес келетуғын ҳаллардың санын айныў саны (кратность вырождения) деп атайды. Еки өлшемли квадрат потенциал шуқырда $n_1 \neq n_2$ болған шәрти орынланатуғын энергия қәддиниң айныў саны екиге тең. Бөлекшениң тек бир ҳалы сәйкес келетуғын энергияның қәддине айнымаған

деп атаймыз. Еки өлшемлі квадратлық потенциал шуқырда $n_1 = n_2$ болған энергия қәддилери айнымаған қәддилер болып табылады.



2.4.5-сүрөт.



2.4.5-сүрөт.

Үш өлшемлі потенциал шуқыр. Дийўаллары шексиз бийик болған үш өлшемлі потенциал шуқырдағы (потенциал қутыдағы) бөлекшени қараймыз. Туўры мүйешли параллелопипедтиң ишки областын $G = \{(x, y, z): 0 < x < a_1, 0 < y < a_2, 0 < z < a_3\}$ арқалы белгилеймиз (2.4.6-сүрөт). Бул мәселеде $U(x, y, z)$ потенциалы

$$U(x, y, z) = \begin{cases} 0, & \text{егер } (x, y, z) \in G \text{ болса} \\ \infty, & \text{егер } (x, y, z) \notin G \text{ болса.} \end{cases}$$

түрине ийе болады. Потенциал шуқырдың сыртында бөлекшениң толқын функциясы $U(x, y, z) \equiv 0$. Еки өлшемлі жағдайды қараған жағдайдағыдай бул жағдайда да толқын функциясын

$$\psi(x, y, z) = \psi_1(x) + \psi_2(y) + \psi_3(z)$$

түрінде излеймиз. Бул аңлатпада $\psi_1(x)$ функциясы тек x координатасынан, $\psi_2(y)$ функциясы тек y координатасынан, ал $\psi_3(z)$ функциясы тек z координатасынан ғәрезли.

Еки өлшемлі шуқырдағы мәселени шешиўдинң усылындағыдай үш өлшемлі жағдайда үш бир өлшемлі теңлеме аламыз

$$\begin{aligned} \frac{d^2\psi_1(x)}{dx^2} + \frac{2m}{\hbar^2} E_1 \psi_1(x) &= 0, \\ \frac{d^2\psi_2(y)}{dy^2} + \frac{2m}{\hbar^2} E_2 \psi_2(y) &= 0, \\ \frac{d^2\psi_3(z)}{dz^2} + \frac{2m}{\hbar^2} E_3 \psi_3(z) &= 0. \end{aligned}$$

Бул аңлатпада $E_1 + E_2 + E_3 = E$. G областының шегараларында (ямаса потенциал ящиктиң өткермейтуғын дийўалларында) бул теңлемелердинң шешимлери нолге айланады. Усы жағдайдың жәрдемінде (яғный потенциал қутының өткизбейтуғын дийўалларында) бөлекшениң толқын функциясының түри

$$\psi_{n_1, n_2, n_3}(x, y, z) = \sqrt{\frac{8}{a_1 a_2 a_3}} \sin \frac{\pi n_1 x}{a_1} \sin \frac{\pi n_2 y}{a_2} \sin \frac{\pi n_3 z}{a_3} \quad (2.4.26)$$

хәм оның энергиялық спектри

$$E_{n_1, n_2, n_3} = \frac{\pi^2 \hbar^2}{2m} \left[\left(\frac{n_1}{a_1} \right)^2 + \left(\frac{n_2}{a_2} \right)^2 + \left(\frac{n_3}{a_3} \right)^2 \right] \quad (2.4.27)$$

анықланады. Бул аңлатпаларда n_1, n_2 хәм n_3 квантлық санлар $n_1, n_2, n_3 = 1, 2, 3, \dots$ мәнислерин қабыл етеди. Үш өлшемлі потенциал шуқырда бөлекшениң толқын функциясы да, энергиясы да үш квантлық саннан ғәрезли болатуғынлығын атап өтемиз.

Енди бөлекшениң кублық потенциал шуқырдың ишиндеги қозғалысын қараймыз. Бул жағдайда $a_1 = a_2 = a_3 = a$. Усыған сәйкес энергия спектри

$$E_{n_1, n_2, n_3} = \frac{\pi^2 \hbar^2}{2ma^2} (n_1^2 + n_2^2 + n_3^2) \quad (2.4.28)$$

түрине ийе болады. Бул аңлатпада да $n_1, n_2, n_3 = 1, 2, 3, \dots$

Кублық шуқырда $n_1 = n_2 = n_3$ болған жағдайда энергия қәддилери айнымаған болады. Энергияның басқа қәддилериниң барлығы да айныған болып шығады. Кублық шуқырдағы энергия қәддилериниң айныу саны хаққындағы мәселе 4.4-мәселеде шешиледі.

4.3-мәселе. Массасы m болған бөлекше шексиз терең еки өлшемлі потенциал шуқырда екинши қозған ҳалда жайласқан. Усы бөлекшени $0 < x \leq \frac{a}{3}$, $0 < y \leq \frac{a}{3}$ областында табыўдың итималлығын хәм биринши және екинши қозған ҳаллардың энергияларының айырмасын табыңыз. Жоқарыда a арқалы шуқырдың өлшеми белгиленген.

Шешими: (2.4.23)-аңлатпаға сәйкес еки өлшемлі квадрат потенциал шуқырдың ишиндеги бөлекшениң толқын функциясы

$$\psi_{n_1, n_2}(x, y) = \sqrt{\frac{4}{a^2}} \sin \frac{\pi n_1 x}{a} \sin \frac{\pi n_2 y}{a},$$

ал оның энергиясы спектри (2.4.25)-аңлатпаға сәйкес

$$E_{n_1, n_2} = \frac{\pi^2 \hbar^2}{2ma^2} (n_1^2 + n_2^2)$$

түрине ийе болады ($n_1, n_2 = 1, 2, 3, \dots$). Биринши қозған ҳалға $n_1 = 1$, $n_2 = 2$ (ямаса керисинше $n_1 = 2$, $n_2 = 1$) квантлық санлар сәйкес келеди. Демек сәйкес энергияның қәдди еки рет айныған болып шығады. Екинши қозған ҳалға $n_1 = n_2 = 2$ квантлық санлар сәйкес келеди. Оған сәйкес энергия қәдди айныған емес.

Бөлекшени $0 < x \leq \frac{a}{3}$, $0 < y \leq \frac{a}{3}$ областында табыўдың итималлығы

$$P = \int_0^{a/3} \int_0^{a/3} |\psi_{2,2}(x, y)|^2 dx dy = \frac{4}{a^2} \int_0^{a/3} \int_0^{a/3} \sin^2 \frac{2\pi x}{a} \sin^2 \frac{2\pi y}{a} dx dy = \left(\frac{1}{3} - \frac{\sqrt{3}}{8\pi} \right)^2 \approx 0,07$$

аңлатпасының жәрдемінде анықланады. Бөлекшениң екінші және бірінші қозған халларына сәйкес келетуғын энергияның айырмасы

$$\Delta E = \frac{\pi^2 \hbar^2}{2ma^2} (8 - 5) = \frac{3\pi^2 \hbar^2}{2ma^2}.$$

4.4-мәселе. Массасы m болған бөлекше дийұаллары абсолют өткізбейтуғын (яғный шексиз бийик) үш өлшемлі кублық потенциал шуқырда жайласқан. Кубтың қабырғаларының ұзындығы a шамасына тең.

Табыңыз: а) 6- және 5-қадди энергияларының айырмасын;

б) 6-қаддиниң энергиясын;

с) 6-қаддиниң айныұ санын.

Шешими: Үш өлшемлі, кублық, абсолют өтиўге болмайтуғын дийұалларға ийе потенциал шуқырдың ишінде жайласқан бөлекшениң қалы

$$\psi_{n_1, n_2, n_3}(x, y, z) = \sqrt{\frac{8}{a^3}} \sin \frac{\pi n_1 x}{a} \sin \frac{\pi n_2 y}{a} \sin \frac{\pi n_3 z}{a}$$

толқын функциясы менен тәрийипленеди. Ал бөлекшениң энергиясы (2.4.28)-аңлатпаға сәйкес

$$E_{n_1, n_2, n_3} = \frac{\pi^2 \hbar^2}{2ma^2} (n_1^2 + n_2^2 + n_3^2)$$

шамаларына тең болады. Бөлекшениң тийкарғы қалына, яғный бөлекшениң ең киши энергияға ийе қалына $n_1 = n_2 = n_3 = 1$ квантлық санларна жуўап беретуғын хал сәйкес келеди. Қозған халлардың энергиялық қаддилери E_{n_1, n_2, n_3} шамасы ушын келтирилген аңлатпаның жәрдемінде анықланады. Соның менен бирге E_{n_1, n_2, n_3} энергиясы шамасының квантлық санларның квадратларының суммасының ($\sum_{i=1}^3 n_i^2$ суммасының) артыұы менен үлкейетуғынлығын көремиз. Бул жағдай төмендеги кестеде келтирилген:

Қадди- лердің қатар саны	Квантлық санлар (n_1, n_2, n_3)	$\sum_{i=1}^3 n_i^2$
1	(1, 1, 1)	3
2	(1, 1, 2), (1, 2, 1), (2, 1, 1)	6
3	(1, 2, 2), (2, 1, 2), (2, 2, 1)	9
4	(1, 1, 3), (1, 3, 1), (3, 1, 1)	11
5	(2, 2, 2)	12
6	(1, 2, 3), (1, 3, 2), (2, 1, 3), (2, 3, 1), (3, 1, 2), (3, 2, 1)	14

Кестеден көринип турғанындай, энергияның алтыншы қэддине квантлық санларның квадратларының қосындысы 14-ке тең болған сан сәйкес келеді. Ал бесінші қэдди үшін бұл сумманың мәнісі 12-ге тең. Солай етип алтыншы хәм бесінші қэддилерге сәйкес келиўши энергиялардың айырмасы

$$\Delta E = E_6 - E_5 = \frac{\pi^2 \hbar^2}{2ma^2} (14 - 12) = \frac{\pi^2 \hbar^2}{ma^2}$$

шамасына тең болады. Ал алтыншы қэддинің энергиясы үшін

$$E_6 = \frac{\pi^2 \hbar^2}{2ma^2} 14 = 7 \frac{\pi^2 \hbar^2}{2ma^2}$$

шамасын аламыз.

Енди үш өлшемлі потенциал шуқырдағы бөлекшениң энергиясының қэддилеринің айныў санлары ҳаққында гәп етемиз. Егер n_1, n_2, n_3 квантлық санлар бир бирине тең болса, онда сәйкес энергияның қэдди айнымаған қэдди болып табылады. Бундай қэддилерге сәйкес келетуғын квантлық санларның $(1,1,1)$, $(2,2,2)$ хәм басқа да жыйнақларын көрсетиўге болады. Егер үш квантлық санның екеўи бир бирине тең, ал үшіншиси оларға тең болмайтұғын жағдайда энергияның қэдди үшін айныў саны үшке тең. Мысалы үш қайтара айныған қэддилерге екінши, үшінши хәм төртінши энергия қэддилерин көрсетиўге болады. Егер квантлық санлар бир бирине тең болмайтұғын болса, онда айныў санының мәнісин үш санның орынларын өзгертип қойыў операцияларының санына, яғный алтыға тең болады. Тап усындай ситуация алтыншы қэддиде жүзеге келеді. Солай етип алтыншы қэддинің айныў саны $K_6 = 6$.

4.5-мәселе. Атом ядросындағы нуклон ядролық күшлердің тәсиринде радиусы $a = 10^{-14}$ м болған сфералық потенциал шуқырда жайласады. Потенциаллық шуқырдың дийўаллары нуклонды өткермейди деп есаплаймыз (шексиз бийик дийўал). Ядролық күшлер майданындағы бөлекшениң тийкарғы ҳалын сфералық симметрияға ийе деп есаплап, нуклонның ядродағы ең төменги энергиялық қэддин анықлаңыз. Нуклонның массасы $m = 1,67 \cdot 10^{-27}$ кг.

Шешими: Атомлардың ядролары протонлар менен нейтронлардан турады. Ядролық тәсирлесиўде бұл бөлекшелер бирдей қәсийет көрсетеди. Сонлықтан ядродағы протонлар менен нейтронларды нуклонлар деп атайды.

Жақыннан тәсир етиўши қуўатлы ядролық күшлер нуклонларды ядрода ушлап турады. Мәселениң шәрти бойынша ядро күшлеринің майданы болған $U(r)$ шамасын өткермейтұғын дийўалға ийе сфералық потенциал шуқырдың жәрдемінде моделлестириў мүмкин.

$$U(r) = \begin{cases} 0, & \text{егер } r < a \text{ болса} \\ \infty, & \text{егер } r > a \text{ болса.} \end{cases}$$

Бұл аңлатпада r арқалы нуклон менен ядроның орайы арасындағы қашықтық, ал a арқалы потенциал шуқырдың радиусы белгиленген. Бұл шаманы ядроның радиусына тең деп есаплаймыз.

Биз қарап атырған ядроның орайынан $r = a$ қашықтығындағы потенциал шуқырдың дийўалларының бийиклиги шексиз үлкен. Бұл олардың энергиясының бийиклигинің шексиз үлкен екенлиги менен байланысly. Сонлықтан шуқырдан сыртта, яғный $r > a$ болған областларда, нуклонның толқын функциясы нолге тең.

Бул жағдай нуклонның ядроның ишіндегі $0 \leq r < a$ областында жайласады дегенді аңлатады.

Сфералық потенциал шуқырдағы нуклонның энергиясын табыу үшін стационар халлар үшін жазылған (2.4.6)-Шредингер теңлемесін шешіу керек. Жоқарыда қарап өтілген мәселелердегідей, шуқырдың ишінде нуклонның потенциал энергиясын нолге тең деп есептейміз ($U = 0$). Бұндай жағдай үшін Шредингер теңлемесі былайынша жазылады

$$\Delta\psi + \frac{2mE}{\hbar^2}\psi = 0, \quad 0 \leq r < a$$

Мәселе сфералық симметрияға ийе болғанлықтан сфералық координаталар системасына өтемиз хәм толқын функциясы ψ ди радиаллық координата r диң, мүйешлік өзгеріушілер ϑ менен φ диң функциясы деп қараймыз, яғнай $\psi = \psi(r, \vartheta, \varphi)$. Мәселенің шәрті бойынша сфералық шуқырдағы бөлекшениң халы сфералық симметрияға ийе болғанлықтан (яғнай ϑ, φ координаталарынан ғәрезсиз) бөлекшениң толқын функциясын тек радиаллық координата r ден ғәрезли деп есептейміз. Бул жағдайда Лаплас операторы мынадай түрге енеди:

$$\Delta\psi(r) = \frac{1}{r^2} \frac{\partial}{\partial r} \left(r^2 \frac{d\psi(r)}{dr} \right) = \frac{d^2\psi(r)}{dr^2} + \frac{2}{r} \frac{d\psi(r)}{dr}.$$

Солай етип сфера тәризли ядродағы бөлекше үшін Шредингер теңлемесін

$$\frac{d^2\psi(r)}{dr^2} + \frac{2}{r} \frac{d\psi(r)}{dr} + \frac{2mE}{\hbar^2}\psi = 0.$$

түрінде жазамыз. Бул теңлеменің биз излеп атырған шешими төмендегідей еки шәртти қанаатландырады:

$$|\psi(0)| < \infty \text{ хәм } \psi(a) = 0.$$

Бул шәртлердің бириншиси толқын функциясының кеңисликтің қәлеген ноқатындағы шекленгенлигинің, ал екіншиси потенциал шуқырдың шегараларының өткізбейтуғынлығын есапқа алғандағы толқын функциясының үзликсизлигинің нәтийжеси.

$\psi(r)$ толқын функциясын $\psi(r) = \frac{u(r)}{r}$ түрінде излеймиз. $\psi(r)$ функциясының координата бойынша туындылары

$$\begin{aligned} \frac{d\psi}{dr} &= \frac{1}{r} \frac{du}{dr} - \frac{1}{r^2} u, \\ \frac{d^2\psi}{dr^2} &= \frac{1}{r} \frac{d^2u}{dr^2} - \frac{2}{r^2} \frac{du}{dr} + \frac{2}{r^3} u. \end{aligned}$$

Бул туындыларды Шредингер теңлемесине қойып $u(r)$ функциясы үшін теңлеме аламыз:

$$\frac{d^2u}{dr^2} + \frac{2mE}{\hbar^2}u = 0, \quad 0 \leq r < a.$$

Бул теңдеме ушын шегаралық шәртлер

$$u(0) = 0 \text{ хәм } u(a) = 0.$$

Бул мәселе формаллық жақтан бөлекшениң кеңлиги a болған, дийўаллары өткермейтуғын, бир өлшемли потенциал шуқырдағы бөлекшениң қозғалысы ҳаққындағы мәселеге уқсас (2.4.2-параграфты қараңыз). Сонлықтан (2.4.16)- хәм (2.4.17)- аңлатпаларды есапқа алғанда оның шешимлерин былайынша жаза аламыз:

$$u_n(r) = A \sin \frac{n\pi r}{a}, \quad n = 1, 2, 3, \dots$$

$\psi(r)$ функциясына қайтып келип нормировкаланбаған ($A = \text{const}$) толқын функцияларын жазамыз

$$\psi_n(r) = A \frac{\sin \frac{n\pi r}{a}}{r}, \quad n = 1, 2, 3, \dots$$

Бул функциялар биз қарап атырған потенциал шуқырдағы бөлекшениң барлық мүмкин болған сфералық симметрияға ийе болатуғын квантлық ҳалларды тәрийиплейтуғын мәселениң шешими болып табылады. Бул квантлық ҳалларды бөлекшениң толық энергиясының төмендегидей мәнислери сәйкес келеди

$$E_n = \frac{\pi^2 \hbar^2}{2ma^2} n^2, \quad n = 1, 2, 3, \dots$$

$n = 1$ болған жағдайда биз қарап атырған ядродағы нуклонның мүмкин болған ең киши (минималлық) энергиясын аламыз. $m = 1,67 \cdot 10^{-27}$ кг, $a = 10^{-14}$ кг мәнислерин қойып, биз $E_{\min} = 3,3 \cdot 10^{-33}$ Дж = $2,1 \cdot 10^6$ эВ = 2,1 МэВ шамасын аламыз.

Энергияның бул мәниси атомдағы электронның энергиясына салыстырғанда әдеўир үлкен. Усының нәтийжесинде ядролық процесслерде бөлинип шығатуғын энергияның муғдары химиялық реакцияларда бөлинип шығатуғын энергияның мәнисинен миллионлаған есе үлкен болады. Аўыр ядролардың бөлиниў хәм жеңил ядролардың синтези реакцияларының жүзеге келиўи квантлық механика нызамларының нәтийжеси сыпатында алынған бул жуўмақлардың дурыс екенлигин тастыйықлайды.

2-4-3. Потенциал табалдырық хәм дийўал областындағы бөлекшениң қозғалысы

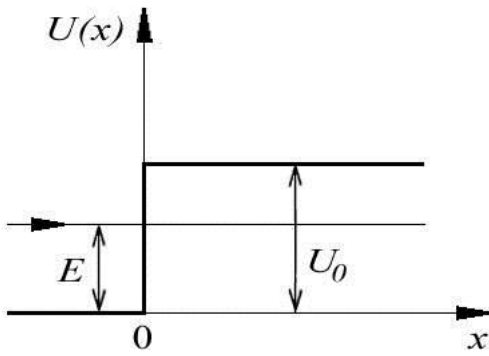
Жоқарыдағы параграфта кеңисликтің шекленген областындағы бөлекшениң қозғалысы қарап өтилди. Бундай қозғалысты финитлик қозғалыс деп атаймыз. Енди күш майданында жайласқан бөлекшениң шексизликке кете алатуғын қәбилетликке ийе болатуғын жағдайды қараймыз. Басқа сөз бенен айтқанда енди бөлекшениң инфинитлик қозғалысын үйренемиз.

Потенциал табалдырық областындағы бөлекшениң қозғалысы. Потенциал энергиясы

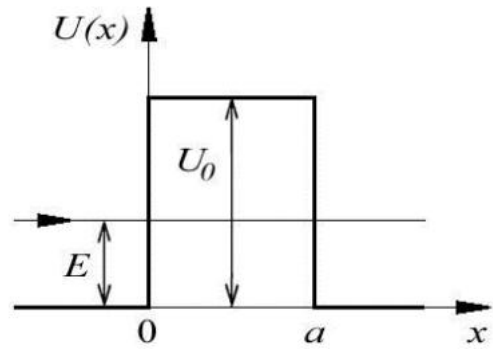
$$U(x) = \begin{cases} 0, & \text{егер } x < 0 \text{ болса} \\ U_0, & \text{егер } x < 0 \text{ болса.} \end{cases}$$

түрине ийе күш майданындағы бөлекшениң қозғалысын қараймыз.

Бундай жағдайда бөлекше потенциал табалдырық областында жайласқан деп атайды. Табалдырықтың шегарасында, яғный $x = 0$ болған жағдайда, бөлекшениң потенциал энергиясын шекли болған U_0 шамасына бірден өзгереді (секирмели түрде өзгереді) (2.4.7-сұррет).



2.4.7-сұррет.



2.4.8-сұррет.

Табалдырықтың шеп тәрепин I саны менен белгилеймиз ($x \leq 0$). Соның менен бирге усы область ушын алынған барлық шешимлерди де 1 индекси жәрдемінде айырып көрсетемиз. Табалдырықтың оң тәрепин ($x \geq 0$) II саны менен, ал сәйкес шешимлерди айырып көрсетиу ушын 2 индексин пайдаланамыз.

Бундай күш майданында Шредингер теңлемеси төмендегидей түрлерге ийе болады:

I областта

$$\frac{d^2\psi_1}{dx^2} + \frac{2m}{\hbar^2} E \psi_1 = 0.$$

II областта

$$\frac{d^2\psi_2}{dx^2} + \frac{2m}{\hbar^2} (E - U_0) \psi_2 = 0.$$

Мейли бөлекшениң энергиясы E потенциал табалдырықтың бийиклиги U_0 шамасынан киши болсын (яғный $E < U_0$). Бундай жағдайды бийик потенциал табалдырық жағдайы деп атайды.

$$k_1 = \sqrt{\frac{2m}{\hbar^2} E} \quad \text{хәм} \quad k_2 = \sqrt{\frac{2m}{\hbar^2} (U_0 - E)} \quad (2.4.29)$$

белгилеулерин пайдаланып I хәм II областлары ушын Шредингер теңлемелерин аламыз

$$\frac{d^2\psi_1}{dx^2} + k_1^2 \psi_1 = 0, \quad (2.4.30a)$$

$$\frac{d^2\psi_2}{dx^2} + k_2^2\psi_2 = 0. \quad (2.4.30b)$$

(2.4.30)-теңлемелердің шешімлері

$$\psi_1(x) = A_1 e^{ik_1 x} + B_1 e^{-ik_1 x}, \quad (2.4.31a)$$

$$\psi_2(x) = A_2 e^{k_2 x} + B_2 e^{-k_2 x} \quad (2.4.31b)$$

функциялары болып табылады.

Жоқары потенциал табалдырық бар болған жағдайда I хәм II областларындағы бөлекшениң халларын тәрийиплеуши ψ_1 хәм ψ_2 функцияларының пүткиллей хәр қыйлы түрге ийе болатуғынлығын атап өтемиз. ψ_1 толқын функциясындағы биринши қосылыўшыға x көшериниң бойы менен $-\infty$ тен табалдырық областына, яғный шеп тәрептен оң тәрепке тарқалатуғын тегис де Бройль толқыны сәйкес келеди. ψ_1 толқын функциясындағы екинши қосылыўшы x көшериниң бойы кери тәрепке (оң тәрептен шеп тәрепке) тарқалатуғын тегис де Бройль толқынына сәйкес келеди.

Тап сол аңлатпадағы e^{ikx} аңлатпасының ҳақыйқатында да тегис толқынды тәрийиплейтуғынына исениў ушын стационар халдағы (2.4.8) толқын функциясы ушын жазылған ўақытқа байланыслы болған $e^{-i\omega t}$ көбейтиўшисин еске түсириў керек. e^{ikx} ны $e^{-i\omega t}$ ға көбейтсек $e^{-i(kx-\omega t)}$ аңлатпасын аламыз. Бул x көшери бойлап оң бағытта тарқалатуғын тегис де Бройль толқынына сәйкес келеди. Тап сол сыяқлы e^{-ikx} аңлатпасы x көшери бойлап кери тәрепке қарай тарқалатуғын тегис де Бройль толқынына сәйкес келеди.

Солай етип (2.4.31a) аңлатпасындағы $\psi_1(x)$ толқын функциясы табалдырыққа келип түсиўши хәм табалдырықта шағылысқан тегис де Бройль толқынларының қосындысынан турады екен. Ал $\psi_2(x)$ толқын функциясы болса (бул толқын функциясының бөлекшениң II областтағы қозғалысын тәрийиплейтуғынын еске түсиремиз) дәреже көрсеткишлери ҳақыйқый сан болған (2.4.31b) еки экспонентаның қосындысынан турады.

Енди толқын функцияларына қойылатуғын шәртлерди пайдаланамыз. Толқын функциясының мәниси шекли болыўы керек. Ал x тың мәниси шексизликке умтылғанда $\psi_2(x)$ толқын функциясының мәниси де шексизликке умтылады. Сонлықтан бул қосылыўшының алдында турған коэффицент A_2 ниң мәнисиниң нолге тең болыўы талап етиледі. Табалдырықтың бийиклиги U_0 шекли болғанлықтан I хәм II областларды бөлип турған шегарада толқын функциясы тек ғана үзликсиз болып қалмастан, тегис те болыўы шәрт (яғный үзликсиз туўындыға ийе болыўы керек). Сонлықтан еки областты бир биринен айырып турған шегараның еки тәрепинде толқын функцияларының хәр қыйлы түрлерге ийе болатуғынлығын көрдик. Ал еки орталықты бир биринен ажыратып турған шегарадағы толқын функцияларының хәм олардың туўындыларының мәнислерин бир бирине теңлестириў толқын функцияларын хәм олардың туўындыларын бир бирине жалғастырыў атамасын (сшивка волновых функций хәм их производных) алды. Бул жағдайда жалғастырыў шәрти

$$\begin{aligned} \psi_1(0) &= \psi_2(0), \\ \psi_1'(0) &= \psi_2'(0) \end{aligned}$$

ямаса

$$A_1 + B_1 = B_2, \quad ik_1 A_1 - ik_1 B_1 = -k_2 A_2. \quad (2.4.32)$$

түрлеріне ийе болады. (2.4.32)-теңлемелер системасы B_1 хәм B_2 коэффициентлерин A_1 коэффициенті арқалы аңлатыўға, яғный табалдырыққа келип түсетуғын де Бройль толқынының амплитудасы арқалы аңлатыўға мүмкиншилик береді. Бундай мәселелерде физикалық мәниске ийе барлық шамалар (бундай шамалар қатарына бөлекшениң табалдырықтан шашыраў коэффициенті, өтиў коэффициенті хәм басқалар киреди) B_1 хәм B_2 коэффициентлериниң A_1 коэффициентіне қатнасы түринде көрсетиле алады. Сонлықтан улыўмалықты жоғалтпай $A_1 = 1$ деп ала аламыз. Бундай жағдайда (2.4.32)-аңлатпадан B_1 хәм B_2 ушын

$$B_1 = \frac{k_1 - ik_2}{k_1 + ik_2}, \quad B_2 = \frac{2k_1}{k_1 + ik_2} \quad (2.4.33)$$

аңлатпаларын аламыз.

Солай етип бийик табалдырық жағдайында бөлекшениң толқын функциялары төмендегидей түрге ийе болады екен

$$\psi_1(x) = e^{ik_1 x} + \frac{k_1 - ik_2}{k_1 + ik_2} e^{-ik_1 x}, \quad x < 0, \quad (2.4.34a)$$

$$\psi_2(x) = \frac{2k_1}{k_1 + ik_2} e^{-ik_2 x}, \quad x > 0. \quad (2.4.34b)$$

(2.4.32)-теңлемелер системасының k_1 менен k_2 коэффициентлериниң қәлеген мәнисинде, яғный энергия E ниң қәлеген мәнислеринде ($E < U_0$ екенлигин еске саламыз) шешімге ийе болатуғынлығын атап өтемиз. Бул бөлекшениң үзликсиз энергия спектрине ийе болатуғынлығын аңғартады.

Бөлекшениң бийик табалдырықта кери қарай шағылысыўының итималлығын анықлаўшы шағылысыў коэффициентін анықлаймыз. Өзиниң физикалық мәниси бойынша шағылысыў коэффициенті R былайынша есапланады:

$$R = \frac{|\vec{j}_{\text{шағ}}|}{|\vec{j}_{\text{к.т.}}|}. \quad (2.4.35)$$

Бул аңлатпада $\vec{j}_{\text{шағ}}$ (шағылысыўшы) хәм $\vec{j}_{\text{к.т.}}$ (келип түсиўши) арқалы итималлық ағысы тығызлығы белгиленген. Олар сәйкес табалдырыққа түсиўши [(2.4.34a) аңлатпадағы биринши қосылыўшы] хәм табалдырықта шашыраўшы [(2.4.34a) аңлатпадағы екінши қосылыўшы] толқынларға тийисли. Итималлық ағысының тығызлығы векторының толқын функциясының жәрдемінде қалай анықланатуғынлығын еске саламыз [(3.19)-аңлатпаға қараңыз]

$$\vec{j} = \frac{i\hbar}{2m} [\psi \text{ grad } \psi^* - \psi^* \text{ grad } \psi]. \quad (2.4.36)$$

(2.4.34a) хәм (2.4.36)-аңлатпаларды есапқа алып

$$|\vec{J}_{\text{к.т.}}| = \frac{\hbar k_1}{m},$$

$$|\vec{J}_{\text{шағ}}| = \frac{\hbar k_1}{m} \left| \frac{k_1 - ik_2}{k_1 + ik_2} \right|^2$$

аңлатпаларына ийе боламыз. Бул аңлатпаларды (2.4.35)-аңлатпаға қойып

$$R = \left| \frac{k_1 - ik_2}{k_1 + ik_2} \right|^2 = 1$$

формуласын аламыз.

Бөлекшениң II областқа өтиуінің итималлығын анықлаушы табалдырық арқалы өтиу коэффициенті D

$$D = \frac{|\vec{J}_{\text{өтиүші}}|}{|\vec{J}_{\text{к.т.}}|}$$

түрине ийе болады. Бул аңлатпада $\vec{J}_{\text{өтиүші}}$ арқалы табалдырық арқалы өтиүші (2.4.34b) $\psi_2(x)$ толқын ушын итималлықтың ағысының тығызлығы векторы белгиленген. $\psi_2(x)$ толқын функциясын (2.4.36)-аңлатпаға қойсақ $\vec{J}_{\text{өтиүші}} = 0$, хәм усы жағдайға сәйкес $D = 0$ болып шығады.

Солай етип бийик табалдырық ушын $R = 1$ хәм $D = 0$ хәм $R + D = 1$ шәрти орынланады.

Енди бийик потенциал табалдырықтың II областындағы бөлекшениң қасиетлерин көреміз. Бөлекшениң толқын функциясы $\psi_2(x)$ [(2.4.34b) аңлатпасына қараңыз] нолге тең емес хәм x пенен бирликте экспоненциаллық нызам бойынша кемейеди. Ал бул жағдай бөлекшениң табалдырық астында болуы (бул жағдайда бөлекшениң энергиясы E оның U_0 потенциал энергиясынан кем болады) итималлығының нолге тең емес екенлигин билдиреди. Классикалық механиканың көз-қараслары бойынша бөлекше ушын бул область қадаған етилген болады. Себеби $E < U_0$ шәрти кинетикалық энергияның мәнисинің терис мәниске ийе болатуғынлығын аңғартады. Бирақ квантлық механиканың көз-қараслары бойынша бул жерде хеш қандай қарама-қарсылық жоқ. Кинетикалық энергия p импульстиң функциясы, ал потенциал энергия оның x координатасының функциясы болып табылады. Ал анықсызлық принципи бойынша координата менен импульсти бир ұақытта дәл анықлау мүмкин емес. Сонлықтан квантлық механикада бөлекшениң толық энергиясын бир ұақытта дәл анықланған кинетикалық хәм потенциал энергиялардың қосындысы деп қарауға болмайды (бул хәкқында 2.3-параграфта айтылып өтилген еди).

Алынған нәтийже макроскопиялық бөлекшелер ушын өтиу қадаған етилген областларға микробөлекшелердің өте алатуғынлығын көрсетеди. II областта бөлекшени табыудың итималлығының тығызлығы

$$w_2(x) = \frac{dP}{dx} = |\psi_2(x)|^2 = \left| \frac{2k_1}{k_1 + ik_2} \right|^2 e^{-2k_2x} =$$

$$= \left| \frac{2k_1}{k_1 + ik_2} \right|^2 e^{-\frac{2}{\hbar} \sqrt{2m(U_0 - E)}x} \quad (2.4.37)$$

аңлатпасының жәрдеминде анықланады хәм оның шамасы бөлекшениң m массасынан, энергиялардың $U_0 - E$ айырмасынан хәм табалдырықтың шегарасынан қашықтық x тан ғәрезли.

(2.4.37)-аңлатпадағы экспоненциаллық көбейтиўшениң мәнисин электрон ушын баҳалаймыз. $U_0 - E = 1$ деп алайық. $x = 10^{-10}$ м болғанда (яғный табалдырықтан қашықтық атомның өлшеміндей болғанда)

$$e^{-\frac{2}{\hbar}\sqrt{2m(U_0-E)}x} \approx 0,29$$

шамасына ийе боламыз. Демек бул жағдайда экспоненциаллық көбейтиўши сезилерликтей мәниске ийе болады екен хәм бул өз гезегинде II областта бийик потенциал табалдырықтан тап сондай аралықта электронды табыўдың итималлығының мәнисиниң жеткиликти дәрежеде үлкен екенлигин көрсетеди. $x = 10^{-9}$ м болғанда

$$e^{-\frac{2}{\hbar}\sqrt{2m(U_0-E)}x} \approx 4,54 \cdot 10^{-8}.$$

Бул жағдайда табалдырықтан $x = 10^{-9}$ м қашықтықта электронның болыўының итималлығының оғада киши екенлигин билдиреди. Алынған баҳалар электронның табалдырық арқалы II областқа атомның өлшемлери менен барабар болған ($x = 10^{-10}$ м) қашықтыққа шекем кире алатуғынлығын көрсетеди.

Солай етип бийик табалдырықтан бөлекшениң шағылысыў коэффициенти $R = 1$ болса да, яғный шағылысыў толық болса да, шағылысыўдың табалдырықтың өзінде (яғный I хәм II областлар арасындағы шегарада) жүзеге келиўиниң шәрт емес екенлигин көрсетеди. Базы бир шамаға тең итималлық пенен бөлекше II областқа кирип, кейин қайтып шыға алады.

Биз қарап атырған қубылыстың классикалық физикада да аналогының бар екенлигин атап өтиў қызықты. Бул толқын оптикасындағы толық ишки шағылысыў қубылысы болып табылады. Толық ишки шағылысыў қубылысы жақтылық оптикалық жақтан тығызырақ областтан оптикалық жақтан кем тығызлыққа ийе орталыққа өткенде бақланады. Усы қубылыста жақтылық оптикалық тығызлығы кем орталыққа өте алады. Бирақ бундай жағдайда оның амплитудасы $\psi_2(x)$ сыяқты экспоненциаллық нызам бойынша кемейеди.

Енди табалдырыққа келип түсиўши бөлекшениң энергиясы E потенциал табалдырықтың бийиклиги U_0 ден жоқары болған, яғный $E > U_0$ болған жағдайды қараймыз. Бундай табалдырықты пәс потенциал табалдырық деп атайды хәм I менен II областлар ушын Шредингер теңлемеси былайынша жазылады

$$\frac{d^2\psi_1}{dx^2} + k_1^2\psi_1 = 0, \quad (2.4.38a)$$

$$\frac{d^2\psi_2}{dx^2} + k_2^2\psi_2 = 0. \quad (2.4.38b)$$

Бул аңлатпалардағы k_1 менен k_2

$$k_1 = \sqrt{\frac{2m}{\hbar^2}E} \text{ хәм } k_2 = \sqrt{\frac{2m}{\hbar^2}(E - U_0)} \quad (2.4.39)$$

формулалары менен анықланады. (2.4.38)-формуларды шешип

$$\psi_1(x) = A_1 e^{ik_1 x} + B_1 e^{-ik_1 x}, \quad x < 0, \quad (2.4.40a)$$

$$\psi_2(x) = A_2 e^{ik_2 x} + B_2 e^{-ik_2 x}, \quad x > 0 \quad (2.4.40b)$$

функцияларына ийе боламыз. Табалдырыққа бөлекше x тың терис мәнисли тәрәпинен жақынлайды деп есаплаймыз (яғный шеп тәрәптен оң тәрәпке қарай қозғалады). Бундай жағдайда $\psi_1(x)$ функциясының биринши қосылыўшысы табалдырыққа келип түсиўши де Бройль толқынын, ал $\psi_2(x)$ функциясының екінши қосылыўшы табалдырықтан шағылысқан де Бройль толқынын береді. Тап сол сыяқлы $\psi_2(x)$ функциясының биринши қосылыўшысы табалдырық арқалы өткен де Бройль толқынына сәйкес келеді. II областта шағылысқан толқын болмағанлықтан (2.4.40b) аңлатпасындағы B_2 коэффициентин нолге тең етип алыў керек болады, яғный $B_2 = 0$.

Шегарадағы толқын функцияларын хәм олардың туўындыларын жалғастырыў шәрти A_1, B_1 хәм A_2 коэффициентлери ушын төмендегидей теңлемелерге алып келеді

$$\begin{aligned} A_1 + B_1 &= A_2, \\ k_1 A_1 - k_1 B_1 &= k_2 A_2. \end{aligned} \quad (2.4.41)$$

Биз жоқарыда қарап өткен жағдайдағыдай $A_1 = 1$ деп есапласақ, онда B_1 хәм A_2 ушын

$$B_1 = \frac{k_1 - k_2}{k_1 + k_2}, \quad A_2 = \frac{2k_1}{k_1 + k_2}$$

аңлатпаларын аламыз. Солай етип пәс потенциал табалдырық областында қозғалыўшы бөлекшениң толқын функциялары ушын

$$\begin{aligned} \psi_1(x) &= e^{ik_1 x} + \frac{k_1 - k_2}{k_1 + k_2} e^{-ik_1 x}, \\ \psi_2(x) &= \frac{2k_1}{k_1 + k_2} e^{ik_2 x} \end{aligned} \quad (2.4.42)$$

аңлатпаларын алады екенбиз. Бул аңлатпалардағы k_1 менен k_2 (2.4.39)-аңлатпаларда берилген.

Табалдырықта шағылысыў (R) хәм табалдырықтан өтиў (D) коэффициентлерин табыў ушын келип түсиўши, шағылысқан хәм табалдырықтан өткен (сынған) де Бройль толқынлары ушын итималлықтың ағысының тығызлығын табамыз. Биз тапқан толқын функцияларын (2.4.36)-аңлатпаға қойсақ

$$\begin{aligned} |\vec{j}_{\text{к.т.}}| &= \frac{\hbar k_1}{m}, \\ |\vec{j}_{\text{шағылысыўшы}}| &= \frac{\hbar k_1}{m} \left| \frac{k_1 - k_2}{k_1 + k_2} \right|^2, \\ |\vec{j}_{\text{өтиўши}}| &= \frac{\hbar k_1}{m} \left| \frac{2k_1}{k_1 + k_2} \right|^2 \end{aligned} \quad (2.4.43)$$

формулаларын аламыз. (2.4.35) пенен (2.4.43) лерди есапқа алғанда пәс потенциал табалдырықтан бөлекшениң шағылысыу коэффициенті ушын мына формуланы аламыз:

$$R = \left| \frac{\vec{J}_{\text{шағылысыушы}}}{\vec{J}_{\text{к.т.}}} \right| = \left| \frac{k_1 - k_2}{k_1 + k_2} \right|^2 = \left(\frac{1 - \sqrt{1 - U_0/E}}{1 + \sqrt{1 - U_0/E}} \right)^2. \quad (2.4.44)$$

(2.4.44)-формуладан $E > U_0$ болған жағдайда пәс потенциал табалдырықтан бөлекшениң шағылысыуының итималлығының нолге тең емес екенлиги көринеди. Яғный бундай жағдайда дийуал үстиндеги шағылысыу (надбарьерное отражение) деп аталатуғын шағылысыудың жүзеге келиуі мүмкин. Бул нәтийже квантлық механиканың нәтийжеси болып табылады хәм бөлекшелерде толқынлық қасийеттиң бар екенлиги менен түсиндириледі. Классикалық механика нызамларына бағынатуғын макроскопиялық бөлекше пәс потенциал табалдырық арқалы өткенде шағылыспайды, ал табалдырық арқалы өткенде оның кинетикалық энергиясының шамасы кемейеді.

Қызықлы жағдайды атап өтемиз. Егер I областтағы потенциалды $U(x) = U_0$, ал II областтағы потенциалды $U(x) = 0$ деп алсақ, онда берилген энергияға ийе бөлекше ушын шағылысыу коэффициентінің мәнісі R өзгермейді. Бундай жағдайда келип түсиуші хәм шағылысыушы де Бройль толқынлары арасындағы фазалар айырмасы ғана өзгеріске ушырайды. (2.4.42)-аңлатпада $\psi_1(x)$ функциясының биринши e^{ik_1x} хәм екінши $\frac{k_1 - k_2}{k_1 + k_2} e^{ik_1x}$ қосылыушыларының мәніслери бирдей. Сонлықтан k_1 менен k_2 лердің орынларын алмастырған менен нәтийже өзгеріске ушырамайды, яғный шағылыстыруы коэффициенті R диң мәнісі өзгермейді. Бул нәтийжени басқа сөз бенен де айтыу мүмкин: пәс потенциал табалдырықтан бөлекшениң шағылысыу коэффициенті бөлекшениң қозғалыс бағытына ғәрезли емес.

"Төңкерилип қойылған" табалдырықта келип түсиуші хәм шағылысқан толқынлардың амплитудаларының белгилери хәр қыйлы. Бул фазалар айырмасы π ге тең болған жағдайға сәйкес келеді. Яғный "Төңкерилип қойылған" табалдырықта шағылысқанда толқынның фазасы секирмели түрде π шамасына өзгереді. Оптика менен салыстыруды дауам етип де Бройль толқыны ушын I область II областқа салысырғанда тығызырақ орталық болып табылады.

(2.4.37)- хәм (2.4.44)-аңлатпаларға сәйкес бөлекшениң табалдырық арқалы өтиу коэффициенті

$$D = \frac{|\vec{J}_{\text{өтиуші}}|}{|\vec{J}_{\text{к.т.}}|} = \frac{4k_1k_2}{(k_1 + k_2)^2} = 4 \frac{\sqrt{1 - U_0/E}}{(1 + \sqrt{1 - U_0/E})^2} \quad (2.4.45)$$

шамасы болып табылады. Солай етип пәс потенциал табалдырық жағдайында да $R + D = 1$. Бундай нәтийжени итималлықларды қосыу көз-қарасы бойынша күтиу тәбийй. Себеби келип түсиуші бөлекше табалдырықтан шашырайды ямаса II областқа өтеді.

Бөлекшениң табалдырық областында қозғалысын тәрийиплейтуғын де Бройль толқынының I хәм II областлар шегарасында сынатуғынлығын атап өтиу керек. Бул сынуы бөлекшениң тезлигиниң өзгеріуі хәм де Бройль толқынының узынлығы λ_{ab} шамасының өзгеріуі менен байланысly. Сынуы көрсеткиши n мынадай түрге ийе болады (2.1-параграфты қараңыз):

$$n = \frac{\lambda_{db}^{(1)}}{\lambda_{db}^{(2)}} = \frac{v_1}{v_2}.$$

Бул аңлатпада $\lambda_{db}^{(1)}$ хәм $\lambda_{db}^{(2)}$ арқалы I хәм II областлардағы де Бройль толқынларының узынлықлары, ал v_1 хәм v_2 арқалы сол областлардағы де Бройль толқынларының тезликлери белгиленген. v_1 хәм v_2 шамаларынан бөлекшелердің кинетикалық энергияларына өтсек

$$n = \sqrt{\frac{E - U_0}{E}} = \sqrt{1 - \frac{U_0}{E}}$$

аңлатпасына ийе боламыз. Биз қарап атырған пәс табалдырық жағдайында ($E > U_0$) сыныў көрсеткіши $n < 1$. Бул жағдай бөлекше ушын I областтың II областқа салыстырғанда оптикалық жақтан тығызырақ екенлигин және бир рет дәлиллейди. "Төңкерилген" табалдырық жағдайында сыныў көрсеткіши

$$n' = \frac{1}{n} = \frac{1}{\sqrt{1 - U_0/E}}$$

шамасына хәм бул шама бирден үлкен болады.

Бөлекшениң потенциал барьер арқалы өтиўи. Биз бул бөлимде рус тилиндеги "потенциальный барьер" сөзин қарақалпақ тилине "потенциал дийўал" ямаса "потенциал тосқынлық" деп аўдармаймыз хәм "потенциал барьер" сөзин толығы менен қабыл етемиз.

Бөлекшениң потенциал энергиясын U арқалы белгилеймиз. Егер кеңисликтің бир областында U шамасының мәніси басқа областлардағы потенциал энергияның шамасынан үлкен болса, онда сол областты потенциал барьер деп атаймыз. Потенциал барьер областындағы бөлекшениң қозғалысын изертлеўди бир бир өлшемлі туўры мүйешлі потенциал шуқырды қараў менен баслаймыз (2.4.8-сүүрет).

Мейли, бөлекшениң потенциал энергиясы

$$U(x) = \begin{cases} 0, & (x < 0 \text{ болғанда}), \\ U_0, & (0 < x < a \text{ болғанда}), \\ 0, & (x > a \text{ болғанда}). \end{cases}$$

I арқалы барьердің шеп тәрепиндеги областты II арқалы $0 < x < a$ областын хәм III арқалы барьердің оң тәрепин белгилейик. Бөлекше барьерге x тың терис мәніслери тәрепинен жақынлайды, яғный шептен оң тәрепке қарай қозғалады деп есаплаймыз. Бөлекшениң энергиясы E барьердің бийиклиги U_0 шамасынан киши болған жағдайды, яғный $E < U_0$ теңсизлиги орынланатуғын жағдайды үйренемиз. ($E > U_0$ теңсизлиги орынланатуғын жағдай усы параграфтың 4.7-мәселесинде шешилген).

I, II хәм III областлар ушын Шредингер теңлемелери былайынша жазылады

$$\frac{d^2\psi_1(x)}{dx^2} + k_1^2\psi_1(x) = 0,$$

$$\begin{aligned}\frac{d^2\psi_2(x)}{dx^2} - k_2^2\psi_2(x) &= 0, \\ \frac{d^2\psi_3(x)}{dx^2} + k_1^2\psi_3(x) &= 0.\end{aligned}\tag{2.4.47}$$

Бул аңлатпаларда $k_1 = \sqrt{\frac{2mE}{\hbar^2}}$ хәм $k_2 = \sqrt{\frac{2m(U_0-E)}{\hbar^2}}$.

Толқын функциялары (2.4.47)-теңлемелердің шешимлери болады

$$\begin{aligned}\psi_1(x) &= A_1 e^{ik_1 x} + B_1 e^{-ik_1 x}, \\ \psi_2(x) &= A_2 e^{ik_2 x} + B_2 e^{-ik_2 x}, \\ \psi_3(x) &= A_3 e^{ik_1 x} + B_3 e^{-ik_1 x}.\end{aligned}\tag{2.4.48}$$

Әдеттегидей барьерге келип түсіуші толқынның амплитудасы $A_1 = 1$ хәм $B_3 = 0$ деп есаплаймыз. Себеби бөлекшениң қозғалысында III областта шептен оң тәрепке қарай тек өтиуші толқын тарқалады.

Барьердің шегараларында (яғный $x = 0$ хәм $x = a$ нокатларында) толқын функцияларын хәм олардың туыңдыларын жалғастыру шәрти

$$\begin{aligned}1 + B_1 &= A_2 + B_2, \\ ik_1 - ik_1 B_1 &= k_2 A_2 - k_2 B_2, \\ A_2 e^{k_2 a} + B_2 e^{-k_2 a} &= A_3 e^{k_1 a}, \\ k_2 A_2 e^{k_2 a} + k_2 B_2 e^{-k_2 a} &= ik_1 A_3 e^{k_1 a}\end{aligned}\tag{2.4.49}$$

теңлемелери системасының пайда болыуына алып келеди. (2.4.49)-теңлемелер системасы төрт B_1, A_2, B_2, A_3 белгисизлерге ийе төрт теңлемеден турады. Бул система k_1 менен k_2 шамаларының, яғный энергия E ниң қәлеген мәнислеринде шешимлерге ийе болады. Демек энергия спектри үзликсиз спектр болып табылады деген сөз.

Бул мәселеде тийкарғы дыққатты бөлекшениң барьер арқалы өтиуине аударамыз. (2.4.49)-системаны барьер арқалы өткен толқынның амплитудасы A_3 ушын шешип

$$A_3 = \frac{4ik_1 k_2 e^{ik_1 a}}{(k_1 - ik_2)^2 e^{k_2 a} - (k_1 + ik_2)^2 e^{-k_2 a}}$$

аңлатпасын аламыз. Барьерге келип түсетуғын хәм барьер арқалы өтетуғын толқын ушын итималлықтың ағысының тығызлығын табамыз. (2.4.36)- хәм (2.4.48)- аңлатпаларды есапқа алған қалда

$$\begin{aligned}|\vec{j}_{\text{к.т.}}| &= \frac{\hbar k_1}{m}, \\ |\vec{j}_{\text{өтиуши}}| &= \frac{\hbar k_1}{m} |A_3|^2.\end{aligned}$$

формулаларына ийе болмыз. $|\vec{j}_{\text{к.т.}}|$ хәм $|\vec{j}_{\text{өтиуши}}|$ шамаларының мәнислерин (2.4.37)- аңлатпаға қойсақ барьер арқалы өтиу коэффициентин табамыз

$$D = \frac{|\vec{J}_{\text{өтиуші}}|}{|\vec{J}_{\text{к.т.}}|} = |A_3|^2 = \left[1 + \left(\frac{k_1^2 + k_2^2}{2k_1k_2} \right)^2 sh^2 k_2 a \right]^{-1}. \quad (2.4.50)$$

Бұл аңлатпадағы гиперболалық синус

$$sh(k_2 a) = \frac{1}{2}(e^{k_2 a} - e^{-k_2 a}).$$

Егер барьердің кеңлігі a үшін $k_2 a \gg 1$ шәрті орынланатуғын болса (жоқарыда келтирилген есаплаулар бұл шәрттің a ның мәнісі бір неше атомлық қатламның қалыңлығындай болған жағдайларда орынланатуғынлығын көрсетеді) $e^{-k_2 a} \ll 1$ хәм сонлықтан гиперболалық синусты экспонента менен алмастырыу мүмкин

$$sh(k_2 a) \approx \frac{1}{2} e^{k_2 a}.$$

Бұл жағдайда барьер арқалы өтиу коэффициенті төмендегіше анықланады:

$$D \approx \frac{16k_1^2 k_2^2}{(k_1^2 + k_2^2)^2} e^{-k_2 a}.$$

Бұл аңлатпаға k_1 менен k_2 нің мәніслерін қойып

$$D \approx D_0 \exp \left\{ -\frac{2a}{\hbar} \sqrt{2m(U_0 - E)} \right\}$$

формуласын аламыз. Бұл формуладағы

$$D_0 = 16 \frac{E}{U_0} \left(1 - \frac{E}{U_0} \right)$$

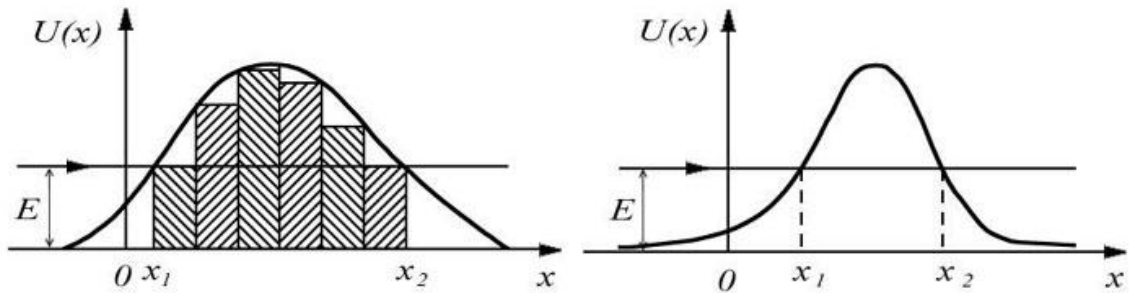
шамасы $\frac{E}{U_0}$ ге қарата әстелик пенен өзгеретуғын функция болып табылады. Оның (D_0 диң) сан мәнісі 1 ге жақын. D шамасының мәселенің параметрлерінен тийкарғы ғәрезлігін экспонента береді. Сонлықтан потенциал барьер арқалы өтиу коэффициентінің мәнісін есаплағанда $D_0 \approx 1$ мәнісі қабыл етиледі. Бундай жағдайда D үшін жазылған аңтатпа

$$D \approx \exp \left\{ -\frac{2a}{\hbar} \sqrt{2m(U_0 - E)} \right\} \quad (2.4.51)$$

түріне енеді. (2.4.51)-формуладан D өтиу коэффициентінің барьердің кеңлігі a дан, бөлекшениң массасы m нен хәм энергиялар айырмасы $(U_0 - E)$ шамасынан күшли экспоненциаллық байланысқа ийе екенлігін көреміз.

Алынған нәтижелерді ықтыярлы формаға ийе потенциал барьер үшін улуымаластырамыз. Буның үшін потенциал барьерді биринен соң бири жайласқан көп сандағы енсіз туұры мүйешли потенциал барьерлерден турады деп есаплаймыз (2.4.9а сүүрет). Барьердің формасы жеткиликли дәрежеде бир тегіс өзгереді деп есаплаймыз (яғный барьердің бийиклігі де Бройль толқын ұзынлығындай қашықлықтарда көп өзгеріске ушырамайды деп есаплаймыз). Бундай жағдайда

туўры мүйешли барьерлердин бийиклиги жоқарылайтуғын участкалардағы толқынлардың шағылысуын есапқа алмауға хәм толқынның әззилеуин тек жутылыудың есабынан жүзеге келеди деп есаплауға болады.



4.9-сүүрет. Ықтыярлы формадағы потенциал барьердин схемалық сүүрети.

i -туўры мүйешли барьер арқалы өтиўши де Бройль толқынын $i + 1$ барьерге келип түсиўши толқын деп қараймыз. Бөлекшениң избе-из жайласқан барьерлер арқалы өтиўиниң итималлығы хәр бир барьер арқалы өтиўдин итималлықларының көбеймесине тең. Сонлықтан өтиў коэффициенти D хәр бир барьер арқалы өтиў коэффициентлери D_i шамаларының көбеймесине тең

$$D = \prod_i D_i \approx \prod_i \exp \left\{ -\frac{2\Delta x_i}{\hbar} \sqrt{2m[U(x_i) - E]} \right\} = \exp \left\{ -\sum_i \left[\frac{2\Delta x_i}{\hbar} \sqrt{2m[U(x_i) - E]} \right] \right\}. \quad (2.4.52)$$

Бул аңлатпада Δx_i хәм $U(x_i)$ арқалы i – барьердин кеңлиги менен бийиклиги белгиленген. (2.4.52)-аңлатпада суммалаудан интеграллауға өтсек

$$D \approx \exp \left\{ -\frac{2}{\hbar} \int_{x_1}^{x_2} \sqrt{2m[U(x) - E]} dx \right\} \quad (2.4.53)$$

формуласына ийе боламыз. Бул аңлатпада x_1 менен x_2 арқалы $U(x) = E$ шәрти орынланатуғын координаталардың мәнислери белгиленген (2.4.9b сүүрет).

Туннель эффектi. Бийиклиги бөлекшениң энергиясынан үлкен болған потенциал барьер арқалы бөлекшениң өтиўин туннель эффектi атамасын алды (бөлекше барьердин асты менен өтиў барысында туннельде өткен сыяқлы болып қозғалады). Туннель эффектиниң таза квантлық эффект екенлигин атап өтемиз. Классикалық бөлекше өзиниң толық энергиясынан бийик болған барьерге келип, бул барьерде шағылысады. Бундай барьер арқалы классикалық бөлекше өте алмайды. Себеби оның кинетикалық энергиясының мәниси нолден киши бола алмайды. Квантлық бөлекше болса бундай барьерден өте алады. Соның менен бирге оның барьер арқалы өтиў итималлығының шамасы бөлекшениң массасынан хәм потенциал барьердин түринен (яғный $U(x)$ функциясынан) күшли экспоненциялық ғәрезликке ийе. Бөлекше барьер арқалы өткенде оның E толық энергиясының өзгериске ушырамайтуғынлығын атап өтемиз.

Туннеллик эффект бир қатар әхмийетли физикалық қубылысларды аңсат түсиндире алады. Олардың қатарына металлардан электронлардың салқын

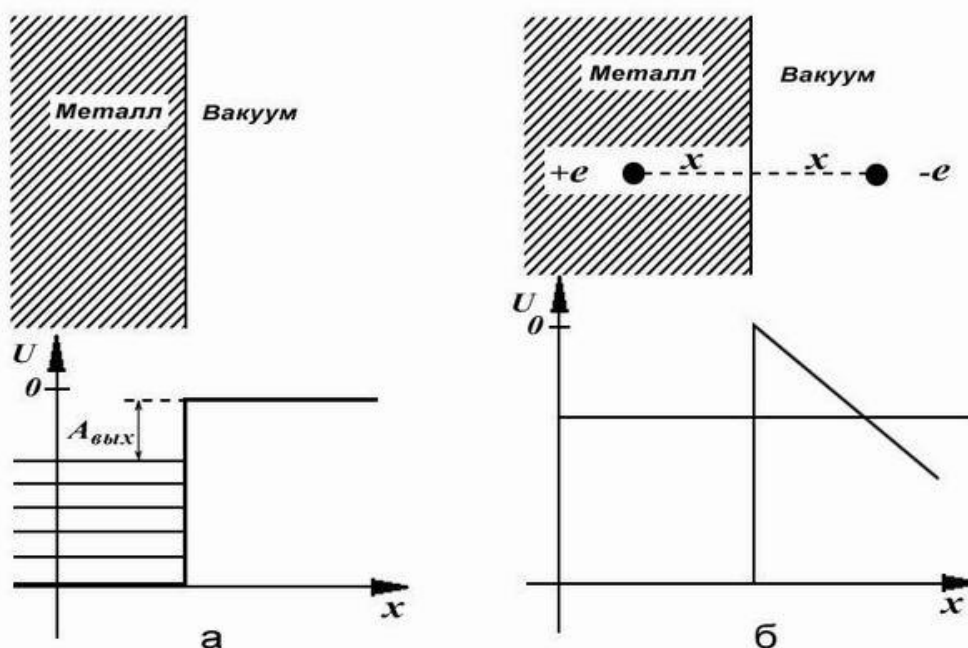
эмиссиясы, ядролардың радиоактивтік α -ыдырауы, потенциаллардың контактлық айырмасы хәм басқалар киреди. Соның менен бирге туннель эффекти хәзирги заман техникасында көп қолланылып атыр. Мысалы оның тийкарында сканнерлеуши электрон микроскопы дөретилди. Нәтийжеде беттиң физикасы менен техникасында революциялық өзгерислер жүз берди, бул нанотехнологиялардың раўажланыўы менен үлкен перспективаларға ийе бола баслады.

Металдан электронлардың салқын эмиссиясы. Электронды металдан суўырып алыў ушын оған шамасы $A_{\text{шығыў}}$ шығыў жумысына тең қосымша энергия бериўимиз керек. Бул өз гезегинде электронның металда тереңлиги $U_0 = A_{\text{шығыў}}$ шамасына тең потенциал шуқырда жайласқанлығын билдиреди (2.4.10a сүүрет).

Мейли металлдың бетине жақын аралықта кернеўлиги ε шамасына тең болған электр майданы пайда етилген болсын. Бул майдан электронның металдан шығыўын тәмийинлейди. Бундай жағдайда металлдың бетиниң қасында электронның потенциал энергиясы

$$U(x) = U_0 - eEx = A_{\text{шығыў}} - e\varepsilon x \quad (2.4.54)$$

шамасына тең болады. Басқа сөз бенен айтқанда металл-вакуум шегарасында үш мүйешли формаға ийе болған потенциал барьер пайда болады (2.4.10b сүүрет). Бул барьер арқалы электронлардың туннеллениўи салқын ямаса автоэлектронлық эмиссия қубылысын түсіндиреди. Салқын ямаса автоэлектронлық эмиссия қубылысы деп металдан электронлардың жүдә төменги температураларда шығыўына айтамыз.



2.4.10-сүүрет.

Бул мәселени қатаң түрде шешиў ушын ушып шығыўшы электронға металл тәрпинен тәсир ететуғын айналық сүүрет күшин де (сила зеркального изображения) есапқа алыўдың керек екенлигин атап өтемиз. Бирақ бундай күшти есапқа алыў ақырғы нәтийжеге тәсирин тийгизбейди хәм есаплаўларды күшли қурамаластырады. Сонлықтан сүүрет күшиниң потенциал барьердиң түрине қосатуғын үлесин биз есапқа алмаймыз.

Классикалық физика шеклерінде салқын эмиссия құбылысын түсіндіріу мүмкін емес. Ғақықатында да электр майданы металдың ишине кирмейди. Сонлықтан бундай майдан металдың сыртындағы электронның потенциал энергиясын өзгерте алады. Ал бул жағдай потенциал барьердин пайда болыўын тәмийинлейди ҳәм бундай барьер арқалы электрон өте алмайды.

Квантлық механикада болса металдан электронлардың туннеллениу итималлығы үш мүйешли потенциал барьер арқалы өтиу коэффициенти D ның жәрдемінде анықланады (2.4.10b сүүрет)

$$D \approx \exp \left\{ -\frac{2}{\hbar} \int_0^{x_0} \sqrt{2m[U(x) - E]} dx \right\}.$$

Бундай жағдайда мәселе

$$I = \frac{2}{\hbar} \int_0^{x_0} \sqrt{2m[U(x) - E]} dx$$

интегралын есаплауға алып келинеди. Бул аңлатпадағы $U(x)$ шамасы (2.4.54)-аңлатпаның жәрдемінде анықланады, ал интеграллаудың жоқарғы шеги $U(x_0) = E$ шәртинен анықланады. Интеграллап

$$I = \frac{4\sqrt{2m}}{3e\hbar\varepsilon} (A_{\text{шығыу}} - E)^{3/2}$$

аңлатпасын аламыз.

$$\varepsilon_0 = \frac{4\sqrt{2m}}{3e\hbar} (A_{\text{шығыу}} - E)^{3/2}$$

аңлатпасын киргиземиз. Бул аңлатпадағы ε_0 мәниси бойынша металлдағы эффектив майданды береді. Бундай жағдайда барьер арқалы электронлардың өтиу коэффициенти

$$D \approx \exp \left(-\frac{\varepsilon_0}{\varepsilon} \right)$$

түрине енеди. Салқын эмиссия тоғының тығызлығы j барьер арқалы өтиу коэффициенти D ға туўры пропорционал. Демек тоқтың тығызлығы электр майданы ε ниң функциясы сыпатында былайынша жазылады

$$j = j_0 \exp \left(-\frac{\varepsilon_0}{\varepsilon} \right).$$

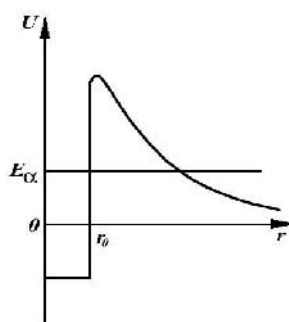
ε_0 шамасының мәнисин бағалаймыз. $A_{\text{шығыу}} - E \sim 1$ эВ болған жағдай ушын

$$\varepsilon_0 \sim 10^8 \text{ В/м.}$$

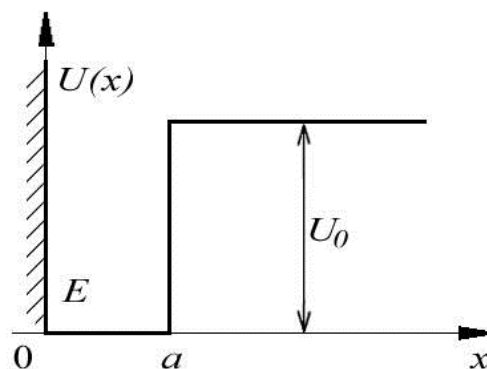
Демек салқын эмиссияның сезилерликтей тоғының металлға тек $\varepsilon \sim \varepsilon_0 \sim 10^8$ В/м шамасындағы электр майданын түсиргенде ғана бақланатуғынлығын көреміз.

Электронлардың салқын эмиссиясы металлардың бетлерінің физикалық қасиеттерін, газлардың адсорбциясын, катализ хәм коррозия құбылыстарын изерттегенде кеңнен қолланылады. Салқын эмиссиялы эмиттерлер (автоэлектронлық эмиттерлер) үлкен тығызлыққа ийе j тоқтарды алыу процесслерінде қолланылады. Металлдың бетіне жақын орындарда жүде үлкен болған ε электр майданын пайда етіу үшін автоэлектронлық эмиттерлерді қыйсықлығы киши радиусқа ийе беттер түрінде соғады.

Радиоактивли α -ыдырау. Бөлекшелердің потенциал барьер арқалы өтіуіне және бир мысал радиоактивли ядролардың α -ыдырауы болып табылады. Бундай ыдырауда радиоактивли ядро өзінен α -бөлекшелерін шығарады. α -бөлекшесі гелий атомының ядросы болып табылады хәм ол еки протоннан хәм еки нейтроннан турады. α -бөлекшесін шығаратуғын ядроны ана ядро деп атайды. α -бөлекшесін шығарған ядроның майданындағы усы α -бөлекшесінің потенциал энергиясы 4.11-сүүретте келтирилген.



4.11-сүүрет.



4.12-сүүрет.

α -бөлекше менен ядро арасындағы қашықлық үлкен болғанда олар арасында Кулон ийтерисиуші күші тәсир етеди хәм бөлекшесінің потенциал энергиясы

$$U(r) = \frac{1}{4\pi\varepsilon_0} \frac{Ze \cdot 2e}{r}$$

түрінде жазылады. Бул аңлатпада Ze арқалы α -бөлекше шығарған ядроның заряды, $2e$ арқалы α -бөлекшесінің заряды белгиленген. α -бөлекшесі менен оны шығарған ядро арасындағы Кулон күші ядроның өлшемлери менен салыстырарлықтай қашықлықтарға шекем тәсир етеди (яғный $r_0 \sim 10^{-14} - 10^{-15}$ м аралыққа шекем). $r \leq r_0$ қашықлықтарында α -бөлекшелери менен ядро арасында күшлирек болған ядролық тартысу күшлери тәсир етеди. Ядроның ишинде α -бөлекшесі потенциал шуқырдың ишинде жайласқан болады хәм ол ядродан тек туннель эффекти есабынан шыға алады. Туннелеудің итималлығын есаплаулардың нәтийжелери шуқырдың формасынан күшли ғәрезли емес. Сонлықтан шуқырды туұры мүйешли деп есаплауға хәм оның кеңлиги ядроның радиусы r_0 арқалы анықланады деп есаплауға болады.

Эксперименталлық изертлеулердің нәтийжелери α -ыдыраудағы потенциал шуқырдың бийиклиги шама менен 20-30 МэВ шамасына тең екенлигин, ал нурландырылған α -бөлекшелерінің энергияларының мәнислери 5-6 МэВ шамасында екенлигин көрсетеди. Бул шама барьердің бийиклигинен әдеуір киши хәм сонлықтан α -бөлекшелери ядро тәрепинен тек туннель эффектинің салдарынан шығарылады.

Ядро физикасында радиоактивли ыдырау нызамы белгили. Бул нызам еле ыдырамаған ядролардың санының уақытқа байланыссы өзгеріуін сыпатлайды хәм

$$N(t) = N_0 e^{-\lambda t}. \quad (2.4.55)$$

түринде жазылады. Бул формулада N_0 арқалы дәслепки уақыт моментиндеги (яғный $t = 0$ уақыт моментиндеги) еле ыдырамаған (еле α -бөлекшелерин шығармаған) ядролардың саны белгиленген. Ал еле ыдырамаған ядроларды биз жоқарыда ана ядролар деп атаған едик. λ шамасы ыдырау турақлысы деп аталады хәм ядролардың ыдырау тезлигин сыпатлайды.

Ыдырау турақлысы λ менен α -бөлекшесиниң потенциал барьер арқалы D өтиу коэффициенти арасындағы байланысты табамыз. Мейли ядроның радиусы r_0 шамасына тең, ал α -бөлекшесиниң тезлиги v болсын. Бундай жағдайда α -бөлекшесиниң потенциал барьердин дийуалына уақыт бирлигиндеги соқлығысуларының саны $\frac{v}{2r_0}$ шамасына тең болады. Хәр бир соққыдағы туннеллениу итималлығы D шамасына, ал ядролардың улымалық саны $N(t)$ болғанлықтан, t дан $t + dt$ уақыт моментлерине шекемги α -бөлекшелерин шығарған ядролардың саны dN шамасына тең болады хәм оның мәнисин

$$dN = -N(t) \frac{v}{2r_0} D dt$$

формуласының жәрдемінде анықлаймыз. Бул формуладағы $(-)$ белгиси dN ядролар санының еле ыдырамаған ядролардың есабынан қуралатуғынлығы менен байланыссы.

Екинши тәрәптен (2.4.55)-аңлатпаны дифференциаллап

$$dN = -\lambda N(t) dt$$

аңлатпасын аламыз. Бул еки аңлатпаны бир бири менен салыстырып

$$\lambda = \frac{v}{2r_0} D$$

формуласына ийе боламыз.

Демек ыдырау турақлысының мәниси потенциал барьер арқалы өтиу коэффициентине (D шамасына) тууры пропорционал екен.

2-4-4. Шекли тереңликке ийе потенциал шуқырдағы бөлекше

2-4-2 параграфта биз бөлекшениң дийуалларының бийиклиги шексиз болған потенциал шуқырдағы қозғалысын талқыладық. Тереңлиги шекли болған потенциал шуқырдағы бөлекшениң қозғалысын таллауды биз басқышпа-басқыш алып барамыз хәм дәслеп тек бир дийуалының бийиклиги шексиз болған потенциал шуқырды қараймыз (2.4.12-сүүрет). Бундай мәселе әмелий жақтан әхмийетке ийе. Себеби арасында тартылыс күшлери тәсир ететуғын еки бөлекше (буған мысал

ретінде молекуланы пайда етиўши еки атомды қараўға болады) өзиниң түри бойынша биз қарайын деп атырған моделге жақын.

Тек бир шексиз бийик дийўалға ийе бир өлшемли шуқыр.

$$U(x) = \begin{cases} \infty, & x < 0, \\ 0, & 0 < x < a, \\ U_0, & x > a. \end{cases}$$

түриндеги бир өлшемли потенциал шуқырда қозғалыўшы бөлекшени қараймыз.

$x < 0$ болған жағдайда бөлекшениң потенциал энергиясы шексиз үлкен хәм сонлықтан оның толқын функциясы $\psi(x)$ нолге айланады. Сонлықтан бул мәселени шешкенде тийкарғы дыққатты $x > 0$ областтағы бөлекшениң қозғалысын үйрениўге қаратамыз.

$0 < x < a$ болған областты I, ал $x > a$ болған областты II арқалы белгилеймиз. Дәслеп бөлекшениң толық энергиясы $E < U_0$ болған жағдайды изертлеймиз (яғный бөлекшени потенциал шуқырда жайласқан деп есаплаймыз). I область ушын Шредингер теңлемеси (2.4.6)

$$\frac{d^2\psi_1(x)}{dx^2} + \frac{2m}{\hbar^2} \psi_1(x) = 0, \quad (2.4.56)$$

ал II область ушын

$$\frac{d^2\psi_2(x)}{dx^2} - \frac{2m}{\hbar^2} (U_0 - E) \psi_2(x) = 0 \quad (2.4.57)$$

түрине енеди. Белгилеўлер киргиземиз:

$$k_1 = \sqrt{\frac{2m}{\hbar^2} E} \quad \text{хәм} \quad k_2 = \sqrt{\frac{2m}{\hbar^2} (U_0 - E)}. \quad (2.4.58)$$

Усы аңлатпаларды пайдаланып (2.4.56)- хәм (2.4.57)-аңлатпаларды

$$\frac{d^2\psi_1(x)}{dx^2} + k_1^2 \psi_1(x) = 0, \quad (2.4.59a)$$

$$\frac{d^2\psi_2(x)}{dx^2} - k_2^2 \psi_2(x) = 0 \quad (2.4.59b)$$

түрине келтиремиз. (2.4.59)-теңлемелерди шешип $\psi_1(x)$ хәм $\psi_2(x)$ функцияларын табамыз

$$\psi_1(x) = A \sin(k_1 x + \alpha), \quad (2.4.60a)$$

$$\psi_2(x) = B e^{k_2 x} + C e^{-k_2 x}. \quad (2.4.60b)$$

Толқын функциялары ушын қойылатуғын шәртлерди пайдаланамыз. Толқын функциясы барлық ўақытта да шекли болыўы керек. Ал (2.4.60b)-аңлатпадағы биринши қосылыўшы $x \rightarrow \infty$ шегинде шексиз өседі. Сонлықтан B коэффициентиниң нолге тең болыўын талап етиў керек болады. Буннан $\psi_2(x) = C e^{-k_2 x}$ теңлемесине ийе боламыз.

Енди шегаралық шәртлерди таллаўға өтемиз. Шуқырдың шеп шегарасындағы $\psi_1(x)$ толқын функциясының үзликсизлиги жоқарыда биз көрип өткендей $\psi_1(x) = 0$ теңлигин тәмийинлейди. Буннан $\alpha = 0$ екенлигине ийе боламыз. $x = a$ ноқатындағы толқын функцияларын хәм оның туўындыларын жалғастырыў шәрти

$$\begin{aligned} A \sin k_1 a &= C e^{-k_2 a}, \\ k_1 A \cos k_1 a &= -k_2 C e^{-k_2 a} \end{aligned} \quad (2.4.61)$$

теңлемелер системасын береді. (2.4.61)-теңлемелердеги биринши теңлемени екіншисине бөлсек

$$\frac{1}{k_1} \operatorname{tg} k_1 a = -\frac{1}{k_2} \quad (2.4.62)$$

қатнасына өтемиз. Бул қатнас болса шуқырдағы бөлекшениң энергия спектрин анықлайды.

(2.4.62)-теңleme трансцендент теңleme болып табылады. Сонлықтан E энергиясының мәнісін анық түрде есаплаўдың мүмкиншилиги жоқ. Усы жағдайға байланысly (2.4.58)-аңлатпаны есапқа алған (2.4.62)-аңлатпа жәрдеминде бөлекшениң энергиясының спектриниң дискрет екенлигин, яғный шуқырдың ишиндеги бөлекшениң энергиясының квантланатуғынлығын көрсетиўге болады.

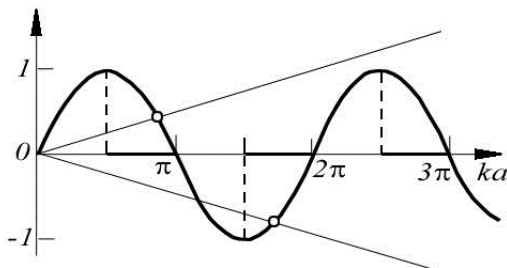
(2.4.62)- трансцендент теңleme

$$\sin k_1 a = \pm \sqrt{\frac{\hbar^2}{2mU_0 a^2}} k_1 a \quad (2.4.63)$$

түрине аңсат алып келинеди. (2.4.63)-теңлемениң оң хәм шеп тәреплерин $k_1 a$ көбеймесиниң функциялары деп есаплап олардың графиклерин сызамыз (2.4.13-сүүрет). Синусоида менен туўрының кесилисиў ноқатлары биз излеп атырған толық энергия E ниң мәніслерине сәйкес келетуғын (2.4.63)-теңлемениң коренлерин береді. (2.4.62)-аңлатпаға сәйкес $\operatorname{tg} k_1 a < 0$ болғанлықтан биз $k_1 a$ көбейтиўшисиниң тек

$$\frac{\pi}{2} + \pi m < k_1 a < \pi + \pi m$$

шәртин қанаатландыратуғын мәніслерин ғана есапқа аламыз. $m = 0, 1, 2, 3, \dots$ 4.13-сүүретте $k_1 a$ ның мәніслериниң сәйкес областлары абсцисса көшеринде жуўан сызықлар менен көрсетилген.



2.4.13-сүүрет

Келтирилген графиклер бөлекшениң энергия спектриниң дискрет екенлигин көрсетеди. Потенциал шуқырдың тереңлиги U_0 хәм кеңлиги a қаншама үлкен болса (2.4.63)-теңлемениң оң тәрәпине сәйкес келиўши графиктеги туўры сызықтың қыялығы сонша төмен хәм бул туўры синусоида менен көп санлы кесилисиў ноқатларына ийе болады. Демек потенциал шуқырда соншама көп энергия қәддилери жайласады деген сөз.

Шуқырда ең кеминде энергияның бир қәдди болатуғын шәртти табамыз. Бундай жағдайда (2.4.63)-теңлемениң оң тәрәпине сәйкес келиўши туўрының қыялығын анықлайтуғын

$$\sqrt{\frac{\hbar^2}{2mU_0a^2}} < \frac{1}{\pi/2}$$

теңсизлигин қанаатландырыўы керек. Буннан U_0a^2 ушын

$$U_0a^2 > \frac{\pi^2\hbar^2}{8m} \quad (2.4.64)$$

шәртине ийе боламыз.

Бул аңлатпаны толығырақ таллаймыз. Усы шәрт орынланғанда ғана шуқыр ишиндеги бөлекше ушын Шредингер теңлемеси шешимге ийе болады, яғный шуқырдың ишинде кеминде бир қәдди болады. Бундай жағдайда шуқырдың ишиндеги бөлекшениң байланысқан ҳалы болады деп айтады. (2.4.64)-теңсизликтің шеп тәрәпине тек потенциал шуқырдың параметрлери ғана киреди (оның кеңлиги a хәм тереңлиги U_0). Ал биз қарап атырған бөлекшениң типі ушын (яғный оның массасы ушын) теңлемениң оң тәрәпи константаға айланады.

Егер потенциал шуқыр жеткиликли дәрежеде терең ямаса жеткиликли дәрежеде кең болмаса (2.4.64)-шәрт орынланбайды. Бундай жағдайда шуқырдағы бөлекше ушын Шредингер теңлемеси шешимге ийе бола алмайды хәм усыған сәйкес потенциал шуқырға бирде бир энергия қәдди орналаса алмайды. Физикада усындай жағдайлар көп ушырасады. Мысалы еки нейтрон хәм еки протон арасында ядролық тартысыў күшлери тәсир етеди. Бирақ тәбиятта еки протоннан ямаса еки нейтроннан туратуғын байланысқан ҳал ушыраспайды. Себеби бундай бөлекшелердиң бир бири менен тәсирлесиўине сәйкес келетуғын потенциал шуқыр жеткиликли емес тереңликке хәм кеңликке ийе.

Протон менен нейтрон арасындағы тәсир етисиў күшиниң шамасы еки протон ямаса еки нейтрон арасындағы тәсир етисиў күшиниң шамасынан азмаз ғана үлкен. Усы азмаз айырма протон менен нейтрон арасындағы байланысқан ҳал – дейтронның пайда болыўы ушын жеткиликли. Протон менен нейтрон арасындағы тәсирлесиўге сәйкес келетуғын потенциал шуқырда энергияның тек бир қәдди жайласады. Демек дейтрон барлық ўақытта да тийкарғы ҳалда жайласады, оның қозған ҳаллары пүткиллей жоқ.

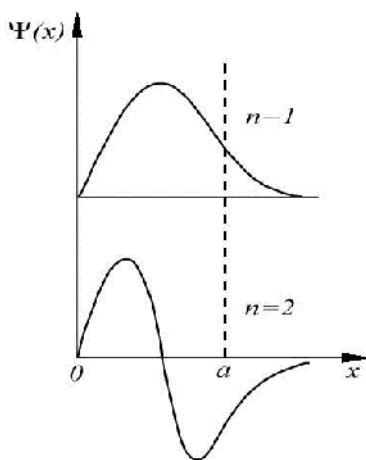
Биз қарап атырған мәселениң толқын функцияларын таллаўға қайтып келемиз. Жоқарыда $x < 0$ болғанда $\psi(x) \equiv 0$ теңлигиниң орынланатуғыны айтып өтилген еди. I областта, яғный потенциал шуқырда толқын функциясы

$$\psi_1(x) = A \sin k_1x$$

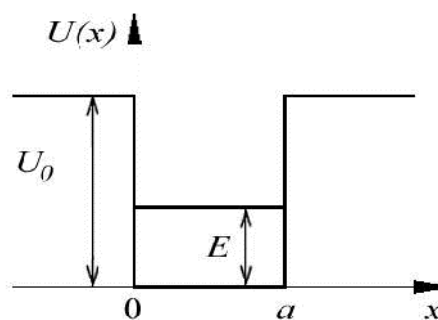
түрине ийе. Бул еки шексиз бийик дийўалға ийе шуқырда толқын функциясының осуилляцияланыўшы шешимге ийе болатуғынлығын көрсетеди. II областтағы толқын функциясының түри үлкен қызығыўшылық пайда етеди

$$\psi_2(x) = Ce^{-k_2x}.$$

$\psi_2(x)$ толқын функциясы потенциал шуқырдың сыртында нолге тең емес, ал x қашықтығына байланысly экспоненциаллық нызам бойынша киширейеди. Бул жағдай өз гезегинде бөлекшени табыўдың итималлығының потенциал шуқырдың сыртында да нолге тең болмайтұғынлығын аңғартады (2.4.7-мәселеге қараңыз). А хәм C константалары арасындағы қатнас нормировка шәртинин жәрдеминде анықланады. Бул мәселе ушын толқын функцияларының сапалық түрлери 4.20-сүүретте келтирилген.



4.14-сүүрет. (2.4.20-



4.15-сүүрет. (2.4.21)

Енди $E > U_0$ болған жағдайды қараймыз. I хәм II областлар ушын Шредингер теңлемесин сәйкес

$$\frac{d^2\psi_1(x)}{dx^2} + k_1^2\psi_1(x) = 0 \quad (2.4.65a)$$

хәм

$$\frac{d^2\psi_2(x)}{dx^2} + k_2^2\psi_2(x) = 0 \quad (2.4.65b)$$

түринде жазамыз. Бул аңлатпаларда $k_1 = \sqrt{\frac{2mE}{\hbar^2}}$ хәм $k_2 = \sqrt{\frac{2m(U_0-E)}{\hbar^2}}$.

Шуқырдың шегарасында $\psi_1(0) = 0$ екенлигин есапқа алғанда (2.4.65a) теңлемесиниң шешими

$$\psi_1(x) = A' \sin k_1x = \frac{A'}{2i}(e^{ik_1x} - e^{-ik_1x}) \quad (2.4.66)$$

түрине ийе. (2.4.65b) теңлемесиниң шешимин былайынша жазамыз:

$$\psi_2(x) = D \sin(k_2x + \varphi) = B'e^{ik_2x} - C'e^{-ik_2x}. \quad (2.4.67)$$

$x = a$ нокатында функцияларды хәм олардың туўындыларын жалғастырыў операциясын орынласақ төмендегидей теңлемелер системасына өтеміз:

$$\begin{aligned}\frac{A'}{2i}(e^{ik_1a} - e^{-ik_1a}) &= B'e^{ik_2a} - C'e^{-ik_2a}, \\ \frac{A'}{2i}ik_1(e^{ik_1a} - e^{-ik_1a}) &= ik_2(B'e^{ik_2a} - C'e^{-ik_2a}).\end{aligned}$$

Бул теңлемелер системасын B' хәм C' амплитудаларына қарата шешсек, онда олардың A' амплитуда арқалы аңлатпаларын аламыз:

$$\begin{aligned}B' &= \frac{A'}{4i}e^{-ik_2a} \left[e^{ik_1a} \left(\frac{k_1}{k_2} + 1 \right) - e^{-ik_1a} \left(\frac{k_1}{k_2} - 1 \right) \right], \\ C' &= \frac{A'}{4i}e^{ik_2a} \left[e^{ik_1a} \left(\frac{k_1}{k_2} - 1 \right) - e^{-ik_1a} \left(\frac{k_1}{k_2} + 1 \right) \right].\end{aligned}\tag{2.4.68}$$

(2.4.68)-аңлатпалардың k_1 менен k_2 ниң қәлеген мәнислериндеги (яғный бөлекшениң энергиясының қәлеген мәнисиндеги) B' хәм C' амплитудаларының мәнислерин анықлайтуғынлығын атап өтеміз.

$E > U_0$. Бул $E > U_0$ шәрти орынланғанда бөлекшениң энергиясының үзликсиз спектрге ийе болатуғынлығын көрсетеди.

(2.4.66)- хәм (2.4.67)-толқын функцияларын таллаймыз. Олардың хәр қайсысы де Бройльдин еки толқынының қосындысы болып табылады: e^{ikx} толқыны шеп тәрәптен оң тәрәпке қарай, ал e^{-ikx} толқыны оң тәрәптен шеп тәрәпке қарай. $+\infty$ тен келген толқынның (2.4.67-аңлатпадағы екинши қосылыўшы) бир бөлеги $x = a$ шуқырдың шегарасында шағылысады хәм (2.4.67)-аңлатпаның биринши қосылыўшысына үлес қосады. Қалған бөлеги сынады (2.4.66-аңлатпадағы екинши қосылыўшы). Буннан кейин толқын $x = 0$ дийўалында шағылысады (2.4.66-аңлатпадағы биринши қосылыўшы) хәм шуқырдың $x = a$ шегарасында қайтадан сынады. Усының нәтийжесинде (2.4.57)-аңлатпаның биринши қосылыўшысына үлес қосады хәм шексизликке кетеди.

Шекли тереңликке ийе туўры мүйешли потенциал шуқыр. Шекли тереңликке ийе туўры мүйешли потенциал шуқырдың ишинде жайласқан бөлекшени қараймыз (2.4.14-сүүрет). Бундай модель атомның этирапындағы электронның қасындағы электронның қозғалысын сапалық түрде тәрийиплей алады. Сонлықтан атом физикасы менен қатты денелер физикасында кеңнен қолланылады.

Мейли бөлекшениң потенциал энергиясы

$$U(x) = \begin{cases} U_0, & x < 0, \text{ I область} \\ 0, & 0 < x < a, \text{ II область} \\ U_0, & x > a, \text{ III область.} \end{cases}$$

түрине ийе болсын.

Дәслеп $E < U_0$ болған жағдайды қараймыз (яғный бөлекше шуқырдың ишинде жайласқан деген сөз). I хәм III областлар ушын (потенциал шуқырдан сыртта) Шредингер теңлемесин былайынша жазамыз

$$\frac{d^2\psi_{1,3}}{dx^2} - \frac{2m}{\hbar^2}(U_0 - E)\psi_{1,3} = 0$$

$$k_1 = \sqrt{\frac{2m(U_0 - E)}{\hbar^2}} \text{ белгилейін қабыл етеміз хәм}$$

$$\frac{d^2\psi_{1,3}}{dx^2} - k_1^2\psi_{1,3} = 0$$

теңлемесін аламыз.

Бул теңлеме

$$\begin{aligned}\psi_1(x) &= A_1 e^{k_1 x} + B_1 e^{-k_1 x}, \\ \psi_3(x) &= A_3 e^{k_1 x} + B_3 e^{-k_1 x}\end{aligned}$$

түріндегі шешімлерге ийе болады. Толқын функциясының шекли болыуы үшін $B_1 = 0$ хәм $A_3 = 0$ болыуы шәрт.

II областта, яғный потенциал шуқырдың ишінде Шредингер теңлемеси

$$\frac{d^2\psi_2}{dx^2} + \frac{2m}{\hbar^2}E\psi_2 = 0$$

түрине ийе болады хәм $\psi_2(x) = C \sin(k_2 x + \alpha)$ осцилляцияланыушы шешімге ийе.

Бул формулада $k_2 = \sqrt{\frac{2mE}{\hbar^2}}$.

Солай етип бул мәселе үшін бөлекшениң толқын функциялары төмендегідей түрлерге ийе болады:

$$\begin{aligned}\psi_1(x) &= A_1 e^{k_1 x}, \\ \psi_2(x) &= C \sin(k_2 x + \alpha), \\ \psi_3(x) &= B_3 e^{-k_1 x}.\end{aligned} \tag{2.4.69}$$

$x = 0$ хәм $x = a$ нәқатларында толқын функцияларын хәм олардың тууындыларын жалғастыруы барысында

$$\begin{aligned}tg \alpha &= \frac{k_2}{k_1}, \\ tg (k_2 a + \alpha) &= -\frac{k_2}{k_1}\end{aligned}$$

еки аңлатпасын аламыз. Оларды

$$\begin{aligned}\sin \alpha &= \frac{\hbar k_2}{\sqrt{2mU_0}}, \\ \sin(k_2 a + \alpha) &= -\frac{\hbar k_2}{\sqrt{2mU_0}}\end{aligned}$$

түрине алып келиу қыйын емес. Бул еки аңлатпадан α ны жоғалтып

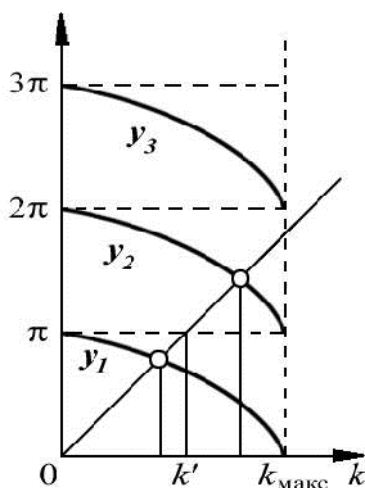
$$k_2 a = \pi n - 2 \arcsin \left(\frac{\hbar k_2}{\sqrt{2mU_0}} \right), \quad n = 1, 2, 3, \dots \quad (2.4.70)$$

аңлатпасына ийе боламыз. Бул аңлатпа болса шуқырдың ишиндеги бөлекшениң энергия спектрин анықлайды. n ниң терис мәнислери ямаса оның $n = 0$ болған мәниси мәселениң шәртин қанаатландырмайды. Себеби (2.4.70)-аңлатпаның шеп тәрәпи терис мәниске ийе бола алмайды.

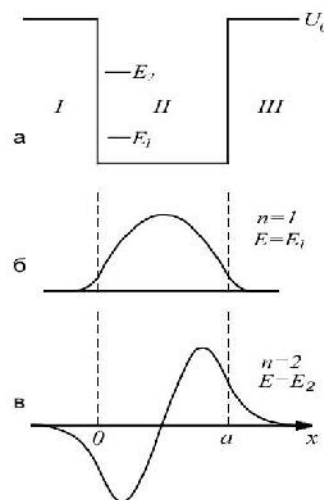
\arcsin функциясының аргументиниң мәниси 1 ден үлкен бола алмайды. Сонлықтан

$$\frac{\hbar k_2}{\sqrt{2mU_0}} \leq 1$$

хәм k_2 шамасының мәниси $k_{2max} = \frac{1}{\hbar} \sqrt{2mU_0}$ шамасы менен шекленген.



2.4.16-сүүрет.



2.4.17-сүүрет.

Бул жағдайда да графикалық усыллардың жәрдеминде де шуқырдың ишиндеги бөлекшениң энергиясының квантланған, яғный (2.4.70)-аңлатпаның жәрдеминде анықланған энергия спектриниң дискрет екенлигин көрсетемиз. Буның ушын (2.4.70)-теңлемениң шеп хәм оң тәрәплериниң k_2 шамасынан байланысының графиклерин сызамыз. Шеп тәрәпиниң графиги $y = k_2 a$ туўры сызығы болып табылады. Оның қыялығы шуқырдың кеңлиги a ның өсиўи менен өседи. (2.4.70)-теңлемениң шеп тәрәппиниң $n = 1, 2, 3$ мәнислери ушын сызылған графиклери y_1 , y_2 хәм y_3 иймекликлери менен берилген. $y = k_2 a$ туўры сызығы менен y_i иймеклериниң кесилисиў ноқатлары (2.4.70)-теңлемениң коренлери болып табылады. Демек k_2 шамасының мәнислери, яғный оның менен байланыслы болған E энергияның мәнислериниң спектри дискрет болып шығады. Шуқырдың кеңлиги a қаншама үлкен болса, яғный $y = k_2 a$ туўры сызығы тик болса, онда ол y_i иймекликлери менен көп ноқатта кесилеседи. Хәр бир кесилисиў ноқаты энергияның белгили бир қәддине сәйкес келеди. $k_{2max} a < \pi n$ шәрти орынланса шуқырда n дана энергия қәдди болады. Демек бул жағдайда бөлекшениң n дана байланысқан ҳалы жүзеге келеди деген сөз.

Шуқырдың тереңлиги U_0 киширейгенде k_{2max} шамасы да, усыған сәйкес шуқырдағы энергия қәддилери саны да киширейеди. $k_{2max} < \pi/a$ шәрти орынланғанда, яғный

$$U_0 < \frac{\pi^2 \hbar^2}{2ma^2}$$

шәрти орынланғанда шуқырда тек бир энергия қәдди қалады. Тереңлиги шекли болған туўры мүйешли потенциал шуқырда ең кеминде бир энергия қәддиниң, яғный бир байланысқан ҳалдың болатуғынлығын атап өтемиз.

Шуқырдың тереңлиги шексиз үлкейгенде (яғный $U_0 \rightarrow \infty$ шәрти орынланғанда) (2.4.70) энергия спектриниң шексиз терең потенциал шуқыр ушын алынған (яғный дийўаллары шексиз бийик болған) (2.4.16)-спектрге өтетуғынлығына аңсат көз жеткерийўге болады.

Биз қарап атырған мәселедеги (2.4.69)-толқын функцияларының сапалық түри 4.17-сүүретте келтирилген. Потенциал шуқырдың ишинде толқын функциялары синусоида түрине ийе, ал шуқырдан сыртта экспоненциаллық нызам бойынша киширейеди. Үлкен энергияға ийе ҳаллар ушын (яғный $U_0 - E$ айырмасы киши болғанда) толқын функциялары шуқырдың шетлеринде үлкен мәнислерге ийе болады ҳәм шуқырдан қашықласқанда әстелик пенен киширейеди.

Енди бөлекшениң энергиясы үлкен, яғный $E > U_0$ шәрти орынланатуғын жағдайды қараймыз. (2.4.6) Шредингер теңлемеси I, II ҳәм III областларда төмендегидей шешимлерге ийе болады:

$$\begin{aligned} \psi_1(x) &= A_1 e^{i\tilde{k}_1 x} + B_1 e^{-i\tilde{k}_1 x}, \quad x < a, \\ \psi_2(x) &= A_2 e^{ik_2 x} + B_2 e^{-ik_2 x}, \quad 0 < x < a, \\ \psi_3(x) &= A_3 e^{i\tilde{k}_1 x} + B_3 e^{-i\tilde{k}_1 x}, \quad x > a. \end{aligned} \quad (2.4.71)$$

Бул аңлатпада

$$\tilde{k}_1 = \sqrt{\frac{2m(E-U_0)}{\hbar^2}}, \quad k_2 = \sqrt{\frac{2mE}{\hbar^2}}. \quad (2.4.72)$$

(2.4.71)-аңлатпаға сәйкес бул толқын функцияларының ҳәр қайсысы еки де Бройль толқынының қосындысынан турады: бирейи $+x$ бағытында, ал екіншиси оған қарама-қарсы бағытта қозғалады. Анықлық ушын бөлекше шуқырға x тың терис мәнислери тәрәптен жақынласады деп есаплайық (бул бөлекшениң шеп тәрәптен оң тәрәпке қарай қозғалатуғынлығына сәйкес келеди). Бундай жағдайда $\psi_3(x)$ ушын жазылған аңлатпадағы екінши қосылыўдың болмаўы керек. Себеби бул қосылыўшы бөлекшениң $+\infty$ тен шуқырға қарай қозғалыўына, яғный оң тәрәптен шеп тәрәпке қарай қозғалыўына сәйкес келеди. Демек B_3 коэффициентин нолге тең деп есаплаў керек.

$\psi_1(x)$ функциясындағы биринши қосылыўшы шуқырға $-\infty$ тен келип түсетуғын толқынға, екіншиси шуқырда шағылысқан толқынға сәйкес келеди. $\psi_2(x)$ функциясындағы биринши қосылыўшы $A_2 e^{ik_2 x}$ толқыны $x = 0$ шегарасында шағылысқан толқынды, екінши қосылыўшы $x = a$ шегарасында шағылысқан толқынды береді. $\psi_3(x)$ толқын функциясы болса бир қосылыўшыға ийе ҳәм ол өтиўши толқынға сәйкес келеди. Бул мәселеде де келип түсийўши толқынның амплитудасын 1 ге тең деп есаплаймыз (яғный $A_1 = 1$).

$x = 0$ ҳәм $x = a$ ноқатларында толқын функцияларын ҳәм олардың туўындыларын жалғастырыў шәртлери төмендегидей теңлемелер системаларына алып келеди

$$1 + B_1 = A_2 + B_2,$$

$$\begin{aligned} i\tilde{k}_1 - i\tilde{k}_1 B_1 &= ik_2 A_2 - ik_2 B_2, \\ A_2 e^{ik_2 a} + B_2 e^{-ik_2 a} &= A_3 e^{i\tilde{k}_1 a}, \\ ik_2 A_2 e^{ik_2 a} - ik_2 B_2 e^{-ik_2 a} &= ik_1 A_3 e^{i\tilde{k}_1 a}. \end{aligned}$$

Бул алгебралық теңлемелерди шешіу жолы менен B_1 , A_2 , B_2 хәм A_3 коэффициентлерин табамыз. Бул теңлемелер системасы \tilde{k}_1 менен k_2 параметрлериниң қәлеген мәнисинде шешимге ийе болғанлықтан (яғный энергия E ниң қәлеген мәнислеринде шешимге ийе болғанлықтан) бөлекше үзликсиз энергия спектрине ийе болады деген жуўмаққа келемиз.

Өткен толқынның амплитудасы A_3 ушын төмендегидей аңлатпа аламыз:

$$A_3 = \frac{4\tilde{k}_1 k_2 e^{i\tilde{k}_1 a}}{(\tilde{k}_1 + k_2)^2 e^{ik_2 a} - (\tilde{k}_1 - k_2)^2 e^{ik_2 a}}.$$

Бөлекшениң шуқырдың үсти менен өтиуи итималлығын характерлейтуғын D өтиу коэффициенти (2.4.37)-аңлатпаның жәрдемінде есапланады. Келип түсіуши хәм өткен толқынлар ушын итималлық ағысы тығызлығы векторы (2.4.36)-, (2.4.37)- хәм (2.4.70)-аңлатпаларға сәйкес

$$|\vec{J}_{\text{к.т}}| = \frac{\hbar \tilde{k}_1}{m}, \quad |\vec{J}_{\text{өтиуши}}| = \frac{\hbar \tilde{k}_1}{m} |A_3|^2$$

түрине ийе болады. Солай етип

$$D = |A_3|^2 = \left| \frac{4\tilde{k}_1 k_2 e^{i\tilde{k}_1 a}}{(\tilde{k}_1 + k_2)^2 e^{ik_2 a} - (\tilde{k}_1 - k_2)^2 e^{ik_2 a}} \right|^2 \quad (2.4.73)$$

формуласына ийе боламыз. (2.4.73)-аңлатпаға (2.4.72)-аңлатпадан \tilde{k}_1 менен k_2 шамаларының мәнислерин қойсақ

$$D = \left[1 + \frac{U_0^2 \sin^2 k_2 a}{4E(E - U_0)} \right]^{-1} \quad (2.4.74)$$

формуласын аламыз. (2.4.74)-аңлатпадан өтиу коэффициенти D ның бөлекшениң энергиясы E менен потенциал шуқырдың тереңлиги U_0 арасындағы айырмаға байланысly екенлиги көринип тур. $E - U_0$ айырмасы улыўма жағдайларда 1 ден киши. Бул жағдай хәтте $E > U_0$ болған ситуацияларда да бөлекшениң потенциал шуқырдағы шағылысыўының итималлығының нолге тең емес екенлигин аңғартады. Классикалық физикада пүткиллей жоқ бундай кубылыс бөлекшеде толқынлық қәсийетлердиң бар болыўы менен түсиндириледі.

$\sin^2 k_2 a = 0$ болғанда өтиу коэффициенти D бирге тең болады. Бундай жағдайда бөлекше шуқырдың шегараларында шағылыспайды. Бул шәрт $k_2 a = \pi n$ болғанда, яғный бөлекшениң энергиясы

$$E = \frac{\pi^2 \hbar^2}{2ma^2} n^2, \quad n = 1, 2, 3, \dots \quad (2.4.75)$$

шамаларына тең болған жағдайларда орынланады.

Жоқарыда келтирилген таллау 2-бапта келтирилген Рамзауэр тәжірийбесін квантлық механика түсіндіре алады. Бул тәжірийбеде инерт газы атомларының энергиясы белгили бир мәнислерге ийе болған электронлар ушын мөлдир екенлигин көрсетти. Рамзауэр тәжірийбесінің нәтижелерін үш өлшемлі потенциал шуқыр областындағы электронның қозғалысын қарап болғаннан кейін толығырақ түсіндіріуге болатуғынлығы сөзсиз. Бирақ бир өлшемлі мәселени шешкенде алынған нәтижелер де Рамзауэр тәжірийбесінің нәтижелерін тек сапалық жақтан емес, ал санлық жақтан да түсіндіріу мүмкіншилигине ийе.

$k_2 a = \pi n$ шәртин былайынша да жазыуға болады

$$2a = \lambda_{ab} n. \quad (2.4.75)$$

(2.4.75)-аңлатпада λ_{ab} арқалы шуқырдың ишіндеги бөлекшениң де Бройль толқын узынлығы белгиленген. Бул шәрт шуқырдың еки шегарасында шағылысқан толқынлардың интерференциясының салдарынан толқынлардың бир бирин сөндириуине сәйкес келеди. Толқын оптикасында бақланатуғын тап усындай кубылысты оптиканы жақтыландыруу деп аталады.

4.8-мәселе. Массасы m болған бөлекше бир өлшемлі, дийуалларының бийиклиги шексиз болған потенциал шуқырда жайласқан. (2.4.12-сүүрет). Шуқырдың тереңлиги U_0 , ал кеңлиги a шамасына тең. Бөлекшеде тек бир $E = \frac{U_0}{2}$ шамасына тең энергияның қәдди бар деп есаплап мыналарды табыңыз:

а) бундай шуқырдағы $U_0 a^2$ шамасын;

б) бөлекшениң координатасының ең итимал болған мәнисін (оны $x_{\text{ең итимал}}$ деп белгилеймиз;

в) $x > a$ областында бөлекшени табыудың итималлығын.

Шешими: $E < U_0$ теңсизлиги орынланғанда бөлекшениң энергиясының мүмкін болған мәнислерін анықлайтуғын шәрт (2.4.63)-аңлатпа түрінде болады

$$\sin k_1 a = \pm \sqrt{\frac{\hbar^2}{2mU_0 a^2}} k_1 a.$$

Бул аңлатпада $k_1 = \sqrt{\frac{2mE}{\hbar^2}}$. Бул аңлатпаға $E = \frac{U_0}{2}$ мәнисін қойсақ

$$\sin \frac{a\sqrt{mU_0}}{\hbar} = \frac{\sqrt{2}}{2}$$

аңлатпасын аламыз. Шуқырда тек бир энергия қәдди жайласатуғын болғанлықтан синустың аргументінің мәнісі $\pi/2$ ден π ге шекемги шеклер ишінде жайласқан болыуы керек. (2.4.63-формуладан кейінги таллауды қараңыз). Демек теңлемениң шешими

$$\frac{a\sqrt{mU_0}}{\hbar} = \frac{3\pi}{4}$$

түрінде болады. Буннан шуқырдың тереңлиги менен кеңлигинің

$$a^2 U_0 = \frac{9}{16} \frac{\pi^2 \hbar^2}{m}$$

шәртин қанаатландырыуының керек екенлигин көреміз. Енди бөлекшениң координатасының ең итимал болған $x_{\text{ең итимал}}$ мәнісін табамыз.

Бөлекшени шуқырдың ишинде табыудың итималлығының тығызлығы толқын функциясының модулинің квадратының жәрдемінде анықланатуғынлығын билеміз. Бул шаманы $|\psi(x)|^2$ арқалы белгилейміз. Шуқырдың ишинде (2.4.60a аңлатпаға қараңыз) $|\psi(x)|^2 \sim \sin^2 k_1 x$ болғанлықтан, экстремум мәселесін шешиў арқалы

$$\frac{d|\psi(x)|^2}{dx} \sim \sin 2 k_1 x = 0$$

теңлемесін аламыз. Буннан $2k_1 x_{\text{ең итимал}} = \pi m$ теңлигине ийе боламыз (бул аңлатпада $m = 1, 2, 3, \dots$). $k_1 a < \pi$ теңсизлигинен алынған шешимде тек $m = 1$ мәнісін ғана қалдырыуымыз керек болады. Солай етип

$$x_{\text{ең итимал}} = \frac{\pi}{2k_1} = \frac{\pi \hbar}{2\sqrt{mU_0}}.$$

a^2 пенен U_0 арасындағы байланысты есапқа алсақ

$$x_{\text{ең итимал}} = \frac{\pi \hbar}{2\sqrt{m \frac{9}{16} \frac{\pi^2 \hbar^2}{ma^2}}} = \frac{2}{3} a$$

түриндеги ең ақырғы аңлатпаны аламыз.

Енди бөлекшени $x > a$ областында табыудың итималлығын табамыз. P_1 хәм P_2 арқалы бөлекшени сәйкес шуқырдың ишинде хәм сыртында табыудың итималлығын белгилейик. (2.4.60a) хәм (2.4.60b) толқын функцияларының түрлерін есапқа алсақ

$$P_1 = \int_0^a A^2 \sin^2 k_1 x \, dx, \quad P_2 = \int_a^\infty C^2 e^{-2k_2 x} \, dx$$

формулаларын аламыз. Бул жерде $k_2 = \sqrt{\frac{2m(U_0 - E)}{\hbar^2}} = \sqrt{\frac{2mU_0}{\hbar^2}} = k_1 = \frac{3\pi}{4a}$.

A хәм C амплитудалары арасындағы байланысты $x = a$ ноқатында толқын функцияларын жалғастырыў шәртинен аламыз

$$A \sin k_1 a = C e^{-k_2 a}.$$

$k_1 = \frac{3\pi}{4a} = k_2$ екенлигин хәм $\sin k_1 a = \frac{\sqrt{2}}{2}$ екенлигин есапқа алсақ, онда

$$\frac{A}{C} = \frac{e^{-\frac{3\pi}{4}}}{\frac{\sqrt{2}}{2}} = \sqrt{2} e^{-\frac{3\pi}{4}}$$

аңлатпасына ийе боламыз. P_1 хәм P_2 итималлықтарының қатнасы

$$\frac{P_1}{P_2} = \frac{A^2}{C^2} \cdot \frac{\int_0^a \sin^2 \frac{3\pi}{4a} x dx}{\int_a^\infty e^{-\frac{3\pi}{2a} x} dx} = 2e^{-\frac{3\pi}{2}} \frac{a(3\pi + 2)}{6\pi \frac{2a}{3\pi} e^{-\frac{3\pi}{2}}} = \frac{3\pi + 2}{2}$$

шамасына тең болып шығады. $P_1 + P_2 = 1$ екенлигин есепқа алсақ, онда P_2 ушын

$$P_2 = \frac{2}{3\pi + 4} = 0,149$$

шамасына ийе боламыз. Бул алынған нәтиже $\sim 15\%$ шамасына тең жеткиликли дәрежедеги итималлық пенен бөлекше потенциал шуқырдың сыртында бола алады деген жуўмақты аңғартады.

4.9-мәселе. Массасы m болған бөлекше тереңлиги U_0 болған туўры мүйешли потенциал шуқырға шептен оң тәрепке қарай келип түседі (2.4.15-сұурет). Бөлекшениң толық энергиясы $E > U_0$ белгили деп есаплап бөлекшениң шуқырдан шағылысыў коэффициенті максималлық мәниске ийе болатуғындай шуқырдың кеңлиги a ның мәнисин есаплаңыз.

Шешими: Потенциал шуқырдағы бөлекшениң шағылысыўы квантлық эффект болып табылады. Классикалық бөлекше шуқырда шағылыспайды. Шуқыр областында оның кинетикалық энергиясы менен тезлиги өседі. Толқынның қәлеген тосқынлықтан шағылысатуғынлығы сыяқлы квантлық бөлекше толқынлық қәсийетке ийе болғанлықтан шуқырда шағылысады.

R шағылысыў коэффициенті менен D өтиў коэффициенті бир бири менен $R = 1 - D$ қатнасы менен байланысқан болғанлықтан шағылысыўдың максимумы өтиў коэффициенті D минималлық мәниске ийе болғанда бақланады. (2.4.74)-аңлатпаға сәйкес өтиў коэффициенті D мынадай түрге ийе болады

$$D = \left[1 + \frac{U_0^2 \sin^2 k_2 a}{4E(E - U_0)} \right]^{-1}$$

Бул аңлатпада $k_2 = \sqrt{\frac{2mE}{\hbar^2}}$. Шуқырдың кеңлиги a шамасының ҳәр қандай мәнислеріндеги D ның мимимумы $|\sin^2 k_2 a| = 1$ болған жағдайда орын алады. Буны былайынша жазамыз

$$k_2 a = (2m + 1) \frac{\pi}{2}, \quad m = 0, 1, 2, 3, \dots$$

Буннан бөлекшениң шағылысыўы максималлық болатуғын шуқырдың кеңлиги a ны табамыз

$$a = \frac{(2m + 1)\pi \hbar}{\sqrt{8mE}}.$$

Бул шәртти былайынша көширип жазыўға болатуғынлығын атап өтемиз

$$a = \frac{2m + 1}{4} \lambda_{db}.$$

Бул аңлатпада $\lambda_{db} = \frac{2\pi\hbar}{\sqrt{2mE}}$ арқалы шуқырдағы бөлекшениң де Бройль толқыны ұзындығы белгиленген.

2-4-5. Квантлық гармоникалық осциллятор

Гармоникалық осциллятор деп гармоникалық тербеле алатуғын системаға айтады. Физикада гармоникалық осциллятор модели әсиресе системалардың орнықты орны әтирапындағы киши тербеліслерін изертлегенде әхмийетлі орынды ийелейди. Бундай тербеліслерге мысал ретінде қатты денелердеги, молекулалардағы атомлардың тербеліслерін келтиріу мүмкін.

x көшери бойлап квазисерпимли $F = -kx$ күшиниң тәсирінде жүзеге келетуғын бир өлшемлі гармоникалық осцилляторды қараймыз. Бундай осциллятордың потенциал энергиясы

$$U(x) = \frac{kx^2}{2} = \frac{m\omega_0^2 x^2}{2} \quad (2.4.77)$$

түрінде жазылады. Бул аңлатпада $\omega_0 = \sqrt{\frac{k}{m}}$ арқалы классикалық гармоникалық осциллятордың меншикли тербеліс жийилиги белгиленген.

Солай етип гармоникалық осциллятордың квантлық механикалық мәселеси бөлекшениң (2.4.77)-параболалық потенциал шуқырдағы қозғалысы мәселесине алып келинеди.

Дәслепп классикалық гармоникалық осциллятордың қәсийетлерін қарап өтеміз. Мейли толық энергиясы E болған бөлекше (2.4.77) күш майданында тербелсин (2.4.18-сүүрет). 2.4.18-сүүреттеги a_0 хәм $-a_0$ ноқатларында бөлекшениң толық энергиясы потенциал энергияға ийе болады [яғный $E = U(x)$] хәм сонлықтан бул ноқатлар бурылыу ноқатлары да болып табылады. Бөлекше потенциал шуқырдың ишинде оның дийуаллары арасындағы $[-a_0, a_0]$ кесиндисинде тербелмели түрде қозғалады. Оның шеклеринен бөлекше шығып кете алмайды. Тербеліс амплитудасы a_0 ның мәніси $a_0 = \sqrt{\frac{2E}{m\omega_0^2}}$ формуласының жәрдемінде анықланады.

Квантлық механикада гармоникалық осциллятор ҳаққындағы мәселени шешкенде (2.4.77)-потенциал энергиясы қойылған (2.4.6)-Шредингер теңлемесин шешиу керек болады

$$\frac{d^2\psi}{dx^2} + \frac{2m}{\hbar^2} \left[E - \frac{m\omega_0^2 x^2}{2} \right] \psi = 0, \quad -\infty < x < +\infty. \quad (2.4.78)$$

Төмендегидей шамаларды киргиземиз

$$\eta = \frac{2E}{\hbar\omega_0} \text{ хәм } x_0 = \sqrt{\frac{\hbar}{m\omega_0}} \quad (2.4.79)$$

және $\xi = \frac{x}{x_0}$ бирликлери жоқ жаңа өзгеріушиге өтсек (2.4.78)-аңлатпаны

$$\frac{d^2\psi}{d\xi^2} + \frac{2m}{\hbar^2} [\eta - \xi^2] \psi = 0 \quad (2.4.80)$$

түріне алып келеміз. Таллаулар (2.4.80)-теңлемениң шешімлеринің η шамасының барлық мәнісдерінде емес, ал

$$\eta = 2n + 1, \quad n = 0, 1, 2, 3, \dots$$

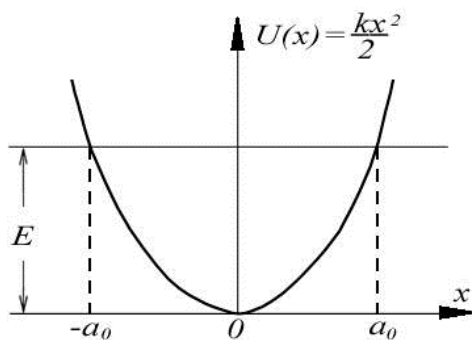
мәнісдерінде ғана үздіксіз хәм шекли болатуғынлығын көрсетеді.

(2.4.79)-аңлатпаға сәйкес осциллятордың энергиясы болған E шамасын η арқалы аңғартсақ, онда

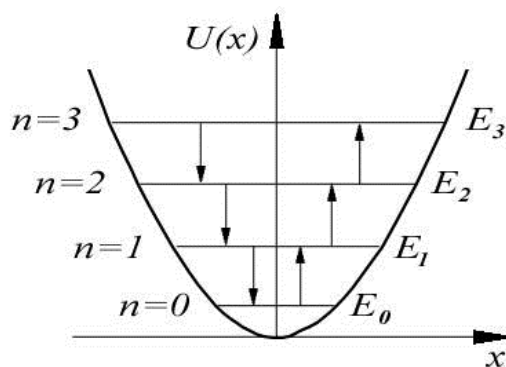
$$E_n = \hbar\omega_0 \left(n + \frac{1}{2} \right), \quad n = 0, 1, 2, 3, \dots \quad (2.4.81)$$

аңлатпасына ийе боламыз. Бул формула гармоникалық осциллятордың энергиясының квантланыуы нызамын анықлайды. Биз бул жерде гармоникалық осциллятордың энергиясының қаддилеринің эквидистантлық екенлігін көреміз (яғнай бір биринен бирдей $\Delta E = \hbar\omega_0$ қашықлықларында жайласады). Тууры мүйешли потенциал шуқырда жайласқан бөлекше ушын биз басқаша нәтиже алғанлығымызды атап өтеміз (2.4.19-сүүрет).

(2.4.81)-спектрдің және бир әхмийетли өзгешелиги ноллик тербеліслер деп аталатуғын тербеліслердің бар екенлігінде. Оның энергиясы $E_0 = \frac{1}{2}\hbar\omega_0$ шамасына тең хәм $n = 0$ болған хал ушын алынады. Гармоникалық осциллятордың нолге тең емес минималлық энергиясының болуы барлық квантлық системалар ушын тән хәм анықсызлық қатнастарының нәтижесі болып табылады. Хәқыйқый квантлық системаларнда, мысалы кристалларда бундай тербеліслердің абсолют нол температурасына жүдә жақын температураларда да сақланатуғынлығын көп санлы тәжірийбелер көрсетеді. Абсолют нол температурада жыллылық тербеліслеринің толық сөнийи керек.



2.4.18-сүүрет.



2.4.19-сүүрет.

Ноллик тербеліслер физикада оғада үлкен орын ийелейді. Мысалы нормал басымларда суйық гелий абсолют нол температурада да кристалланбайды. Ноллик тербеліслердің бар екенлігін көп санлы тәжірийбелер дәлиллейді.

Ноллик тербеліслеринің энергиясы $E_0 = \frac{1}{2}\hbar\omega_0$ шамасының мәнісинің қандай болатуғынлығын анықсызлық қатнастары тийкарында бахалайық (басқа сөз бенен айтқанда анықсызлық қатнастарының талаптары бойынша ноллик энергияның мәнісинің қандай болатуғынлығын көрейік).

Гармоникалық осциллятор $x = x_0 \cos \omega_0 t$ нызамы бойынша тербелетуғын болсын. Координата басын гармоникалық осциллятордың тең салмақлық ауҳалы

орынланатуғын ноқатта жайластырамыз. Бундай жағдайда координатаның анықсызлығы Δx

$$\Delta x = \sqrt{x^2} = \sqrt{a_0^2 \cos^2 \omega_0 t} = \sqrt{\frac{1}{2}} a_0$$

шамасына тең болады. Тербелістер амплитудасы a_0 энергия E менен $E = \frac{1}{2} m a_0^2 \omega_0^2$ аңлатпасы арқалы байланысқан. Сонлықтан

$$\Delta x = \sqrt{\frac{E}{m \omega_0^2}}.$$

Тап сол сыяқлы импульстің анықсызлығы үшін төмендегі аңлатпаға ийе боламыз

$$\Delta p = \sqrt{p^2} = \sqrt{m^2 a_0^2 \omega_0^2 \sin^2 \omega_0 t} = \sqrt{\frac{1}{2}} m a_0^2 \omega_0^2 = \sqrt{mE}.$$

Δx пенен Δp шамаларын $\Delta x \Delta p \geq \frac{\hbar}{2}$ анықсызлық қатнасына қойсақ, онда

$$E \geq \frac{\hbar \omega_0}{2}$$

шәртин аламыз. Соның менен бирге биз жоқарыда алған гармоникалық осциллятордың минималлық энергиясы $E_0 = \frac{1}{2} \hbar \omega_0$ шамасына тең еді.

Гармоникалық осциллятордың энергия қәддилерінің эквидистантлығы (2.4.83) биринши рет қарағанда осциллятордың $\omega = \Delta n \cdot \omega_0$ жиілігіндегі нурларды шығаратуғынлығын хәм жутатуғынлығын көрсетеді. Бул аңлатпада Δn арқалы осциллятордың дәслепкі хәм соңғы қәддилері арасындағы айырма белгіленген. Бирақ бул дурыс емес. Бул курстың шеклерінен шығып кететуғын дәл есаплаулар гармоникалық осциллятор тәрәпинен электромагнит нурларды жутыу менен шығарыуда тек қоңсылас қәддилер арасындағы өтиулердің мүмкін екенлігін көрсетеді, яғнай

$$\Delta n = \pm 1. \quad (2.4.82)$$

Системаның бир қалдан екінши қалға өткендегі квантлық санларның өзгеріуін анықлайтуғын шәртлерді таңлау қағыйдалары деп атайды. Солай етип гармоникалық осциллятор тәрәпинен электромагнит нурларын шығарыу хәм жутыуды характерлейтуғын таңлау қағыйдасы (2.4.82)-аңлатпа болып табылады.

Енді гармоникалық осциллятордың толқын функцияларын таллауға өтемиз. Өзгеріуші коэффициентлерге ийе дифференциаллық теңлемелер теориясында (2.4.80) теңлемениң шешімлерінің мына түрге ийе болатуғынлығы көрсетиледі:

$$\psi_n(\xi) = e^{-\frac{\xi^2}{2}} H_n(\xi), \quad n = 0, 1, 2, 3, \dots \quad (2.4.83)$$

Бул аңлатпада $H_n(\xi)$ арқалы n -тәртіпті Чебышев-Эрмит полиномы белгіленген. Ол төмендегі формула бойынша есапланады:

$$H_n(\xi) = \frac{(-1)^n}{\sqrt{2^n n!} \sqrt{\pi}} e^{\xi^2} \frac{d^n e^{-\xi^2}}{d\xi^n}. \quad (2.4.84)$$

Бундай полиномлар үшін

$$H_{n+1}(\xi) + 2\xi H_n(\xi) - 2n H_{n-1}(\xi) = 0$$

рекуррентли аңлатпаның дурыс екенлігін атап өтемиз. Бул рекуррентли аңлатпа $H_0(\xi) \equiv 1$ екенлігі тийкарында барлық n лер үшін $H_n(\xi)$ шамаларының мәнісін анықлауға мүмкіншілік береді. Мысалы

$$\begin{aligned} H_2(\xi) &= 2\xi H_1(\xi) - 2H_0(\xi) = 4\xi^2 - 2. \\ H_3(\xi) &= 2\xi H_2(\xi) - 4H_1(\xi) = 8\xi^3 - 12\xi \end{aligned}$$

хәм тағы басқалар. (2.4.83) тиң толқын функциялары ортонормировкаланған, яғнай

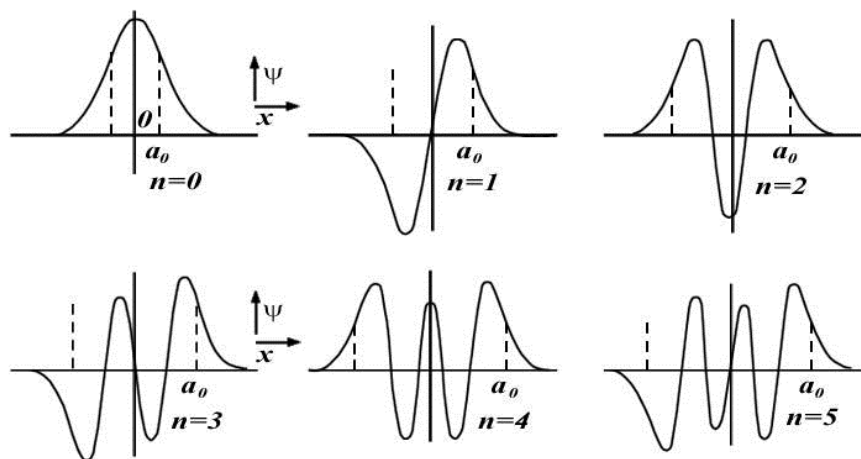
$$\int_{-\infty}^{\infty} \psi_n^*(x) \psi_m(x) dx = \delta_{mn}$$

шәртин қанаатландырады. Бул аңлатпада δ_{mn} арқалы (2.4.18) Кронекер символы белгіленген.

Гармоникалық осциллятордың биринші үш энергия қәдди үшін толқын функцияларын келтиремиз

$$\begin{aligned} n = 0, \quad \psi_0(x) &= \frac{1}{\sqrt{x_0 \sqrt{\pi}}} \exp\left(-\frac{x^2}{2x_0^2}\right), \\ n = 1, \quad \psi_1(x) &= \frac{1}{\sqrt{2x_0 \sqrt{\pi}}} \frac{2x}{x_0} \exp\left(-\frac{x^2}{2x_0^2}\right), \\ n = 2, \quad \psi_2(x) &= \frac{1}{\sqrt{8x_0 \sqrt{\pi}}} \left(\frac{4x^2}{x_0^2} - 2\right) \exp\left(-\frac{x^2}{2x_0^2}\right). \end{aligned} \quad (2.4.85)$$

n квантлық санның 0 ден 5 ке шекемгі мәнісіндегі толқын функцияларының графиклери 2.4.20-сүүретте келтирилген. $[-a_0, a_0]$ кесиндиси классикалық осциллятор тербелетуғын областты анықлайды. Бул областтың кеңлігі n квантлық санның хәр бир мәнісі үшін хәр қыйлы болып шығады. Себеби осциллятордың энергиясы да хәм оның тербелісінің амплитудасы да n нен гәрезли болады.



(2.4.83) – (2.4.85) аңлатпалардан гармоникалык осциллятордың толқын функцияларының белгили бир жуплыққа ийе екенлиги келип шығады. Бул толқын функциялары n квантлық санның мәнісін жуп хәм $n = 0$ болғанда x координатасының жуп функциялары болып табылады. Квантлық сан n ниң мәнісін толқын функциясының x көшерин кесип өтиў ноқатларының санын да анықлайды. Тийкарғы ҳалда, яғный $n = 0$ болғанда параболалық шұқырдың ишинде бир де кесилисүү ноқаты болмайды, $n = 1$ болғанда бир кесилисүү ноқаты, ал $n = 2$ теңлиги орынланғанда еки кесилисүү ноқаты бар болады. Солай етип квантлық сан n ниң мәнісін бир бирликке артқанда гармоникалык осциллятордың толқын функциясы жуплығын өзгертеди хәм x көшери менен кесилисүү ноқатын 1 ге арттырады.

Классикалык $[-a_0, a_0]$ областынан сыртта ψ_n толқын функциялары нолге тең емес екенлигин атап өтемиз. Бул квантлық гармоникалык осциллятордың белгили бир итималлық пенен параболалық потенциал областының сыртында да тура алатуғынлығын билдиреди. 4.10-мәселеде тийкарғы ҳалда турған гармоникалык осциллятордың классикалык областының сыртында тура алыў итималлығы есапланған.

n квантлық санының киши мәніслеринде толқын функциясының модулиниң квадраты $|\psi_n(x)|^2$ арқалы анықланатуғын бөлекшени табыўдың итималлығы 2.4.21-сүрөтте пунктир сызық пенен көрсетилген классикалык осцилляторды табыўдың итималлығының тығызлығы болған

$$\frac{dP}{dx} = \frac{1}{\pi \sqrt{a_0^2 - x^2}} \quad (2.4.86)$$

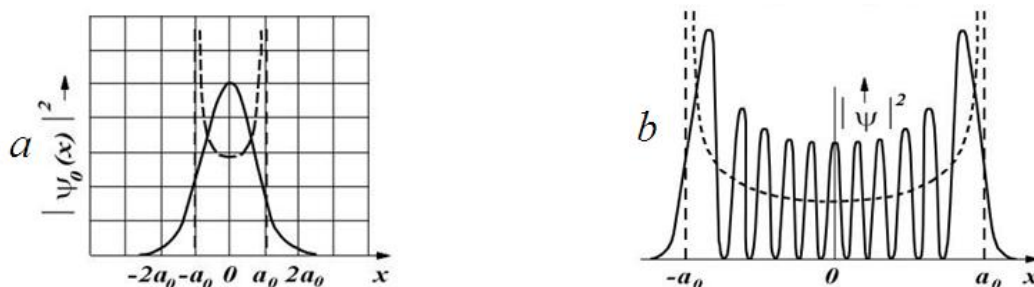
шамасына тең болады.

Классикалык осциллятордың итималлығының тығызлығы болған (2.4.86)-аңлатпаны былайынша алыў мүмкин. Мейли dt ўақыты ишинде бөлекше координатасы x болған ноқаттан координатасы $x+dx$ болған ноқатқа өтетуғын болсын. Яғный оның координатасы кеңлиги dx болған шамаларға өзгеретуғын болсын. Гармоникалык тербелислер ушын $x = a_0 \sin \frac{2\pi}{T} t$ болғанлықтан $dx = a_0 \frac{2\pi}{T} \cos \frac{2\pi}{T} t dt$. Сонлықтан бөлекше бир тәрепке қарай қозғалғанда кеңлиги dx болған интервалда болыўының итималлығы $dP = \frac{dt}{T/2} = \frac{dx}{a_0 \pi \cos \frac{2\pi}{T} t} = \frac{dx}{\pi \sqrt{a_0^2 - x^2}}$ болып шығады хәм буннан (2.4.86)-формула келип шығады.

$n = 0$ болған жағдайда квантлық осцилляторды табыудың итималлығы $|\psi_n(x)|^2$ максимумы $x = 0$ нокатында жайласқан Гаусс иймеклигинің формасындай формаға ийе болады (2.4.21-сүүреттеги тутас сызык). Ал классикалық осцилляторды табыудың итималлығының тығызлығы $x = 0$ нокатында минималлық мәніске ийе хәм бурылыу нокатларында (бундай нокатларда бөлекшелердің тезлиги нолге тең болады, 2.4.21а сүүреттеги пунктир сызык) шексизликке умтылады.

n санының жеткиликлі дәрежедеги үлкен мәніслерінде (мысалы $n = 10$ болғанда) $|\psi_n(x)|^2$ функциясы классикалық тарқалыу иймеклигине жақынласады. Бул функция бурылыу нокаты қасында максимумға жетеді хәм классикалық областтан сыртта кескин түрде төменлейді (2.4.21б сүүрет). $n \rightarrow \infty$ шегінде $|\psi_n(x)|^2$ иймеклиги итималлық тығызлығының классикалық тарқалыу функциясына өтеді.

Биз қарап өткен гармоникалық осциллятор модели хәм усы модель менен байланыслы болған бөлекшениң параболалық потенциал шуқырдағы қозғалысы хаққындағы мәселе идеалластыруу болып табылады. Бундай мәселени шешіу тербелиуши бөлекшениң тең салмақлық аўхалы этирапындағы киши тербеліслерінде ғана хақыйқатлыққа жақын нәтижелерди береді. Барлық хақыйқый ситуацияларда өзинің тең салмақлық аўхалы этирапында тербелиуши бөлекшениң $U(x)$ потенциал энергиясы (2.4.79) ға салыстырғанда әдеуір құрамалы түрге ийе болады. Сонлықтан амплитуда үлкейген жағдайда амплитуданың базы бир шамасынан баслап бөлекшениң қозғалысы гармоникалық тербеліслерден көбірек айырмаға ийе бола баслайды. Бундай қозғалысты ангармоникалық қозғалыс, ал сәйкес осцилляторды ангармоникалық осциллятор деп атайды. Бирақ киши тербеліслерде ангармонизмнің тәсири жүдә киши. Сонлықтан бундай жағдайда квантлық механикалық системалардың тербелмели қозғалысын тәрийиплеу ушын гармоникалық осциллятор моделинен пайдаланыу имканиятын береді.



2.4.21-сүүрет

Бул бапта туўры мүйешли хәм парабола тәризли потенциал шуқырлардағы бөлекшениң қозғалысларын талладық хәм шуқырдың формаларының хәр қыйлы болыуына қарамастан шуқырлардағы бөлекшениң қәсийетлерінде көп улыўмалықлардың бар екенлигин көрдик:

1. Шуқырдың ишинде қозғалыушы бөлекшениң энергия спектри дискрет спектр болып табылады, яғный энергия квантланады.

2. Тийкарғы халда турған бөлекшениң, яғный ең төменги энергия қәддинде турған бөлекшениң энергиясы нолге тең емес.

3. Бөлекшени табыудың итималлығының тығызлығы $|\psi(x)|^2$ классикалық бурылыу нокатлары арасында максимумға ийе хәм классикалық областтың сыртында экспоненциал нызам бойынша киширейеді. Бул жағдай бөлекшениң белгили бир итималлық пенен шуқырдың сыртында да жасай алатуғынлығын көрсетеді (дийўалларының бийиклиги шексиз болған, яғный өткермейтуғын дийўаллары бар потенциал шуқырда бул жағдай орын алмайды).

4. Квантлық сан n ниң мәнісін бирге өзгергенде шуқырдағы бөлекшени тәрийиплейтуғын толқын функциясының x көшери менен кесилисіу ноқатларының саны 1 ге артады..

Жоқарыда келтирилген қасиетлердің барлығының потенциал шуқырдың қасиетлерінен ғарезсиз, яғный $U(x)$ потенциал энергияның түрінен байланыссыз екенлігін атап өтеміз.

Және бир аўхалды атап өтеміз: бөлекше тек потенциал шуқырдың ишінде турған жағдайда ғана оның энергиясының спектри дискрет болады (энергия квантланады). Егер бөлекше потенциал табалдырық, барьер ямаса потенциал шуқырдың үстіннен қозғалатуғын болса ($E > U_0$ болған жағдайда) оның энергия спектри үзлексиз спектрге айналады (энергияның квантланыуы орын алмайды). Бул нәтийже квантлық механиканың улыўмалық теориясына сәйкес келеди: бул теорема бойынша энергия шексизлікке шекем кете алмайтуғын системаларда квантланады, ал шексизлікке шекем кете алатуғын системаларда энергияның квантланыуы бақланбайды.

4.10-мәселе. Гармоникалық осциллятор тийкарғы ҳалда тур. Классикалық областтың сыртында (яғный $-a_0 \leq x \leq a_0$ областының сыртында, a_0 арқалы классикалық тербеліслердің амплитудасы белгиленген) бөлекшени табыўдың итималлығын табыңыз.

Шешими: Осциллятор тийкарғы ҳалда турғанлықтан (2.4.81)- ҳәм (2.4.83)- аңлатпаларға сәйкес оның энергиясы $E_0 = \frac{1}{2}\hbar\omega_0$, ал бөлекшениң ҳалын тәрпилейтуғын толқын функциясы $\psi_0(x) = \frac{1}{\sqrt{x_0\sqrt{\pi}}} \exp\left(-\frac{x^2}{2x_0^2}\right)$ түріне ийе болады.

$\omega_0 = \sqrt{\frac{k}{m}}$ арқалы классикалық осциллятордың жийилигі белгиленген. Ал $x_0 = \sqrt{\frac{\hbar}{m\omega_0}}$ аңлатпасының жәрдеминде анықланады.

Классикалық осциллятор өзиниң тең салмақлық орнынан максимал аўысқанда оның толық энергиясының шамасы потенциал энергияның шамасына тең болады, яғный

$$\frac{ka_0^2}{2} = \frac{\hbar\omega_0}{2}.$$

Буннан классикалық тербеліслердің амплитудасының мәнісін ала аламыз

$$a_0 = \sqrt{\frac{\hbar\omega_0}{k}} = \sqrt{\frac{\hbar}{\omega_0 m}} = x_0.$$

Бөлекшени классикалық областта табыўдың итималлығын табамыз

$$P_{\text{кл}} = \int_{-a_0}^{a_0} |\psi(x)|^2 dx = \frac{1}{x_0\sqrt{\pi}} \int_{-a_0}^{a_0} e^{-\frac{x^2}{x_0^2}} dx = \frac{1}{\sqrt{\pi}} \int_{-1}^1 e^{-y^2} dy = \frac{2}{\sqrt{\pi}} \int_0^1 e^{-y^2} dy.$$

Бул аңлатпада $y = \frac{x}{x_0}$. Интеграл астында y өзгериўшисиниң жуп функциясы турғанлықтан

$$P_{\text{кл}} = \frac{2}{\sqrt{\pi}} \int_0^1 e^{-y^2} dy$$

аңлатпасына ийе боламыз.

$$I(t) = \frac{2}{\sqrt{\pi}} \int_0^t e^{-y^2} dy$$

интегралын итималлықтар интегралы деп атаймыз. Бул интеграл итималлықтар теориясында, теориялық хәм математикалық физикада кеңнен қолланылады. Хәзирги заман универсаллық программалау пакетлери бул интегралдың мәнисин аңсат есаплап бере алады. Мысалы Mathematica 8.0 тилинде $N[\frac{2}{\sqrt{\pi}} \int_0^1 e^{-y^2} dy]$ командасы менен есаплау жүргизгенде 0.8427007929497149 нәтийжесин береді. Демек

$$P_{\text{кл}} = 0,8427 \approx 0,84.$$

Демек бөлекшениң классикалық областының сыртында табыудың итималлығы

$$P = 1 - P_{\text{кл}} \approx 0,16$$

шамасына тең екен.

Солай етип тийкарғы халдағы гармоникалық осциллятордың классикалық областтан сыртта табылуының итималлығы 16 процентке тең, яғный әдеуир үлкен шаманы қурайды.

4.11-мәселе. Жийилиги ω_0 болған квантлық гармоникалық осциллятор биринши қозған халда тур. Осциллятордың кинетикалық энергиясының орташа мәниси $\langle E_k \rangle$ менен потенциал энергиясының орташа мәниси $\langle U \rangle$ шамасының мәнисин анықлаңыз.

Шешими: Осциллятор биринши қозған халда тұрғанлықтан оның энергиясы (2.4.81)-аңлатпа бойынша $E_1 = \frac{3}{2} \hbar \omega_0$ шамасына тең, ал сәйкес толқын функциясы болса (2.4.85)-аңлатпаларға сәйкес $\psi_1(x) = \frac{1}{\sqrt{2x_0\sqrt{\pi}}} \frac{2x}{x_0} \exp\left(-\frac{x^2}{2x_0^2}\right)$ түрінде жазылады.

$$x_0 = \sqrt{\frac{\hbar}{m\omega_0}}.$$

Биз қарап атырған мәселедеги потенциал хәм кинетикалық энергия операторлары былайынша жазылады:

$$\hat{U} = \frac{m_0 \omega_0^2 x^2}{2} \quad \text{хәм} \quad \hat{E}_k = \frac{\hat{p}^2}{2m} = -\frac{\hbar^2}{2m} \frac{d^2}{dx^2}.$$

(3.62)-аңлатпаға сәйкес кинетикалық энергиясының орташа мәниси $\langle E_k \rangle$ менен потенциал энергиясының орташа мәниси $\langle U \rangle$ былайынша анықланады

$$\langle U \rangle = \int_{-\infty}^{\infty} \psi_1^*(x) \hat{U} \psi_1(x) dx, \quad \langle E_k \rangle = \int_{-\infty}^{\infty} \psi_1^*(x) \hat{E}_k \psi_1(x) dx$$

Гармоникалық осциллятордың потенциал энергиясының орташа мәнісін табамыз

$$\langle U \rangle = \int_{-\infty}^{\infty} \psi_1^*(x) \frac{m_0 \omega_0^2 x^2}{2} \psi_1(x) dx = \frac{m_0 \omega_0^2}{2} \int_{-\infty}^{\infty} x^2 |\psi_1(x)|^2 dx.$$

$\psi_1(x)$ функциясының анық түрін есепке алсақ

$$\begin{aligned} \langle U \rangle &= \frac{m_0 \omega_0^2 x_0^2}{2} \int_{-\infty}^{\infty} \left(\frac{x}{x_0}\right)^4 e^{\frac{x^2}{x_0^2}} d\left(\frac{x}{x_0}\right) = \frac{m_0 \omega_0^2 x_0^2}{\sqrt{\pi}} \int_{-\infty}^{\infty} y^4 e^{-y^2} dy = \\ &= \frac{2m_0 \omega_0^2 x_0^2}{\sqrt{\pi}} \int_0^{\infty} y^4 e^{-y^2} dy = \frac{2m_0 \omega_0^2 x_0^2}{\sqrt{\pi}} I_1 \end{aligned}$$

аңлатпасына ийе боламыз. Бул аңлатпада $y = \frac{x}{x_0}$. $I_1 = \int_0^{+\infty} y^4 e^{-y^2} dy = \frac{3}{8} \sqrt{\pi}$.

Солай етип, биринши қозған ғалда турған гармоникалық осциллятордың потенциал энергиясының орташа мәнісін

$$\langle U \rangle = \frac{2m_0 \omega_0^2}{\sqrt{\pi}} \frac{\hbar}{m \omega_0} \frac{3}{8} \sqrt{\pi} = \frac{3}{4} \hbar \omega_0$$

шамасына тең екен. Енді кинетикалық энергиясының орташа мәнісін табамыз.

$$\langle E_k \rangle = \int_{-\infty}^{\infty} \psi_1^*(x) \hat{E} \psi_1(x) dx = -\frac{\hbar^2}{2m} \int_{-\infty}^{\infty} \psi_1^*(x) \frac{d^2 \psi_1(x)}{dx^2} dx.$$

$\psi_1(x)$ функциясының координата x бойынша екінши туыңдысы

$$\frac{d^2 \psi_1(x)}{dx^2} = \frac{1}{\sqrt{2x_0 \sqrt{\pi}}} \frac{2}{x_0} \left(-\frac{3x}{x_0^2} + \frac{x^3}{x_0^4} \right) e^{-\frac{x^2}{2x_0^2}}$$

түріне ийе болады. $\psi_1^*(x)$ хәм $\frac{d^2 \psi_1(x)}{dx^2}$ шамаларын $\langle E_k \rangle$ ушын алынған аңлатпаға қойсақ

$$\frac{d^2 \psi_1(x)}{dx^2} = -\frac{\hbar^2}{2m} \frac{1}{2x_0 \sqrt{\pi}} \frac{4}{x_0^2} \int_{-\infty}^{\infty} \left(-\frac{3x^2}{x_0^2} + \frac{x^4}{x_0^4} \right) e^{-\frac{x^2}{2x_0^2}} dx = \frac{2\hbar \omega_0}{\sqrt{\pi}} (3I_2 - I_1)$$

аңлатпасын аламыз. $I_2 = \int_0^{+\infty} y^2 e^{-y^2} dy = \frac{1}{4} \sqrt{\pi}$. I_1 менен I_2 шамаларын $\langle E_k \rangle$ ушын жазылған аңлатпаға қойсақ

$$\langle E_k \rangle = \frac{2\hbar \omega_0}{\sqrt{\pi}} \left(\frac{3}{4} \sqrt{\pi} - \frac{3}{8} \sqrt{\pi} \right) = \frac{3}{4} \hbar \omega_0$$

формуласын аламыз.

Солай етип гармоникалық осциллятордың биринши қозған ғалы ушын кинетикалық энергиясының орташа мәнісін $\langle E_k \rangle$ менен потенциал энергиясының орташа мәнісін $\langle U \rangle$ бир бирине хәм гармоникалық осциллятордың толық энергиясы

$E_1 = \frac{3}{2} \hbar \omega_0$ шамасының ярымына тең екенлигин көрдик. Тап усындай тастыйықлаудың гармоникалық осциллятордың басқа да қалеген халы ушын да дурыс екенлигин көрсетиуге болады. Биз 2.3-параграфта квантлық механикада бөлекшениң толық энергиясының кинетикалық хәм потенциал энергиялардың қосындысынан туратуғынлығы хәкқында гәп еткенде тек ғана энергияның орташа мәнислери нәзерде тутылатуғынлығын атап өткен едик. Хәзир алынған нәтийжелер де бундай тастыйықлаудың дурыс екенлигин және бир рет дәлиллейди.

4.12-мәселе. Массасы m болған бөлекше

$$U(x, y, z) = \frac{k}{2}(x^2 + y^2 + z^2)$$

үш өлшемли потенциал шуқырда қозғалатуғын болсын. Бул аңлатпада k арқалы турақлы шама белгиленген. Бөлекшениң энергиясының меншикли мәнислерин хәм n –қаддиниң айныу санын табыңыз.

Шешими: x, y хәм z көшерлери бойындағы қозғалыслар бир биринен ғәрезсиз болғанлықтан толқын функциясын

$$\psi(x, y, z) = \psi_1(x) \cdot \psi_2(y) \cdot \psi_3(z)$$

түриндеги көбейме түринде излеймиз. Бул аңлатпада $\psi_1(x)$ тек x тан ғәрезли, $\psi_2(y)$ тек y тен ғәрезли, ал $\psi_3(z)$ тек z координатасынан ғәрезли толқын функциялары. $\psi(x, y, z)$ толқын функциясын (2.4.6)-Шредингер теңлемесине қойып

$$\begin{aligned} \psi_2(y)\psi_3(z) \frac{d^2\psi_1(x)}{dx^2} + \psi_1(x)\psi_3(z) \frac{d^2\psi_2(y)}{dy^2} + \psi_1(x)\psi_2(y) \frac{d^2\psi_3(z)}{dz^2} + \\ + \frac{2m}{\hbar^2} [E - U(x, y, z)] \psi_1(x)\psi_2(y)\psi_3(z) = 0 \end{aligned}$$

теңлемесин аламыз. Бул теңлемени $\psi(x, y, z)$ қа бөлип хәм мәселениң шәртинде берилген $U(x, y, z)$ функциясының түрин пайдаланып

$$\begin{aligned} \left[\frac{1}{\psi_1(x)} \frac{d^2\psi_1(x)}{dx^2} - \frac{2m}{\hbar^2} \frac{kx^2}{2} \right] + \left[\frac{1}{\psi_2(y)} \frac{d^2\psi_2(y)}{dy^2} - \frac{2m}{\hbar^2} \frac{ky^2}{2} \right] + \\ + \left[\frac{1}{\psi_3(z)} \frac{d^2\psi_3(z)}{dz^2} - \frac{2m}{\hbar^2} \frac{kz^2}{2} \right] = -\frac{2m}{\hbar^2} E \end{aligned}$$

аңлатпасына келемиз. Бул теңликтің шеп тәрөпиндеги квадрат қаўсырманьң ишиндеги биринши аңлатпа тек x координатасының функциясы, квадрат қаўсырма ишиндеги екинши аңлатпа тек y координатасының функциясы, ал үшіншиси тек z координатасының функциясы болып табылады. Олардың қосындысы турақлы шамаға тең болғанлықтан олардың хәр бири де турақлы шамаға тең болыуы керек

$$\begin{aligned} \frac{1}{\psi_1(x)} \frac{d^2\psi_1(x)}{dx^2} - \frac{2m}{\hbar^2} \frac{kx^2}{2} &= -\frac{2m}{\hbar^2} E_1, \\ \frac{1}{\psi_2(y)} \frac{d^2\psi_2(y)}{dy^2} - \frac{2m}{\hbar^2} \frac{ky^2}{2} &= -\frac{2m}{\hbar^2} E_2, \\ \frac{1}{\psi_3(z)} \frac{d^2\psi_3(z)}{dz^2} - \frac{2m}{\hbar^2} \frac{kz^2}{2} &= -\frac{2m}{\hbar^2} E_3. \end{aligned}$$

Бул аңлатпалардағы E_1 , E_2 хәм E_3 константалары энергияның бирлигине ийе хәм $E_1 + E_2 + E_3 = E$ шәртин қанаатландырады. Солай етип бир өлшемли гармоникалық осциллятор ушын жазылған үш теңлемени алдық. Олардың шешимлери бизге (2.4.81)- хәм (2.4.83)-аңлатпалардан белгили.

Үш өлшемли гармоникалық осциллятордың толқын функциясы бир өлшемли гармоникалық осциллятор ушын үш толқын функцияларының көбеймесинен турады хәм n_1 , n_2 хәм n_3 квантлық санларнан ғәрезли екен.

$$\psi_{n_1, n_2, n_3} = \psi_{n_1}(x) \cdot \psi_{n_2}(y) \cdot \psi_{n_3}(z), \quad n_1, n_2, n_3 = 0, 1, 2, 3, \dots$$

Үш өлшемли гармоникалық осциллятордың энергиясы ушын төмендегидей аңлатпаны аламыз

$$E_n = \hbar \omega_0 \left(n + \frac{3}{2} \right).$$

бул аңлатпада $n = n_1 + n_2 + n_3$, $n = 0, 1, 2, 3, \dots$

Үш өлшемли гармоникалық осциллятордың n – қәдди ушын айныў санын табамыз. n ниң берилген мәниси ушын айныў саны қосындысы n ге тең болған n_1, n_2, n_3 санларын қойып шығыўлардың мүмкин болған санына тең. Дәслеп берилген n_1 саны ушын қойып шығыў санын табамыз. Оның мәниси n_2 квантлық санның мүмкин болған мәнислерине тең (n_3 саны ушын да тап сондай мәнис алынады). Берилген n_1 диң мәнисинде n_2 саны 0 ден $(n - n_1)$ ге шекем өзгереді, яғный $n - n_1 + 1$ дана мәниске ийе болады. Демек берилген n_1 ушын мүмкин болған қайта қойып шығыўлар саны $n - n_1 + 1$ ге тең болады. Бул аңлатпаны n_1 бойынша суммалап n –қәддиниң айныў саны K_n ди аламыз

$$K_n = \sum_{n_1=0}^n (n - n_1 + 1) = \frac{(n+1)(n+2)}{2}.$$

Үш өлшемли гармоникалық осциллятордың тийкарғы ҳалы ($n = 0$) айнымаған болып шығады, яғный $K_1 = 1$. Биринши қозған ҳал ($n = 1$) ушын айныў саны $K_1 = 3$. Бул ҳалға квантлық санларның (100), (010), (001) мәнислери сәйкес келеди.

2-5-1. Атомлардың квантлық қәсийетлери

Атомлардың нурланыўы. Атомлар ҳаққындағы оғада әҳмийетли болған информацияларды физиклер олардың электромагнит нурланыўын изертлеўлердиң барысында алады. Тәжирийбелер атомлардың оптикалық спектрлериниң сызықлы спектрлер екенлигин көрсетеди. Бул атомлардың нурланыў спектриниң айырым спектраллық сызықлардан туратуғынлығын аңғартады. Хәр бир атом өзине тән болған сызықлы оптикалық спектрге ийе болады.

Атомлардың ишиндеги ең эпийайысы болған водородтың нурланыўы ушын 1885-жылы Бальмердиң улыўмаласқан формуласы деп аталатуғын эмперикалық формула келтирилип шығарылды. Водород атомының барлық спектраллық сызықлары ушын толқын узынлықларының мәниси үлкен дәллик пенен төмендеги формуланың жәрдеминде анықланады екен

$$\frac{1}{\lambda_{nk}} = \tilde{R} \left(\frac{1}{n^2} - \frac{1}{k^2} \right), \quad k > n. \quad (2.5.1)$$

Сәйкес жийиліклер

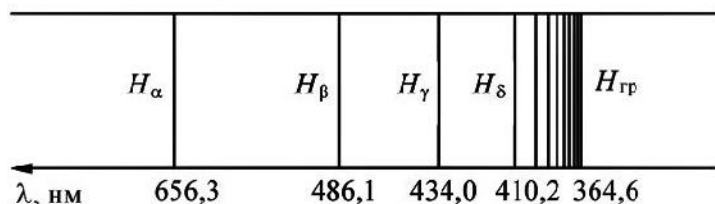
$$\omega_{nk} = R \left(\frac{1}{n^2} - \frac{1}{k^2} \right), \quad k > n \quad (2.5.1a)$$

формуласының жәрдеминде есапланады. Бул формулаларда $R = 2,067 \cdot 10^{16} \text{ сек}^{-1}$ арқалы Ридберг турақлысы белгиленген. $\tilde{R} = \frac{R}{2\pi c} = 109678 \text{ см}^{-1}$, n менен k лар турақлы шамалар

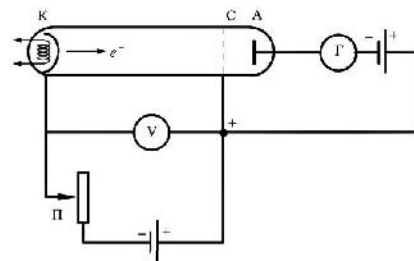
Водород атомларының нурланыуының төмендегидей спектраллық сериялары белгили (бул сериялардың атамалары оларды биринши ашқан физиклердің атлары менен аталған):

- $n = 1$ – Лайман сериясы (ультрафиолет нурланыу),
- $n = 2$ – Бальмер сериясы (көзге көринетуғын жақтылық),
- $n = 3$ – Пашен сериясы (инфрақызыл нурланыу),
- $n = 4$ – Брэкетт сериясы (инфрақызыл нурланыу),
- $n = 5$ – Пфунд сериясы (инфрақызыл нурланыу) хәм басқалар.

Водород атомының спектринің көзге көринетуғын бөлиминдеги Бальмер сериясы сызықтарының схемасы 2.5.1-сүўретте берилген. Сүўретте H_α , H_β , H_γ хәм H_δ арқалы нурланыу спектринің характерли сызықлары көрсетилген. Ал $H_{\text{шег.}}$ сызығы болса (2.5.1)-формуладағы $n = 2$ хәм $k = \infty$ шамаларына сәйкес келиўши серияның қысқа толқынлы шегарасына сәйкес келеди.



2.5.1-сүўрет.



2.5.2-сүўрет.

(2.5.1a) формуласында водород атомының нурланыуы спектринің қәлеген сызығының жийилигин бир типтеги еки аңлатпаның айырмасы сыпатында көрсетиўдің мүмкин екенлигин атап өтемиз. Бул бир типтеги аңлатпалар пүтин санларға ғәрезли хәм оларды спектраллық термлер деп атайды. Хәқыйқатында да (2.5.1a) аңлатпасын былайынша жаза аламыз

$$\omega_{nk} = T(n) - T(k). \quad (2.5.2)$$

Бул аңлатпа ушын терм

$$T(n) = \frac{R}{n^2}$$

формуласының жәрдеминде анықланады.

Басқа құрамалырақ атомлардың нурланыуының оптикалық спектрин изертлеулер (2.5.2)-формуланы олардың нурланыуының жиіліктерін есептеу үшін пайдаланыуға болатуғынлығын көрсетеді. Бірақ ондай атомлар үшін термлер водород атомларының термлеріне салыстырғанда әдейі құрамалы.

(2.5.1) менен (2.5.2) қатнастары атомларға тән болған кванттық тәбиғатты сәулелендіреді. Ғақыйқатында да Планктің формуласы бойынша атомның нурланыуы жиілігін оның энергиясы менен байланыстырамыз. Спектрдің сызықтылығынан болса биз атомның энергиясының дискретлігі, яғни атомның энергиясының квантланғанлығы ғаққындағы жуымаққа келеміз.

Франк хәм Герц тәжірийбеси. Атомлардың энергиясының дискретлігі менен байланысly болған атомлардың кванттық қасиетін тастыйықлаушы ең әпийайы тәжірийбелердің бирін 1913-жылы Дж.Франк хәм Г.Герц тәрәпинен орынланды. Бул тәжірийбенің схемасы 5.2-сүўретте келтирилген. Эксперименталлық дүзилістің тийкарғы элементі хызметін газ бенен толтырылған үш электродлы электрон лампа атқарады. Газ сыпатында басымы шама менен 1 мм сынап бағанасы басымындағы сынаптың пуўларын пайдаланыу мүмкін. Франк хәм Герц тәжірийбесінде С торға катод К ға салыстырғанда шамасы оң болған V потенциалы бериледи. Сонлықтан С торы тезлетіуші потенциалдың орнын ийелейді.

Термоэлектронлық эмиссияның есабынан катодтан ушып шығатуғын электронлар V тезлетіуші потенциаллар айырмасында тезленеди, бул тезленіудің шамасын П патенциометри менен өзгертиледі хәм V вольтметри менен өлшенеди.

Тор хәм А анод арасына шама менен 1 в кернеу түсириледі. Бул кернеу тормозлаушы майданды пайда етиу үшін керек. Тор арқалы ушып өткен хәм тормозлаушы майдан арқалы өте алатуғын электронлардың бир бөлими коллекторға келип түседі хәм Г гальванометри менен өлшенетуғын базы бир тоқты пайда етеді.

Катодтан торға қозғалыу барысында электронлар тийкарғы энергетикалық халда турған сынап атомлары менен соқлығысады. Егер атомның энергиясы тек белгили бир дискрет мәнислерге ийе бола алатуғын, усының менен бир қатарда атомның тийкарғы хәм биринши қозған халы арасындағы энергияның мәниси бойынша қашықтық ΔE шамасына тең болса, онда электронлардың атомлар менен соқлығысуларының характери электронның кинетикалық энергиясының мәниси $W_k = eV$ менен тиккелей байланысly болады. Бул жерде V арқалы катод менен тор арасындағы тезлетіуші потенциаллар айырмасы белгиленген.

Егер $W_k < eV$, яғни $V < V_1 = \Delta E/e$ болса, онда электрон атом менен соқлығысқанда атомға өзинің энергиясының көп бөлегін бере алмайды. Бундай жағдайда электронның атом менен соқлығысуы серпимли соқлығысу болып табылады. Бундай соқлығысуыды электронның кинетикалық энергиясы атомның ишки энергиясына айлана алмайды хәм нәтийжеде электрон катод пенен тор арасындағы газ арқалы энергиясын жоғалтпай қозғалады. Бундай электронлар үш электродлы лампаның торы арқалы өтип анод-коллектор арасындағы әззи тормозлаушы майдан арқалы өте алады хәм коллектор шынжырындағы тоқты пайда етиуге қатнасады. Әдеттеги вакуумлы лампадағыдай V артқанда коллектор шынжырындағы тоқтың мәниси монотонлы түрде артады.

Бирақ тезлетіуші майданда қозғалыудың барысында электрон атомды қоздыруу үшін жететуғындай кинетикалық энергияға ийе бола алатуғын болса, онда бундай электронның атом менен соқлығысуы серпимли емес соқлығысуға айланады. Енди электронның кинетикалық энергиясының көпшилик бөлеги атомның ишки энергиясына айланады, яғни атомды қоздыруу үшін жумсалады.

Электронлардың атомлар менен серпимли емес соқлығысулары электронлар торға жақынлағанда жүзеге келеді. Соқлығысқаннан кейин энергиясын жоғалтқан

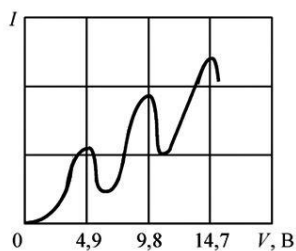
электронлар тормозлаушы майдан арқалы өте алмайды. Нәтиьеде ол анод-коллекторға жетип келе алмайды. Нәтиьеде тордағы тезлетіуші кернеудің мәнісі V_1 ге тең болғанда коллектор шынжырындағы I тоқтың күші кескин түрде киширейіуі керек..

Тезлетіуші потенциалдың шамасы буннан былай артқанда гальванометр жәрдеминде өлшенетуғын тоқтың шамасы және де артады. Бирақ кернеудің мәнісі $V_2 = 2V_1$ болғанда коллектор шынжырындағы тоқтың шамасы және кескин түрде кемейеди. Себеби бундай жағдайда газ орталық арқалы өткенде электрон атомлар менен еки рет серпимли емес соқлығысыуға ушырай алады. Тап сол сыяқлы $V_3 = 3V_1$ үш, төрт хәм басқа да серпимли емес соқлығысыу режиминің де орын алыуы мүмкин.

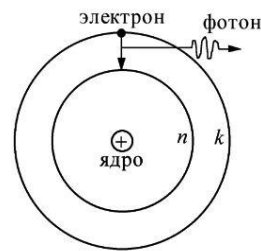
Солай етип атомның энергиясы квантланатуғын болса, онда тезлетіуші потенциал V шамасының пүтин сан еселенген V_1 мәніслеринде коллектор шынжырындағы I тоғының иймеклигинде анық көринетуғын кемейіулердің орын алыуы керек. Бундай жағдайда бундай кемейіулердің тезлетіуші кернеу шкаласындағы басланған участкалары арасындағы қашықлық ΔV шамасы атомның қозыу энергиясы ΔE менен $\Delta E = e\Delta V$ аңлатпасы арқалы байланысқан.

Франк хәм Герцтің тәжирийбелеринде алынған $I = I(V)$ ғәрезлиги бул жуумақты жүдә жақсы тастыйықлады (2.5.3-сүүрет). Бундай ғәрезлик атомлардың энергиялық халларының дискретлигинің айқын эксперименталлық дәлили болып табылады. Мысалы 5.3-графикте сынап атомның биринши қозған халы оның тийкарғы халынан 4,9 эВ қашықлықта турғанлығы көринип тур.

Лампаны басқа да газлер менен толтырғанда да (мысалы гелий ямаса неон менен толтырғанда) жоқарыда сынап атомлары ушын келтирилген нызамлықлардай нызамлықлар бақланады. Егер тәжирийбелер жүдә пукталық пенен өткерилсе, онда $I = I(V)$ ғәрезлигинде атомның басқа да қозған халларына, хәтте атомлардың ионларға айланыуына сәйкес келиуі де тоқтың кемейіулерин бақлауға болады.



2.5.3-сүүрет.



2.5.4-сүүрет.

Франк хәм Герц тәжирийбесинің екинши әхмийетли нәтиьеси лампаның $\lambda = 253$ нм узынлықтағы ультрафиолет жақтылықты шығарыуында. Бундай нур шығарыу катод пенен тор арасындағы кернеудің мәнісі 4.9 В шамасына жеткен моментте басланады. Егер лампаның колбасын кварцтан ямаса ультрафиолет нурларды өткеретуғын шийшеден таярлаған жағдайларда бундай нурланыуды айқын түрде сезиуге болады.

Бундай нурланыудың пайда болыуын аңсат түсиндириуге болады. Электронлар менен соқлығысыудың нәтиьесинде қозған сынап атомлары тийкарғы халға нурланыу менен қайтады. (1.41)-аңлатпаға сәйкес бундай нурланыу ушын толқын узынлығының мәнісин есаплай аламыз. Хәқыйқатында да $\varepsilon = \Delta E = 4,9 \text{ эВ} = 7,84 \cdot 10^{-19} \text{ Дж}$. Демек $\lambda = \frac{hc}{\varepsilon} = \frac{6,62 \cdot 10^{-34} \cdot 3 \cdot 10^8}{7,84 \cdot 10^{-19}} \text{ м} = 2,53 \cdot 10^{-7} \text{ м} = 253 \text{ нм}$.

2-5-2. Водород атомының Бор теориясы

Бор постулаттары. 1911-жылы атомлардағы α -бөлекшелеринің шашырауын изертлеу бойынша өткерілген тәжірийбелерінде алынған нәтижелер тийкарында Дж.Резерфорд атомның планетарлық моделин ұсынды. Бул модель бойынша атом оң зарядланған, аўыр ҳәм жүдә киши болған өлшемлерге ийе ($\sim 10^{-14}$ м) ядроның дөгерегинде базы бир орбиталар бойынша электронлар қозғалып жүреди. Бул орбиталардың радиусы шама менен 10^{-9} м ге тең. "Планетарлық" сөзи атомның Қуяш системасына ұқсаслығынан алынған. Қуяш системасында планеталар базы бир орбиталар бойлап үлкен массаға ийе орайлық дене болған Қуяштың дөгерегинде айланады. Тап сол сыяқлы атомларда электронлар үлкен массаға ийе оң зарядланған ядроның дөгерегинде белгили орбиталар бойынша айланады.

Бирақ классикалық физиканың көз-қараслары менен қарағанда атомның модели ишки қарама-қарсылықларға ийе болып шығады. Бул жағдай биринши гезекте электронда зарядтың бар екенлиги менен байланыслы.

Классикалық электродинамиканың ыызамлары бойынша ядроның дөгерегинде айланыўшы электрон қәлеген басқа тезлениў менен қозғалыўшы зарядланған бөлекше сыяқлы электромагнит толқынларын нурландырыўы керек. Бундай нурланыўдың спектри үзликсиз болады, яғный нурланыў қәлеген толқын узынлығындағы электромагнит толқынлардан турыўы керек. Бул тәжірийбеде бақланатуғын атомлардың спектриниң сызықлы екенлигине қайшы келеди.

Жоқарыда айтылғанлар менен бир қатарда үзликсиз нурланыў электронның энергиясын кемейтеди. Сонлықтан нурланыўдың есабынан қозғалыўшы электронның орбитасының радиусының киширейиўи керек. Нәтийжеде ақыр-аяғында электронның ядроға қулап түсиўи талап етиледі. Басқа сөз бенен айтқанда классикалық физикада атомның планетарлық модели орнықлы емес.

1913-жылы Н.Бор атомның планетарлық моделин қорғап қалыў ушын квантланыў идеясын қолланыўдың кереклигин, биринши гезекте электронлардың қозғалыўы ушын руқсат етилген базы бир орбиталарды айырып алыўдың зәрурлигин көрсетти. Әлбетте, квантланыў қағыйдаларында Планктың квантлық турақлысының қатнасыўы керек. Тәсир кванты \hbar импульс моментиниң бирлигине ийе болғанлықтан Бор теорияға ядроның этирапында қозғалыўшы электронның импульс моментиниң квантланыўын қосты.

Водород атомы ең әпиўайы атом болып табылады. Бундай атомда бир электрон ядроның Кулон майданында туйық орбита бойынша қозғалады. Биринши жақынласыўда ядроны тынышлықта турады, ал электронлардың орбитасын шеңбер тәризли орбиталар деп есаплаўға болады.

Усындай болжаўлар тийкарында Н.Бор водород атомының теориясын үш постулат түринде дөретти.

1. Атомдағы электрон тек базы бир стационар орбиталар бойынша қозғалады. Сол орбиталардың ҳәр бири ушын $n = 1, 2, 3, \dots$ түриндеги қатар санын жазыў мүмкин. Бундай қозғалыс атомның стационар ҳалына сәйкес келеди. Ҳәр бир стационар ҳалға өзгермейтуғын E_n толық энергиясы сәйкес келеди. Бул айтылғанлар стационар туйық орбита бойынша қозғалатуғын электронлардың энергияны нурландырмайтуғынлығын билдиреди.

2. Руқсат етилген стационар орбиталардағы электронның импульс моментиниң мәниси L пүтин сан еселенген Планк турақлысы \hbar қа тең болыўы керек. Сонлықтан - стационар орбита ушын

$$L = n\hbar, \quad n = 1, 2, 3, \dots \quad (2.5.3)$$

квантланыу шәртиниң орынланыуы керек.

3. Нурланыу квантының нурланыуы (шығарылыуы) ямаса жутылыуы атом бир стационар ҳалдан екинши стационар ҳалға өткенде жүзеге келеди (2.5.4-сүўрет). Атомның нурланыуының жийилиги ω атомның еки стационар ҳалына сәйкес келетуғын энергиялардың айырмасының жәрдемінде анықланады. Сонлықтан

$$\hbar\omega_{nk} = E_k - E_n, \quad k > n. \quad (2.5.4)$$

Атомның энергиясының квантланыуы. Электронның массасын m арқалы белгилеймиз. Биз дәслеп усындай массаға ийе электронның ядро дөгеррегінде Кулон күшиниң тәсиринде радиусы r болған шеңбер тәризли орбита бойынша айланыу шәрти менен Бордың электрон ушын импульс моментиниң квантланыу формуласын жазамыз

$$\begin{cases} \frac{mv^2}{r} = \frac{1}{4\pi\epsilon_0} \cdot \frac{e^2}{r^2}, \\ mvr = n\hbar. \end{cases} \quad (2.5.5)$$

Бул теңлемелер системасын шешип водород атомындағы стационар орбиталардың радиуслары ушын төмендегидей аңлатпаны аламыз

$$r_n = \frac{4\pi\epsilon_0\hbar^2 n^2}{me^2}, \quad n = 1, 2, 3, \dots \quad (2.5.6)$$

Теорияның универсаллық константасы сыпатында Бор радиусын ала аламыз

$$a = \frac{4\pi\epsilon_0\hbar^2}{me^2} = 0,529 \cdot 10^{-10} \text{ м}. \quad (2.5.7)$$

Бул радиус водород атомындағы биринши стационар орбитаның радиусы болып табылады. Усы тийкарда (2.5.6)-формуланы

$$r_n = an^2, \quad n = 1, 2, 3, \dots \quad (2.5.8)$$

түрінде жазамыз.

(2.5.7)- хәм (2.5.8)-формулалар тийкарында алынған водород атомының өлшемлери ($\sim 10^{-10}$ м) газлердин кинетикалық теориясында алынған нәтийжелерге сәйкес келетуғынлығын атап өтемиз.

n – стационар орбитадағы электронның тезлиги ушын (2.5.5)-аңлатпадан

$$v_n = \frac{e^2}{4\pi\epsilon_0\hbar n} \quad (2.5.9)$$

формуласын аламыз. Буннан биринши стационар орбитада қозғалыушы электронның тезлигиниң $2,2 \cdot 10^6$ м/сек екенлигине ийе боламыз. Демек бул

электрон $T_1 = 1,5 \cdot 10^{-16}$ сек ишінде ядроның дөгерігін бір рет айланып шығады екен.

n – стационар орбитада қозғалыушы электронның толық энергиясы оның кинетикалық хәм потенциал энергияларының қосындысынан турады. Электронның кинетикалық энергиясы

$$E_K = \frac{mv^2}{2} = \frac{me^4}{32\pi^2\epsilon_0^2\hbar^2n^2}. \quad (2.5.10)$$

Электронның ядро менен кулон тәсир етисіуіне сәйкес келіуіші потенциал энергиясы

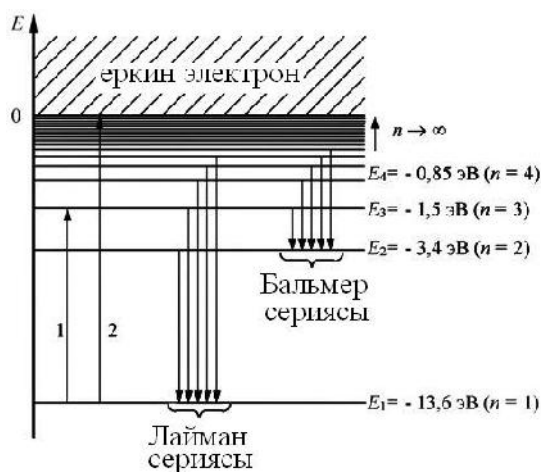
$$U = -\frac{e^2}{4\pi\epsilon_0r_n} = -\frac{me^2}{16\pi^2\epsilon_0^2\hbar^2n^2}. \quad (2.5.11)$$

(2.5.10)- хәм (2.5.11)-формуларды есапқа алған халда Бор теориясының оғада әхмийетли болған формуласын – водород атомындағы электронның энергиясының квантланыу формуласын аламыз

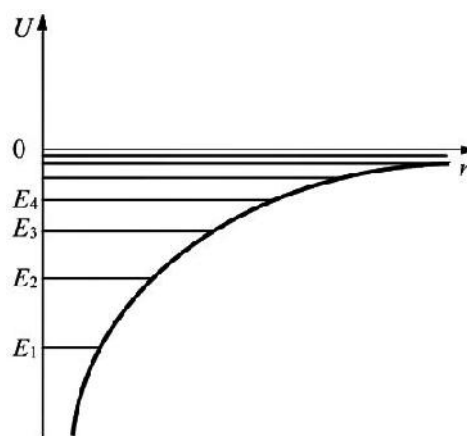
$$E = E_K + U = -\frac{me^4}{32\pi^2\epsilon_0^2\hbar^2} \cdot \frac{1}{n^2} = -\frac{13,6}{n^2} \text{ эВ}. \quad (2.5.12)$$

Атомдағы электронның толық энергиясы терис мәниске ийе болып шықты. Себеби анықламасы бойынша электронның ядро менен тәсирлесіуінің электростатикалық энергиясының мәниси нолден киши. Орбитаның қатар санының (номеринің) үлкейіуі менен атомдағы электронның толық энергиясының мәниси өседі. Соның менен бирге орбитаның қатар саны бул теорияда квантлық сан болып табылады.

5.5-сүүретте (2.5.12)-формулаға сәйкес водород атомындағы электронның энергиясының спектри келтирилген. Оң мәнисли энергиялар областында еркин электронның энергия спектри тутас спектр болып табылады. Толық энергияның мәниси терис болған жағдайларда атом менен байланысқан электронның энергия спектри дискрет характерге ийе. Көрсетпелилик ретінде 5.5-сүүретте энергияның мүмкин болған хәр бир мәнисине энергия қәдди сәйкес келетуғынлығын сәўлелендирилген. Стационар халда электрон сол дискрет энергия қәддилеринің бирінде тура алады. Электронның бир қәддиден екінши қәддиге өтиуі бул сүүретте стрелканың жәрдемінде көрсетилген. Бул стрелканың басы менен ушы электронның өтиуі жүзеге келетуғын энергияның қәддилерине сәйкес келеді.



2.5.5-сүрөт.



2.5.6-сүрөт

Атом эдетте энергиясының мәніси ең киши E_1 болған тийкарғы ҳалда турады. Атомның бундай ҳалында электрон биринши стационар орбитада қозғалады. Бул орбитаның радиусы болса ең минималлық радиус болып табылады ҳәм оны биз жоқарыда a арқалы белгиледик.

Егер атомға қосымша энергия берилетуғын болса, онда ол биринши қозған ҳалға өте алады (2.5.4-сүрөттеги 1 өтиўи). Бундай жағдайда электрон үлкенирек радиусқа ийе болған орбитаға өтеди. Атомды қоздырыўдың ҳәр қыйлы усыллары бар (газ атомының хаотик жыллылық тербелислериндеги соқлығысыўлары, газ арқалы жоқары энергияға ийе бөлекшелерди жиберий (электронларды, альфа-бөлекшелерин ҳәм тағы басқалар), атомларды ультрафиолет нурлар менен нурландырыў.

Егер электронға берилген энергияның муғдары жеткиликли дәрежеде үлкен болса, онда электронды атомнан айырып алыўға да болады. Бундай процессти атомның ионизациясы деп атайды. 5.4-сүрөтте водород атомының ионизациясы ушын зәрүрли болған энергияның ең киши мәніси (2 өтиўи)

$$E_i = |E_1| = 13,6 \text{ эВ} \quad (2.5.13)$$

шамасына тең. Бул шама водород атомының ионизациясы бойынша өткерилген тәжирийбелердің нәтийжелерине толық сәйкес келеди.

Қозған ҳалда атом көп ўақыт жасай алмайды (тура алмайды). Қәлеген система сыяқлы атом да ең киши энергияға ийе ҳалды ийелеўге умтылады. Сонлықтан 10^{-8} сек ўақыттан кейин қозған атом өзи-өзинен (спонтан түрде) киши энергияға ийе ҳалға өтеди. Бул өтиў нурланыў менен бирге жүреді. Атом тийкарғы ҳалға өткенше бундай процесс даўам етеди.

Энергия қәдилериниң структурасы анықланған болса, онда водород атомының нурланыў спекриниң структурасын да есаплаўға болады. Ҳақыйқатында да электрон ядродан үлкенирек қашықлыққа ийе k – орбитадан n – орбитаға өтетуғын болса ($k > n$), онда Бордың үшінши постулатын пайдаланып нурландырылған электромагнит толқынының жийилигин аңсат есаплаў мүмкин. (2.5.4)- ҳәм энергияның квантланыў формуласы (2.5.12) ни пайдаланып водород атомындағы $k \rightarrow n$ өтиўиндеги нурланыўдың жийилигин

$$\omega_{nk} = R \left(\frac{1}{n^2} - \frac{1}{k^2} \right) \quad (2.5.14)$$

формуласының жәрдемінде есаплай аламыз. Бул формуладағы

$$R = \frac{me^4}{32\pi^2 \varepsilon_0^2 \hbar^3} = 2,07 \cdot 10^{16} \text{ 1/сек} \quad (2.5.15)$$

шамасы оптикалық эксперименттерде алынған Ридберг турақлысының мәнісін дәл сәйкес келеді.

Водородтың нурланыуының жийиликтері үшін алынған формула Бальмердің улыұмаласқан формуласы менен бірдей (2.5.1а формуласы). Сонлықтан тийкарында (2.5.3) квантланыу постулаты жатырған водород атомының Бор теориясының 1922-жылы физика бойынша халық аралық Нобель сыйлығын алыуға миясар болғаны таң қаларлық емес.

Жоқарыда баянланған теорияны эллипс тәрізлі орбиталар 1915-жылы дөретілген Бор-Зоммерфельд теориясы үшін улыұмаластырыуға хәм қәлеген "водород тәрізлі" атомлардың қәсийетлерін сыпатлау үшін қолланыуға болады. Водород тәрізлі атомлар деп заряды $+Ze$ болған ядроның этирапында тек бир электрон қозғалатуғын атомлық системаларға айтады. Бундай атомлар қатарына бир рет ионластырылған гелий He^+ ($Z = 2$), еки рет ионластырылған литий Li^{++} ($Z = 3$), үш рет ионластырылған бериллий Be^{+++} ($Z = 4$) хәм тағы басқалар киреди. Әпиұайы есаплаулар водород тәрізлі атомлардың энергия спектри (2.5.12)-аңлатпасын Z^2 қа көбейтиу менен алынатуғынлығын көрсетеди. Ал бундай атомлардағы электронның орбиталарының радиусы водород атомындағы электронның сәйкес орбиталарының радиусларынан Z есе киши болып шығады.

Н.Бор өз теориясында биринши рет күш майданында қозғалыушы бөлекшениң энергиясының квантланыуын жүзеге келтирди. Бирақ бул теория атомлық кубылыстардың ақырына жеткерилген теориясы бола алмайды. Бор атомды классикалық физиканың нызамлары менен тәрийиплеп стационар орбита бойынша қозғалатуғын электронның электромагнит нурларын нурландырыуын "қадаған етти". Электронның импульс моментиниң квантланыуы болған (2.5.3) шәрти физикалық тийкарға ийе емес, ал водород атомы үшін ойлап табылды (кейинирек бул ойлап табыудың толық дурыс емес екенлиги көрсетиледи). Бордың бул теорияны құрамалы атомлар үшін улыұмаластырыу хәм усындай құрамалы атомлар үшін квантланыу постулатларын табыуға болған тырысыулары сәтсизлик пенен питти.

Хәзирги заман физикасының көз-қараслары бойынша атом электронның толқынлық қәсийетлерін есапқа алмайтуғын классикалық физика нызамларының жәрдемінде тәрийиплениуі мүмкин емес физикалық система болып табылады.

Бул баптың буннан кейинги параграфларында хәзирги заман квантлық механиканың атомлық системаларды қалай тәрийиплейтуғыны көрсетиледи.

5.1-мәселе. Бор теориясында электронның импульс моментиниң квантланыуы шәртин электронда толқынлық қәсийетлердің бар екенлиги хаққындағы де Бройль гипотезасын есапқа алып келтирип шығарыуға болатуғынлығын көрсетиңиз.

Шешими: Радиусы r болған шеңбер тәрізлі орбитада қозғалыушы электрон үшін импульс моменти L импульс p менен $L = pr$ формуласы бойынша байланысқан. Сонлықтан (2.5.3) квантланыу шәртин

$$2\pi r = n \frac{2\pi \hbar}{p}$$

түріне алып келиуі мүмкін. Де Бройль гипотезасы бойынша электронның қозғалысын толқынлық процесс пенен байланыстыруы мүмкін. Оның толқын ұзындығы

$$\lambda_{db} = \frac{h}{p} = \frac{2\pi\hbar}{p}.$$

Сонлықтан Бордың квантланыу шәртин былайынша жазыуға болады

$$2\pi r = n\lambda_{db}, \quad n = 1, 2, 3, \dots$$

Бул аңлатпада әҳмийетли жағдайды көреміз: ұзындығына пүтин сан еселенген де Бройль толқыны ұзындығы жайласатуғын орбиталар стационар орбиталар болып табылады.

5.2-мәселе. Водород атомының нурланыуының жийилигиниң ядроның массасының шекли екенлигине байланысly қалай өзгеретуғынлығын анықлаңыз.

Шешими: Мәселе тап усындай етип қойылғанда электрон ядроның дөгерегинде емес, ал электрон менен ядро қозғалмайтуғын массалар орайы дөгерегинде айланады. Егер r_e хәм r_{yadro} арқалы электрон менен ядроның шеңбер тәризли орбиталарының радиусларын белгилесек, онда масса орайының анықламасы бойынша $mr_e = Mr_{yadro}$ формуласына ийе боламыз. Бул аңлатпада m хәм M арқалы сәйкес электрон менен ядроның массалары белгиленген.

Электрон менен ядроның тезлениулериниң теңлиги шәртинен олардың айланбалы қозғалысының мүйешлик тезликлериниң бир бири менен тең екенлиги келип шығады

$$\frac{v_e}{r_e} = \frac{v_{yadro}}{r_{yadro}} = \omega.$$

Бул аңлатпада v_e хәм v_{yadro} арқалы сәйкес электронның хәм ядроның тезликлери белгиленген

Ядроның қозғалысын есапқа алсақ, атомның импульсиниң моменти ушын

$$L = mv_e r_e + Mv_{yadro} r_{yadro} = m\omega r_e^2 + M\omega r_{yadro}^2$$

аңлатпасын аламыз. Теорияның тийкарғы теңлемелери сыпатында электронның шеңбер тәризли орбита бойынша қозғалыу хәм Бордың атомның импульсиниң моментиниң квантланыуы шәртин аламыз

$$\begin{cases} m\omega r_e^2 = \frac{e^2}{4\pi\epsilon_0(r_e + r_{yadro})^2}, \\ m\omega r_e^2 + M\omega r_{yadro}^2 = n\hbar, \quad n = 1, 2, 3, \dots \end{cases}$$

Егер ядро менен электрон арасындағы қашықтықты $r = r_e + r_{yadro} = r_e \left(1 + \frac{m}{M}\right)$ арқалы белгилесек, онда $\mu = \frac{mM}{m+M}$ белгилеуін қабыл еткеннен хәм базы бир түрлендириулерден кейин бул қатнас былайынша жазылады

$$\begin{cases} \mu\omega^2 r = \frac{e^2}{4\pi\epsilon_0 r^2}, \\ \mu\omega r^2 = n\hbar, \quad n = 1, 2, 3, \dots \end{cases}$$

Бул аңлатпада μ арқалы "электрон-ядро" системасының келтирилген массасы белгиленген.

Биз келтирип шығарған теңдемелер системасын шешіп атомның стационар халлары үшін төмендегідей формулаларды аламыз:

$$r_n = \frac{4\pi\epsilon_0 \hbar^2 n^2}{\mu e^2},$$

$$\omega_n = \frac{\mu e^4}{16\pi^2 \epsilon_0^2 \hbar^3 n^3},$$

Атомның толық энергиясы

$$E = \frac{mv_e^2}{2} + \frac{Mv_{yadro}^2}{2} - \frac{e^2}{4\pi\epsilon_0(r_e + r_{yadro})} = \frac{\mu\omega^2 r}{2} - \frac{e^2}{4\pi\epsilon_0 r}$$

формуласының жәрдеминде есапланады. Бул аңлатпаға r_n менен ω_n шамаларының мәніслерін қойсақ биз ізлеп атырған водород атомының энергиясының квантлануы формуласын аламыз

$$E_n = -\frac{\mu e^4}{32\pi^2 \epsilon_0^2 \hbar^2} \cdot \frac{1}{n^2}.$$

Бул формуладан водород атомының спектраллық сызықтарының жийиликлерін табамыз:

$$\omega_{nk} = \frac{E_k - E_n}{\hbar} = R_m \left(\frac{1}{n^2} - \frac{1}{k^2} \right).$$

Бул аңлатпада R_m арқалы Ридбергтің модификацияланған тұрақтысы белгиленген.

$$R_m = \frac{\mu e^4}{32\pi^2 \epsilon_0^2 \hbar^3} = \frac{R}{1 + \frac{m}{M}}.$$

Есаплаулар ядроның қозғалысын есапқа алғандағы жийилик (ямаса толқын ұзындығы) үшін киргизілген дүзетіу проценттен әдеуір кем екенлигин көрсетеді. Бірақ спектроскопиялық ұсылардың оғада жоқары дәллігінен водородтың изотоптарының (бір элементтің массасы хәр қыйлы болған атомлары) спектріндегі айырманы экспериментте табыуға мүмкіншілік береді. Тап ұсындай жоллар менен аұыр водородтың изотопы дейтерий D ашылған еді. Дейтерий үшін $M_D = 2M_H$. Бул жерде M_H арқалы биз водород атомының массасын белгиледік.

2-5-3. Водород тәрізлі атомдардың квантлық механикадағы тәрийиплениуі

5.1-мәселені шешкенде біз атомда қозғалыушы электрондардың де Бройль толқын ұзындығы атомның өзінiң өлшемлері менен салыстырарлықтай екенлігін көрдiк. Бундай жағдайларда электронлық толқынлық қасиетлерінің бар екенлігін есепке алмауға болмайтуғынлығын біз жақсы билеміз. Себебі бундай электрондардың атомлардағы қозғалысын классикалық физиканың нызамлары тийкарында тәрийиплеуіге болмайды. Сонлықтан атомлық системалар квантлық механиканың нызамларын пайдаланыу керек болған физика илимінің әхмийетлі объектлерінің бири болып табылады. Атомларды тәрийиплеуі үшін квантлық механиканың қандай да бир қосымша болжауларды ямаса Бор теориясының постулатлары сыяқлы постулатларды талап етпейтуғынлығын атап өтеміз

Водород сыяқлы атомлар үшін квантлық механиканың мәселесін келтирип шығарамыз. Электрон заряды Ze болған қозғалмайтуғын ядроның дегерегінде қозғалады деп есеплаймыз. Водород атомы үшін $Z = 1$. Басқа водород тәрізлі атомлар (ионлар) үшін $Z = 2, 3, 4, \dots$. Бундай модель атом физикасының әхмийетлі моделлерінің бири болып табылады. Бундай модель үшін электрон қозғалатуғын электростатикалық майданның потенциалын дәл жаза аламыз. Сонлықтан водород тәрізлі атомдардың квантлық теорияның барлық жуумақларын экспериментте тексеріп көріуі мүмкін.

Ядроның электр майданындағы электронның потенциал энергиясы

$$U(r) = -\frac{Ze^2}{4\pi\epsilon_0 r} \quad (2.5.16)$$

аңлатпасының жәрдемінде есепланады. Бундай майдандағы электронның қозғалысын базы бир сфералық потенциал майдандағы қозғалыс сыпатында қарай аламыз. Оның формасы 5.6-сұуретте көрсетілген.

4.2-параграфта әпиуайы формаға ийе потенциал шуқырда қозғалатуғын бөлекшениң энергиясының спектрінің дискрет екенлігін көрген едік. Тап сол сыяқлы атомдағы электронның энергиясы да дискрет спектрге (яғнай электронның толық энергиясының қәддилері E_1, E_2, E_3 хәм басқа да шамаларға тең) ийе болады деп болжауға болады. Водород атомы үшін алынған спектр дурыслығы оптикалық тәжірийбелерде тастыйықланатуғын Бор теориясында алынған энергиялар спектри менен бирдей болыуы керек.

Солай етип водород тәрізлі атомлардағы электронның квантлық халларды хәм усы халлардағы электронның толық энергиясының спектрін табыу үшін

$$\hat{H}\psi = E\psi \quad (2.5.17)$$

Шредингер теңлемесінің шешімлерін табыуымыз керек болады. Бул теңлемедегі гамильтониан

$$\hat{H} = -\frac{\hbar^2}{2m}\Delta + \hat{U} \quad (2.5.17a)$$

түрінде жазылады. Бул аңлатпадағы m электронның массасы, E арқалы ψ толқын функциясы менен тәрийипленетуғын оның қалындағы толық энергиясы белгиленген. Потенциал энергияның операторы \hat{U} болса (2.5.16)-аңлатпада берілген $U(r)$ функциясына көбейтіу болып табылады.

Шредингер теңлемесинің биз излеп атырған шешимлери \hat{H} толық энергия операторының меншикли функциялары болып табылады. Бундай шешимлерди табыу жеткиликлі дәрежеде қурамалы болған дифференциал теңлемени шешіу менен байланысly. Бул мәселенің квантлық механикадағы ең әхмийетли мәселелердің бири екенлиги есапқа алып бундай шешимлерди табыу схемасын толық баянлаймыз. Бул схеманы баянлаудың барысында математикалық физиканың арнаулы функцияларының бири болған сфералық функциялардан пайдаланыуға тууры келеди. Базы бир айқын квантлық халлар ушын сфералық функциялар белгили элементар функциялардың комбинациясы түрінде анық аналитикалық формада жазылады. Сфералық функциялардың қәсийетлери хаққында толығырақ мағлыұматларды математика бойынша справочниклерде табыу мүмкин.

Атомдағы электронның қозғалысын тәрийиплеу ушын координаталардың сфералық системасын пайдаланған қолайлы. Бундай координаталардың басы сыпатында атом ядросының орайы қабыл етиледі. Бундай координаталар системасында электронның толқын функциясы $\psi = \psi(r, \theta, \varphi)$, ал Лаплас операторы

$$\Delta = \Delta_r + \frac{1}{r^2} \Delta_{\theta, \varphi}$$

түрине ийе болады. Δ_r арқалы толқын функциясының радиал бөлегинен ибарат

$$\Delta_r = \frac{1}{r^2} \frac{\partial}{\partial r} \left(r^2 \frac{\partial}{\partial r} \right), \quad (2.5.18)$$

ал мүйешлик бөлеги болған

$$\Delta_{\theta, \varphi} = \frac{1}{\sin \theta} \frac{\partial}{\partial \theta} \left(\sin \theta \frac{\partial}{\partial \theta} \right) + \frac{1}{\sin^2 \theta} \frac{\partial^2}{\partial \varphi^2} \quad (2.5.19)$$

оператор белгиленген. (3.32)-формулаға сәйкес сфералық координаталар системасындағы импульс моменти квадраты операторы $\hat{L}^2 = -\hbar^2 \Delta_{\theta, \varphi}$ түрінде жазылады. Сонлықтан (2.5.17)-Шредингер теңлемеси

$$-\frac{\hbar^2}{2m} \Delta_r \psi + \frac{1}{2mr^2} \hat{L}^2 \psi - \frac{Ze^2}{4\pi\epsilon_0 r} \psi = E\psi \quad (2.5.20)$$

түрине енеди. Бул теңлеменің шешимин ажыратылыушы өзгериушилери бар еки функцияның көбеймеси түрінде излеймиз

$$\psi = X(r) \cdot Y(\theta, \varphi). \quad (2.5.21)$$

\hat{L}^2 операторы гамильтониан \hat{H} пенен коммутацияланады. Сонлықтан 3-бапта баянланған квантлық механиканың улыұмалық қағыйдалары бойынша атом қәлеген квантлық халда импульс моментинің модулинің белгили бир мәнисине

ийе бола алады. Ал $Y(\theta, \varphi)$ функциясы \hat{L}^2 операторының меншикли функциясы болып табылады. Бул шәрт төмендегі теңлемени қанаатландырады:

$$\hat{L}^2 Y_{l,m} = l(l+1)Y_{l,m}. \quad (2.5.22)$$

$Y_{l,m} = Y_{l,m}(\theta, \varphi)$ функциялары сфералық ямаса шар функциялар деп аталады. Бул функциялар l хәм m пүтин мәниске ийе параметрлериниң жәрдемінде анықланады. Бул пүтин санларды квантлық санлар деп атаймыз.

l орбиталық (азимуталлық) квантлық сан $l = 0, 1, 2, \dots$ мәнислерин қабыл етеди. m квантлық сан магнит квантлық сан деп атайды хәм ол $m = 0, \pm 1, \pm 2, \dots, \pm l$ мәнислерине ийе бола алады. Бул квантлық санларның физикалық мәнислерин биз төменде талқылаймыз.

Базы бир нормировкаланған сфералық функциялар ушын анық формулаларды келтиремиз:

$$\begin{aligned} Y_{0,0} &= \frac{1}{\sqrt{4\pi}}, \quad Y_{1,0} = \sqrt{\frac{3}{4\pi}} \cos \varphi, \quad Y_{1,\pm 1} = \mp \sqrt{\frac{3}{8\pi}} \sin \theta \exp(\pm i\varphi); \\ Y_{2,0} &= \sqrt{\frac{5}{16\pi}} (3 \cos^2 \theta - 1), \quad Y_{2,\pm 1} = \mp \sqrt{\frac{15}{8\pi}} \cos \theta \sin \theta \exp(\pm i\varphi); \\ Y_{2,\pm 2} &= \sqrt{\frac{5}{32\pi}} \sin^2 \theta \exp(\pm i2\varphi), \quad Y_{2,\pm 2} = \sqrt{\frac{7}{16\pi}} \cos \theta (5 \cos^2 \theta - 3). \end{aligned}$$

(5/20)-аңлатпаға (2.5.21)-формадағы толқын функциясын қойсақ [бул аңлатпада $Y(\theta, \varphi) = Y_{l,m}(\theta, \varphi)$] хәм бул мүйешлик көбейтiушиге бөлсек радиал функция $X(r)$ ушын:

$$-\frac{\hbar^2}{2m} \frac{1}{r^2} \frac{d}{dr} \left(r^2 \frac{dX}{dr} \right) + \left[\frac{l(l+1)\hbar^2}{2mr^2} - \frac{Ze^2}{4\pi\epsilon_0 r} \right] \cdot X = Ex \quad (2.5.23)$$

теңлемесин аламыз. Бул теңлемениң шешимин

$$X(r) = \frac{R(r)}{r} \quad (2.5.24)$$

түрінде излеймиз. Бундай жағдайда усындай түрге ийе болған биз излеп атырған $X(r)$ функциясын (2.5.23)-теңлемеге қойсақ $R(r)$ функциясы ушын әпиұайырақ теңлемеге ийе боламыз:

$$-\frac{\hbar^2}{2m} \frac{d^2 R}{dr^2} + \left[\frac{l(l+1)\hbar^2}{2mr^2} - \frac{Ze^2}{4\pi\epsilon_0 r} \right] \cdot R = ER. \quad (2.5.25)$$

Бул теңлемеге узынлықтың характерли өлшеми ретінде $a = \frac{4\pi\epsilon_0 \hbar^2}{me^2}$ Бор радиусын, ал характерли энергия ретінде водород атомының ионизация энергиясы болған $W = \frac{1}{2} \cdot \frac{e^2}{4\pi\epsilon_0 a} = \frac{\hbar^2}{2ma^2} = \frac{me^4}{32\pi^2 \epsilon_0^2 \hbar^2}$ шамасын қабыл етип бирлиги жоқ шамаларға өтемиз

$$\rho = Z \frac{r}{a} \quad \text{хәм} \quad \epsilon = -\frac{1}{Z^2} \frac{E}{W} \quad (\epsilon > 0) \quad (2.5.26)$$

Бундай жағдайда (2.5.25)-теңлеме

$$\frac{d^2 R}{dr^2} + \left(\frac{2}{\rho} - \frac{l(l+1)}{\rho^2} - \varepsilon \right) \cdot R = 0 \quad (2.5.27)$$

түрине ийе болады. Өзгертмелі коэффициенттерге ийе бұл теңлемениң дәл шешимін екі функцияның көбеймесі түрінде ізлеу керек болады:

$$R(\rho) = v(\rho) \cdot \exp(-\alpha\rho), \quad \alpha = \sqrt{\varepsilon}. \quad (2.5.28)$$

(2.5.28)-аңлатпаны (2.5.27)-аңлатпаға қойсақ изленип атырған жаңа $v(\rho)$ функциясы үшін теңлемени табамыз. Құрамалы емес есептеулерден кейін

$$\frac{d^2 v}{d\rho^2} - 2\alpha \frac{dv}{d\rho} + \left(\frac{2}{\rho} - \frac{l(l+1)}{\rho^2} \right) v = 0 \quad (2.5.29)$$

теңлемесін аламыз. Бұл теңлемениң шешімі болған $v(\rho)$ функциясын дәрежелі қатар түрінде ізлейміз

$$v(\rho) = \rho^{l+1} \sum_{k=0}^{\infty} a_k \rho^k = \sum_{k=0}^{\infty} a_k \rho^{k+l+1}. \quad (2.5.30)$$

Бұл қатардың a_k коэффициенттерін табыу үшін (2.5.30) ды (2.5.29) ға қоямыз хәм ρ шамасының бірдей дәрежеге ийе ағзаларын жыйнаймыз. Бұндай әмеллер

$$\begin{aligned} \sum_{k=0}^{\infty} a_k [(k+l+1)(k+l) - l(l+1)] \rho^{k+l+1} + \\ + \sum_{k=0}^{\infty} [2 - 2\alpha(k+l+1)] \rho^{k+l} = 0 \end{aligned} \quad (2.5.31)$$

түріндегі теңлемениң пайда болыуына алып келеді. Бірінші қосылыушыда $k=0$ теңлігі орынланғанда квадрат қаўсырмадағы аңлатпа нолге айналады. Сонлықтан суммалау $k=1$ мәнісінен басланады. Демек бірінші суммадағы суммалау индексі бірге жылыстырып (2.5.31)-формулан

$$\sum_{k=0}^{\infty} \{a_{k+1} [(k+l+2)(k+l+1) - l(l+1)] + a_k [2 - 2\alpha(k+l+1)]\} \rho^{k+l} = 0$$

түрине шекем түрлендіріу мүмкін. Бұл теңліктің барлық ρ лар үшін орынланыуы үшін оның хәр бір дәрежесінің алдындағы коэффициенттің нолге тең болыуы керек. Сонлықтан (2.5.30)-аңлатпадағы қатар (2.5.29)-теңлемениң шешімі бола алады, егер оның коэффициенттері үшін төмендегідей рекуррентті қатнас орынланатуғын болса:

$$a_{k+1} = a_k \frac{2\alpha(k+l+1) - 2}{(k+l+2)(k+l+1) - l(l+1)}. \quad (2.5.32)$$

(2.5.29)-теңлемесінің бір теклиги (2.5.32)-теңлемедегі a_0 коэффициентін сайлап алыудан кейін дәслеп a_1 ди, кейін a_2 ни, буннан кейін басқа да коэффициентлерди анықлауға мүмкиншилик береді. Усындай жоллар менен барлық a_k коэффициентлерин есаплап болғаннан кейін (2.5.29)-теңлемениң биз излеп атырған шешимлерин ρ ның дәрежелери бойынша белгили коэффициентлери бар (2.5.30)-қатар түрінде табамыз.

(2.5.32)-аңлатпадан k ның жеткилики дәрежедеги үлкен мәнислери ушын (2.5.30)-қатардың коэффициентлери арасындағы қатнастың $a_{k+1} \approx \frac{2\alpha}{k} a_k$ түрине ийе болатуғынлығы келип шығады. Бирақ тап усындай байланыс

$$\sum_{k=0}^{\infty} \frac{(2\alpha)^k}{k!} \rho^k = \exp(2\alpha\rho)$$

қатарының коэффициентлери арасында да орын алады. Бул қатар экспонентаның $2\alpha\rho$ дәрежеси бойынша жайыуды көрсетеді.

Демек (2.5.30)-аңлатпадағы қатар шексиз көп қосылыұшылардан турса, онда ρ ның жеткилики дәрежедеги үлкен мәнислери ушын $v(\rho)$ функциясы төмендегидей асимптотикаға ийе болады

$$v(\rho) \approx \rho^{l+1} \cdot \exp(2\alpha\rho).$$

Бирақ (2.5.28)-аңлатпадан хәтте $\exp(2\alpha\rho)$ көбейтиұшисине көбейткеннен кейін де $\rho \rightarrow \infty$ шегинде $R(\rho)$ радиаллық қураұшының шексиз өсетуғынлығы келип шығады. (2.5.21) менен (2.5.24)-аңлатпаларды есапқа алғанда да усындай шексиз өсиұ биз излеп атырған Шредингер теңлемесінің шешиминде де бақланады. Бундай функция нормировка шәртин қанаатландырмайды хәм сонлықтан оны электронның толқын функциясы сыпатында қарай алмаймыз.

Бирақ егер (2.5.39)-аңлатпадағы қатар қандай да бир ағзада үзиліп (бөлиніп) қалса, яғный шекли дәрежели көп ағзалы болса, онда биз дүзген Шредингер теңлемесінің шешими $\rho \rightarrow \infty$ шегинде кемейеди хәм регулярлықтың барлық шәртлерин қанаатландырады. Тек усындай жағдайда ғана (2.5.28)-аңлатпадағы экспоненциаллық көбейтиұши шексизликте толқын функциясының модулинің квадратының киширейиұин тәмийинлейди.

(2.5.32)-аңлатпадан (2.5.30)-аңлатпадағы қатардың $k = n_r$ ағзасындағы үзиліп қалыұы

$$2\alpha(n_r + l + 1) = 2 \quad (2.5.33)$$

шәрти орынланғанда орын алады. $n_r + l + 1$ пүтин санын n арқалы белгилеймиз (яғный $n = n_r + l + 1$). Бундай жағдайда n_r ди радиаллық квантлық сан, ал n ди бас квантлық сан деп атаймыз. $n \geq l + 1$, яғный $l \leq n - 1$ екенлиги көринип тур.

Бундай жағдайда (2.5.33) шәрти $\alpha n = 1$ ямаса $\varepsilon = 1/n^2$ түрине енеди. (2.5.26)-шәртти есапқа алғанда бул шәртти атомдағы электронның толық энергиясын квантлаұдың шәрти сыпатында қабыл етиұге болады

$$E_n = -\frac{Z^2 m e^4}{32\pi^2 \varepsilon_0^2 \hbar^2} \cdot \frac{1}{n^2}, \quad n = 1, 2, 3, \dots \quad (2.5.34)$$

Солай етип толқын функциясының регулярылығы шәрти атомның энергиясының квантланыў шәртине алып келди. Бул шәрт $Z = 1$ болған жағдайда Бор теориясындағы водород атомындағы энергияның квантланыўына дәл сәйкес келеди. Сонлықтан (2.5.34)-формуладан экспериментлерде тексерилип көрилген (2.5.14) Бальмер формуласы келип шығады.

Солай етип электронның водород тәризли атомлардағы толқын функциясы n хәм k квантлық санларнан ғәрезли болады екен хәм былайынша жазылады

$$X_{nl}(\rho) = \rho^l \cdot \exp\left(-\frac{\rho}{n}\right) \cdot \sum_{k=0}^{n_r} \alpha_k \rho^k. \quad (2.5.35)$$

Бул аңлатпада $\rho = Z \cdot r / a$, $n_r = n - (l + 1)$, $l \leq n - 1$, ал a_k коэффицентлери болса $k > 0$ болған жағдайларда (2.5.12)-аңлатпаның жәрдеминде анықланады. a_0 коэффицентиниң мәниси ең ақырында толқын функциясының нормировка шәртинен анықланады. Бул шәрти сфералық координаталар системасында былайынша жазамыз

$$\int_0^\infty \int_0^{2\pi} \int_0^\pi |\psi(r, \theta, \varphi)|^2 r^2 \sin \theta \, dr \, d\theta \, d\varphi = 1. \quad (2.5.36)$$

Бул формулада $dV = r^2 \sin \theta \, dr \, d\theta \, d\varphi$ арқалы сфералық координаталардағы көлемниң элементи белгиленген.

Солай етип атомдағы электронның квантлық халды анықлайтуғын толқын функциясы табылды. Ол мынадай түрге ийе:

$$\psi_{nlm}(\rho, \theta, \varphi) = X_{nl}(\rho) Y_{lm}(\theta, \varphi)$$

хәм ол n , t және l санларынан ғәрезли.

Орбиталық квантлық сан болған l санының берилген мәнисине сәйкес келиўши квантлық халларды белгилеў ушын төмендегидей спектроскопиялық символлар қолланылады:

l диң мәниси	0	1	2	3	4	5	6	...
Халдың белгиси	s	p	d	f	g	h		

$l = 0$ болған халды s-хал, ал усындай халдағы электронды s-электрон деп атаймыз. $l = 1$ болған халды p-хал деп атайды.

Электронның уивнт халын толығырақ белгилеў ушын n бас квантлық санның мәнисин де берий керек. Бул квантлық сан халдың белгисиниң алдында жазылады. Мысалы $n = 2$ хәм $l = 0$ болған квантлық халдағы электронды 2s белгиси менен белгилеймиз, ал $n = 4$ хәм $l = 2$ болған квантлық халдағы электронды 4d арқалы белгилеймиз. Бундай мысалларды көплек келтирий мүмкин.

Барлық ўақытта $l \leq n - 1$ теңсизлиги орынланатуғын болғанлықтан

$$\begin{aligned} n = 1 &\rightarrow 1s, \\ n = 2 &\rightarrow 2s, 2p, \\ n = 3 &\rightarrow 3s, 3p, 3d \\ n = 4 &\rightarrow 4s, 4p, 4d, 4f \end{aligned}$$

хәм тағы басқаларды жазыўымыз мүмкин.

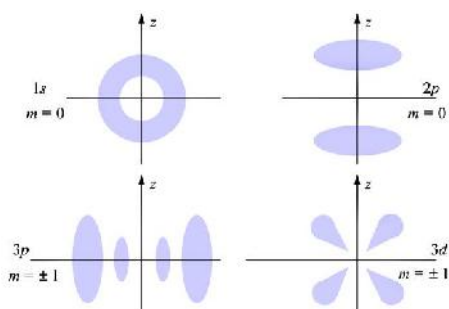
$Y_{lm}(\theta, \varphi)$ сфералық функцияларының қасиеттерін таллау барлық s-электронлардың, яғни $l = 0$ және $m = 0$ халлардың сфералық симметрияға ие халлар екендігін көрсетеді. Бұл халлардағы толқын функциясының мәнісі θ және φ мүйешлік өзгеріушілерінің мәнісінен гәрезли емес.

Параграфтың ақырында водород тәрізлі бір қатар атомлардағы нормировкаланған толқын функцияларын жазамыз.

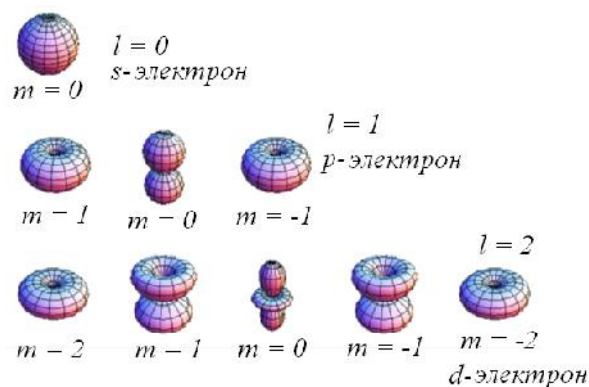
n	l	m	ψ_{nlm}	Хал
1	0	0	$\frac{1}{\sqrt{\pi}} \left(\frac{Z}{a}\right)^{3/2} \exp(-\rho)$	1s
2	0	0	$\frac{1}{4\sqrt{2\pi}} \left(\frac{Z}{a}\right)^{3/2} (2 - \rho) \exp(-\frac{\rho}{2})$	2s
2	1	0	$\frac{1}{4\sqrt{2\pi}} \left(\frac{Z}{a}\right)^{3/2} \rho \exp(-\frac{\rho}{2}) \cos \theta$	2p
2	1	+1	$\frac{1}{8\sqrt{\pi}} \left(\frac{Z}{a}\right)^{3/2} \rho \exp(-\frac{\rho}{2}) \sin \theta \exp(-i\pi)$	2p
2	1	-1	$\frac{1}{8\sqrt{\pi}} \left(\frac{Z}{a}\right)^{3/2} \rho \exp(-\frac{\rho}{2}) \sin \theta \exp(-i\pi)$	2p

2.5.7a-сүретте водород атомындағы бір қатар квантлық халлар үшін биз жоқарыда тапқан толқын функцияларының жәрдеминде итималлықтың радиаллық электронлық тығызлығы "думан" түріндегі көрсетілген. Бұл "думан"ның тығызлығы кеңістіктің хәр қыйлы ноқатларында усы итималлықтың тығызлығына тууры пропорционал. Квантлық теорияда тап усындай итималлық тығызлығының тығызлығы думаны түрінде атомның образы тап усындай усылда бериледи.

2.5.7b сүретте болса Mathematica 8.0 универсаллық программалау тилинде алынған сәйкес сүретлер берілген.



2.5.7a сүрет. Водород атомындағы бір қатар квантлық халлар үшін толқын функцияларының жәрдеминде итималлықтың радиаллық электронлық тығызлығы "думан" түріндегі көрінісі.



2.5.7b сүрет. Mathematica 8.0 универсаллық программалау тилинде есапланған водород атомындағы бір қатар квантлық халлар үшін толқын функцияларының жәрдеминде итималлықтың радиаллық электронлық тығызлығы "думан" түріндегі көрінісі.

5.3-мәселе. Водород атомындағы 1s хәм 2p халлардағы электронды ядродан қандай қашықтықларда ең үлкенірек итималлық пенен табыўдың мүмкин екенлигин анықлаңыз.

Шешими: Мәселениң шәртинде берилген халлардағы электронды ядродан хәр қыйлы қашықтықларда табыў мүмкин. Бундай жағдайда электронды ядродан r қашықтығында табыўдың итималлығы радиуслары r шамасынан $r+dr$ шамасына шекемги жуқа шар қатламында табыўдың итималлығына тең. Бул итималлық былайынша анықланады

$$dP = \int_0^{2\pi} \int_0^{\pi} |\psi(r, \theta, \varphi)|^2 r^2 dr d\theta d\varphi.$$

Бул итималлық қатламның қалыңлығы dr ге пропорционал, яғный

$$dP = \omega(r)dr.$$

Ядродан ең итимал қашықтықты $r^{(\text{итимал})}$ арқалы белгилейик. Бундай қашықтық ушын итималлықтың радианлық тығызлығы $\omega(r)$ шамасы максималлық мәниске ийе болыўы шәрт.

Жоқарыда келтирилген кестеден водород атомының электронының толқын функцияларын алып, 1s хал ушын

$$\omega_1(r) = A r^2 \exp\left(-\frac{2r}{a}\right), \quad A = \text{const}$$

екенлигин, ал 2p халы ушын

$$\omega_2(r) = B r^4 \exp\left(-\frac{2r}{a}\right), \quad B = \text{const}$$

екенлигине ийе боламыз. Бул функциялардың туўындыларын нолге теңеп 1s халы ушын $r_1^{(\text{итимал})} = a$ мәнисин аламыз. Демек бул халдағы электронды ядродан биринши Бор орбитасының радиусына теңдей қашықтықларда табыўдың итималлығы ең үлкен мәниске ийе болады деген сөз.

2p халлары ушын $r_2^{(\text{итимал})} = 4a$ шамасына ийе боламыз. Демек 2p халда турған электронды табыўдың итималлығы ядродан $4a$ шамасына тең қашықтықта, яғный ядродан екинши Бор орбитасының радиусына тең қашықтықта табыўдың итималлығы ең үлкен мәниске ийе болады.

Солай етип квантлық механикада электронның белгили бир орбита бойынша қозғалыўы ҳаққындағы көз-қарас пайдаланылмайтуғын болса да бул теорияда Бор орбитасының радиуслары белгили бир физикалық мәниске ийе болады екен.

5.4-мәселе. Тийкарғы халда турған водород атомы ушын ядродан хәр қыйлы қашықтықлардағы электр майданының потенциалын анықлаңыз.

Шешими: Биз излеп атырған потенциал ядроның майданының потенциалынан хәм электронның ядроның дөгеррегінде айланыўы менен байланыслы болған электронлық "думанның" потенциалының қосындысынан турады: $\varphi = \varphi_n + \varphi_e$. Бул аңлатпада φ_n арқалы ядро майданының потенциалы белгиленген.

Толқын функциясының итималлықлық мәниси бойынша электрон "бултындағы" электр зарядының көлемлик тығызлығы $\rho_e = -e|\psi_{100}|^2$ шамасына

тең. Кеңісlikте тап усындай болып тарқалған зарядтың майданының потенциалын потенциал ушын жазылған Пуассон теңлемесин шешіу жолы менен анықланады:

$$\Delta\varphi_e = -\frac{\rho_e}{\varepsilon_0}.$$

Егер водород атомында қашықлықтың масштабы хәм характерли потенциал ушын Бор радиусы a ны хәм усындай қашықлықтағы ядроның потенциалы $\varphi_0 = \frac{e}{4\pi\varepsilon_0 a}$ шамасын қабыл етсек, онда бирликлери жоқ түрде Пуассон теңлемеси былайынша жазылады

$$\frac{1}{r^2} \frac{d}{dr} \left(r^2 \frac{d\varphi_e}{dr} \right) = 4 \exp(-2r).$$

Бул теңлемени

$$\frac{1}{r^2} \frac{d^2}{dr^2} (r \varphi_e) = 4 \exp(-2r).$$

түрине алып келиу мүмкин. Бул бир текли емес дифференциал тенлемениң шешиминиң

$$\varphi_e = \left(\frac{1}{r} + 1 \right) \exp(-2r) - \frac{1}{r}$$

функциясы екенлигине аңсат көз жеткерийге болады. Биз пайдаланып атырған бирлиги жоқ өзгерийушилердеги ядроның майданының потенциалы $\varphi_n = \frac{1}{r}$ болғанлықтан атомдағы электр майданының потенциалы ушын

$$\varphi = \varphi_n + \varphi_e = \left(\frac{1}{r} + 1 \right) \exp(-2r)$$

аңлатпасын аламыз. Өлшем бирлиги бар шамаларға қайтып келип водород атомнының тийкарғы халы ушын электр майданының потенциалының кеңісlikтеги тарқалыуы ушын

$$\varphi(r) = \frac{e}{4\pi\varepsilon_0 a} \left(\frac{a}{r} + 1 \right) \exp\left(-\frac{2r}{a}\right)$$

формуласын аламыз. Бул аңлатпаны талласақ, онда ядроның қасында (бундай жағдайда $r \ll a$) потенциалдың

$$\varphi(r) = \frac{e}{4\pi\varepsilon_0 r}$$

шамасына тең болатуғынлығын көремиз. Демек кеңісlikтиң бул областында электр потенциалы тек ядроның оң мәниске ийе заряды тәрeпинен пайда етиледі екен.

Ядродан қашықласқан сайын терис зарядқа ийе электронлық "думанның" майданы ядроның майданын экранлай баслайды. Сонлықтан ядродан жеткиликли дәрежедеги үлкен қашықлықтарда, яғный $r \gg a$ шәрти орынланғанда

$$\varphi(r) = \frac{e}{4\pi\epsilon_0 r} \exp\left(-\frac{2r}{a}\right),$$

яғный ядродан қашықлаған сайын потенциал экспоненциаллық нызам менен тез кемейеди.

2-5-4. Квантлық санлар хәм олардың физикалық мәніси

Биз Шредингер теңлемеси водород атомы ушын шешкенимизде бундай атомдағы электронның квантлық халының (яғный атомның өзиниң квантлық халының) үш квантлық санн берий менен толық анықланатуғынлығын көрдик. Демек квантлық санларның мәніслери берилген болса атомның қасийетлерин толық тәрийиплеўге болады деген сөз.

Квантлық санларның бәриниң мәніслери пүтин санға тең хәм олар атомның берилген квантлық халдағы тийкарғы физикалық шамаларды өлшегенде алынатуғын нәтийжелерди болжаўға мүмкиншилик береді.

1. Бас квантлық сан n . Бул квантлық сан $n = 1, 2, 3, \dots$ мәніслерине тең болады хәм қәлеген квантлық халдағы электронның толық энергиясын анықлайды

$$E_n = -\frac{me^4}{32\pi^2\epsilon_0^2\hbar^2} \cdot \frac{1}{n^2} = -\frac{13,6}{n^2} \text{ эВ.} \quad (2.5.37)$$

Энергияның бул мәніслериниң (2.5.17а) гамильтонианның меншикли мәніслери екенлигин атап өтемиз. Сонлықтан водород атомындағы байланысқан халда терис мәнісли дискрет энергия спектрине ийе болады, Энергия қәддилери арасындағы айырма $E = 0$ шамасына жақынласқанда қойыўласады хәм дискретлик жоғалады.

2. Орбиталық (азимуталлық) квантлық сан l . Бас квантлық санның мәніси берилген квантлық халлардыда азимуталлық квантлық сан

$$l = 0, 1, 2, \dots, (n - 1)$$

мәніслерине ийе болады.

Жоқарыдағы параграфта исленген жуўмақлар бойынша атомның хәр қыйлы квантлық халларды тәрийиплейтуғын $\psi_{nlm}(r, \theta, \varphi)$ толқын функциялары тек толық энергия операторы \hat{H} тың ғана емес, ал \hat{L}^2 импульс моментиниң квадраты операторының да меншикли функциялары болып табылады. Усының менен бирге

$$\hat{L}^2\psi_{nlm} = l(l + 1)\hbar^2\psi_{nlm}.$$

Демек қәлеген квантлық халда атом белгили бир импульс моментиниң квадратының мәнісине ийе болады. Соның менен бирге атомда қозғалатуғын электронның импульсиниң орбиталық моменти азимутал квантлық санның жәрдемінде анықланады:

$$L = \hbar\sqrt{l(l + 1)}. \quad (2.5.38)$$

Импульс моментинің квантланыуының бул формуласын таллаймыз. Бор теориясындағы қозғалыушы электронның импульс моментинің квантланыуы (2.5.3) пенен бул шәрттің сәйкес келмейтуғынлығы айқын көринеди. Мәселе бул формулалар жәрдеминде санлық мәнислердің хәр қыйлы екенлигинде емес. Принципиаллық айырма мынадан ибарат: квантлық механикада атомның импульс моменти нолге тең болған ҳалларының да бар болыуы мүмкин. Барлық s ҳалларда, мысалы $1s$ ҳалда $l = 0$ хәм (2.5.38)-аңлатпа бойынша $L = 0$.

Атомда белгили бир траектория (яғный орбита) бойынша қозғалыушы электронды классикалық физика көз-қараслары менен қарағанда импульс моментинің нолге тең болыуы мүмкин емес.

Тәжирийбелер ноллик орбиталық моментке ийе ҳаллардың бар екенлигин тастыйықлайды. Демек атомдағы электронның қозғалысын тәрийиплеудің классикалық усылынан бас тартқанда ғана атомның қәсийетлерин дурыс есаплауға хәм болжауға болатуғынлығын көрсетеди. Квнат механикасындағы бөлекшелердің қозғалысын тәрийиплеудің итималлықлық усылы атомлық системаларды тәрийиплеудің бирден бир дурыс усылы болып табылады. Хәзирги заман физикасының жуўмақларының мәниси усыннан ибарат.

Ядроның әтирапында қозғалыушы электрон зарядланған бөлекше болғанлықтан, бундай қозғалыс атомда базы бир туйық тоқтың болатуғынлығына сәйкес келеди. Бундай туйық тоқты орбиталық магнит моменти \vec{p}^m арқалы тәрийипленеди.

Бор теориясында электронның орбиталық механикалық моменти $L = mvr$ шамасына тең. Егер электронның ядроның әтирапын бир рет айланып шығыуы ушын кеткен ўақытты T арқалы белгилесек, онда усындай қозғалысқа мәниси

$$i = \frac{e}{T} = \frac{ev}{2\pi r}$$

шамасына тең туйық ток сәйкес келеди. Бул тоққа

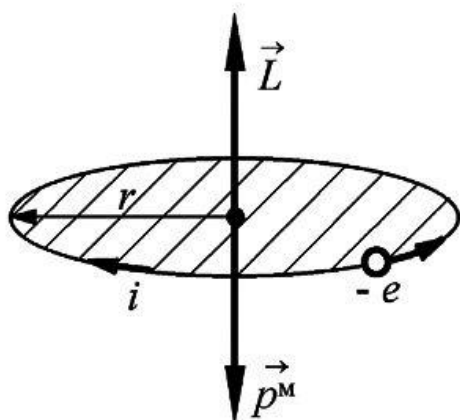
$$p^m = i\pi r^2 = \frac{2vr}{2}$$

магнит моменти сәйкес келеди. Бундай жағдайда механикалық хәм магнит моментлери арасындағы байланыс

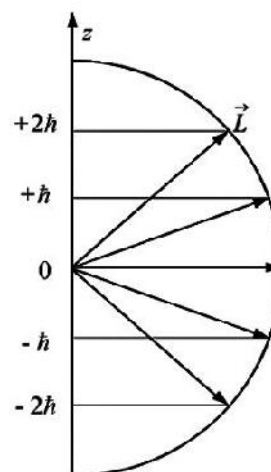
$$\Gamma_0 = \frac{p^m}{L} = \frac{e}{2m} \quad (2.5.39)$$

гиромангнитлик қатнастың жәрдеминде анықланады. Электронның заряды терис болғанлықтан магнит моменти векторы \vec{p}^m менен механикалық момент векторы \vec{L} бир бирине қарама-қарсы бағытланған (2.5.8-сүўрет).

Квантлық механикада орбиталық магнит моментин табыу ушын электр тоғының кеңисликтеги тығызлығы \vec{j}_e шамасын итималлықлардың ағысының тығызлығы \vec{j} арқалы $\vec{j}_e = -e\vec{j}$ формуласы бойынша анықлап алыу керек болады. Итималлықлар ағысы тығызлығын атомның берилген квантлық ҳалдыа сәйкес келетуғын толқын функциясын билиу арқалы (3.23)-формуланың жәрдеминде есаплайды. Гиромангнит қатнастың дәл квантлық механикалық есаплаулары да (2.5.39)-формулаға алып келеди.



2.5.8-сүрөт.



2.5.9-сүрөт.

Солай етип қалеген квантлық ҳалда водород атомы тек механикалық моментке емес [оның шамасын (2.5.38)-формуланың жәрдеминде есаплаймыз], ал магнит моментине де ийе болады екен

$$p^m = \Gamma_0 L = \mu_b \sqrt{l(l+1)}. \quad (2.5.40)$$

Бул аңлатпадағы универсаллық турақлы

$$\mu_b = \frac{e\hbar}{2m} = 0,927 \cdot 10^{-23} \text{ Дж/Тл}$$

шамасы атомлардың магнит моментлерин өлшеу бирлиги сыпатында хызмет етеди хэм оны Бор магнетоны деп атайды.

Егер атом бир ҳалдан екінши ҳалға фотонды нурландырыу ямаса жутыу менен өтсе, онда орбиталық квантлық сан l диң тек бирге өзгеретуғын өтиулердиң болыуы мүмкин, яғный $\Delta l = \pm 1$. Демек оптикалық өтиулер ушын айтылған $\Delta l = \pm 1$ өтиулері таңлап алыу қағыйдасы (правило отбора) деп аталады. Бундай таңлап алыу қағыйдасының орын алыуына тиккелей себеп бар. Нурландырылған электромагнит нурлары (фотон) өзи менен бирге тек энергияны ғана емес, ал белгили бир импульс моментин де алып кетеди. Сонлықтан фотон нурланғанда электронның орбиталық квантлық сан бирге өзгериуи шәрт.

3. Магнит квантлық сан m . Орбиталық квантлық сан l берилген квантлық ҳалда магнит квантлық сан $(2l + 1)$ түрли мәниске ийе бола алады. Олар мыналар

$$m = 0, \pm 1, \pm 2, \dots, \pm l.$$

Магнит квантлық сан m ниң физикалық мәниси төмендеги жағдайлар менен байланыслы:

Водород атомындағы электронның квантлық ҳалды сыпатлайтуғын $\psi_{nlm}(r, \theta, \varphi)$ толқын функциясы импульс моментиниң проекциясы операторы \hat{L}_z тиң меншикли функциясы болып табылады. Қала берсе

$$\hat{L}_z \psi_{nlm} = m\hbar \psi_{nlm}.$$

Сонлықтан квантлық механиканың улыўмалық қағыйдаларынан (3.5-параграфты қараңыз) электронның импульсинің моментинің айырып алынған z көшерине түсірілген проекциясының тек белгили бир мәнислерге ийе болатуғынлығы келип шығады. Бул мәнислер мыналар:

$$L_z = m\hbar. \quad (2.5.41)$$

Кеңисликтеги z бағытын усы бағытта электр ямаса магнит майданын пайда етиў жолы менен айырып алыўға болады.

(2.5.41)-формулань кеңисликтеги квантланыў формуласы деп атайды. Механикалық моменттиң проекциясы формуласы болған (2.5.41)-формула \vec{L} векторының кеңисликте белгили бир бағытларға ийе болатуғынлығын көрсетеди (2.5.9-сүўрет). Электронлық орбиталар ҳаққындағы классикалық көз-қараслар бойынша \vec{L} векторы барлық ўақытта орбита тегислигине перпендикуляр бағытланған. Демек (2.5.41)-аңлатпа кеңисликтеги орбиталардың сырттан түсірилген майданның бағытына салыстырғанда дискрет түрде жайласатуғынлығын сәўлелендиреди екен.

Жоқарыда гәп етилген атомның магнит хәм механикалық моментлери арасындағы байланыс (2.5.41)-аңлатпаны есапқа алғанда атомның магнит моментинің айырып алынған z бағытына түсірилген проекциясының мүмкин болған мәнислерин анықлаўға мүмкиншилик береди екен:

$$p_z^m = \Gamma_0 L_z = m\mu_b. \quad (2.5.42)$$

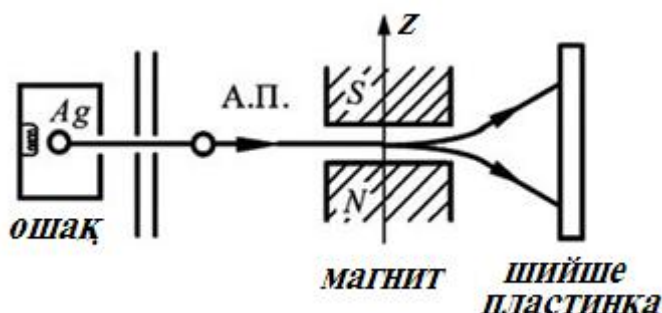
Демек атомның магнит моментинің айырып алынған z бағытына түсірилген проекцияларының мүмкин болған мәнислери магнит квантлық саннан ғәрезли болады екен.

2-5-5. Штерн хэм Герлах тэжирийбеси. Электронның спини хаққындағы гипотеза

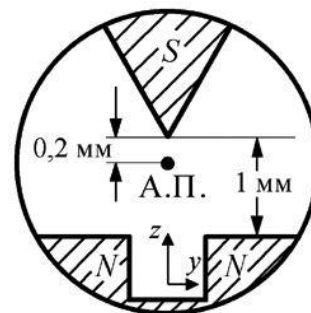
Штерн хэм Герлах тэжирийбеси. Оптикалық экспериментлер атомлардың энергиясының квантланатуғынлығы хаққындағы жеткиликли болған мағлыұматларды береді. Енди квантланыұдың басқа түри болған кеңисликтеги квантланыұды қараймыз. Бул квантланыұ атомның магнит моментиниң сыртқы магнит майданы бағытына түсирилген проекциясының дискрет мәнислерге ийе болыуынан ибарат. Кеңисликтеги квантланыұ экспериментте 1922-жылы О.Штерн хэм В.Герлах тэрепинен ашылды.

Водород атомы ушын орбиталық магнит моментиниң кеңисликтеги квантланыұы (2.5.42)-формуланың жәрдемінде сыпатланады. Қурамалырақ атомлар ушын бул формуланың түри өзгерислерге ушырайды (2.5.6-параграфты қараңыз). Бирақ бундай атомлар ушын да квантлық механиканың тийкарғы жуўмағы өз күшінде қалады: атомның магнит моментиниң сырттан түсирилген майданның бағытына түсирилген проекциясы тек дискрет квантлық мәнислерге ийе болады.

Штерн хэм Герлах тэжирийбесинде атомлық система ушын кеңисликтеги квантланыұ былайынша демонстрацияланады. Вакуум ошағында пуўландырыұ хэм енсиз саңлақлар арқалы өткеріұ жолы менен гүмистиң ямаса басқа металдың атомларының жиңишке дәстеси алынады. (2.5.10a-сұўрет). Бул дәсте бир текли емес магнит майданы арқалы өткериледи. Бул майданда магнит индукциясының үлкен градиентиниң болыуы шэрт. Тэжирийбеде магнит майданының индукциясы \vec{B} үлкен мәниске ийе хэм z көшери бағытында бағытланған.



2.5.10a сұўрет.



2.5.10b сұўрет.

Штерн хэм Герлах тэжирийбесиниң схемасы.

Бундай магнит майданын пайда етиұ ушын пышақтың жүзи сыяқлы полюске ийе магнит қолланылады (2.5.10b-сұўрет). Бул магниттен жүдэ жақын қашықлықтан атомлар дәстеси өткериледи.

Магнит полюслери арасынан өтиұши атомларға магнит майданы бағытында

$$F_z = p_z^m \frac{\partial B}{\partial z} \quad (2.5.43)$$

күши тэсир етеди. Бул күш бир текли емес магнит майданының индукциясының градиентиниң есабынан пайда болады хэм атомның магнит моментиниң майданның бағытына түсирилген проекциясының шамасынан ғэрезли. Усы күштиң тэсиринде атомлар дәстеси z көшери бағытында аұысыұға ушырайды. Бул

ауысыудың шамасы атомға тәсир етиуіші (2.5.43)-күшке байланысly. Нәтийжеде бир қанша атомлар жоқарыға, бир қанша атомлар төменге қарай ауысады.

Классикалық физика көз-қараслары бойынша тәртипсиз жыллылық қозғалыслары орын алатуғын болғанлықтан магнит майданына кирип келгенде атомлардың магнит моментлери қәлеген бағытқа қарай бағытланған болады. Усындай жағдай хәр қандай атомлар ушын F_z күшиниң үзликсиз тарқалыуына, яғный атомлар дәстесиниң кеңисликтеги үзликсиз ауысыуына сәйкес келеди. Нәтийжеде магнит арқалы ушып өткен гүмис атомлары шийше пластинкада тутас дақты пайда етиуі керек (гүмис атомлары шийше пластинкаға келип түсип оған қатады, бундай процессти "напыление" – шаңландырыу деп атайды).

Егер квантлық механиканың көрсеткениндей кеңисликтеги квантланыу орын алатуғын болса атомның магнит моментиниң проекциясы p_z^m тек дискрет мәнислерге ийе болады хәм (2.5.43)-күштиң тәсиринде атомлар дәстеси дәстелердиң дискрет санына бөлиниуі керек. Нәтийжеде шийше пластинкада атомлардың айналық дискрет жолақлары пайда болады. Штерн хәм Герлах тәжирийбесинде тап усундай нәтийже бақланды.

Солай етип Штерн хәм Герлах тәжирийбесинде атомлардың магнит моментлериниң кеңисликлик квантланыуы хәққындағы квантлық механиканың жууақлары тастыйықланды.

Электронның спини. Квантлық механиканың электронлық "думанның" симметриясының бар екенлигиниң нәтийжесинде тийкарғы қозбаған халда турған атомның механикалық хәм магнитлик моментлери нолге тең болатуғынлығы келип шығады. Демек, егер Штерн хәм Герлах тәжирийбелеринде атомлар дәстесинде қозбаған атомлар қозғалатуғын болса, онда бундай атомлар дәстеси магнит майданында бағытын өзгертпеуі керек. Бундай жағдайда шийше экранда тек бир енсиз айналық жолақты бақлаған болар едик.

Бирақ эксперимент квантлық механиканың бундай жууағын тастыйықламады. Тәжирийбелер қозбаған атомлар дәстесиниң тек еки дәстеге ажыралатуғынлығын көрсетти. Шийше пластинкада болса жоқарыға хәм төменге қарай симметриялы жайласқан енсиз еки жолақ пайда болды. Бул ауысыуларды өлшеу қозбаған гүмис атомларының магнит моментин анықлауға мүмкиншилик берди. Магнит майданының бағытында түсирилген оның проекциясы $+\mu_B$ хәм $-\mu_B$ шамаларына тең болып шықты.

Квантлық механика менен тәжирийбе арасындағы бул қарама-қарсылық биринши қарама-қарсылық емес еди. Тап сондай айырма силтили металлардың оптикалық спектриниң жүдә жуқа спектрин үйренгенде де бақланған еди. Ферромагнетиклер менен өткерилген тәжирийбелерде гиромангнитлик қатнастың аномаллық мәниси анықланды. Бул мәниси күтилген мәнистен еки есе артық болып шықты.

Квантлық механиканың бул қыйыншылықлары 1925-жылы сапластырылды. Усы жылы С.Гаудсмит хәм Дж.Уленбек электронның өзи "меншикли" механикалық хәм магнит моментлерине ийе болады, бул моментлер электронның кеңисликтеги қозғалысы менен байланысly емес деген батыл теорияны усунды. Бул гипотеза электронның спини хәққындағы гипотеза атамасын алды. Бундай атама инглиз тилиндеги spin сөзи менен байланысly. Бул сөзди қарақалпақшаға аударғанда "айланыу" деген мәнисти береди.

Дәслепп спин электронның өзиниң көшери дөгерегинде айланыуы менен байланысly деген болжау қабыл етилди. Бирақ айланыушы зарядланған шарик модели дурыс болмай шықты. Есаплаулар биринши гезекте электрон қандай тезлик пенен айланса да (яғный жақтылықтың тезлигинен киши тезлик нәзерде тутылады) Бор магнетонына тең магнит моментин пайда етиу мүмкин емес

екенлигин көрсетти. Усының менен бір қатарда айланыушы электрон модели менен есапланған меншикли магнит хәм механикалық моментлердің гиромагнитлик қатнасының мәнісі тәжірийбеде алынған шамадан екі есе киши болып шықты.

Солай етип Жер сыяқлы өз көшери дөгерігінде айланыушы электрон модели дурыс болмай шықты. Бирақ "спин" термини сақланып қалды хәм хәзіргі заман квантлық механиканың тийкарғы терминлеринің бирине айланды.

Электронның спини классикалық аналогына ийе емес. Спин квантлық бөлекшениң ишки квантлық қасиеті болып табылады хәм ол бөлекшеде қосымша еркинлик дәрежесинің бар екенлиги менен байланысly. Бул еркинлик дәрежесинің санлық характеристикасы спин $s = \frac{1}{2}$ электрон ушын тән болған масса, заряд сыяқлы физикалық шама болып табылады.

Теория менен эксперимент жуымақларын бір бири менен сәйкеслендириуде Гаудсмит хәм Уленбеклер орбиталық моментлерге сәйкес электронның меншикли механикалық хәм магнит моментлеринің шамалары

$$L_s = \hbar \sqrt{s(s+1)} = \frac{\sqrt{3}}{2} \hbar \text{ хәм} \quad (2.5.44)$$

$$p_s^m = 2\mu_B \sqrt{s(s+1)} = \sqrt{3}\mu_B \quad (2.5.45)$$

формуласы менен анықланады деп болжады. Бундай моментлер ушын гиромагнитлик қатнас

$$\Gamma_s = \frac{p_s^m}{L_s} = \frac{2\mu_B}{\hbar} = \frac{e}{m} \quad (2.5.46)$$

шамасына тең хәм орбиталық қозғалыс ушын келтирилип шығарылған (2.5.39)- гиромагнитлик қатнастан екі есе үлкен болып шығады.

Бул теорияда меншикли моментлердің берілген z бағытына түсірилген проекциясы $m_s = \pm s = \pm \frac{1}{2}$ квантлық санның жәрдеминде анықланады. Бундай жағдайда

$$L_{sz} = m_s \hbar = \pm \frac{\hbar}{2}, \quad (2.5.47)$$

$$p_{sz}^m = 2m_s \mu_B = \pm \mu_B \quad (2.5.48)$$

шамаларына тең болады. (2.5.44 - 5.48) аңлатпалардан электронның спинлик моментлеринің шамаларының турақлы екенлиги келип шығады. Ал электронның қосымша еркинлик дәрежесі менен бул моментлердің z дана проекциясы байланысly. Бул проекциялар m_s квантлық санның жәрдемінде анықланады хәм тек екі мәніске ийе болады. Бундай екі квантлық халлар хәққында гәп еткенде спини жоқарыға қарай бағытланған ($m_s = +\frac{1}{2}$) хәм спини төменге қарай бағытланған ($m_s = -\frac{1}{2}$) халлар нәзерде тутылады. Сонлықтан электронның қәлеген системадағы халы хәққында гәп етилгенде спини бағытын да көрсетиу керек болады.

Демек электронның атомдағы квантлық хал төрт квантлық санның жәрдемінде анықланады екен. Оларды төмендегидей кесте түрінде көрсетеміз.

Атамасы	Бел-	Мүмкин болған
---------	------	---------------

	гиси	мәнислери
Бас квантлық сан	n	$1, 2, 3, \dots$
Орбиталық (азимутал) квантлық сан	l	$1, 2, 3, \dots, (n-1)$
Магнит квантлық сан	m	$-l, \dots, -2, -1, 0, +1, +2, \dots, +l$
Спин квантлық сан	m_s	$-\frac{1}{2}, +\frac{1}{2}$

n бас квантлық санның хәр бир мәнисине басқа квантлық санларның

$$2 \sum_{l=0}^{n-1} (2l + 1) = n^2 \quad (2.5.49)$$

комбинациясы сәйкес келеди.

Электронда спиннің бар екенлигин есапқа алып водород атомының импульсинің толық моментін анықлаймыз. Бул толық момент электронның орбиталық хәм меншикли моментлеринің қосындысынан турады. Квантлық системадағы қәлеген импульс моменти сыяқлы қосынды моменттің шамасы

$$L_j = \hbar \sqrt{j(j+1)} \quad (2.5.50)$$

аңлатпасының жәрдеминде анықланады. Бул аңлатпадағы j квантлық сан

$$j = l + s \text{ хәм } j = |l - s|$$

мәнислерине ийе бола алады. Электронның спини $s = \frac{1}{2}$ шамасына тең болғанлықтан

$$j = l + \frac{1}{2} \text{ хәм } j = \left| l - \frac{1}{2} \right|$$

ярым пүтин мәнислерін аламыз. Егер $l = 0$ болса j квантлық санның мәниси тек $\frac{1}{2}$ ге тең болады. Егер l диін мәниси нолге тең болмаса j квантлық санның $j = l + \frac{1}{2}$ хәм $j = l - \frac{1}{2}$ мәнислери болып, олар орбиталық моментке салыстырғанда спин моментлеринің хәр қыйлы бағытларына сәйкес келеди.

Атомның толық импульс моментинің квантлық сан ушын төмендегидей таңлап алыў қағыйдасы орын алады:

$$\Delta j = 0, \pm 1.$$

Механикалық моментлер менен магнит моментлери байланысқан. Олар еки туйық тоқ сыяқлы бир бири менен тәсир етиседи. Бундай тәсирлесіў спин-орбиталық тәсирлесіў деп аталады. Бундай тәсирлесіў атомның толық энергиясын өзгертеди хәм сонлықтан хәр қыйлы j квантлық санна ийе халларда атом хәр қыйлы энергияға ийе болыўы керек. Бундай айырманың болыўы атомның оптикалық спектриндеги сызықлардың бир неше сызықларға айрылыўын тәмийинлейди. Оптикалық спектр сызықларының бир неше сызықларға айрылыўы жүдә кишкене мәниске ийе болып, ол водород атомының оптикалық спектринің жуқа қурылысының пайда болыўына алып келеди. Бундай спектрде спектр сызықлары

дублетлик (қос) структураға ийе. Бундай жуқа структурадағы сызықтар арасындағы қашықтықтар тийкарғы сызықтар арасындағы қашықтықтардан жүзлеген мың есе киши болса да экспериментаторлар бундай жуқа структураның бар екенлигин тәжирийбелериниң барысында жүдә сезгир хәм жоқары ажырата алыўшылық қәбилетликке ийе оптикалық әсбаплардың жәрдемінде анықлады.

Электронның спинге ийе болыўының физикалық тәбияты нелерден ибарат? Бул сораўға жуўап классикалық физикада да жоқ, релятивистлик емес квантлық механикада да жоқ. Релятивистлик емес квантлық механиканың тийкарында Шредингер теңлемесиниң жататуғынлығын биз жақсы билемиз. Бундай теорияда спин қосымша гипотезаның жәрдемінде киргизиледи. Бул гипотеза теорияның тийкарғы қағыйдаларынан келип шықпайды, ал эксперимент пенен теорияның нәтийжелерин бир бири менен сәйкеслендириў мақсетинде пайдаланылады.

1928-жылы П.Дирак квантлық механикан бөлекшениң релятивистлик қозғалысы ушын улыўмаластырды. Релятивистлик квантлық теорияның (кват механикасының) тийкарында дәслеп релятивистлик электрон ушын жазылған Дирак теңлемеси жатады. Бул теңлеме өзиниң структурасы хәм математикалық аппараты бойынша Шредингер теңлемесине салыстырғанда әдеўир қурамалы. Бизиң курсымызда Дирак теңлемесин таллай алмаймыз. Бирақ Шредингер теңлемесин шешиўдиң барысында үш квантлық санна ийе болғанымыздай, Дирак теңлемесин шешиўдиң барысында төртинши, спин квантлық санның тәбийий түрде пайда болатуғынлығын атап өтемиз.

Релятивистлик квантлық теория водород атомының жуқа спектрин пайда ететуғын энергия қәддилери арасындағы қашықтық ушын

$$\Delta E = \frac{\alpha^2}{16} E_i$$

шамасын береді. Бул аңлатпада E_i арқалы водород атомының ионизация энергиясы белгиленген. $\alpha = \frac{e^2}{4\pi\epsilon_0\hbar c} \approx \frac{1}{137}$ шамасы универсаллық дүнъялық константа болып табылады. Ол жуқа структура турақтылығы атамасына ийе болды.

Солай етип улыўмалық сөзлер менен электронның меншикли механикалық хәм магнит моментлериниң квантлық механикадағы релятивистлик эффект сыпатында пайда болатуғынлығын айтып өтемиз.

Тек электрон емес, ал басқа да көп санлы элементар бөлекшелер s спинге ийе болады. Бир қатар бөлекшелер ушын спин пүтин мәниске ийе, ал басқа бөлекшелер ушын ярым пүтин мәниске ийе. Мысалы ядроның қурамлық бөлекшелери болған нейтрон менен протонның спинлери $s = \frac{1}{2}$. Сонлықтан водород атомының ядросы да механикалық хәм магнит моментлерине ийе. Электрон менен ядроның магнит моментлериниң өз-ара тәсирлесиўиниң салдарынан водород атомларының оптикалық спектриниң аса жуқа структурасы жүзеге келеді. Бул спектр сызықтарының "аса киши" бөлеклерге бөлиниўи (бир сызықтың бир бирине аса жақын жайласқан сызықтарға ажыралыўы) түрінде көринеди.

5.5-мәселе. Водород атомы тийкарғы ҳалда радиусы $R = 5$ м хәм тоқ күши $I = 10$ А болған дөңгелек тоқтың көшеринде жайласқан. Атомның дөңгелек тоқтың орайына шекемги қашықтық $z = 10$ см. Магнит майданы тәрәпинен спинди есапқа алғанда водород атомына тәсир ететуғын күшти анықлаңыз. Ядроның магнит моментин есапқа алмаңыз.

Шешими: Магнитостатиканың белгили формуласының жәрдемінде дөңгелек тоқтың көшериндеги оның орайынан z қашықтықта жайласқан орындағы магнит майданының индукциясын есаплаймыз

$$B(z) = \frac{\mu_0 I R^2}{2(R^2 + z^2)^{3/2}}.$$

B шамасын өзгериўши z бойынша дифференциаллап дөңгелек тоқтың орайынан z қашықтығындағы магнит майданының индукциясының градиентин табамыз

$$\left| \frac{\partial B}{\partial z} \right| = \frac{3}{2} \frac{\mu_0 I R^2 \cdot z}{(R^2 + z^2)^{5/2}}.$$

Егер ядроның магнит моментин есапқа алмасақ, онда $1s$ халдағы водород атомының магнит моменти ($l = 0$) тек электронның спини тәрәпинен пайда етиледі. Сонлықтан

$$p_z^m = p_{zs}^m = \pm \mu_B.$$

Демек магнит майданы тәрәпинен атомға модули

$$F = \mu_B \left| \frac{\partial B}{\partial z} \right| = \frac{3}{2} \frac{\mu_0 I R^2 \cdot z}{(R^2 + z^2)^{5/2}} \cdot \mu_B$$

шамасына тең болған күш тәсир етеді. Егер электронның магнит моменти магнит майданына параллель болса, онда бул күш дөңгелек тоқтың көшери бойлап орайына қарай бағытланған. Ал спиннің бағыты қарама-қарсы тәрәпке қарай бағытланған болса, онда бул күш дөңгелек тоқтың көшери бойлап қарама-қарсы тәрәпке қарай бағытланған. Санлық мәніслерин қойып $F = 2,5 \cdot 10^{-26}$ Н мәнісин аламыз.

2-6-6. Шредингер теңлемесин жуўық түрде шешиў усыллары

Уйытқыў теориясының тийкарғы теңлемелери

Квантлық механиканың мәселелеринің барлығын дәл шешиў мүмкин емес. Көпшилик жағдайларда энергия менен толқын функцияларының мәніслерин тек жуўық түрде ғана анықлаўға болады. Сонлықтан квантлық механикада Шредингер теңлемесин жуўық түрде есаплаў усыллары кеңнен қолланылады. Бундай усыллардың ең кең тарқалған түри уйытқыў теориясы болып табылады.

Квантлық механикада атомдағы электронлардың қозғалысларын изертлеў ушын тийкарғы күш сыпатында ядро менен электронлар арасындағы электростатикалық тәсир етисиў күши алынады. Ал уйытқыў сыпатында электролардың бир бири менен тәсирлесиў (ийтерисиў) күшлерин алыўға болады. Егер атом сыртқы электр ямаса магнит майданына жайластырылған болса, онда бул майданлар шамасы бойынша ядро пайда еткен электр майданының шамасынан әдеўир киши болады. Бул жағдайда уйытқыў сыпатында электронлардың сыртқы электр ямаса магнит майданындағы қозғалысын қарай аламыз.

Системаның гамильтонианы уақытқа байланыссыз болмайтуғын стационар жағдайлар үшін уйытқыу теориясын қараймыз. Бұндай жағдайда системаның гамильтонианы:

$$\hat{H} = \hat{T} + \hat{V} = \hat{T} + \hat{V}_0 + \hat{V}' = \hat{H}^0 + \hat{V}' \quad (2.6.1)$$

түрінде жазылады. Бұл аңлатпадағы уйытқыу операторы $V' \ll V$, ал потенциаллық энергияның тийкары бөлігі V^0 дәл шешімге ие

$$\hat{H}^0 \Psi_n^0 = E_n^0 \Psi_n^0 \quad (2.6.2)$$

Шредингер теңлемесін қанаатландырады. Егер $V' = 0$ теңлігі орынланатуғын болса бұл теңлемесінің энергия E_n^0 хәм толқын функциясы Ψ_n^0 менен тәрийипленетуғын дәл шешімлері болады. Бірақ V' нолге тең болмағанда бизің мынадай теңлемесі шешіміміз керек болады:

$$(\hat{H}^0 + \hat{V}')\Psi = E\Psi. \quad (2.6.3)$$

Бизің уазыйпамыз (2.6.3)-теңлемедегі V' уйытқыу энергиясын есапқа алып жууық түрде болса да $(\hat{H}^0 + \hat{V}')$ операторының меншикли мәніслері E_n менен Ψ_n меншикли функцияларын табыудан ибарат.

Уйытқыу теориясы бойынша энергия E менен толқын функциясы Ψ дің мәніслері төмендегідей қатарлар түрінде ізленеді:

$$\Psi = \Psi^0 + \Psi' + \Psi'' + \dots \quad (2.6.4)$$

$$E = E^0 + E' + E'' + \dots \quad (2.6.5)$$

Бұл аңлатпадағы E', Ψ' менен E'', Ψ'' шамалары Ψ^0, E^0 шамаларына салыстырғанда кишилигі бойынша биринші хәм екінші тәртіпті шамалар болып табылады. Уйытқыу энергиясын V^0 потенциалының энергиясы менен киші λ шамасының ($\lambda \ll 1$) көбеймесі түрінде жазамыз:

$$V' = V^0 \cdot \lambda.$$

(2.6.4)- хәм (2.6.5)-теңліклердегі биринші тәртіпті киші шамалар менен шекленип, оларды (2.6.3)-теңлемеге қойсақ Ψ' хәм E' шамаларының мәніслерін анықлау үшін төмендегідей теңлеме аламыз:

$$(E^0 + E' - \hat{H}^0 - \hat{V}')(\Psi^0 + \Psi') = 0. \quad (2.6.6)$$

Бұл теңлемеді қатнастатуғын ағзаларды мәніслерінің үлкенлігіне қарай жыйнасақ төмендегідей теңлемесі аламыз:

$$(E^0 - \hat{H}^0)\Psi^0 + [(E' - \hat{V}')\Psi^0 + (E^0 - \hat{H}^0)\Psi'] + (E' - \hat{V}')\Psi' = 0. \quad (2.6.7)$$

Уйытқыу теориясының биринші тәртіпті жууық шешімлерін табыу үшін кишилигі бойынша екінші тәртіпті $(E' - \hat{V}')\Psi'$ шамасын нолге тең деп есаппап дәл

шешимнің $(E^0 - \hat{H}^0)\Psi^0$ көбеймеси үшін алынуатынлығын аңғарамыз. Бундай жағдайда (2.6.7)-теңleme ноллик жууықлауда

$$(E^0 - \hat{H}^0)\Psi_n^0 = 0 \quad (2.6.8)$$

теңлемесине айланады хәм бул теңлемени шеший арқалы Гамильтон операторының

$$E_1^0, E_2^0, E_3^0, \dots, E_n^0, \dots$$

меншикли мәнислери менен

$$\Psi_1^0, \Psi_2^0, \Psi_3^0, \dots, \Psi_n^0, \dots$$

меншикли функцияларын анықлауға болады. Бундай жағдайда (2.6.7)-теңлемениң орнына

$$(E^0 - \hat{H}^0)\Psi' = -(E' - \hat{V}')\Psi_n^0 \quad (2.6.9)$$

түріндеги теңлемени аламыз.

Мейли басланғыш моментте система $n' = n$ квантлық халда турған болсын. Дәл шешимде $E^0 = E_n^0, \Psi^0 = \Psi_n^0$ теңликлери орынланатуғын болғанлықтан биринши тәртіпли жууықлауда $E' = E_n', \Psi' = \Psi_n'$ теңликлерин қабыл етсек болады. Бундай жағдайда (2.6.9)-теңлемени былайынша жазуға болады:

$$(E_n^0 - \hat{H}^0)\Psi_n' = -(E_n' - \hat{V}')\Psi_n^0 \quad (2.6.10)$$

Қәлеген функцияны ортонормировкаланған функциялардың толық системасы бойынша қатарға жайыуға болғанлықтан Ψ_n^0 функциясын төмендегидей қатар түрінде излеймиз:

$$\Psi_n' = \sum_{n'} C_{n'} \Psi_{n'}^0. \quad (2.6.11)$$

Ендиги ұазыйпа усы Фурье қатарындағы белгисиз $C_{n'}$ коэффициентлерин анықлаудан ибарат болады. (2.6.11)-аңлатпаны (2.6.10)-теңлемеге қойсақ

$$\sum_{n'} C_{n'} (E_n^0 - \hat{H}^0) \Psi_{n'}^0 = -(E_n' - \hat{V}') \Psi_n^0 \quad (2.6.12)$$

теңлемесин аламыз, ал (2.6.8)-теңлемени есапқа алсақ, онда (2.6.12)-теңleme былайынша жазылады:

$$\sum_{n'} C_{n'} (E_n^0 - E_{n'}^0) \Psi_{n'}^0 = -(E_n' - \hat{V}') \Psi_n^0. \quad (2.6.13)$$

Энергия қәддилери азғынбаған жағдай

Егер берилген система азбаған болса, яғный энергияның хәр бир E_n^0 меншикли мәнисине Ψ_n^0 меншикли функциялардың тек бир ғана мәниси сәйкес келетуғын

болса, онда (2.6.13)-теңлемениң шеп тәрепин Ψ_n^{0*} ге көбейтип пүткил кеңислик бойынша интегралласақ төмендегидей қатнасқа келемиз:

$$\sum_{n'} C_{n'} (E_n^0 - E_{n'}^0) \delta_{nn'} = -E' + \int \Psi_n^{0*} \hat{V}' \Psi_n^0 d^3x. \quad (2.6.14)$$

Бул аңлатпада Ψ_n^0 меншикли функциясының ортонормалық шәрти

$$\int \Psi_n^{0*} \Psi_{n'}^0 d^3x = \delta_{nn'} \quad (2.6.15)$$

пайдаланылған.

(2.6.14)-теңликтиң шеп тәрепи нолге тең болғанлықтан $n' = n$ болғанда $(E_n^0 - E_{n'}^0) = 0$, ал $n' \neq n$ болған жағдайда $\delta_{nn'} = 0$ хәм изленип атырған энергия ушын

$$E_n' = \overline{V'_{nn}} \quad (2.6.16)$$

аңлатпасын аламыз. Бул аңлатпада

$$\overline{V'} = \int \Psi_n^0 \hat{V}' \Psi_n^0 d^3x. \quad (2.6.17)$$

Демек системаның уйытқыў нәтийжесинде алатуғын энергиясы уйытқыў энергиясының орташа мәнисине тең екен.

Енди уйытқыў теориясының биринши тәртипли жуўықлаўын тәрийиплейтуғын (2.6.13)-Шредингер теңлемесин түрлендирип жазайық:

$$\sum_{n'} C_{n'} (E_n^0 - E_{n'}^0) \Psi_{n'}^0 = -(E_n' - V') \Psi_n^0. \quad (2.6.18)$$

Бул теңлемениң шеп тәрепин Ψ_n^{0*} (бул жерде $n' \neq n$) функциясына көбейтип хәм ортонормалық шәртти есапқа алып пүткил кеңислик бойынша интегралласақ $C_{n'}$ коэффициенти ушын мынадай қатнас аламыз:

$$C_{n'} = \frac{\overline{V'_{n'n}}}{E_n^0 - E_{n'}^0}. \quad (2.6.19)$$

Бул аңлатпада

$$\overline{V'} = \int \Psi_n^0 \hat{V}' \Psi_n^0 d^3x. \quad (2.6.20)$$

Бундай жағдайда Ψ_n' функциясы ушын

$$\Psi_n' = C_n \Psi_n^0 + \sum_{n'} C_{n'} \Psi_{n'}^0 \quad (2.6.21)$$

аңлатпасын аламыз. Бул аңлатпадағы сумма белгисиндеги штрих белгиси қосыў операциясының $n' = n$ мәнисинен басқа барлық индекслер бойынша жүргизилетуғынлығын аңғартады. (У21)- теңликтеги белгисиз $C_{n'}$ коэффициенти ноллик жуўықлаўдағы

$$\Psi_n = \Psi_n^0 + \Psi_n' = C_n^0 \Psi_n^0 + \sum_{n'} C_{n'} \Psi_{n'}^0 \quad (2.6.22)$$

түрінде жазылатуғын ноллик жууықлаудағы толық толқынлық функцияларды нормалау (нормировка) шәртинен алынады:

$$\int \Psi_n^* \Psi_n d^3x = 1. \quad (2.6.23)$$

(2.6.22)- аңлатпада

$$C_n^0 = 1 + C_n. \quad (2.6.24)$$

(2.6.22)-толқынлық функцияны (2.6.23)-нормалау шәртине қойып кишилиги бойынша тек биринши тәртіпли шамалар менен шекленсек, онда

$$|C_n^0|^2 \int \Psi_n^{0*} \Psi_n^0 d^3x + \sum_{n'} \left\{ C_n^{0*} C_{n'} \int \Psi_n^{0*} \Psi_{n'}^0 d^3x + C_{n'}^* C_n^0 \int \Psi_{n'}^{0*} \Psi_n^0 d^3x \right\} = 1 \quad (2.6.25)$$

түріндеги аңлатпаға ийе боламыз. Бундай жағдайда толқынлық функцияның ортонормалық шәртинен

$$C_n^0 = 1, \quad (2.6.26)$$

ал (2.6.24)-теңлемеден $C_n = 0$ мәнислерин аламыз. Демек уйытқыу теориясының биринши тәртіпли жууықлауы бойынша толқынлық функция

$$\Psi_n = \Psi_n^0 + \sum_{n'} \frac{\overline{V_{n'n}}}{E_n^0 - E_{n'}^0} \Psi_{n'}^0 \quad (2.6.27)$$

түрінде болады. Усының менен бир қатарда $\Psi_{n'}'$ толқынлық функциясы энергияның меншикли мәнисі $E_{n'}'$ сыяқлы уйытқыу энергиясының биринши дәрежесине пропорционал болады.

Энергия қәддилериниң азғын жағдайы ушын уйытқыу теориясы

Енди энергияның E_n^0 меншикли мәнисине j дана $\Psi_{n_1}^0, \Psi_{n_2}^0, \dots, \Psi_{n_j}^0$ меншикли функцияларының сәйкес келетуғын уйытқыу теориясын қараймыз.

Бул функциялардың қәлеген

$$\Psi_n^0 = \sum_{i=1}^j C_i^0 \Psi_{n_i}^0$$

сызықлық түрлениуі де энергиясының меншикли мәнислери E_n^0 болған ноллик жууықлаудағы

$$(E_n^0 - \hat{H}^0) \Psi_n^0 = 0$$

Шредингер теңлемесінің шешімі болып табылады. Егер системаға энергиясы V' болған уйытқы қосылса C_i^0 коэффициенттерінің арасында байланыстың пайда болатуғынлығын көрсетейік. Бұның үшін (2.6.10)-теңліктің шеп тәрепін $\Psi_{n_i}^{0*}$ функциясына көбейтіп барлық кеңістік бойынша интеграллаймыз. Сонда

$$\int \Psi_{n_i}^{0*} (E_n^0 - \hat{H}^0) \Psi' d^3x = - \int \Psi_{n_i}^{0*} (E_n' - V') \Psi_n^0 d^3x \quad (2.6.28)$$

теңлемесін аламыз. Туұындыларды ауыстырыу теориясынан пайдалансақ, онда кейінгі теңліктің орнына

$$\int \Psi' (E_n^0 - \hat{H}^0) \Psi_{n_i}^{0*} d^3x = - \int \Psi_{n_i}^{0*} (E_n' - \hat{V}') \Psi_n^0 d^3x \quad (2.6.29)$$

теңлігін аламыз. Бұл теңліктегі $\Psi_{n_i}^{0*}$ функциясының $(E_n^0 - \hat{H}^0) \Psi_{n_i}^{0*} = 0$ Шредингер теңлемесінің шешімі екенлігін есепке алсақ мынадай теңлікке ийе боламыз:

$$\int \Psi_{n_i}^{0*} (E_n' - V') \sum_{i'=1}^j C_{i'}^0 \Psi_{n_i}^0 d^3x = 0. \quad (2.6.30)$$

$\Psi_{n_i}^0$ меншікті функциясын $\int \Psi_{n_i}^{0*} \Psi_{n_i}^0 d^3x = \delta_{n_i n_i}$ түрінде ортонормаланған деп есепласақ, онда (2.6.30)-теңліктің орнына төмендегідей теңleme жазамыз:

$$C_i^0 (E_n' - \overline{V}_{ii}') = \sum_{i'=1}^j C_{i'}^0 \overline{V}_{ii'}'. \quad (2.6.31)$$

Бұл теңлікте

$$\overline{V}_{ii}' = \int \Psi_{n_i}^{0*} \hat{V}' \Psi_{n_i}^0 d^3x, \quad (2.6.32)$$

$$\overline{V}_{ii'}' = \int \Psi_{n_i}^{0*} \hat{V}' \Psi_{n_{i'}}^0 d^3x. \quad (2.6.33)$$

(2.6.31)-теңліктегі сумма белгисінің жоқарысындағы штрих қосыу суммалау процедурасының индекстің $i = j$ мәнінен басқа барлығы бойынша жүргізілетуғынлығын аңғартады. (2.6.31)-формуладағы индекс i дің бірден (1 ден) j шамасына шекемгі аралықтағы қалеген мәніске ийе болатуғынлығынан E_n' энергияның хәм C_i^0 коэффициенттерінің белгисіз мәніслері үшін j дана бір теклі теңлемелер системасын аламыз:

$$\begin{aligned} C_i^0 (E_n' - V_{11}') - C_2^0 V_{12}' - \dots - C_j^0 V_{1j}' &= 0, \\ -C_1^0 V_{21}' + C_2^0 (E_n' - V_{22}') - \dots - C_j^0 V_{2j}', \\ \dots, \\ \dots, \\ -C_1^0 V_{j1}' - C_2^0 V_{j2}' - \dots + C_j^0 (E_n' - V_{jj}') &= 0. \end{aligned} \quad (2.6.34)$$

Егер Ψ_n^0 толқынлық функциясының

$$\int \Psi_n^{0*} \Psi_n^0 d^3x = 1 \quad (2.6.35)$$

нормалау шәртин қанаатландыратуғынлығын есапқа алсақ, онда уйытқыу энергиясы E'_n менен C_i^0 белгисиз коэффициентлерин анықлаудың қыйын емес екенлигин аңғарамыз.

(2.6.34)-системаның нолге тең емес шешимлеринің болыуы ушын оның детерминатнының нолге тең болыуы керек. Бундай жағдайда E'_n энергиясының мәнислерин табыу ушын төмендегидей теңлеме аламыз:

$$\begin{vmatrix} (E'_n - V'_{11}), V'_{12}, \dots, -V'_{1j} \\ -V'_{21}, (E'_n - V'_{22}), \dots, -V'_{2j} \\ \dots \\ -V'_{j1}, -V'_{j2}, \dots, (E'_n - V'_{jj}) \end{vmatrix} = 0. \quad (2.6.36)$$

Бул теңлемени әсирлик теңлеме деп атайды. Бул термин аспан механикасынан алынған.

Егер әсирлик теңлемениң бир неше түбири болса (j ға тең болыуы шәрт емес), онда ҳәр бир түбир ушын (2.6.34)-теңлемеден пайдаланып табылған C_i^0 коэффициентлер сәйкес келеди. Яғный E'_n қосымша энергияның мәнислерине сәйкес келетуғын меншикли энергиялар да ҳәр қыйлы болады. Соның менен бирге энергиясы V' шамасына тең уйытқыуға қосылғанға шекем системаның ҳалы j рет азған болса, уйытқыудың тәсиринде азғынлықтың ретлиги кемейеди, ал гейпара жағдайларда азғынлықтың түткиллей жоғалыуы да мүмкин.

Штарк эффекти

Егер атомды сырттан түсирилген электр майданына орналастырса, онда атомның энергия қәддилери қосымша қәддилерге ажыралады. Улыұма физика курсынан бул эффектти Штарк эффекти деп аталатуғынлығын хәм оның 1913-жылы ашылғанлығын билемиз. Энергия қәддилеринің магнит майданы тәсиринде қосымша қәддилерге ажыралыуын Зееман эффекти деп атайтуғын едик. Тәжирийбелерге электр майданының водород хәм басқа да атомларға ҳәр қыйлы тәсир ететуғынлығы анықланған. Мысалы электр майданының кернеулиги киши болғанда водород атомларының энергиясының қәддилеринің бир неше қәддилерге ажыралыуы кернеуликтің биринши дәрежесине (сызықлы Штарк эффекти), ал басқа атомларды кернеуликтің екинши дәрежесине (квадратлық Штарк эффекти) пропорционал болып шықты.

Классикалық физика көз-караслары бойынша Штарк эффектін түсиндириу мүмкин болмады. Кватлық механика ғана бул қубылысты түсиндире алды.

Водород атомы ушын сызықлы Штарк эффектін үйренейик хәм екинши энергия қәдди менен шекленемиз ($n = 2$). Сырттан түсирилген майданның кернеулигинің шамасы $10^4 - 10^5$ В/см. Ал водород ядросы тәрәпинен пайда етилген электр майданының кернеулиги шама менен $5 \cdot 10^9$ В/см шамасына тең. Демек сырттан түсирлиген электр майданын уйытқыу сыпатында қарай алады екенбиз.

Уйытқыу энергиясы сыпатында электронның сыртқы электр майданындағы

$$V' = e_0 \mathcal{E} z$$

потенциал энергиясын ала аламыз. Уйытқыў болмаған жағдайдағы электронны потенциал энергиясы

$$E_2^0 = -\frac{R\hbar}{4}$$

хәм энергияның усы мәнисине сәйкес келетуғын меншикли функциялар

$$\Psi_1^0 = \Psi_{2,0,0} = R_{20}(r)Y_0^0 = \frac{1}{\sqrt{4\pi}} R_{20}(r), \quad (2.6.38)$$

$$\Psi_2^0 = \Psi_{2,1,0} = R_{21}(r)Y_1^0 = \sqrt{\frac{3}{4\pi}} R_{21} \cos \theta, \quad (2.6.39)$$

$$\Psi_3^0 = \Psi_{2,1,1} = R_{21}(r)Y_1^1 = \sqrt{\frac{3}{4\pi}} R_{21}(r) \frac{\sin \theta}{\sqrt{2}} e^{i\varphi}, \quad (2.6.40)$$

$$\Psi_4^0 = \Psi_{2,1,-1} = R_{21}(r)Y_1^{-1} = -\sqrt{\frac{3}{4\pi}} R_{21}(r) \frac{\sin \theta}{\sqrt{2}} e^{-i\varphi}. \quad (2.6.41)$$

θ хәм φ мүйешлерин декарт координаталары менен алмастырсақ жоқарыдағы функциялар төмендегидей түрге енеди:

$$\Psi_1^0 = f_1(r), \quad (2.6.43)$$

$$\Psi_2^0 = f_2(r)z, \quad (2.6.44)$$

$$\Psi_3^0 = f_2(r) \frac{x+iy}{\sqrt{2}}, \quad (2.6.45)$$

$$\Psi_4^0 = -f_2(r) \frac{x-iy}{\sqrt{2}}. \quad (2.6.46)$$

Бул аңлатпалардағы

$$f_1 = \frac{1}{\sqrt{4\pi}} R_{20}(r), \quad (2.6.47)$$

$$f_2(r) = \sqrt{\frac{3}{4\pi}} \frac{R_{21}(r)}{r}, \quad (2.6.48)$$

ал электронның улыўмалық толқын функциясын

$$\Psi^0 = \sum_{i=1}^4 C_i^0 \Psi_i^0 \quad (2.6.49)$$

түринде жазамыз.

Биз қарап атырған жағдайда системаның азғыныўының еселиги 4 ке тең (яғный $j = 4$) болғанлықтан белгисиз C_i^0 коэффициентлер менен системаның уйытқымаған

халын тәрийиплейтуғын E_2^0 энергияға мәнис бериў ушын (2.6.34)-қатнастан төмендегидей теңлемелер системасын аламыз:

$$\begin{aligned} C_1^0(E_2' - \overline{V}_{11}') - C_2^0 \overline{V}_{12}' - C_3^0 \overline{V}_{13}' - C_4^0 \overline{V}_{14}' &= 0, \\ -C_1^0 \overline{V}_{21}' + C_2^0(E_2' - \overline{V}_{22}') - C_3^0 \overline{V}_{23}' - C_4^0 \overline{V}_{24}' &= 0, \\ -C_1^0 \overline{V}_{31}' - C_2^0 \overline{V}_{22}' + C_3^0(E_3' - \overline{V}_{33}') - C_4^0 \overline{V}_{34}' &= 0, \\ -C_1^0 \overline{V}_{41}' - C_2^0 \overline{V}_{42}' - C_3^0 \overline{V}_{43}' + C_4^0(E_4' - \overline{V}_{44}') &= 0. \end{aligned} \quad (2.6.49)$$

Бул аңлатпада

$$\overline{V}_{i'i} = \int \Psi_i^{0*} \hat{V}' \Psi_i^0 d^3x = e_0 \varepsilon \int \Psi_i^{0*} \hat{Z}' \Psi_i^0 d^3x. \quad (2.6.50)$$

Көлем бойынша интеграллаўда $\overline{V}_{11}', \overline{V}_{22}', \overline{V}_{33}', \overline{V}_{13}', \overline{V}_{23}', \overline{V}_{14}', \overline{V}_{24}', \overline{V}_{34}'$ матрицалық элементлер нолге тең болады. Себеби бул матрицалық элементтиң интегралына z, x хәм y координаталарының тақ функциялары киреди. Усы үш координаталардың жуп функцияларын өз ишине алатуғын \overline{V}_{12}' хәм $\overline{V}_{21}' = \overline{V}_{12}'$ матрицалық элементлери ғана нолге тең болмайды:

$$\overline{V}_{12}' = \overline{V}_{21}' = e_0 \varepsilon \int f_1(r) f_2(r) z^2 d^3x. \quad (2.6.51)$$

Бул теңликке (2.6.46)- хәм (2.6.47)-қатнастардан $f(r), f(r)$ функцияларының мәнислерин қойып,

$$R_{20} = \frac{1}{2\sqrt{2}a_0^{3/2}} \left(2 - \frac{r}{a_0}\right) e^{\frac{r}{2a_0}} \quad \text{және} \quad R_{21} = \frac{1}{2\sqrt{6}a_0^{5/2}} r e^{\frac{r}{2a_0}}$$

екенлигин есапқа алып θ хәм φ мүйешлери бойынша интеграллағаннан кейин төмендегидей теңликти аламыз:

$$V_{21}' = V_{12}' = \frac{e_0 \varepsilon}{24a_0^4} \int_0^\infty r^4 \left(2 - \frac{r}{a_0}\right) e^{\frac{r}{a_0}} dr. \quad (2.6.52)$$

Егер $\int_0^\infty e^{-\rho} \rho^s d\rho = \Gamma(s+1)$ екенлигин есапқа алсақ, онда матрицалық элементлер ушын

$$V_{12}' = V_{21}' = -3e_0 \varepsilon a_0 \quad (2.6.53)$$

шамаларына ийе боламыз. $V_{i'i}'$ матрицалық элементлериниң усы мәнислерин есапқа алған жағдайда энергияның E_2' мәнислери ушын төмендегидей әсирлик теңleme аламыз:

$$\begin{vmatrix} E'_2 & 3a_0 & 0 & 0 \\ 3a_0 e_0 \varepsilon & E'_2 & 0 & 0 \\ 0 & 0 & E'_2 & 0 \\ 0 & 0 & 0 & E'_2 \end{vmatrix} = 0. \quad (2.6.54)$$

Бул теңлемени $E'_2(E'^2_2 - 9a_0^2 e_0^2 \varepsilon^2) = 0$ түрінде жазыуға болады:

$$\begin{aligned} E'^{(1)}_2 &= -3a_0 e_0 \varepsilon, \\ E'^{(2)}_2 &= -3a_0 e_0 \varepsilon, \\ E'^{(3)}_2 &= E'^{(4)}_2 = 0. \end{aligned} \quad (2.6.55)$$

Ал бул энергияның хәр бир мәнісине (2.6.49)-теңлик бойынша хәр түрлі C_i коэффициентлери сәйкес келеди:

$$\begin{aligned} C_1^{(1)} &= C_2^{(1)}; C_3^{(1)} = C_4^{(1)} = 0, \\ C_1^{(2)} &= -C_2^{(2)}; C_3^{(2)} = C_4^{(2)} = 0, \\ C_1^{(3)} &= -C_2^{(3)}; C_3^{(3)}, C_4^{(3)} \neq 0, \\ C_1^{(4)} &= C_2^{(4)}; C_3^{(4)}, C_4^{(4)} \neq 0. \end{aligned} \quad (2.6.56)$$

Усының менен бирге энергиясы

$$E_2^{(1)} = E_2^0 + E'^{(1)}_2 = -\frac{R\hbar}{4} - 3e_0 a_0 \varepsilon \quad (2.6.57)$$

шамасына тең қәддиге ноллик жууықлауда

$$\Psi^{0(1)} = C_1^{(1)} (\Psi_{2,0,0} + \Psi_{2,1,0}) \quad (2.6.58)$$

меншикли функция сәйкес келеди.

Егер толқынлық функцияның нормаллау шәртин болған $\int \Psi^{0(1)*} \Psi^{0(1)} d^3x = 1$ шәртин есапқа алсақ (2.6.58)-функцияны

$$\Psi^{0(1)} = \frac{1}{\sqrt{2}} (\Psi_{2,0,0} + \Psi_{2,1,0}) \quad (2.6.59)$$

түрінде жаза аламыз. Ал келеси квантлық хал ушын

$$E_2^{(2)} = E_2^0 + E'^{(2)}_2 = -\frac{R\hbar}{4} + 3e_0 a_0 \varepsilon. \quad (2.6.60)$$

Ноллик жууықлаудағы толқынлық функция

$$\Psi^{0(2)} = \frac{1}{\sqrt{2}} (\Psi_{2,0,0} - \Psi_{2,1,0}). \quad (2.6.61)$$

